

92 3128

PRINCIPNO-MATEMATICKI FAKULTET

GRANIČNI SLOJ NA CILINDRIČNOM TELU POKRETNOM IZ
SRANJA IZVEŠNIM PREDHODNIM NESTACIONARNIM KRETANJA

Radimir Ašković
magistar mehaničkih nauka

B e o g r a d
Februara 1966. god.

I.	OSNOVNE TEORIJSKE POKRETAČKE	
21.	Uvod	1
22.	Isvodjenje jednačina dopunskog graničnog sloja	4
23.	Metoda rešavanja jednačina dopunskog graničnog sloja.	14
24.	Diskusija pokušaja u traženju načina rešavanja jednačina (1.27) i (1.31).....	19
II.	DOPUNSKI GRANICNI SLOJ PRI KRATKOTRAJNIM PRETHODNIM KRETANJIMA	
21.	Uvod	23
22.	Dopunski trzaj iza kratkotrajnog prethodnog trzaja..	24
23.	Dopunsko jednako ubrzano kretanje iza kratkotrajnog trzaja	31
24.	Trzaj iz kratkotrajnog jednako-ubrzano kretanja ..	33
25.	Jednako-ubrzano kretanje iza kratkotrajnog prethodnog kretanja stalnim ubrzanjem	35
26.	Stepeno-ubrzano kretanje iza kratkotrajnog prethodnog stepeno-ubrzano kretanja	45
27.	Analiza rezultata proračuna graničnog sloja u slučaju kratkotrajnih prethodnih kretanja	47
III.	GRANICNI SLOJ NA CILINDRIČNOM TELU POKRETNOM IZ STANJA IZVESNIH PRETHODNIH NESTACIONARNIH KRETANJA	
21.	Uvod	50
22.	Slučaj prethodnog kretanja trzajem iz stanja mirovanja	50
23.	Prethodno kretanje trzajem, dopunsko kretanje trzajem	54
24.	Zatečeno kretanje trzajem, dopunsko - stalno ubrzano	76
25.	Slučaj prethodnog kretanja - stalnim ubrzanjem iz stanja mirovanja	82
26.	Prethodno kretanje stalno ubrzano, dopunsko - trzajem	83
27.	Zatečeno kretanje stalno ubrzano, dopunsko-jednako ubrzano	86
28.	Upoređjivanja i zaključci	93
IV.	ANALIZA PRETHODNIH REZULTATA	96
V.	DRUGO APROKSIMATIVNO REŠENJE DOPUNSKOG GRANICNOG SLOJA ...	100
VI.	LITERATURA	123

I. OSNOVNE TEORIJSKE POSTAVKE

§1. Uvod

Za nešto više od pola veka svoga razvoja teorija graničnog sloja se izgradila u krupnu samostalnu granu savremene hidromerodinamike. Ovakvom brзом tempu razvika ove, relativno mlade oblasti mehanike tečnosti i gasova, doprinela je njena tesna povezanost sa problemima brodske, avionske i raketne tehnike, kojima se u našem veku poklanja izuzetna pažnja i gde je u poslednje vreme zabeležen buran napredak.

Teorija graničnog sloja, čije je osnovne jednačine za laminaran režim strujanja, dao L. Prandtl 1904. g., uskoro je bila sa uspehom korišćena od strane Blasijusa 1907. godine. Godine 1921. T. Karman je predložio prostu metodu približnog proračuna laminarnog i turbulentnog graničnog sloja i time otvorio vrata širokoj primeni teorije graničnog sloja u tehnici, pri raznevrstnim praktičnim proračunovima.

Razradjivanjem poluempirijskih zakona turbulentnog kretanja od strane Prandtla (1926. g.) i Karmana (1930. g.), omogućili su prodor ideja teorije graničnog sloja i na slučaj turbulentnog režima strujanja.

Uskoro posle pojave osnovnih jednačina teorije graničnog sloja, uporedo sa ravnanskim stacionarnim zadacima rešavani su i najprostiji prostorni stacionarni i nestacionarni problemi. Ipak, značajnija rešavanja nestacionarnih slučajeva obavljena su samo u poslednje vreme.

Procvat teorije graničnog sloja vezan je za period zadnjih petnaest godina, u vezi sa prelaskom na nadzvučne brzine leta. Za savremenu etapu razvika avijacione i raketne tehnike postavila je pred konstruktore i naučnike mnogo novih kompleksnih problema, koji obuhvataju i probleme graničnog sloja.

Na matematičke tačke gledišta zadaci teorije graničnog sloja od samog svog početka zahtevali su primenu približnih metoda računске integracije sistema nelinearnih diferencijalnih jednačina, kako običnih, tako i parcijalnih. Kada je moguće koristiti metode razlaganja rešenja u red, primenjivati proces sukcesivnih aproksimacija, ili drugih načina linearizacije, ali kada problemi graničnog sloja postanu složeniji dolazi se do toga da se mora preći na mašinsku integraciju na računskim elektronskim mašinama. U tom pogledu ni teorija graničnog sloja nije mogla naći zajednički, nerazvodni put sa sve fizičke nauke.

Kao što je već rečeno, rezultati postignuti pri rešavanju nestacionarnih graničnih slojeva imaju za dostignućima stvaranja kod proučavanja stacionarnih graničnih slojeva. Prva ispitivanja u oblasti nestacionarnog graničnog sloja izvršena su odmah posle stvaranja Prandtlove teorije, od strane njegovog saradnika Blasijusa [1], koji je proučio granični sloj na cilindričnom telu, koje je trajajem pokrenuto kroz mirnu viskoznu tečnost. On je, takođe, rešio i pitanje razvika graničnog sloja na cilindričnom telu dovedenom u kretanje stalnim ubrzanjem iz stanja mirovanja. Goldštajn i Rosenfeld [2] su dopunili rešenja Blasijusova izračunavanjem nekoliko sledećih aproksimacija. Gertler [3] je dao rešenja nestacionarnog graničnog sloja na cilindričnom telu pri stepenom zakonu porasta brzine kretanja sa vremenom, Watson [4] je upotrebio rešenja Gertlerova na slučaj proizvoljnog eksponenta stepena - ubrzanog kretanja cilindra i eksponencijalnog zakona porasta brzine sa vremenom.

Opšta karakteristika svih postojećih radova iz oblasti nestacionarnog graničnog sloja je mirovanje pre početka kretanja cilindričnog tela, tela i tečnost, do određenog trenutka vremena, nalaze se u miru, a onda ili telo počne da se kreće kroz mirnu viskoznu tečnost, ili, pak, tečnost počne da obstrujava mirno telo. Granični sloj se ne može obrazovati tre-

nutno, već za svoj razvoj zahteva konačno vreme. Dovoljno je pažljivo razgledati poznate fotografije Titjensa [5], koje prikazuju početak kretanja kružnog cilindra kroz vodu, pa se uveriti u gorenje tvrdjenje. Svi citirani radovi analiziraju granični sloj na cilindričnom telu formiranom pod takvim okolnostima; samo se menjaju načini kretanja tela, ali uvek kretanje nasleđuje stanje mirovanja.

Osebito složeni zadatak o kretanju iz stanja mirovanja ravne ploče u svojoj ravni rešili su V.V. Struminski [6] i L.A. Rozin [7]. Rozin je, korišćenjem jednačina Stoksa - uspeo da prouči strujanje u celoj oblasti oko ploče, uključujući i prostor ispred ploče.

Više naučnika (S.M. Targ [8], Bobrišman [9]) koristili su za rešavanje zadataka nestacionarnog graničnog sloja približne postupke, analogne približnim metodama za rešavanje stacionarnog graničnog sloja.

Drugi pravac, pogodniji sa praktičnog stanovišta, vezan je za primenu jednoparametarskih metoda u teoriji nestacionarnog graničnog sloja, što sredimo u radovima V.V. Struminskog [10] i L.A. Rozina [11].

Iz ovog kratkog pregleda postojećih radova o nestacionarnom graničnom sloju, odmah pada u oči jedinstveni zajednički činilac svih tema: kretanje iz stanja mirovanja. Problemi graničnog sloja na telu pokrenutom ne iz stanja mirovanja, već iz stanja izvesnog prethodnog kretanja, nisu prema tome, rešavani i u literaturi, o bilo kakvim pokušajima rešavanja takvih problema, nema ništa sabelošeno. Predmet ovoga rada je baš granični sloj na cilindričnom telu dovedenom u kretanje iz stanja izvesnog nestacionarnog (u daljem celom tekstu govoriće se: prethodnog) kretanja. Uglavnom, radi se o ovome: telo je pokrenuto iz mirovanja brzajem, stalno ubrzano, ili stepeno-ubrzano i ima na sebi određeno polje brzina u graničnom sloju koji se formira. A onda se snopštava novi impuls telu (dalje u tekstu: dopun-

skin) trzajem, stalnim ubrzanjem, ili stepeno - ubrzanom i, rasume se, zbog toga se stvara nova strujna slika na telu, drukčiji nestacionarni granični sloj. Cilj ovoga rada je da se razvije metoda za proračun takvih nestacionarnih graničnih slojeva.

2. Izvođenje jednačina dopunskog graničnog sloja

Za proračun graničnog sloja na telu pokrenutom iz stanja izvesnog prethodnog nestacionarnog kretanja služe poznate Prandtl-ove jednačine:

$$\frac{\partial u}{\partial t} + u \frac{\partial u}{\partial x} + v \frac{\partial u}{\partial y} = -\frac{1}{\rho} \frac{\partial p}{\partial x} + \nu \frac{\partial^2 u}{\partial y^2} \quad (1.1)$$

$$\frac{\partial u}{\partial x} + \frac{\partial v}{\partial y} = 0$$

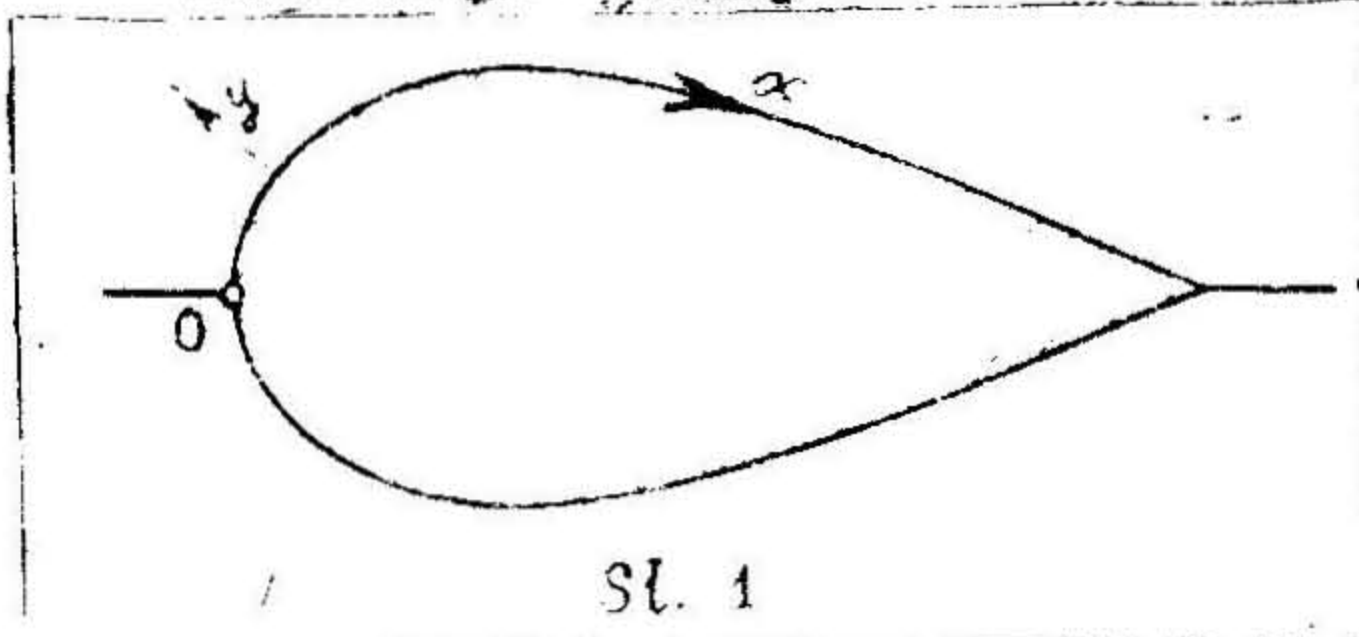
na graničnim uslovima:

$$u = 0, y = 0; \quad u = U, y = \infty; \quad (1.2)$$

i početnim uslovima:

$$t = T, \quad u = u_0(x, y, T) \quad (1.3)$$

Ovde je x, y koordinatni sistem vezan za telo, prema sl. 1, "t" - vreme, mereno od momenta kada je počelo prethodno kretanje tela, "T" - trenutak kada nastaje dopunsko kretanje,



(u, v) - rezultujuće brzine u graničnom sloju u intervalu t T, "U" - rezultujuća brzina spoljašnjeg potencijalnog strujanja u istom intervalu, koja, u stvari, sadrži osim

dopunske potencijalne brzine i onu natečenu, prethodnu potencijalnu brzinu, ρ - gustina fluida i ν - kinematska viskoznost fluida. Osim ovih uobičajenih veličina, u početnom uslovu (1.3) javlja se funkcija $u_0(x, y, T)$, koja predstavlja brzinu u graničnom sloju neposredno uoči pojave dopunskog kretanja, a koja je postala zbog prethodnog kretanja iz stanja mirovanja, te je kao takvu poznajemo.

Problem je, znači u tome da treba rešiti sistem parcijalnih jednačina (1.1) i istovremeno zadovoljiti granične (1.2)

Odmah se, međutim, nasiru krupne teškoće.

Prvo, za rešavanje jednačina (1.1) ne može se primeniti uobičajeni postupak usastopnih približenja, koji važi samo u periodu formiranja graničnog sloja, a ni ovom prilikom primenjujemo jednačinu (1.1) sa doba kada jedan, granični sloj u stanju formiranja, trpi svoju izmenu i dogradnju.

I drugo, čak i ako bismo uspešno prebrodili teškoće oko rešavanja jednačina (1.1) dobiveno rešenje je teško prilagoditi početnom uslovi (1.3) i pripremiti ga za praktičnu upotrebu, zbog komplikovanosti funkcije $u_g(x, y, t)$ [12], koja sadrži kombinacije polinoma, funkcije greške i eksponencijalnih funkcija po promenljivoj $\eta = \frac{x}{2\sqrt{vt}}$, kao i činioca, zavisne od promenljive "x".

Ostaje jedino da se učine pokušaji kako bi se početni (i granični) uslovi definisali u univerzalnom obliku.

Ideja kojom se to postiže, a na kojoj bazira ceo ovaj rad, sastoji se u sledećem: na telu je, u trenutku pojave dopunskog kretanja $t = T$, satečen prethodni granični sloj, dakle, jedno polje brzina određeno projekcijama " u_g " i " v_g ". Dopunsko kretanje tala, istosmernom sa prethodnim, svakako je unelo promene u granični sloj i sada su u njemu projekcije brzina " u " i " v ". Međutim, može se smatrati da su prethodne projekcije brzina " u_g " i " v_g " sadržane i u ovim rezultujućim brzinama " u " i " v " iza nastanka dopunskog kretanja, samo su one dopunjene dopunskim komponentama brzina " u_d " i " v_d ", koje određuju dopunski nestacionarni granični sloj, kako će se ubuduće u ovom radu često nazivati. Prema tome, ostavimo li prethodnom graničnom sloju da se i dalje prividno razvija, u okviru rezultujućeg graničnog sloja, i posle trenutka $t = T$, dakle, pri $t_1 \geq 0$:

$$u = u_g + u_d$$

$$v = v_g + v_d$$

problem smo sveli na pitanje određivanja samo dopunskih projekcija " u_d ", " v_d ", sa koje su početni uslovi definisani univer-

zaino: za $t_1 = 0$, $u_d = v_d = 0$.

I ne samo to. Istovremeno, mi smo problem sveli na pitanje određivanja dopunskog graničnog sloja, polja brzina (u_d, v_d) koje tek nastaje i razvija se, pa se u cilju njegovog proračuna može formirati i postupak sukcesivnih aproksimacija.

Izvedimo, najpre, jednačine nestacionarnog dopunskog graničnog sloja na način koji je sličan Misesovom postupku [13] izvođenja jednačina Prandtlja. Posmatraćemo najopštiji slučaj opticanja krivolinijske konture.

Podjimo od osnovnih Navie-Stoksovih jednačina hidromehanike za ravanaki slučaj:

$$\left. \begin{aligned} \frac{\partial u}{\partial t} + u \frac{\partial u}{\partial x} + v \frac{\partial u}{\partial y} &= -\frac{1}{\rho} \frac{\partial p}{\partial x} + \nu \Delta u \\ \frac{\partial v}{\partial t} + u \frac{\partial v}{\partial x} + v \frac{\partial v}{\partial y} &= -\frac{1}{\rho} \frac{\partial p}{\partial y} + \nu \Delta v \\ \frac{\partial u}{\partial x} + \frac{\partial v}{\partial y} &= 0 \end{aligned} \right\} (1.4)$$

i prevedimo ih na bezdimenzijski oblik koristeći karakterističnu dužinu "l" i karakterističnu brzinu "V":

$$\left. \begin{aligned} x &= l \bar{x}, \quad y = l \bar{y}, \quad t = \frac{l}{V} \bar{t}, \\ u &= V \bar{u}, \quad v = V \bar{v}, \quad p = \rho V^2 \bar{p}, \quad \nu = \frac{lV}{Re} \end{aligned} \right\} (1.5)$$

Zamenom vrednosti (1.5) u (1.4) i skraćivanjem obeju strana prvih dveju jednačina toga sistema sa $\frac{V^2}{l}$, a treće sa $\frac{V}{l}$, dobiće se:

$$\left. \begin{aligned} \frac{\partial \bar{u}}{\partial \bar{t}} + \bar{u} \frac{\partial \bar{u}}{\partial \bar{x}} + \bar{v} \frac{\partial \bar{u}}{\partial \bar{y}} &= -\frac{\partial \bar{p}}{\partial \bar{x}} + \frac{1}{Re} \left(\frac{\partial^2 \bar{u}}{\partial \bar{x}^2} + \frac{\partial^2 \bar{u}}{\partial \bar{y}^2} \right) \\ \frac{\partial \bar{v}}{\partial \bar{t}} + \bar{u} \frac{\partial \bar{v}}{\partial \bar{x}} + \bar{v} \frac{\partial \bar{v}}{\partial \bar{y}} &= -\frac{\partial \bar{p}}{\partial \bar{y}} + \frac{1}{Re} \left(\frac{\partial^2 \bar{v}}{\partial \bar{x}^2} + \frac{\partial^2 \bar{v}}{\partial \bar{y}^2} \right) \\ \frac{\partial \bar{u}}{\partial \bar{x}} + \frac{\partial \bar{v}}{\partial \bar{y}} &= 0 \end{aligned} \right\} (1.6)$$

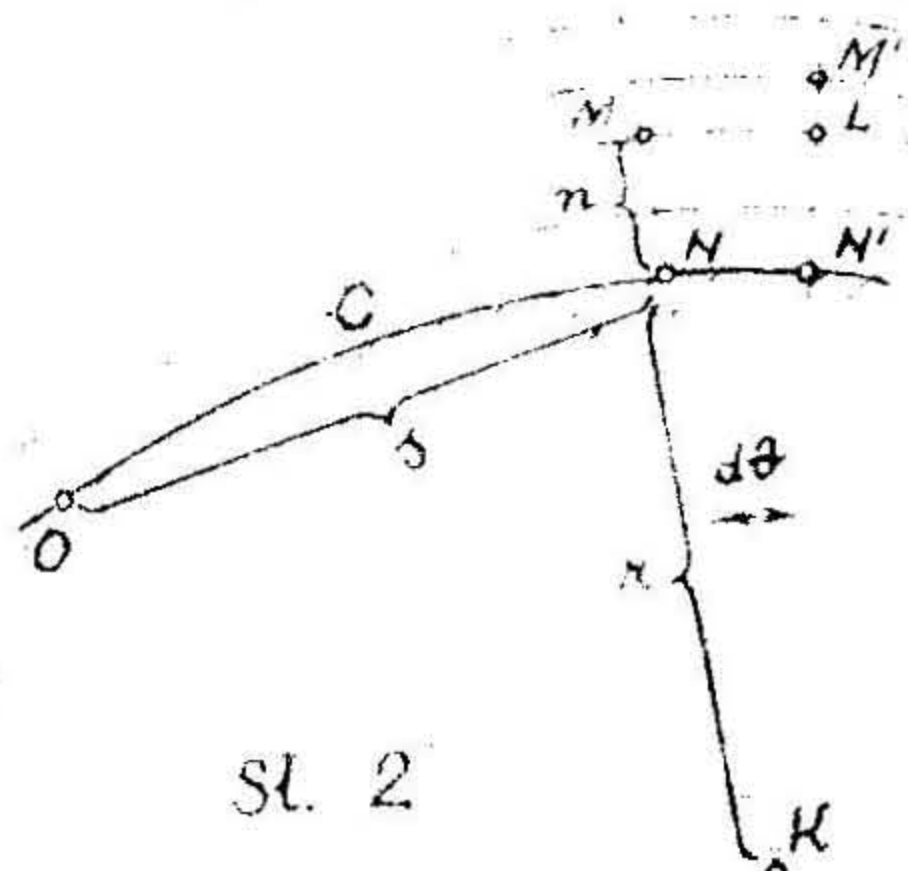
gde su izostavljene ortice iznad slova za fizičke veličine i koordinate.

Očevidno, jednačine hidromehanike, napisane u bezdimenzijskom obliku (1.6), očuvale su svoj predjađnji osnovni oblik, samo što se umesto gustine " ρ " nalazi jedinica, a umesto kinematske viskoznosti " ν " čim $\frac{1}{Re}$, gde je $Re = \frac{Vl}{\nu}$ - Reynoldsov broj.

Ako sada jednačine (1.6) izrazimo u krivolinijskom ortogonalnom koordinatnom sistemu (α_1, α_2) dobićemo:

$$\begin{aligned}
 & \frac{\partial v_1}{\partial t} + \frac{v_1}{H_1} \frac{\partial v_1}{\partial q_1} + \frac{v_2}{H_2} \frac{\partial v_1}{\partial q_2} + \frac{v_2}{H_1 H_2} \left(v_1 \frac{\partial H_1}{\partial q_2} - v_2 \frac{\partial H_2}{\partial q_1} \right) = \\
 & = - \frac{1}{H_1} \frac{\partial f}{\partial q_1} + \frac{1}{R_0} \left[\frac{1}{H_1^2} \frac{\partial v_1}{\partial q_1^2} + \frac{1}{H_2^2} \frac{\partial v_1}{\partial q_2^2} + \frac{1}{H_1 H_2} \frac{\partial(H_2/H_1)}{\partial q_1} \frac{\partial v_1}{\partial q_1} + \right. \\
 & + \frac{1}{H_1 H_2} \frac{\partial(H_1/H_2)}{\partial q_2} \frac{\partial v_1}{\partial q_2} + \frac{2}{H_1^2 H_2} \frac{\partial H_1}{\partial q_2} \frac{\partial v_2}{\partial q_1} - \frac{2}{H_1 H_2^2} \frac{\partial H_2}{\partial q_1} \frac{\partial v_2}{\partial q_2} + \left. \frac{1}{H_1} \frac{\partial}{\partial q_1} \left(\frac{1}{H_1 H_2} \frac{\partial H_2}{\partial q_1} \right) v_1 + \right. \\
 & + \left. \frac{1}{H_2} \frac{\partial}{\partial q_2} \left(\frac{1}{H_1 H_2} \frac{\partial H_1}{\partial q_2} \right) v_2 - \frac{1}{H_2} \frac{\partial}{\partial q_2} \left(\frac{1}{H_1 H_2} \frac{\partial H_2}{\partial q_1} \right) v_2 \right] \\
 & \frac{\partial v_2}{\partial t} + \frac{v_1}{H_1} \frac{\partial v_2}{\partial q_1} + \frac{v_2}{H_2} \frac{\partial v_2}{\partial q_2} - \frac{v_1}{H_1 H_2} \left(v_1 \frac{\partial H_1}{\partial q_2} - v_2 \frac{\partial H_2}{\partial q_1} \right) = - \frac{1}{H_2} \frac{\partial f}{\partial q_2} + \\
 & + \frac{1}{R_0} \left[\frac{1}{H_1^2} \frac{\partial v_2}{\partial q_1^2} + \frac{1}{H_2^2} \frac{\partial v_2}{\partial q_2^2} + \frac{1}{H_1 H_2} \frac{\partial(H_2/H_1)}{\partial q_1} \frac{\partial v_2}{\partial q_1} + \frac{1}{H_1 H_2} \frac{\partial(H_1/H_2)}{\partial q_2} \frac{\partial v_2}{\partial q_2} - \right. \\
 & - \frac{2}{H_1^2 H_2} \frac{\partial H_1}{\partial q_2} \frac{\partial v_1}{\partial q_2} + \frac{2}{H_1 H_2^2} \frac{\partial H_2}{\partial q_1} \frac{\partial v_1}{\partial q_2} + \left. \frac{1}{H_1} \frac{\partial}{\partial q_1} \left(\frac{1}{H_1 H_2} \frac{\partial H_2}{\partial q_1} \right) v_2 + \right. \\
 & + \left. \frac{1}{H_2} \frac{\partial}{\partial q_2} \left(\frac{1}{H_1 H_2} \frac{\partial H_1}{\partial q_2} \right) v_2 - \frac{1}{H_1} \frac{\partial}{\partial q_1} \left(\frac{1}{H_1 H_2} \frac{\partial H_1}{\partial q_2} \right) v_1 + \frac{1}{H_2} \frac{\partial}{\partial q_2} \left(\frac{1}{H_1 H_2} \frac{\partial H_2}{\partial q_1} \right) v_1 \right] \\
 & H_2 \frac{\partial v_1}{\partial q_1} + H_1 \frac{\partial v_2}{\partial q_2} + v_1 \frac{\partial H_2}{\partial q_1} + v_2 \frac{\partial H_1}{\partial q_2} = 0
 \end{aligned}
 \tag{1.7}$$

gde su H_1 i H_2 odgovarajući Laméovi koeficijenti. Izaberimo sada sistem krivolinijskih koordinata prema sl. 2. Uzmimo u tačkama konture C normale na tu konturu i neka normala kroz proizvoljnu tačku H , koja leži blizu konture C , seče tu konturu u tački N . Ako izaberemo na konturi jednu fiksnu tačku O , položaj proizvoljne tačke H određena je, u odnosu na nju, koordinatama $q_1 = s$ i $q_2 = n$, gde je "s" dužina luka OH , a "n" dužina normale NH . Ođredimo rastojanje susjednih tačaka N i N' . Beskonačno bliske normale NH i $N'H'$ seku se u centru krivine K krive C , koji odgovara tački N . Obeležimo radijus krivine krive C u tački N sa $r(s)$ i pređpostavimo da je $r(s)$ neprekidna funkcija promenljive "s", zajedno sa svojim prvim izvodom.



Sl. 2

Da tačnošću do beskonačno malih veličina višeg reda, imamo da jest

$$dS^2 = \overline{ML}^2 + \overline{LM}^2, \quad \overline{LM}^2 = dn^2, \quad \overline{ML} = [n(s) + n]d\theta$$

$$\overline{NN'} = ds = n(s)d\theta, \quad \overline{ML} = \frac{n(s) + n}{n(s)} ds,$$

te jest
$$dS^2 = \left[1 + \frac{n}{n(s)}\right]^2 ds^2 + dn^2$$

pa su Lamovi koeficijenti:

$$H_1 = 1 + \frac{n}{n(s)}, \quad H_2 = 1; \tag{1.8}$$

Konačno, uvedimo sledeće relacije (pri čemu imamo u vidu red veličine poprečne brzine u graničnom sloju, kao i namu poprečnu dimenziju graničnog sloja):

$$\left. \begin{aligned} \eta_1 = 0 = \alpha, \quad \eta_2 = n = \frac{\nu}{\sqrt{Re}} \\ v_1 = v_s = u, \quad v_2 = v_n = \frac{\nu}{\sqrt{Re}} \\ H_1 = 1 + \frac{\nu}{\sqrt{Re} n(x)}, \quad H_2 = 1. \end{aligned} \right\} \tag{1.9}$$

Ubacivanjem vrednosti (1.9) u jednačine (1.7) dobiće se

$$\left. \begin{aligned} \frac{\partial u}{\partial t} + \frac{1}{H_1} u \frac{\partial u}{\partial x} + v \frac{\partial u}{\partial y} + \frac{1}{\sqrt{Re} H_1} u v = - \frac{1}{H_1} \frac{\partial p}{\partial x} + \\ + \frac{1}{Re} \frac{1}{H_1^2} \frac{\partial^2 u}{\partial x^2} + \frac{\partial^2 u}{\partial y^2} + \frac{n'y}{\sqrt{Re} H_1^3} \frac{\partial u}{\partial x} + \frac{1}{\sqrt{Re} H_1} \frac{\partial u}{\partial y} + \\ + \frac{2}{\sqrt{Re} H_1^2} \frac{\partial v}{\partial x} - \frac{1}{\sqrt{Re} H_1^2} u - \frac{n'}{\sqrt{Re} H_1^3} v \\ \frac{1}{Re} \frac{\partial v}{\partial t} + \frac{1}{Re H_1} u \frac{\partial v}{\partial x} + \frac{1}{Re} v \frac{\partial v}{\partial y} - \frac{1}{\sqrt{Re} H_1} u^2 = \\ = - \frac{\partial p}{\partial y} + \frac{1}{\sqrt{Re} H_1^2} \left\{ \frac{1}{Re H_1^2} \frac{\partial^2 v}{\partial x^2} + \frac{\partial^2 v}{\partial y^2} + \frac{n'y}{\sqrt{Re} H_1^3} \frac{\partial v}{\partial x} + \right. \\ \left. + \frac{1}{\sqrt{Re} H_1} \frac{\partial v}{\partial y} - \frac{2}{\sqrt{Re} H_1^2} \frac{\partial u}{\partial x} + \frac{1}{\sqrt{Re}} v + \frac{n'}{\sqrt{Re} H_1^3} u \right\} \end{aligned} \right\} \tag{1.10}$$

Ono strujanje koje se pojavljuje dopunskog kretanja bilo bi prikazano ovim jednačinama, samo bi se mogle sve fizičke veličine označiti indeksom "s", da bi se tako naznačilo da se radi o predhodnom strujanju. Ali, isto tako jednačine (1.10) mogu se tumačiti i kao jednačine rezultujućeg strujanja posle pojave dopunskog kretanja. A da bismo dobili jednačine samo dopunskog strujanja u zasebnom obliku, treba u relaciju (1.10) staviti:

$$\left. \begin{aligned} u &= u_s + u_d \\ v &= v_s + v_d \\ p &= p_s + p_d \end{aligned} \right\} \tag{1.11}$$

zatim razdelaniti sve izraze, iskoristiti činjenicu o neprekidnosti

rasvijanju starog strujanja (u_s i v_s) i posle trenutka $t = T$ kada je stvareno dopunsko strujanje, te tako dobiti jednačine nestacionarnog dopunskog strujanja oko cilindričnog tela pri proizvoljnom Re - broju:

$$\left. \begin{aligned} & \frac{\partial u}{\partial t_1} + \frac{1}{H_1} \left(u_s \frac{\partial u_s}{\partial x} + u_d \frac{\partial u_d}{\partial x} + u_s \frac{\partial u_d}{\partial x} \right) + v_s \frac{\partial u_d}{\partial y} + v_d \frac{\partial u_s}{\partial y} + v_d \frac{\partial u_d}{\partial y} + \\ & + \frac{1}{\kappa \sqrt{Re} H_1} (u_s v_d + u_d v_s + u_d v_d) = - \frac{1}{H_1} \frac{\partial p_d}{\partial x} + \frac{1}{Re H_1^2} \frac{\partial^2 u_d}{\partial x^2} + \frac{1}{\kappa \sqrt{Re} H_1} \frac{\partial^2 u_d}{\partial y^2} + \\ & + \frac{\partial^2 u_d}{\partial y^2} + \frac{\kappa' y}{\kappa^2 Re \sqrt{Re} H_1^3} \frac{\partial u_d}{\partial x} + \frac{2}{\kappa Re \sqrt{Re} H_1^2} \frac{\partial v_d}{\partial x} - \frac{1}{\kappa^2 Re H_1^2} u_d - \frac{\kappa'}{\kappa^2 Re \sqrt{Re} H_1^3} v_d \\ & + \frac{1}{Re} \frac{\partial v_d}{\partial t_1} + \frac{1}{Re H_1} \left(u_s \frac{\partial v_d}{\partial x} + u_d \frac{\partial v_s}{\partial x} + u_d \frac{\partial v_d}{\partial x} \right) + \frac{1}{Re} \left(v_s \frac{\partial v_d}{\partial y} + \right. \\ & \left. + v_d \frac{\partial v_s}{\partial y} + v_d \frac{\partial v_d}{\partial y} \right) - \frac{1}{\sqrt{Re} \kappa H_1} (2 u_s u_d + u_d^2) = \\ & = - \frac{\partial p_d}{\partial y} + \frac{1}{Re \sqrt{Re}} \left(\frac{1}{Re H_1^2} \frac{\partial^2 v_d}{\partial x^2} + \frac{\partial^2 v_d}{\partial y^2} + \frac{\kappa' y}{\kappa^2 Re H_1^3} \frac{\partial v_d}{\partial x} + \right. \\ & \left. + \frac{1}{\kappa H_1} \frac{\partial v_d}{\partial y} - \frac{2}{\kappa H_1^2} \frac{\partial u_d}{\partial x} + \frac{\partial v_d}{\partial y} + \frac{\kappa'}{\kappa^2} \frac{1}{H_1^3} u_d \right) \end{aligned} \right\} (1.12)$$

Prelazeci na strujanje u graničnom sloju oko tela, dakle pretpostavljajući da $Re \rightarrow \infty$, iz jednačina (1.12) dobije se jednačina dopunskog graničnog sloja:

$$\left. \begin{aligned} & \frac{\partial u_d}{\partial t_1} + u_s \frac{\partial u_d}{\partial x} + u_d \frac{\partial u_s}{\partial x} + u_d \frac{\partial u_d}{\partial x} + v_s \frac{\partial u_d}{\partial y} + \\ & + v_d \frac{\partial u_s}{\partial y} + v_d \frac{\partial u_d}{\partial y} = - \frac{1}{\rho} \frac{\partial p_d}{\partial x} + \nu \frac{\partial^2 u_d}{\partial y^2} \\ & 0 = - \frac{\partial p_d}{\partial y} \end{aligned} \right\} (1.13)$$

Razmotrimo još i jednačinu kontinuiteta:

$$H_2 \frac{\partial v_1}{\partial \varrho_1} + H_1 \frac{\partial v_2}{\partial \varrho_2} + v_1 \frac{\partial H_2}{\partial \varrho_2} + v_2 \frac{\partial H_1}{\partial \varrho_1} = 0$$

Zmenjivanjem ovde vrednosti (1.9) dobije se:

$$\frac{\partial u}{\partial x} + \frac{1}{1 + \frac{y}{\kappa \sqrt{Re}}} \frac{\partial u}{\partial y} + \nu \frac{1}{\kappa \sqrt{Re}} = 0$$

a, pomoću izraza (1.11) nastaje jednačina kontinuiteta za dopunsko strujanje pri proizvoljnom Re - broju:

$$\frac{\partial u_d}{\partial x} + \frac{1}{1 + \frac{y}{\kappa \sqrt{Re}}} \frac{\partial u_d}{\partial y} + \frac{1}{\kappa \sqrt{Re}} v_d = 0$$

Odatle sleduje za $Re \rightarrow \infty$ konačni izgled jednačine kontinuiteta za dopunski nestacionarni granični sloj:

$$\frac{\partial u_d}{\partial x} + \frac{\partial v_d}{\partial y} = 0 \quad (1.14)$$

Kao što je poznato, pritisak u pravcu upravnom na granični sloj može se smatrati konstantnim, što ostaje u važenosti i za dopunski granični sloj, kako pokazuje druga od jednačina (1.13). Može se uvojiti da je taj pritisak jednak

sa orin pritiskom koji vladá na spoljnoj granici graničnog sloja, a koji je određen spoljnim bezvrtkovnim strujanjem. Prema tome, može se smatrati da je pritisak u graničnom sloju koji je određen spoljašnjim potencijalnim strujanjem, poznata funkcija koordinate "x" i vremena.

Usvajajući još i Blazijusov način prikazivanja načina kretanja cilindričnog tela kroz viskozni fluid preko spoljanje potencijalne brzine - može se doći do značenja gradijenta pritiska potrebnog za jednačine (1.13).

Naime, za slučaj kretanja iz stanja mirovanja, dakle, za našu prvu etapu kretanja, imamo u tu svrhu poznatu Ojlerovu jednačinu

$$\frac{\partial U_s}{\partial t} + U_s \frac{\partial U_s}{\partial x} = -\frac{1}{\rho} \frac{\partial p_s}{\partial x} \quad (1.15)$$

U periodu $t_1 > 0$ gde je $t_1 = t - \tau$

$$t = \tau + t_1 \quad (1.16)$$

spoljašnje potencijalno strujanje je, razume se, ponovo određeno Ojlerovom jednačinom. Međutim, prethodna potencijalna brzina dobila je priraštaj U_d zbog pojave novog dopunskog kretanja, a to se moralo odraziti i na promenu pritiska, te se tako javilo traženo "p_d".

$$\frac{\partial U_s}{\partial t} + \frac{\partial U_d}{\partial t_1} + (U_s + U_d) \frac{\partial (U_s + U_d)}{\partial x} = -\frac{1}{\rho} \frac{\partial (p_s + p_d)}{\partial x} \quad (1.17)$$

Tako se, najjedn, koristeći jednačine (1.15) i (1.17) može doći do cilja:

$$-\frac{1}{\rho} \frac{\partial p_d}{\partial x} = \frac{\partial U_d}{\partial t_1} + U_d \frac{\partial U_d}{\partial x} + U_s \frac{\partial U_d}{\partial x} + U_d \frac{\partial U_s}{\partial x}$$

Zamenom ove veze u (1.13) i pridruživanjem jednačine kontinuiteta (1.14) dobiće se sistem jednačina koji definiše dopunski nestacionarni granični sloj

$$\left. \begin{aligned} \frac{\partial U_d}{\partial t_1} + U_d \frac{\partial U_d}{\partial x} + U_d \frac{\partial U_d}{\partial y} + U_s \frac{\partial U_d}{\partial x} + U_d \frac{\partial U_s}{\partial x} + U_s \frac{\partial U_d}{\partial y} + \\ + U_d \frac{\partial U_s}{\partial y} = \frac{\partial U_d}{\partial t_1} + U_d \frac{\partial U_d}{\partial x} + U_s \frac{\partial U_d}{\partial x} + U_d \frac{\partial U_s}{\partial x} + \nu \frac{\partial^2 U_d}{\partial y^2} \end{aligned} \right\} \quad (1.18)$$

$$\frac{\partial U_d}{\partial x} + \frac{\partial U_d}{\partial y} = 0$$

Granični i početni uslovi su:

$$\left. \begin{aligned} u_d = v_d = 0, \text{ za } y = 0; \\ u_d = \bar{u}_d(x, t_1), \text{ za } y = \infty; \\ u_d = v_d = 0, \text{ za } t = T; \end{aligned} \right\} \quad (1.19)$$

Do ovih jednačina može se doći i drugim putem.

Koristeći činjenicu da je granični sloj veoma tanak kada je krivolinijska mreža koordinata, prema sl. 1, smatra-
ti u unutrašnjosti graničnog sloja, mrežom Dekartovih koordi-
natnih linija (x, y) . U tom sistemu, ako zanemarimo zapreminske
sile, jednačine Navie-Stokosa za ravansko strujanje viskozne
nestišljive tečnosti, imaju oblik:

$$\left. \begin{aligned} \frac{\partial u}{\partial t_1} + u \frac{\partial u}{\partial x} + v \frac{\partial u}{\partial y} &= -\frac{1}{\rho} \frac{\partial p}{\partial x} + \nu \left(\frac{\partial^2 u}{\partial x^2} + \frac{\partial^2 v}{\partial y^2} \right) \\ \frac{\partial v}{\partial t_1} + u \frac{\partial v}{\partial x} + v \frac{\partial v}{\partial y} &= -\frac{1}{\rho} \frac{\partial p}{\partial y} + \nu \left(\frac{\partial^2 u}{\partial x^2} + \frac{\partial^2 v}{\partial y^2} \right) \\ \frac{\partial u}{\partial x} + \frac{\partial v}{\partial y} &= 0 \end{aligned} \right\}$$

Ako u ovim jednačinama pritisak i brzine označimo
indeksima "d" imaćemo jednačine strujanja za prethodno struja-
nje, u vreme kretanja nastalog direktno iz stanja mirovanja,
a čemu je već jednom bilo reči.

Za drugu etapu kretanja, kada se telo prevodi iz ovog
u novo kretanje preko vosa (1.11) i ovih jednačina, za dopunske
brzine "u_d" i "v_d" dobijće se parcijalne jednačine:

$$\left. \begin{aligned} \frac{\partial u_d}{\partial t_1} + u_d \frac{\partial u_d}{\partial x} + u_s \frac{\partial u_d}{\partial x} + u_d \frac{\partial u_d}{\partial x} + v_d \frac{\partial u_d}{\partial y} + v_s \frac{\partial u_d}{\partial y} + v_d \frac{\partial u_d}{\partial y} &= \\ &= -\frac{1}{\rho} \frac{\partial p_d}{\partial x} + \nu \left(\frac{\partial^2 u_d}{\partial x^2} + \frac{\partial^2 u_d}{\partial y^2} \right) \\ \frac{\partial v_d}{\partial t_1} + u_d \frac{\partial v_d}{\partial x} + u_s \frac{\partial v_d}{\partial x} + u_d \frac{\partial v_d}{\partial x} + v_d \frac{\partial v_d}{\partial y} + v_s \frac{\partial v_d}{\partial y} + v_d \frac{\partial v_d}{\partial y} &= \\ &= -\frac{1}{\rho} \frac{\partial p_d}{\partial y} + \nu \left(\frac{\partial^2 v_d}{\partial x^2} + \frac{\partial^2 v_d}{\partial y^2} \right) \\ \frac{\partial u_d}{\partial x} + \frac{\partial v_d}{\partial y} &= 0 \end{aligned} \right\} \quad (1.20)$$

Pošto želimo da procenimo relativne veličine pojedinih članova ovih jednačina u graničnom sloju, predjimo na bez-
dimenzijezni oblik tih jednačina. Pri tome će se oslanjati
na poznato svojstvo graničnog sloja - vrlo mala debljina gra-
ničnog sloja u poređenju sa udaljenim dimenzijama ove oblasti

strujanja i, u vezi sa tim, vrlo male poprečne brzine, prema podužnim.

Opredeljeno se za isti red veličina brzina i prethodnog i dopunskog kretanja na gornjoj granici graničnog sloja (zajednička karakteristična brzina u podužnom pravcu je U), a i za poprečne komponente prethodnog i dopunskog kretanja uzeto približno istu karakterističnu brzinu V.

Za razmere vremena i pritiska usvojeno konstante T i P. Ako sa "prim" označimo bezdimenzijске vrednosti, biće:

$$t_1 = T \cdot t'; \quad x = X x'; \quad y = Y y';$$

$$u_d = U u'_d; \quad v_d = V v'_d; \quad u_s = U u'_s; \quad v_s = V v'_s; \quad p_d = P p'_d;$$

preko kojih jednačine (1.20) postaju:

$$\left. \begin{aligned} \frac{X}{UT} \frac{\partial u'_d}{\partial t'} + u'_d \frac{\partial u'_d}{\partial x'} + u'_s \frac{\partial u'_d}{\partial x'} + u'_d \frac{\partial u'_d}{\partial x'} + \frac{XV}{YU} v'_d \frac{\partial u'_d}{\partial y'} + \frac{XV}{YU} v'_s \frac{\partial u'_d}{\partial y'} + \frac{XV}{YU} v'_d \frac{\partial u'_d}{\partial y'} \\ + \frac{XV}{YU} v'_s \frac{\partial u'_d}{\partial y'} = - \frac{P}{\rho U^2} \frac{\partial p'_d}{\partial x'} + \frac{V}{XU} \frac{\partial^2 u'_d}{\partial x'^2} + \frac{V^2 X}{Y^2 U} \frac{\partial^2 u'_d}{\partial y'^2} \\ \frac{X}{UT} \frac{\partial v'_d}{\partial t'} + u'_d \frac{\partial v'_d}{\partial x'} + u'_s \frac{\partial v'_d}{\partial x'} + u'_d \frac{\partial v'_d}{\partial x'} + \frac{XV}{YU} v'_d \frac{\partial v'_d}{\partial y'} + \frac{XV}{YU} v'_s \frac{\partial v'_d}{\partial y'} + \frac{XV}{YU} v'_d \frac{\partial v'_d}{\partial y'} \\ + \frac{XV}{YU} v'_s \frac{\partial v'_d}{\partial y'} = - \frac{PX}{\rho UVY} \frac{\partial p'_d}{\partial y'} + \frac{V}{XU} \frac{\partial^2 v'_d}{\partial x'^2} + \frac{V^2 X}{Y^2 U} \frac{\partial^2 v'_d}{\partial y'^2} \\ \frac{\partial u'_d}{\partial x'} + \frac{XV}{YU} \frac{\partial v'_d}{\partial y'} = 0 \end{aligned} \right\} (1.21)$$

preko konstanta X i U obrazuju se broj $Re = \frac{UX}{V}$ i izrazimo dimenzije konstanta T i P:

$$T = \frac{X}{U}; \quad P = \rho U^2$$

Ostaje još da se поближе odrede razmere poprečne dužine Y i brzine V. Odredimo ih iz uslova da u trećoj jednačini sistema (1.21) bude ostvarena homogenost u pogledu reda veličine sabiraka, odnosno tako da u sistemu (1.21) ostane samo jedan osnovni parametar: Re - broj; dakle, u tom smislu, mogu se ustanoviti veze:

$$\frac{XV}{YU} = 1; \quad \frac{V^2 X}{Y^2 U} = 1$$

odakle sledeju podaci za red veličina poprečnih dužina i brzina:

$$V = \frac{U}{\sqrt{Re}}; \quad Y = \frac{X}{\sqrt{Re}}$$

Sada jednačine (1.21) postaju:

$$\left. \begin{aligned} \frac{\partial u'_d}{\partial t'} + u'_d \frac{\partial u'_d}{\partial x'} + u'_s \frac{\partial u'_d}{\partial x'} + u'_d \frac{\partial u'_d}{\partial x'} + v'_d \frac{\partial u'_d}{\partial y'} + v'_s \frac{\partial u'_d}{\partial y'} + v'_d \frac{\partial u'_d}{\partial y'} \\ = - \frac{\partial p'_d}{\partial x'} + \frac{1}{Re} \frac{\partial^2 u'_d}{\partial x'^2} + \frac{\partial^2 u'_d}{\partial y'^2} \end{aligned} \right\}$$

$$\frac{1}{Re} \left(\frac{\partial v'_d}{\partial t'} + u'_d \frac{\partial v'_d}{\partial x'} + u'_s \frac{\partial v'_d}{\partial x'} + u'_d \frac{\partial v'_d}{\partial x'} + v'_d \frac{\partial v'_d}{\partial y'} + v'_s \frac{\partial v'_d}{\partial y'} + v'_d \frac{\partial v'_d}{\partial y'} \right) =$$

$$= -\frac{\partial p'_d}{\partial y'} + \frac{1}{Re^2} \frac{\partial^2 v'_d}{\partial x'^2} + \frac{1}{Re} \frac{\partial^2 v'_d}{\partial y'^2}$$

$$\frac{\partial u'_d}{\partial x'} + \frac{\partial v'_d}{\partial y'} = 0 \quad (1.22)$$

Sistem (1.22) sadrži parametar $\frac{1}{Re}$, i to najzgodnije smatrati ga u obliku $\frac{1}{\sqrt{Re}}$, kakav ulazi i u izraze za poprečnu koordinatu i poprečnu brzinu u bezdimenzijskom obliku.

Pozmatrajući formalno rešenja jednačina (1.22) razvijena po stepenima toga malog parametra

$$u'_d = u'_{d0} + \frac{1}{\sqrt{Re}} u'_{d1} + \dots; \quad v'_d = v'_{d0} + \frac{1}{\sqrt{Re}} v'_{d1} + \dots;$$

$$p'_d = p'_{d0} + \frac{1}{\sqrt{Re}} p'_{d1} + \dots;$$

$$u'_s = u'_{s0} + \frac{1}{\sqrt{Re}} u'_{s1} + \dots; \quad v'_s = v'_{s0} + \frac{1}{\sqrt{Re}} v'_{s1} + \dots;$$

gde su sve veličine obeležene simbolom "prim" funkcije od bezdimenzijskih koordinata i vremena, tada prva jednačina sistema

(1.22) dobija oblik

$$\frac{\partial u'_{d0}}{\partial t'} + \frac{1}{\sqrt{Re}} \frac{\partial u'_{d1}}{\partial t'} + (u'_{d0} + \frac{1}{\sqrt{Re}} u'_{d1}) \left(\frac{\partial u'_{s0}}{\partial x'} + \frac{1}{\sqrt{Re}} \frac{\partial u'_{s1}}{\partial x'} \right) + (u'_{s0} + \frac{1}{\sqrt{Re}} u'_{s1}) \left(\frac{\partial u'_{d0}}{\partial x'} + \frac{1}{\sqrt{Re}} \frac{\partial u'_{d1}}{\partial x'} \right) + (v'_{d0} + \frac{1}{\sqrt{Re}} v'_{d1}) \left(\frac{\partial u'_{s0}}{\partial y'} + \frac{1}{\sqrt{Re}} \frac{\partial u'_{s1}}{\partial y'} \right) + (v'_{s0} + \frac{1}{\sqrt{Re}} v'_{s1}) \left(\frac{\partial u'_{d0}}{\partial y'} + \frac{1}{\sqrt{Re}} \frac{\partial u'_{d1}}{\partial y'} \right) + (v'_{d0} + \frac{1}{\sqrt{Re}} v'_{d1}) \left(\frac{\partial u'_{d0}}{\partial y'} + \frac{1}{\sqrt{Re}} \frac{\partial u'_{d1}}{\partial y'} \right) = -\frac{\partial p'_{d0}}{\partial x'} - \frac{1}{\sqrt{Re}} \frac{\partial p'_{d1}}{\partial x'} + \frac{1}{Re} \left(\frac{\partial^2 u'_{d0}}{\partial x'^2} + \frac{1}{\sqrt{Re}} \frac{\partial^2 u'_{d1}}{\partial x'^2} \right) + \frac{\partial^2 u'_{d0}}{\partial y'^2} + \frac{1}{\sqrt{Re}} \frac{\partial^2 u'_{d1}}{\partial y'^2}$$

$$(1.23)$$

Ako pravilno koeficijente uz mali stepen malog parametra $\frac{1}{\sqrt{Re}}$

na levoj i desnoj strani, tada iz druge od jednačina (1.22)

dobijamo:

$$\frac{\partial p'_{d0}}{\partial y'} = 0$$

a iz relacije (1.23) sleduje

$$\frac{\partial u'_{d0}}{\partial t'} + u'_{d0} \frac{\partial u'_{s0}}{\partial x'} + u'_{s0} \frac{\partial u'_{d0}}{\partial x'} + u'_{d0} \frac{\partial u'_{d0}}{\partial x'} + v'_{d0} \frac{\partial u'_{s0}}{\partial y'} + v'_{s0} \frac{\partial u'_{d0}}{\partial y'} + v'_{d0} \frac{\partial u'_{d0}}{\partial y'} = -\frac{\partial p'_{d0}}{\partial x'} + \frac{\partial^2 u'_{d0}}{\partial y'^2}$$

$$(1.24)$$

Iz treće jednačine sistema (1.22) je

$$\frac{\partial u'_{d0}}{\partial x'} + \frac{\partial v'_{d0}}{\partial y'} = 0$$

Vidi se odmah da se dobilo isto kao da je u vešama (1.22) stavljeno $R_e \rightarrow \infty$. Ako saduže tri relacije vratimo na dimenzijalci oblik dobivamo konačno, jednačine dopunskog graničnog sloja:

$$\left. \begin{aligned} \frac{\partial u_d}{\partial t} + u_d \frac{\partial u_d}{\partial x} + u_s \frac{\partial u_d}{\partial x} + u_d \frac{\partial u_d}{\partial x} + v_d \frac{\partial u_d}{\partial y} + v_s \frac{\partial u_d}{\partial y} + \\ + v_d \frac{\partial u_d}{\partial y} = -\frac{1}{\rho} \frac{\partial p_d}{\partial x} + \nu \frac{\partial^2 u_d}{\partial y^2} \\ \frac{\partial p_d}{\partial y} = 0 \\ \frac{\partial u_d}{\partial x} + \frac{\partial v_d}{\partial y} = 0 \end{aligned} \right\} (1.25)$$

Za određivanje vrednosti člana $(-\frac{1}{\rho} \frac{\partial p_d}{\partial x})$ može se koristiti ranije izloženi postupak. Prema tome, jednačine (1.25) i (1.18) su istovetne. Rezume se granični i početni uslovi (1.19) su jedinstveni.

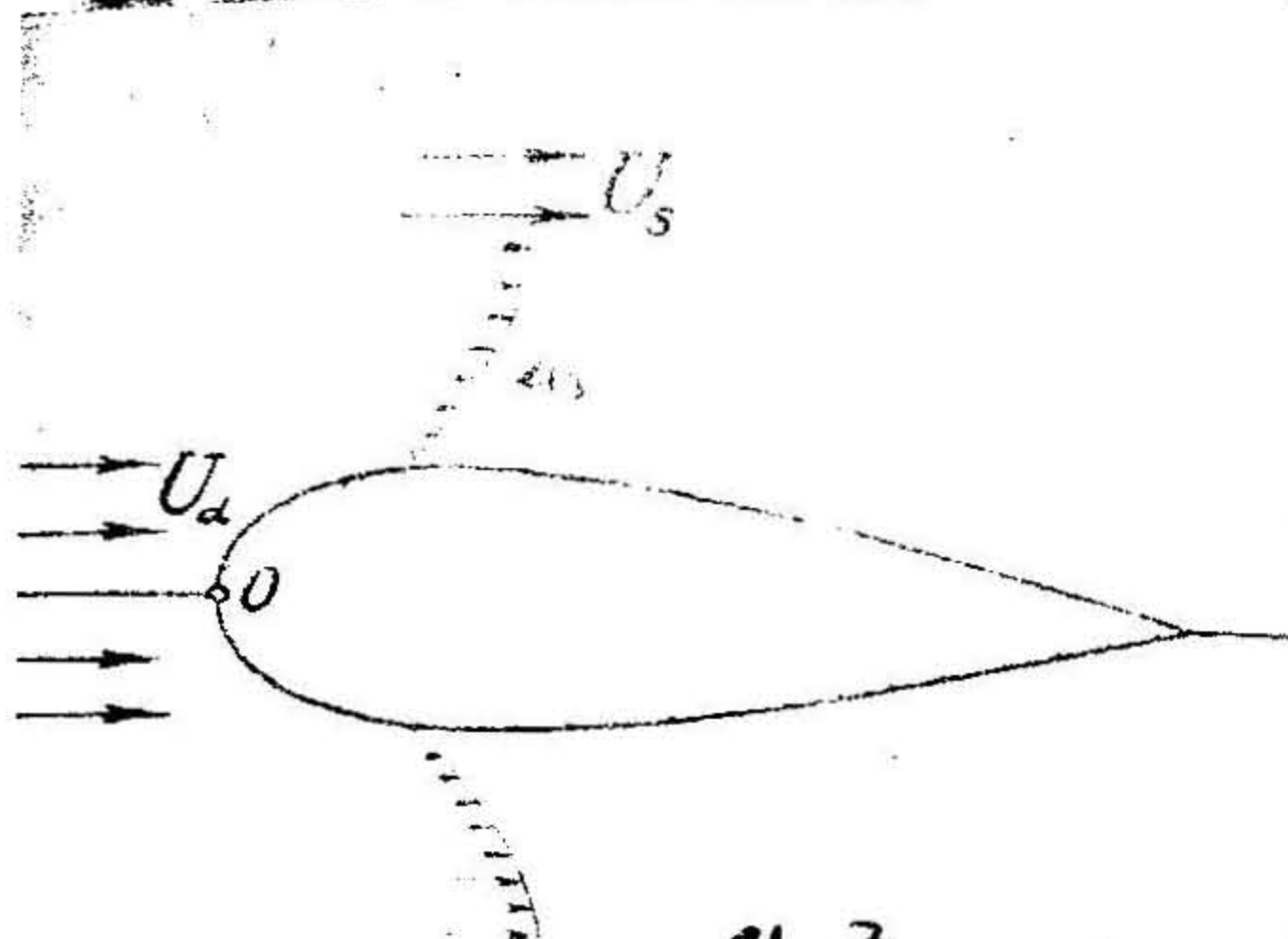
4.3. Metoda rešavanja jednačina dopunskog graničnog sloja

Rešavanjem jednačina dopunskog graničnog sloja (1.18) odnosno (1.25) sa graničnim i početnim uslovima (1.19), i dodavanjem toga rešenja izrazima za brzine, u ovom radu nazvanog, "prethodnog" graničnog sloja, koji je počeo svoje formiranje u momentu $t = 0$, a nastavio ga i posle trenutka $t = T$, kada se začeo dopunski granični sloj - dočiče se do traženih rešenja graničnog sloja na telu pokretnom iz stanja izvornog prethodnog nestacionarnog kretanja.

Pripremao proces postepnih približenja kao metodu za rešavanje jednačina (1.25). Obrazuju parcijalne jednačine sa pojedina sukcesivna približenja brzine u graničnom sloju. Podestino se, najpre, principa kojim Blasijus [14] određuje način kretanja tela kroz viskozni fluid. Ako se telo pokrene iz mirovanja brzajem Blasijus usima da je $U = U(x)$, za $t \geq 0$, kada se kreće stalnim ubrzanjem onda je $U = tW(x)$, za $t \geq 0$, itd.

Dakle, u koordinatnom sistemu čvrsto vezanom za samo telo, što je uvek slučaj u teoriji graničnog sloja; Blasijus

način kao da se spoljašnja potencijalna struja, relativno prema telu, kreće odgovarajućim načinom. Ovakav način primenjavaće se i u ovom radu.



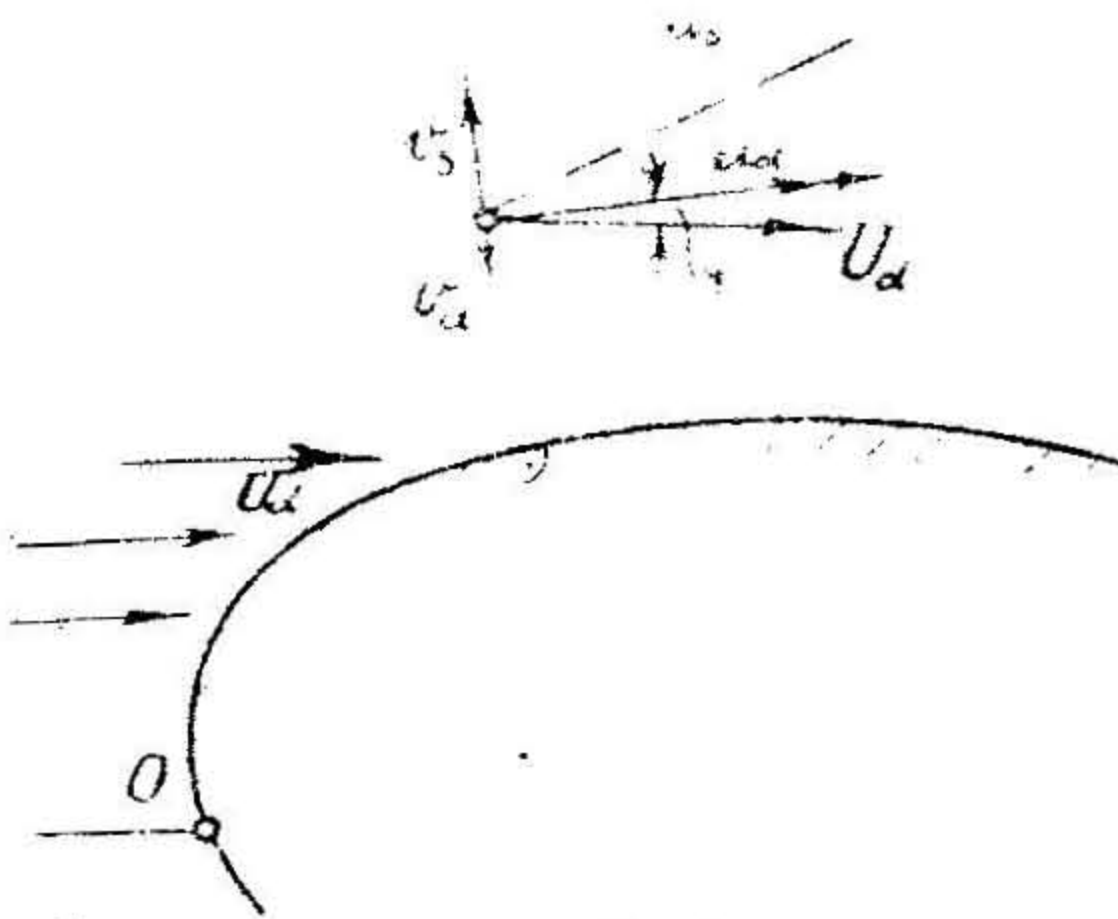
Sl. 3

Dakle, u trenutku $t_1 = 0$, na telu postoji izvestan granični sloj (u_g, v_g) . Tada se telu snopštava dopunsko kretanje, odnosno, analogno Blazijanu, tada kao da nailazi struja tečnosti U_d (v. sl. 3). U prvom trenutku dopunskog kretanja može se primeniti isti princip sa

formiranjem jednačine prvog približenja, kao i pri kretanju iz stanja mirovanja potencijalna brzina spoljašnje struje U_d se skoro u neizmjenjenoj vrednosti prostire gotovo do same konture tela. U stvari, pri tom se u graničnom sloju odigrava proces koji čini da je cela pojava specifična i različita nego u slučaju kretanja tela iz stanja mirovanja. Naime, dopunsko kretanje U_d će, u prvom trenutku, prigušivati postojeće poprečne brzine prethodnog graničnog sloja (v_g će imati suprotan smer od v_g). Znači, uglavnom će U_d pojačavati podužnu komponentu brzine u graničnom sloju, ali, ipak, ne mogu se prenebrići ni poprečne dopunske brzine v_d , pre svega, zato što su one zastupljene u prvoj od jednačina (1.25) sa dva člana $(v_d \frac{\partial u_d}{\partial y} + v_d \frac{\partial u_d}{\partial y})$, a ne samo sa jednim, kao što je to bio slučaj pri kretanju iz stanja mirovanja $(v \frac{\partial u}{\partial y})$. Upravo, ova činjenica najviše doprinosi mogućnosti, da se, za prvo približenje dopunskog graničnog sloja, mogu zanemariti članovi $(v_s \frac{\partial u_d}{\partial y} + v_d \frac{\partial u_s}{\partial y} + v_d \frac{\partial u_d}{\partial y})$, koristeći, pri tome, i podatak, od uvek korišćen, da je poprečno kretanje daleko manje od podužnog. Pri proceni reda veličine ova tri člana imalo se u vidu da su, u domenu važnosti jednačina graničnog sloja, svakako:

$$\frac{\partial u_s}{\partial y} \gg 0; \quad \frac{\partial u_d}{\partial y} \gg 0$$

Ovih nekoliko činjenica koje su korišćene pri formiranju jednačina prvog približenja postaću jasnije ako se posmatra skicom. Na sl. 4. je očigledno da je, u prvim trenucima novog kretanja:



Sl. 4

$$u_d = U_d \cos \varphi; \quad v_d = U_d \sin \varphi;$$

gde je φ relativno mali ugao, tako da je moguće ustanoviti približnosti:

$$u_d \approx U_d; \quad v_d \approx U_d \varphi$$

Tako je i formalno opravdano uzimanje da je $u_d \approx U_d$ u prvim trenucima, ali je isto tako dobijena i veličina $v_d \approx U_d \varphi$, koja ma-
da je mala, ipak, uzeta dvaput

znatno umanjuje vrednost sledećih triju članova:

$$v_s \frac{\partial u_d}{\partial y} + v_d \frac{\partial u_s}{\partial y} + v_d \frac{\partial u_d}{\partial y},$$

jer je, skoro do same tačke odvajanja graničnog sloja, a u početnom stadijumu dopunskog kretanja, kako to pokazuje i sl. 4. " v_d " suprotnog smera od " v_s ". Ako se ove dve činjenici o neznačajnosti poprečnih brzina u graničnom sloju, stiče se razlog za zanemarivanje ova tri člana u jednačini (1.25).

Međutim, u slučaju da dopunsko kretanje nastaje pre pojave tačke prvog odvajanja graničnog sloja zbog prethodnog kretanja, glavni razlog za zanemarivanje pomenuta tri člana u celoj okolini tela je zanemarljivo mala vrednost poprečnih brzina, koje su tek u samom začetku razvoja, s obzirom na kratkotrajnost kretanja.

Ako izrazimo brzinu graničnog sloja u vidu približenja

$$\left. \begin{aligned} u_d &= u_0(x, y, t_1) + u_1(x, y, t_1) \\ v_d &= v_0(x, y, t_1) + v_1(x, y, t_1) \end{aligned} \right\} (1.26)$$

gde su $u_1 \ll u_0$, odnosno $v_1 \ll v_0$, dobiće se za prvo približenje brzine " u_0 ", na opisani način:

$$\left. \begin{aligned} \frac{\partial u_0}{\partial t_1} - \nu \frac{\partial^2 u_0}{\partial y^2} &= \frac{\partial U_d}{\partial t_1} + \frac{\partial}{\partial x} [U_d (U_s - u_s)] \\ \frac{\partial u_0}{\partial x} + \frac{\partial v_0}{\partial y} &= 0 \end{aligned} \right\} (1.27)$$

na graničnim uslovima:

$$u_0 = 0, y = 0; u_0 = U_d(x, t_1), y \rightarrow \infty; \quad (1.28)$$

Umetnom vrednosti (1.26) u jednačinu (1.25) i kori-

šćenjem jednačina za prvo približenje (1.27) nastaje:

$$\left. \begin{aligned} \frac{\partial u_1}{\partial t_1} + u_0 \frac{\partial u_0}{\partial x} + v_0 \frac{\partial u_0}{\partial y} + u_s \frac{\partial u_0}{\partial x} + u_0 \frac{\partial u_s}{\partial x} + v_0 \frac{\partial u_s}{\partial y} + v_s \frac{\partial u_0}{\partial y} + \\ + \Delta = u_s \frac{\partial U_d}{\partial x} + U_d \frac{\partial u_s}{\partial x} + U_d \frac{\partial U}{\partial x} + \nu \frac{\partial^2 u_d}{\partial y^2} \\ \frac{\partial u_1}{\partial x} + \frac{\partial v_1}{\partial y} = 0 \end{aligned} \right\} (1.29)$$

gde je:

$$\begin{aligned} \Delta = u_0 \frac{\partial u_1}{\partial x} + u_1 \frac{\partial u_0}{\partial x} + u_1 \frac{\partial u_1}{\partial x} + u_s \frac{\partial u_1}{\partial x} + u_1 \frac{\partial u_s}{\partial x} + \\ + v_s \frac{\partial u_1}{\partial y} + v_0 \frac{\partial u_1}{\partial y} + v_1 \frac{\partial u_s}{\partial y} + v_1 \frac{\partial u_0}{\partial y} + v_1 \frac{\partial u_1}{\partial y} \end{aligned} \quad (1.30)$$

Pri procenjivanju reda veličine izraza (1.30), podsetimo se šta je zanemareno pri formiranju jednačine za drugo približenje u slučaju kretanja iz stanja mirovanja, koja je poznata i može se naći u literaturi [14]. Naime, tamo se smenom $u = u_0 + u_1$ u jednačinu graničnog sloja i uz pomoć jednačine za prvo približenje, došlo do jednačina drugog približenja, a pri tom je zanemareno: $\Delta_s = u_0 \frac{\partial u_1}{\partial x} + u_1 \frac{\partial u_0}{\partial x} + v_0 \frac{\partial u_1}{\partial y} + v_1 \frac{\partial u_0}{\partial y} + u_1 \frac{\partial u_1}{\partial x} + v_1 \frac{\partial u_1}{\partial y}$. Pri analizi ovog izraza korišćene su sledeće činjenice: a) $u_1 \ll \ll u_0$, $v_1 \ll v_0$ b) $v_0 \ll u_0$ (poprečna kretanja su dosta slabija od podužnih), c) osim ovih podataka, koji važe i za analizu izraza (1.30), biće od koristi okolnost što je za formiranje prvog približenja " u_0 " korišćena približnost $u_d \approx U_d$ i s obzirom na naš izbor da U_d bude istog reda veličine kao i U_s , koje na isti način, u principu, učestvuje u formiranju približenja za u_s , sleduje činjenica da se može smatrati da su " u_0 " i " u_s " približno istog reda veličine (radi se samo o prvim približenjima i prethodnog i dopunskog graničnog sloja).

Promene pojedinih približenja brzine u graničnom sloju su mnogo veće po " y ", nego po " x ". Ova činjenica je korišćena i pri analizi izraza za Δ_s . Ovo, uz pomoć prvog podatka

poč a) omogućuje da se odstrane i članovi: $u_0 \frac{\partial u_1}{\partial x}$, $u_1 \frac{\partial u_0}{\partial x}$; $u_0 \frac{\partial u_1}{\partial x}$
 Došli se svima tome još i činjenica nabeložena pod c), mogu
 se zanemariti i članovi: $u_0 \frac{\partial u_1}{\partial x}$; $u_1 \frac{\partial u_0}{\partial x}$;

Zbog istih razloga zbog kojih su u izrazu za Δ_3 ne-
 gli biti odbačeni članovi $v_1 \frac{\partial u_0}{\partial y}$; $v_1 \frac{\partial u_1}{\partial y}$, mogu se i u iz-
 razu (1.30) zanemariti članovi:

$$v_1 \frac{\partial u_0}{\partial y}, v_1 \frac{\partial u_1}{\partial y}, v_1 \frac{\partial u_2}{\partial y}$$

Ostaje još da se reši pitanje poslednja dva člana u
 izrazu (1.30):

$$v_3 \frac{\partial u_1}{\partial y} + v_0 \frac{\partial u_1}{\partial y}$$

Činjenica simbolično navedena pod b) na početku anali-
 ze reda veličine izraza (1.30), udružena sa pojavom da je " v_d "
 sa vrhove razvoja dopunskog graničnog sloja, suprotnog smera od
 " v_s ", dakle, ustvari, može se pisati: $v_3 \frac{\partial u_1}{\partial y} - v_0 \frac{\partial u_1}{\partial y}$,
 daje osnova zaključiti o zanemarljivom redu veličine ove razlike
 u odnosu na, recimo, red veličine člana $v \frac{\partial^2 u_1}{\partial y^2}$ jednačina (1.29)
 koji iznosi $\frac{v}{\delta_d^2}$. Ovdje je " v " karakteristična brzina, a δ_d -
 debljina dopunskog graničnog sloja, koja se može definisati kao
 rastojanje od konture tela do mesta u struji gde se brzina do-
 punskog graničnog sloja i spoljašnja dopunska brzina v_d razliku-
 ju za 1%, analogno načinu definisanja debljine graničnog sloja
 pri kretanju iz stanja mirovanja. Može se uzeti da su ove deb-
 ljine graničnih slojeva približno iste. Zapravo, to što novo
 dopunsko kretanje nailazi na teren gde već traje jedno njemu
 istosmerno kretanje, može samo da učini da još bliže konturi
 dodje do izjednačenja spoljašnje i brzine u graničnom sloju,
 a to daje još veću prednost opstanku člana $v \frac{\partial^2 u_d}{\partial y^2}$ u odnosu na
 druge o kojima se raspravljalo. Jer, poznato je da je debljina
 graničnog sloja reda veličine $\frac{l}{\sqrt{Re_2}} = \sqrt{\frac{l\nu}{v}}$. Ako uzmemo da su
 $l = 1 \text{ m}$, $v = 1 \text{ m/s}$, $\nu = 0,01 \text{ cm}^2/\text{s}$ (voda pri 20°C), tada se
 dobije $\sqrt{\frac{l\nu}{v}} = 0,1 \text{ cm} = 1 \text{ mm}$. Očigledno je debljina graničnog
 sloja veoma mala praktično.

Tako se, uglavnom, kroz poređenje sa sličnim poslom oko formiranja jednačine drugog približenja pri kretanju iz stanja mirovanja, i ovih nekoliko drugih elemenata, došlo do mogućnosti da se Δ zanemari, tako da jednačine drugog približenja brzine u dopunskom graničnom sloju, onda, glase:

$$\left. \begin{aligned} \frac{\partial u_1}{\partial t_1} - \nu \frac{\partial^2 u}{\partial y^2} &= U_d \frac{\partial U}{\partial x} + \frac{\partial}{\partial x} (U_d u_0) - (u_0 + u_1) \frac{\partial u_0}{\partial x} - \\ &- (v_0 + v_1) \frac{\partial u_0}{\partial y} - u_0 \frac{\partial u_0}{\partial x} - v_0 \frac{\partial u_0}{\partial y} \\ \frac{\partial u}{\partial x} + \frac{\partial v}{\partial y} &= 0 \end{aligned} \right\} \quad (1.31)$$

Granični uslovi su:

$$u_1 = 0, y = 0; \quad u_1 = 0, y \rightarrow \infty. \quad (1.32)$$

Uzimajući $u = u_0 + u_1 + u_2$, $v = v_0 + v_1 + v_2$, pa amenjivanjem u jednačine (1.25) i odnamljanjem na relacije (1.27) i (1.31) moglo bi se, posle slične analize, doći do trećeg približenja (u_2, v_2) brzine, i td.

24. Diskusija pokušaja u traženju načina rešavanja jednačina (1.21) i (1.31)

Dopunsko kretanje tela, dakle, ne nastaje iz stanja mirovanja. Telo se prethodno već kretalo, a u momentu $t_1 = 0$ izazvano je dopunsko kretanje. Dopunski granični sloj na telu određen jednačinama (1.25), odnosno jednačinama (1.27) i (1.31) mora se, prema tome, za ravanski slučaj, obrađivati sa tri promenljive (x, y, t_1). Prethodni granični sloj, koji neprekidno učestvuje u formiranju dopunskog graničnog sloja, što se vidi prisustvom funkcija " u_0 " i " v_0 " u desnim stranama jednačina (1.25), obrađen je promenljivim (x, y, η). Tu je bitna činjenica da nestacionarna promenljiva $\eta = \frac{y}{2\sqrt{\nu t}}$ sadrži vreme " t ", a da će imati uticaja i na dopunski granični sloj koji postoji isključivo pri $t_1 \geq 0$.

Sve pokušaje prilaganja problemu prikazane na primeru dopunskog kretanja tražen, iz prethodnog kretanja, koje je takodje izvršeno traženjem. Zaustavivši se na prvom približenju dopunskog graničnog sloja.

Tada je, prema [12] :

B) $u_s = U f_s(\eta)$

poznata funkcija koja sadrži Gausovu funkciju greško.

Ubacujući ovu vrednost za "u" u jednačinu (1.27) dobiće se:

$$\frac{\partial u_0}{\partial t_1} - \gamma \frac{\partial^2 u_0}{\partial y^2} = 2 U U' [1 - f_1'(\eta)] \tag{1.33}$$

Zbog početnog uslova: $u_0 = 0$, za $t_1 = 0$, rešenje jednačine (1.33) mora se tražiti u obliku:

$$u_0 = U \zeta_0'(\eta) + t_1 2 U U' \zeta_1'(\eta) \tag{1.34}$$

Za koeficijente - funkcije od promenljive η dobiće se obično diferencijalne jednačine sa odgovarajućim uslovima:

$$\left. \begin{aligned} \zeta_0''' + 2\eta \zeta_0'' = 0 & \quad \zeta_0'(0) = 0; \quad \zeta_0'(\infty) = 1 \\ \zeta_1''' + 2\eta \zeta_1'' - 4\zeta_1' = 4[f_1'(\eta) - 1], & \quad \zeta_1'(0) = 0, \quad \zeta_1'(\infty) = 0 \end{aligned} \right\} \tag{1.35}$$

Ali, baš usled toga što promenljiva η iz desne strane veze (1.33) sadrži vreme "t", a rešenje (1.34) mora, zbog pomenutog početnog uslova, sadržati vreme "t₁" u ulozu činilaca, osim svih navedenih diferencijalnih jednačina (1.35), koje su, u stvari, dobivene upoređivanjem koeficijenata uz iste kombinacije funkcije U(x) i njenih izvoda sa leve i desne strane jednačine (1.33) zamenom iznosa (1.34), ostaju još dva člana jednačine (1.33):

$$... + T \cdot 2 U U' \zeta_1'(\eta) = ... + T \cdot 2 U U' [1 - f_1'(\eta)]$$

koji se na dva načina mogu poništiti:

a) ili, ako bude: $\zeta_1'(\eta) = 1 - f_1'(\eta) \tag{1.36}$

b) ili, ako je samo: $U' = 0$

Prva mogućnost otpada, jer veza (1.36) ne ispunjava granične uslove za funkciju $\zeta_1'(\eta)$ koje diktira pretpostavka rešenja (1.34). Ostaje, prema tome, kao jedina - druga mogućnost: $U' = 0$. Međutim, ona ograničava domen primene postupka traženja rešenja u vidu (1.34). Naime, pretpostavljenije rešenja u obliku funkcije zavise od promenljive η (iste one sa kojom su sagradjena i rešenja prethodnog graničnog sloja) i svodjenje parcijalne na običnu diferencijalnu jednačinu moguće je samo ako je $U = \text{const}$, a to je za ravnu ploču.

Zaključak: do ovakvog ograničenja procesa rešavanja došlo je zbog nepododbnosti promenljive η u novim okolnostima. Treba tražiti novu promenljivu, koja neće

granitativni put rešavanja jednačina i vezati ga za samo određene konture tela.

Analizom leve strane polazne jednačine (1.27) i adekvatno primenom uslova, dolazi se do zaključka da bi rešenje "u₀" trebalo tražiti, ne sa ranijom promenljivom η , nego sa novom promenljivom

$$\bar{\eta} = \frac{y}{2\sqrt{v \cdot t}} \quad (1.37)$$

Umesto oblika (1.34), treba pokušati sa:

$$u_0 = U \zeta_0'(\bar{\eta}) + t_1 2UU' \zeta_0'(\bar{\eta}) \quad (1.38)$$

Koristeći (1.38) u (1.27) dobija se veza:

$$\zeta_0''' + 2\bar{\eta} \zeta_0'' = 0; \zeta_1''' + 2\bar{\eta} \zeta_1'' - 4\zeta_1' = 4[\zeta_1'(\bar{\eta}) - 1] \quad (1.39)$$

Osnovni problem pri integraciji ovih diferencijalnih jednačina je u tome, što su leve strane njihove zavisne od $\bar{\eta}$, dok su desne strane poznate funkcije od ranije promenljive η između kojih postoji odnos:

$$\eta = \bar{\eta} \sqrt{\frac{t_1}{t}} \quad (1.40)$$

Traženje partikularnih integrala homogenih delova jednačina (1.39) moguće je; ali, nastojanja da se dođe do partikularnih rešenja nehomogenih jednačina sistema (1.39) dovela su do uslova, a obzirom na vezu (1.40), da je određivanje partikularnih integrala nehomogenih jednačina u zatvorenom obliku, moguće samo ako je ispunjen uslov $\frac{t_1}{t} \rightarrow 1$. Ovaj slučaj može imati teorijsku vrednost kao prvi korak u postupnom prilagođenju problemu dopunskog graničnog sloja, koji kao prva približnost može da opiše uticaj kratkograjnih predhodnih kretanja na razvitak dopunskog graničnog sloja.

Gledajući relacije (1.16) i (1.40) ima se utisak, da bi se, za svako određeno, brojno "t₁", postigla jedinstvenost promenljivih u jednačinama (1.39), kada bi se one mogle računski integrisati. Pri tom, opštost rešenja u pogledu promenljivih "x" i "y" nebi bila ni malo ograničena.

Zaključak: ne treba dozvoliti pojava dveju promenljivih u jednačinama (1.39). Drugim rečima, pošto smo došli do zaključka da je promenljiva (1.37) najpovoljnija i jedina u stanju

Da, shodno ostalim uslovima, transformiše parcijalnu jednačinu u sistem diferencijalnih, treba izraziti, još na početku rešavanja, desne strane jednačina (1.27) i (1.31) preko novih promenljivih (x, η, t_1) . Valja posebno istaći da su za formu predpostavljanja rešenja od presudnog značaja upravo desne strane tih jednačina (1.27) i (1.31). Sve u svemu, oblik leve strane ovih jednačina, oblik promenljive (1.37) i početni uslovi kretanja uslovljavaju da desna strana bude, u izvesnom smislu, polinom po " t_1 ", sa koeficijentima zavisnim od " x " i " η ". To treba postići u jednačinama (1.27) i (1.31), pa ih tek tada početi rešavati. Ustvari, tome cilju treba prilagoditi jednu jedinu funkciju iz desnih strana tih jednačina - funkciju " u_s ". Dakle, treba poznatu funkciju " u_s " preraditi i dovesti na najkorisniji oblik, upotrebljiv za naš problem.

II. DOPUNSKI GRANIČNI SLOJ PRI KRATKOTRAJNIM PRETHODNIM KRETANJIMA

21. Uvod

Proučimo, najpre, granični sloj na cilindričnom telu pokrenutom iz stanja izvesnog prethodnog kratkotrajnog kretanja. Uzećemo neke osnovne tipove prethodnih nestacionarnih kretanja trzajem, stalnim ubrzanjem i stepeno-ubrzanom, čija su rešenja poznata [12]. U prilog proučavanju graničnog sloja iz kratkotrajnog prethodnog kretanja idu izvesne pojedinosti u vezi sa fenomenom odvajanja graničnog sloja, tom nepoželjnom, ali neminovnom pojavom. Razjasnimo ovu ideju na primeru prethodnog trzaja. Kao što je poznato, granični sloj bi se na kružnom cilindru, pokrenutom trzajem iz stanja mirovanja, prvi put odvojio u zadnjoj zaustavnoj tački posle vremena

$$t_s = 0,35 \frac{R}{U_\infty}$$

Lako se uveriti odavde, da je sa uobičajena, praktično najčešće brojne vrednosti radijusa R i brzine U_∞ , ovo vreme manje od jedne sekunde, dakle, nista minimalno. Međutim, promene po "x" i "y" su bile toliko znatne i značajne, da se, ovo, već u tako malom trenutku odigrava događaj od prvostepene važnosti u teoriji graničnog sloja, - odvajanje graničnog sloja.

Postavlja se pitanje može li se trenutak odvajanja graničnog sloja odložiti, što je od osnovnog interesa za praksu, ako se u međuvremenu saopšti telu izvesno dopunsko kretanje. Na ovo pitanje treba da daju odgovor rešenja jednačina (1.25) odnosno pojedinih približenja (1.27) i (1.31). Čini se, da će se dobiti dovoljno dobri rezultati, i ako se o ovom kratkom vremenu trajanja prethodnog kretanja (koje može biti, svakako, i manje od vremena prethodnog odvajanja) ne bude vodilo računa. Treba naglasiti da se ovde ne zanemaruje ono što se stvorilo za tako kratko vreme. Stavio se, dakle, puna vrednost " u_s " brzine prethodnog graničnog sloja, koja se dobrim delom oformila i u toku tog zanemarljivo kratkog vremena, u jednačine (1.27)

22. Dopunski trzaj iza kratkotrajnog
prethodnog trzaja

Dopunskim trzajem $[U_d = U(x)]$ pokrenuto je cilindrično
telo, koje se pre toga kretalo trzajem iz stanja mirovanja $[U_s =$
 $= U(x)]$, na koji postoji Blasijusovo rešenje graničnog sloja:

$$u_0 = U f_1'(\eta) = U E \operatorname{erf} \eta,$$

$$v_s = -2\sqrt{\nu E} U f_1''(\eta) = -2\sqrt{\nu E} U \left[\eta E \operatorname{erf} \eta - \frac{1}{\sqrt{\pi}} (1 - e^{-\eta^2}) \right] \quad (2.1)$$

Ubacivanjem ovih vrednosti u prvu od jednačina prvoga pribli-
ženja (1.27) dobiće se:

$$\frac{\partial u_0}{\partial t} - \nu \frac{\partial^2 u_0}{\partial y^2} = 2UU'(1-f_1'') \quad (2.2)$$

Traženjem rešenja ove jednačine u vidu:

$$u_0 = U \zeta_0(\eta) + t \cdot 2UU' \zeta_1(\eta) \quad (2.3)$$

dobiće se za nepoznate funkcije diferencijalne jednačine:

$$\zeta_0''' + 2\eta \zeta_0'' = 0$$

$$\zeta_1''' + 2\eta \zeta_1'' - 4\zeta_1' = 4(f_1'' - 1) \quad (2.4)$$

sa graničnim uslovima, prema (1.28), u obliku:

$$\zeta_0(0) = \zeta_0'(0) = 0, \quad \zeta_0'(\infty) = 1$$

$$\zeta_1(0) = \zeta_1'(0) = 0, \quad \zeta_1'(\infty) = 0 \quad (2.5)$$

Rešenje prve od jednačina (2.4), sa odgovarajućim

graničnim uslovom, glasi:

$$\zeta_0'(\eta) = \operatorname{Erf} \eta = \frac{2}{\sqrt{\pi}} \int_0^\eta e^{-s^2} ds \quad (2.6)$$

Ako partikularno rešenje druge od jednačina (2.4):

$$\zeta_1''' + 2\eta \zeta_1'' - 4\zeta_1' = 4 \operatorname{Erf} \eta - 4$$

potražimo u obliku: $\zeta_{1p}'(\eta) = X(\eta) \operatorname{Erf} \eta + S(\eta)$

za koeficijente X i S dobićemo diferencijalne jednačine:

$$X'' + 2\eta X' - 4X = 4$$

$$S'' + 2\eta S' - 4S = -\frac{4}{\sqrt{\pi}} X' e^{-\eta^2} - 4$$

čija su odgovarajuća rešenja:

$$X(\eta) = 2\eta^2$$

$$S(\eta) = 2 + 2\eta^2 + \frac{2}{\sqrt{\pi}} \eta e^{-\eta^2}$$

tako da je partikularni integral polazne nehomogene jednačine:

$$\zeta_{1p}'(\eta) = 2\eta^2 \operatorname{Erf} \eta + \frac{2}{\sqrt{\pi}} \eta e^{-\eta^2} + 2\eta^2 + 2$$

Pošto su partikularna rešenja homogenog dela jednačine:

$$\zeta_{1h}'(\eta) = 1 + 2\eta^2; \quad \zeta_{1h}(\eta) = \frac{1}{4} (1 + 2\eta^2) (1 - \operatorname{Erf} \eta) - \frac{1}{2\sqrt{\pi}} \eta e^{-\eta^2};$$

opšti integral druge od jednačina sistema (2.4) glasi:

$$\zeta_1'(\eta) = C_1(1+2\eta^2) + C_2 \left[\frac{1}{4}(1+2\eta^2)(1 - \text{Erf}\eta) - \frac{1}{2\sqrt{\pi}} \eta e^{-\eta^2} \right] + 2\eta^2 \text{Erf}\eta + \frac{2}{\sqrt{\pi}} \eta e^{-\eta^2} + 2\eta^2 + 2$$

Koristeći granične uslove (2.5) dobije se vrednosti konstantata:

$$C_1 = -2, \quad C_2 = 0$$

pa je, konačno, rešenje:

$$\zeta_1'(\eta) = 2\eta^2 \text{Erf}\eta + \frac{2}{\sqrt{\pi}} \eta e^{-\eta^2} - 2\eta^2 \quad (2.7)$$

Pomoću izraza (2.3) i druge jednačine sistema (1.27) može se doći

$$\text{do: } \alpha = -2\sqrt{t} \left[U' \zeta_1(\eta) + 2t(U'^2 + UU'') \zeta_1(\eta) \right] \quad (2.8)$$

a onda jednačina za drugo približenje brzine u graničnom sloju

(1.31) dobija oblik

$$\frac{\partial u}{\partial t} - \frac{\partial^2 u}{\partial y^2} = UU'F_0(\eta) + t[2UU'^2F_{1a}(\eta) + 2U^2U''F_{1b}(\eta)] + t^2[4UU'^3 + 4U^2U'U'']F_2(\eta) \quad (2.9)$$

gde su poznate funkcije:

$$\left. \begin{aligned} F_0(\eta) &= -3\eta^2 \text{Erf}^2\eta + \left(\frac{6}{\sqrt{\pi}} \eta e^{-\eta^2} + 2\right) \text{Erf}\eta + \frac{6}{\pi} e^{-2\eta^2} - \frac{6}{\pi} e^{-\eta^2} + 1 \\ F_{1a}(\eta) &= -4\eta^2 \text{Erf}^3\eta + \left[\left(\frac{4}{3\sqrt{\pi}} \eta^3 - \frac{2}{\sqrt{\pi}} \eta\right) e^{-\eta^2} + 4\eta^2 - \frac{4}{\sqrt{\pi}} \eta\right] \text{Erf}\eta + \\ &\quad + \left(\frac{4}{3\pi} + \frac{4}{3\pi} \eta^2\right) e^{-2\eta^2} - \left(\frac{4}{3\pi} + \frac{4}{\sqrt{\pi}} \eta + \frac{4}{3\sqrt{\pi}} \eta^3\right) e^{-\eta^2} + \frac{4}{\sqrt{\pi}} \eta \\ F_{1b}(\eta) &= -4\eta^2 \text{Erf}^2\eta + \left[\left(\frac{8}{3\sqrt{\pi}} \eta^3 - \frac{4}{\sqrt{\pi}} \eta\right) e^{-\eta^2} + 4\eta^2\right] \text{Erf}\eta + \\ &\quad + \frac{4}{3\pi} (2\eta^2 - 1) e^{-2\eta^2} + \left(\frac{4}{3\pi} - \frac{8}{3\sqrt{\pi}} \eta^3\right) e^{-\eta^2} \\ F_2(\eta) &= -\frac{4}{3} \eta^4 \text{Erf}^2\eta + \left[\left(-\frac{4}{\sqrt{\pi}} \eta^3 - \frac{4}{3\sqrt{\pi}} \eta\right) e^{-\eta^2} + \frac{4}{3\sqrt{\pi}} \eta + \frac{8}{3} \eta^4\right] \cdot \\ &\quad \cdot \text{Erf}\eta - \left(\frac{2}{3\pi} + \frac{8}{3\pi} \eta^2\right) e^{-2\eta^2} + \left(\frac{2}{3\pi} + \frac{4}{3\sqrt{\pi}} \eta + \frac{4}{\sqrt{\pi}} \eta^3\right) \cdot \\ &\quad \cdot e^{-\eta^2} - \frac{4}{3} \eta^4 - \frac{4}{3\sqrt{\pi}} \eta \end{aligned} \right\} \quad (2.10)$$

tražeći rešenje jednačine (2.9) u vidu:

$$u = tUU'F_0(\eta) + t^2[2UU'^2F_{1a}(\eta) + 2U^2U''F_{1b}(\eta)] + t^3(4UU'^3 + 4U^2U'U'')F_2(\eta) \quad (2.11)$$

za nepoznate koeficijente - funkcije od promenljive " η " dobi-

će se diferencijalne jednačine:

$$\left. \begin{aligned} F_0''' + 2\eta F_0'' - 4F_0' &= -4P_0(\eta) \\ F_{1a}''' + 2\eta F_{1a}'' - 8F_{1a}' &= -4P_{1a}(\eta) \\ F_{1b}''' + 2\eta F_{1b}'' - 8F_{1b}' &= -4P_{1b}(\eta) \\ F_2''' + 2\eta F_2'' - 12F_2' &= -4P_2(\eta) \end{aligned} \right\} \quad (2.12)$$

Rešimo ove jednačine.

1° Partikularni integrali homogenog dela prve od sistema jednačina (2.12) su:

$$F_{0L}' = 1 + 2\eta^2; \quad F_{0L} = \frac{1}{4}(1 + 2\eta^2)(1 - \text{Erf}\eta) - \frac{1}{2\sqrt{\pi}} \eta e^{-\eta^2}$$

Ako partikularno rešenje nehomogene jednačine pretpostavimo u obliku: $F_{op}'(\eta) = X \operatorname{Erf} \eta + Y \operatorname{Erf}^2 \eta + S$ (2.13)

za funkcije X, Y, S dobiće se diferencijalne jednačine:

$$\left. \begin{aligned} X'' + 2\eta X' - 4X &= 12 \\ Y'' + 2\eta Y' - 4Y &= -\frac{\varepsilon}{\sqrt{\pi}} X' e^{-\eta^2} - \frac{24}{\sqrt{\pi}} \eta e^{-\eta^2} - \varepsilon \\ S'' + 2\eta S' - 4S &= -\frac{\varepsilon}{\pi} X e^{-2\eta^2} - \frac{4}{\sqrt{\pi}} Y' e^{-\eta^2} - \frac{24}{\pi} \eta^2 + \frac{24}{\pi} e^{-\eta^2} - 1 \end{aligned} \right\} (2.14)$$

Opšte rešenje diferencijalne jednačine za funkciju X je:

$$X = K_1(1 + 2\eta^2) + K_2 \left[\frac{1}{4}(1 + 2\eta^2)(1 - \operatorname{Erf} \eta) - \frac{1}{2\sqrt{\pi}} \eta e^{-\eta^2} \right] - 3$$

ali, zbog svog položaja u partikularnom integralu (2.13), oblik funkcije X koji odgovara problemu glasi:

$$X = K_1(1 + 2\eta^2) - 3$$

Sada diferencijalna jednačina za funkciju Y ostaje:

$$Y'' + 2\eta Y' - 4Y = -\left(\frac{32}{\sqrt{\pi}} K_1 \eta + \frac{24}{\sqrt{\pi}} \eta\right) e^{-\eta^2} - \varepsilon$$

a njeno potrebno rešenje:

$$Y = \frac{1}{\sqrt{\pi}} (4K_1 + 3) \eta e^{-\eta^2} + 2$$

I, konačno tražedi rešenje treće jednačine sistema (2.14):

$$S'' + 2\eta S' - 4S = \left[\left(\frac{16}{\pi} K_1 + \frac{24}{\pi}\right) \eta^2 - \frac{24}{\pi} K_1 - \frac{12}{\pi} \right] e^{-2\eta^2} + \frac{24}{\pi} e^{-\eta^2} - 1$$

dolazimo do zaključka da je to rešenje moguće naći samo ako je:

$$K_1 = \frac{3}{2}$$

Ovo rešenje ima oblik:

$$S(\eta) = \frac{\varepsilon}{\pi} e^{-2\eta^2} - \frac{4}{\pi} e^{-\eta^2} + 1$$

te tako, najzad, dolazimo do partikularnog integrala (2.13)

nehomogene jednačine:

$$F_{op}'(\eta) = \left(3\eta^2 - \frac{3}{2}\right) \operatorname{Erf}^2 \eta + \left(\frac{9}{\sqrt{\pi}} \eta e^{-\eta^2} + 2\right) \operatorname{Erf} \eta + \frac{6}{\pi} e^{-2\eta^2} - \frac{4}{\pi} e^{-\eta^2} + 1$$

kao i do opšteg rešenja polazne jednačine

$$F_c'(\eta) = C_1(1 + 2\eta^2) + C_2 \left[\frac{1}{4}(1 + 2\eta^2)(1 - \operatorname{Erf} \eta) - \frac{1}{2\sqrt{\pi}} \eta e^{-\eta^2} \right] + \left(3\eta^2 - \frac{3}{2}\right) \operatorname{Erf}^2 \eta + \left(\frac{9}{\sqrt{\pi}} \eta e^{-\eta^2} + 2\right) \operatorname{Erf} \eta + \frac{6}{\pi} e^{-2\eta^2} - \frac{4}{\pi} e^{-\eta^2} + 1 \quad (2.15)$$

gde konstante, zbog granlčnih uslova, imaju vrednosti:

$$C_1 = -K_1 = -\frac{3}{2}; \quad C_2 = 2 - \frac{\varepsilon}{\pi}$$

Napomena: Za rešavanje sledećih jednačina sistema (2.12) ni-

je više potrebno pisati nove propratne komentare, jer su oni

isti kao i u ovom slučaju. Zato će se samo navoditi rezultati

rešenjem kao u prethodnom tekstu, tako da će se moći
 odjivljenjem lako doći do odgovarajućeg konstanta.

$$F_{1a}''' + 2\eta F_{1a}'' - 8F_{1a}' = 16\eta^2 \operatorname{Erf}^2 \eta + \left[\left(\frac{2}{\sqrt{\pi}} \eta - \frac{16}{3\sqrt{\pi}} \eta^3 \right) e^{-\eta^2} - 16\eta^2 + \frac{16}{\sqrt{\pi}} \eta \right] \operatorname{Erf} \eta - \left(\frac{16}{3\sqrt{\pi}} + \frac{16}{3\sqrt{\pi}} \eta^2 \right) e^{-2\eta^2} + \left(\frac{16}{3\sqrt{\pi}} + \frac{16}{\sqrt{\pi}} \eta + \frac{16}{3\sqrt{\pi}} \eta^3 \right) e^{-\eta^2} - \frac{16}{\sqrt{\pi}} \eta$$

$$F_{1aL}(\eta) = 1 + 4\eta^2 + \frac{4}{3}\eta^4$$

$$F_{1aL}(\eta) = \frac{1}{32} (1 + 4\eta^2 + \frac{4}{3}\eta^4) (1 - \operatorname{Erf} \eta) - \frac{1}{24\sqrt{\pi}} (\eta^3 + \frac{5}{2}\eta) e^{-\eta^2}$$

$$F_{1ap}(\eta) = X \operatorname{Erf}^2 \eta + Y \operatorname{Erf} \eta + S$$

$$X'' + 2\eta X' - 8X = 16\eta^2$$

$$Y'' + 2\eta Y' - 8Y = -\frac{8}{\sqrt{\pi}} X e^{-\eta^2} + \left(\frac{8}{\sqrt{\pi}} \eta - \frac{16}{3\sqrt{\pi}} \eta^3 \right) e^{-\eta^2} - 16\eta^2 + \frac{16}{\sqrt{\pi}} \eta$$

$$S'' + 2\eta S' - 8S = -\frac{8}{\sqrt{\pi}} X e^{-2\eta^2} - \frac{4}{\sqrt{\pi}} Y e^{-\eta^2} - \left(\frac{16}{3\sqrt{\pi}} + \frac{16}{3\sqrt{\pi}} \eta^2 \right) e^{-2\eta^2} + \left(\frac{16}{3\sqrt{\pi}} + \frac{16}{\sqrt{\pi}} \eta + \frac{16}{3\sqrt{\pi}} \eta^3 \right) e^{-\eta^2} - \frac{16}{\sqrt{\pi}} \eta$$

$$X = K_1 (1 + 4\eta^2 + \frac{4}{3}\eta^4) - 4\eta^2 - 1$$

$$Y'' + 2\eta Y' - 8Y = -\frac{8}{\sqrt{\pi}} \left[(8K_1 - 8)\eta + \frac{16}{3} K_1 \eta^3 \right] e^{-\eta^2} + \left(\frac{8}{\sqrt{\pi}} \eta - \frac{16}{3\sqrt{\pi}} \eta^3 \right) e^{-\eta^2} - 16\eta^2 + \frac{16}{\sqrt{\pi}} \eta$$

$$Y = \left[\left(\frac{20}{3\sqrt{\pi}} K_1 - \frac{35}{6\sqrt{\pi}} \right) \eta + \left(\frac{1}{3\sqrt{\pi}} + \frac{8}{3\sqrt{\pi}} K_1 \right) \eta^3 \right] e^{-\eta^2} + 4\eta^2 - \frac{8}{3\sqrt{\pi}} \eta + 1$$

$$S'' + 2\eta S' - 8S = \left[\left(\frac{7}{3\sqrt{\pi}} - \frac{164}{3\sqrt{\pi}} K_1 \right) + \left(-\frac{24}{\sqrt{\pi}} - \frac{32}{3\sqrt{\pi}} K_1 \right) \eta^2 + \left(\frac{32}{3\sqrt{\pi}} K_1 + \frac{8}{3\sqrt{\pi}} \right) \eta^4 \right] e^{-2\eta^2} + \left(\frac{16}{\sqrt{\pi}} - \frac{16}{\sqrt{\pi}} \eta + \frac{16}{3\sqrt{\pi}} \eta^3 \right) e^{-\eta^2} - \frac{16}{\sqrt{\pi}} \eta$$

$$K_1 = \frac{1}{4}$$

$$S = \left(\frac{2}{3\sqrt{\pi}} \eta^2 - \frac{4}{3\sqrt{\pi}} \right) e^{-2\eta^2} + \left(-\frac{1}{3\sqrt{\pi}} \eta^3 + \frac{7}{6\sqrt{\pi}} \eta - \frac{8}{5\sqrt{\pi}} \right) e^{-\eta^2} + \frac{8}{3\sqrt{\pi}} \eta$$

$$F_{1ap}'(\eta) = \left[K_1 (1 + 4\eta^2 + \frac{4}{3}\eta^4) - 4\eta^2 - 1 \right] \operatorname{Erf}^2 \eta + \left\{ \left[\frac{20}{3\sqrt{\pi}} K_1 - \frac{35}{6\sqrt{\pi}} \right] \eta + \left(\frac{1}{3\sqrt{\pi}} + \frac{8}{3\sqrt{\pi}} K_1 \right) \eta^3 \right\} e^{-\eta^2} + 4\eta^2 - \frac{8}{3\sqrt{\pi}} \eta + 1 \operatorname{Erf} \eta + \left(\frac{2}{3\sqrt{\pi}} \eta^2 - \frac{4}{3\sqrt{\pi}} \right) e^{-2\eta^2} + \left(-\frac{1}{3\sqrt{\pi}} \eta^3 + \frac{7}{6\sqrt{\pi}} \eta - \frac{8}{5\sqrt{\pi}} \right) e^{-\eta^2} + \frac{8}{3\sqrt{\pi}} \eta$$

Opšte rešenje je: $F_{1a}'(\eta) = C_1 (1 + 4\eta^2 + \frac{4}{3}\eta^4) + C_2 \left[\frac{1}{32} (1 + 4\eta^2 + \frac{4}{3}\eta^4) (1 - \operatorname{Erf} \eta) - \frac{1}{24\sqrt{\pi}} (\eta^3 + \frac{5}{2}\eta) e^{-\eta^2} \right] + F_{1ap}'(\eta)$ (2.16)

a konstante, zbog graničnih uslova, dobijaju vrijednosti:

$$C_1 = -K_1 = -1, \quad C_2 = 32 - \frac{256}{15\pi}$$

$$3^\circ \quad F_{16}''' + 2\eta F_{16}'' - 8F_{16}' = -4P_{16}(\eta)$$

$$F_{16}'(0) = 0, \quad F_{16}'(\infty) = 0.$$

$$(F_{16h})_1 = 1 + 4\eta^2 + \frac{4}{3}\eta^4$$

$$(F_{16h})_2 = \frac{1}{32} \left(1 + 4\eta^2 + \frac{4}{3}\eta^4\right) (1 - \operatorname{Erf}\eta) - \frac{1}{24\sqrt{\pi}} \left(\eta^3 + \frac{5}{2}\eta\right) e^{-\eta^2}$$

$$F_{16p}'(\eta) = X \operatorname{Erf}\eta^2 + Y \operatorname{Erf}\eta + S$$

$$X'' + 2\eta X' - 8X = 16\eta^2$$

$$Y'' + 2\eta Y' - 8Y = -\frac{8}{\sqrt{\pi}} X' e^{-\eta^2} - \left(\frac{32}{3\sqrt{\pi}} \eta^3 - \frac{16}{\sqrt{\pi}} \eta\right) e^{-\eta^2} - 16\eta^2$$

$$S'' + 2\eta S' - 8S = -\frac{8}{\pi} X e^{-2\eta^2} + \frac{16}{3\pi} (1 - 2\eta^2) e^{-2\eta^2} -$$

$$-\frac{4}{\sqrt{\pi}} Y' e^{-\eta^2} + \left(\frac{32}{3\sqrt{\pi}} \eta^3 - \frac{16}{3\pi}\right) e^{-\eta^2}$$

$$X = K_1 \left(1 + 4\eta^2 + \frac{4}{3}\eta^4\right) - 4\eta^2 - 1$$

$$Y = \left[\left(\frac{20}{3\sqrt{\pi}} K_1 - \frac{19}{3\sqrt{\pi}}\right) \eta + \left(\frac{8}{3\sqrt{\pi}} K_1 + \frac{2}{3\sqrt{\pi}}\right) \eta^3 \right] e^{-\eta^2} + 4\eta^2 + 1$$

$$S = \frac{2}{\pi} \eta^2 e^{-2\eta^2} + \left(\frac{8}{15\pi} - \frac{3}{\sqrt{\pi}} \eta - \frac{2}{3\sqrt{\pi}} \eta^3\right) e^{-\eta^2}$$

$$K_1 = 1,0$$

Opšte rešenje ove jednačine, prema tome, je:

$$F_{10}'(\eta) = C_1 (F_{10}'(k))_1 + C_2 (F_{10}'(k))_2 + F_{10}'(\eta) \quad (2.17)$$

• preko graničnih uslova dobiju se vrednosti konstanta:

$$C_1 = -K_1 = -\frac{1}{24}, \quad C_2 = 32 - \frac{256}{15\sqrt{\pi}}$$

$$4^{\circ} F_2''' + 2\eta F_2'' - 12F_2 = -4P_2(\eta)$$

$$F_2'(0) = 0, \quad F_2'(\infty) = 0.$$

$$(F_{22}')_1 = 1 + 6\eta^2 + 4\eta^4 + \frac{8}{15}\eta^6$$

$$(F_{22}')_2 = \frac{1}{384} (1 + 6\eta^2 + 4\eta^4 + \frac{8}{15}\eta^6) (1 - \text{Erf}\eta) - \frac{1}{720\sqrt{\pi}} (\eta^5 + 7\eta^3 + \frac{33}{4}\eta) e^{-\eta^2}$$

$$F_{2p}'(\eta) = X \text{Erf}\eta^2 + Y \text{Erf}\eta + S$$

$$X'' + 2\eta X' - 12X = \frac{16}{3}\eta^4$$

$$Y'' + 2\eta Y' - 12Y = -\frac{8}{\sqrt{\pi}} X' e^{-\eta^2} + \left(-\frac{16}{\sqrt{\pi}} \eta^3 + \frac{16}{3\sqrt{\pi}} \eta \right) e^{-\eta^2} - \frac{16}{3\sqrt{\pi}} \eta - \frac{32}{3} \eta^4$$

$$S'' + 2\eta S' - 12S = -\frac{8}{\pi} X e^{-2\eta^2} - \frac{4}{\sqrt{\pi}} Y' e^{-\eta^2} + \left(\frac{8}{3\pi} + \frac{32}{3\pi} \eta \right) e^{-2\eta^2} - \left(\frac{8}{3\pi} + \frac{16}{3\sqrt{\pi}} \eta + \frac{16}{\sqrt{\pi}} \eta^3 \right) e^{-\eta^2} + \frac{16}{3} \eta^4 + \frac{16}{3\sqrt{\pi}} \eta$$

$$X = K_1 (1 + 6\eta^2 + 4\eta^4 + \frac{8}{15}\eta^6) - \frac{4}{3}\eta^4 - 2\eta^2 - \frac{1}{3}$$

$$Y = \left[\frac{16}{15\sqrt{\pi}} K_1 \eta^5 + \left(\frac{112}{15\sqrt{\pi}} K_1 - \frac{44}{15\sqrt{\pi}} \right) \eta^3 + \left(\frac{44}{5\sqrt{\pi}} K_1 - \frac{103}{30\sqrt{\pi}} \right) \eta \right] e^{-\eta^2} + \frac{8}{3}\eta^4 + 4\eta^2 + \frac{8}{15\sqrt{\pi}} \eta + \frac{2}{3}$$

$$K_1 = \frac{11}{24}$$

$$S = \left(\frac{2}{45\pi} - \frac{1}{90\pi} \eta^2 + \frac{11}{45\pi} \eta^4 \right) e^{-2\eta^2} + \left(\frac{12}{35\pi} + \frac{103}{30\sqrt{\pi}} \eta + \frac{44}{15\sqrt{\pi}} \eta^3 \right) e^{-\eta^2} - \frac{4}{3} \eta^4 - 2\eta^2 - \frac{8}{15\sqrt{\pi}} \eta - \frac{1}{3}$$

Opšte rešenje, dakle, glasi:

$$F_2'(\eta) = C_1 (F_2'k)_1 + C_2 (F_2'k)_2 + F_{2p}'(\eta) \quad (2.18)$$

a vrednosti integracionih konstanta su:

$$C_1 = -K_1 = -\frac{11}{24}, \quad C_2 = 304 - \frac{15616}{105\pi}$$

Rešenjima (2.15), (2.16), (2.17) i (2.18) u potpunosti je određeno i drugo približenje brzine u dopunskom graničnom sloju (2.11).

Međutim, pošto bi određivanje drugih aproksimacija u svim varijantama predhodnog i dopunskog kretanja predstavljalo čisto formalno veoma dug i težak posao - sadržaćemo se svugde samo na prvim aproksimacijama pri proračunima puta i vremena odvajanja graničnog sloja. A ovo stoga da bismo na kraju mogli izvršiti uspešna međusobna poređenja rezultata i doneti merodavne zaključke.

Tako je, u ovom slučaju, ukupna brzina u graničnom sloju: $u = U [f_1'(\eta) + J_0'(\eta) + 2tU'J_1'(\eta)]$ (2.19) što se dobilo sabiranjem izraza (2.1) i (2.3). Tačka odvajanja graničnog sloja definisana je uslovom

$$\left(\frac{\partial u}{\partial y} \right)_{y=0} = 0$$

Odatle se može doći do vrednosti vremena odvajanja graničnog sloja, znenom izraza (2.19)

$$t = - \frac{f_1''(0) + J_0''(0)}{2U'J_1''(0)} \quad (2.20)$$

gde su: $J_0''(0) = f_1''(0) = \frac{2}{\sqrt{\pi}}, \quad J_1''(0) = \frac{2}{\sqrt{\pi}}$

Primer: kružni cilindar radijusa $R = 50$ cm., trzajem jačine $U_\infty = 10$ cm/s, pokrenut je iz stanja predhodnog trzaja istog intenziteta.

Iznato je da je, u slučaju kružnog cilindra, brzina potencijalnog strujanja: $U = 2U_\infty \sin \frac{z}{R}$

Is obrasca (2.20) se vidi da u tom slučaju, prvo odvajanje graničnog sloja nastaje u sednjoj zaustavnoj tački kao i pri kretanju iz stanja mirovanja, posle vremena

$$t_{odv} = 0,5 \frac{R}{U_0} = 2,50 \text{ sec} \quad (2.21)$$

Do toga trenutka kružni cilindar je prešao puti

$$s_{odv} = 1,9 R \quad (2.22)$$

§3. Dopunsko jednako-ubrzanano kretanje iza prednošnjog trzaja

Na prethodno kretanje ostvareno trzajem iz stanja mirovanja $[U_g = U(x)]$, nadovezuje se dopunsko kretanje cilindričnog tela stalnim ubrzanjem $[U_d = t W(x)]$. Spajajući ove i vrednosti (2.1) u prvu od jednačina (1.27) dobiće se, za prvo približenje brzine u graničnom sloju, veza:

$$\frac{\partial u_0}{\partial t} - \nu \frac{\partial^2 u_0}{\partial y^2} = W + (UW' + U'W)(1 - f_1') \quad (2.23)$$

Ako potražimo rešenje ove jednačine u obliku

$$u_0 = t W J_0'(\eta) + t^2 (UW' + U'W) J_1'(\eta) \quad (2.24)$$

dobićemo za nepoznate koeficijente - funkcije obične diferencijalne jednačine:

$$\left. \begin{aligned} J_0''' + 2\eta J_0'' - 4J_0' &= -4 \\ J_1''' + 2\eta J_1'' - 8J_1' &= 4(f_1' - 1) \end{aligned} \right\} \quad (2.25)$$

Granični uslovi su:

$$\left. \begin{aligned} J_0(0) = J_0'(0) = 0, \quad J_0'(\infty) = 1 \\ J_1(0) = J_1'(0) = 0, \quad J_1'(\infty) = 0 \end{aligned} \right\} \quad (2.26)$$

Rešenje prve od jednačina (2.25), koje ispunjava odgovarajući granični uslov (2.26) je:

$$J_0'(\eta) = (1 + 2\eta^2) \text{Erf} \eta + \frac{2}{\sqrt{\pi}} \eta e^{-\eta^2} - 2\eta^2 \quad (2.27)$$

Ako partikularno rešenje druge od jednačina (2.25)

$$J_1''' + 2\eta J_1'' - 8J_1' = 4(\text{Erf} \eta - 1)$$

potražimo u vidu: $J_{1p}(\eta) = X(\eta) \text{Erf} \eta + S(\eta)$

za koeficijente $X(\eta)$ i $S(\eta)$ dobiće se diferencijalne jedna-

$$\begin{aligned} \text{čine} \quad X'' + 2\eta X' - 8X &= 4 \\ S'' + 2\eta S' - 8S &= -\frac{4}{\sqrt{\pi}} X' e^{-\eta^2} - 4 \end{aligned}$$

čija su odgovarajuća rešenja

$$X = -\frac{1}{2}, \quad S = \frac{1}{2},$$

tako da je partikularni integral polazne nehomogene diferencijalne jednačine:

$$J_{1p}'(\eta) = \frac{1}{2} - \frac{1}{2} \text{Erf} \eta$$

Pošto su partikularna rešenja homogenog dela ove diferencijalne jednačine:

$$(J_{1h}')_1 = 1 + 4\eta^2 + \frac{4}{3}\eta^4$$

$$(J_{1h}')_2 = \frac{1}{32} (1 + 4\eta^2 + \frac{4}{3}\eta^4) (1 - \text{Erf} \eta) - \frac{1}{24\sqrt{\pi}} (\frac{5}{2}\eta + \eta^3) e^{-\eta^2}$$

Opšte rešenje druge od jednačina (2.25) glasi:

$$J_1'(\eta) = C_1 (J_{1h}')_1 + C_2 (J_{1h}')_2 + J_{1p}'(\eta)$$

Koristeći granične uslove (2.26) mogu se izračunati vrednosti

konstantas

$$C_1 = 0, \quad C_2 = -16$$

pa je, konačno, rešenje naše jednačine:

$$J_1'(\eta) = -\frac{1}{2} (1 - \text{Erf} \eta) (4\eta^2 + \frac{4}{3}\eta^4) + \frac{2}{3\sqrt{\pi}} (\frac{5}{2}\eta + \eta^3) e^{-\eta^2} \quad (2.28)$$

Funkcijama (2.27) i (2.28) potpuno je određeno rešenje za prvo približenje brzine dopunskog graničnog sloja (2.24) a uz pomoć vrednosti (2.1) i ukupna brzina u graničnom sloju oko cilindričnog tela:

$$u = \bar{U} J_1'(\eta) + tW J_0'(\eta) + t^2 (UW' + U'W) J_1'(\eta) \quad (2.29)$$

Iz uslova za odvajanja graničnog sloja na telu $(\frac{\partial u}{\partial y})_{y=0} = 0$ sleduje, preko veze (2.29), relacija:

$$\bar{U} J_1''(0) + tW J_0''(0) + t^2 (UW' + U'W) J_1''(0) = 0 \quad (2.30)$$

gde su poznate vrednosti koeficijenata:

$$J_1''(0) = 1,128; \quad J_0''(0) = 2,256; \quad J_1''(0) = 0,940.$$

Iz jednačine (2.30) se može izračunati vreme koje protekne do pojave odvajanja graničnog sloja u određenoj tački na konturi cilindričnog tela.

Primer: Krušnom cilindru radijusa $R = 50$ cm pokrenutom iz mirovanja izrazjem ($U_\infty = 10$ cm/s), ubrzo je saopšteno i konstantno ubrzanje $V_0 = 10$ cm/s². Koristeći poznate vrednosti

$$U = 2U_\infty \sin \frac{x}{R}, \quad W = 2V_0 \sin \frac{x}{R},$$

iz jednačine (2.30) se dobije da vreme odvajanja graničnog sloja u zadnjoj zaustavnoj tački kružnog cilindra predstavlja rešenje jednačine:

$$0,94 t^2 - 2,82 t - 1,41 = 0$$

Dakle, prvo odvajanje graničnog sloja, nastaje posle vremena:

$$t_{odv} = 3,4 \text{ sec} \quad (2.31)$$

a put odvajanja iznosi:

$$s_{odv} = U t + \frac{1}{2} v_0 t^2 = 91,8 \text{ cm} \quad (2.32)$$

24. Tražaj isa kratkotrajnog jednako-ubrzanog prethodnog kretanja

Cilindrično telo je pokrenuto stalnim ubrzanjem $[U_s = tW(x)]$, a potom dodatnim tražajem $[U_d = U(x)]$ dovedeno u konačno stanje kretanja.

Pošto je granični sloj na telu, zbog prethodnog kretanja stalnim ubrzanjem, opredeljen Blasijusovim rešenjem [12]

$$u_s = tW f_1'(\eta) = tW \left[(1 + 2\eta^2) \text{Erfi} \eta + \frac{2}{\sqrt{\pi}} \eta e^{\eta^2} - 2\eta^2 \right]$$

$$v_s = -2t\sqrt{\nu} W' f_1(\eta) \quad (2.23)$$

prva od jednačina za prvo približenje brzine u graničnom sloju

(1.27) postaje

$$\frac{\partial u_0}{\partial t} - \nu \frac{\partial^2 u_0}{\partial y^2} = t(UW' + U'W)(1 - f_1') \quad (2.34)$$

Pretpostavljajući rešenja u obliku:

$$u_0 = [J_0'(\eta) + t^2(UW' + U'W) J_1'(\eta)] \quad (2.35)$$

nastaju jednačine:

$$J_0''' + 2\eta J_0'' = 0$$

$$J_1''' + 2\eta J_1'' - 8J_1' = 4(f_1' - 1) \quad (2.36)$$

na graničnim uslovima:

$$J_0(0) = J_0'(0) = 0, \quad J_0'(\infty) = 1$$

$$J_1(0) = J_1'(0) = 0, \quad J_1'(\infty) = 0 \quad (2.37)$$

Rešenje prve od jednačina (2.36) koje ispunjava odgovarajući

granični uslov (2.37) jest

$$J_0'(\eta) = \text{Erfi} \eta = \frac{2}{\sqrt{\pi}} \int_0^\eta e^{-\sigma^2} d\sigma \quad (2.38)$$

Ako partikalarni integral druge od jednačina (2.36):

$$J_1''' + 2\eta J_1'' - 8J_1' = (8\eta^2 + 4)\text{Erf}\eta + \frac{8}{\sqrt{\pi}} \eta e^{-\eta^2} - 8\eta^2 - 4$$

potražimo u vidu:

$$J_1'(\eta) = X(\eta)\text{Erf}\eta + S(\eta)$$

za koeficijente - funkcije $X(\eta)$ i $S(\eta)$ dobiće se diferencijalne jednačine:

$$\begin{aligned} X'' + 2\eta X' - 8X &= 8\eta^2 + 4 \\ S'' + 2\eta S' - 8S &= -\frac{4}{\sqrt{\pi}} X' e^{-\eta^2} + \frac{8}{\sqrt{\pi}} \eta e^{-\eta^2} - 8\eta^2 - 4 \end{aligned}$$

čija su odgovarajuća rešenja

$$\begin{aligned} X &= -1 - 2\eta^2 \\ S &= 1 + 2\eta^2 - \frac{2}{\sqrt{\pi}} \eta e^{-\eta^2} \end{aligned}$$

Kako, partikularni integral nehomogene jednačine je:

$$J_{1p}'(\eta) = (1 + 2\eta^2)(1 - \text{Erf}\eta) - \frac{2}{\sqrt{\pi}} \eta e^{-\eta^2}$$

Kako su partikularna rešenja homogenog dela ove diferencijalne jednačine:

$$\begin{aligned} (J_{1h}')_1 &= 1 + 4\eta^2 + \frac{4}{3}\eta^4 \\ (J_{1h}')_2 &= \frac{1}{32}(1 + 4\eta^2 + \frac{4}{3}\eta^4)(1 - \text{Erf}\eta) - \frac{1}{24\sqrt{\pi}}(\frac{5}{2}\eta + \eta^3)e^{-\eta^2} \end{aligned}$$

opšte rešenje druge od jednačina (2.36) je:

$$J_1'(\eta) = C_1 (J_{1h}')_1 + C_2 (J_{1h}')_2 + J_{1p}'(\eta)$$

Korišćenjem graničnih uslova (2.37) može se doći do vrednosti konstanti:

$$C_1 = 0, \quad C_2 = -32.$$

pa je, konačno, rešenje polazne jednačine:

$$\begin{aligned} J_1'(\eta) &= 1 + 2\eta^2 - \frac{2}{\sqrt{\pi}} \eta e^{-\eta^2} - (1 + 2\eta^2)\text{Erf}\eta - (1 + 4\eta^2 + \\ &+ \frac{4}{3}\eta^4)(1 - \text{Erf}\eta) + \frac{4}{3\sqrt{\pi}}(\frac{5}{2}\eta + \eta^3)e^{-\eta^2} \end{aligned} \quad (2.39)$$

Sada je brzina dopunskog graničnog sloja, sa tačnošću do prvog približenja (2.35) određena, a uz pomoć izraza (2.33) može se doći do ukupne brzine u graničnom sloju oko cilindričnog tela:

$$u = U J_0'(\eta) + \epsilon W f_1'(\eta) + \epsilon^2 (UW' + U'W) J_1'(\eta) \quad (2.40)$$

Iz uslova za tačku odvajanja graničnog sloja na telu $(\frac{\partial u}{\partial y})_{y=0} = 0$ dolazi se do izraza:

$$\epsilon^2 (UW' + U'W) J_1''(0) + \epsilon W f_1''(0) + U J_0''(0) = 0 \quad (2.41)$$

gde su poznate konstante:

$$f_1''(0) = \frac{4}{\sqrt{2}}, \quad J_0''(0) = \frac{2}{\sqrt{2}}, \quad J_1''(0) = \frac{4}{3\sqrt{2}}$$

Znači, iz vaze (2.41) se može naći vreme koje prođe do pojave odvajanja graničnog sloja u određenoj tački na konturi cilindričnog tela.

Primer: kružnom cilindru radijusa $R = 90$ cm, pokrenuto stalnim ubrzanjem $V_0 = 10$ cm/s, uskoro je dođat dopunskim trzaj $U_\infty = 10$ cm/s. Pošto su $U = 2U_\infty \sin \frac{\pi}{R}$, $W = 2V_0 \sin \frac{\pi}{R}$, iz jednačine (2.41) sleduje da vreme odvajanja graničnog sloja u zadnjoj nasustavnoj tački kružnog cilindra, treba dobiti rešavanjem jednačine

$$8t^2 - 30t - 15 = 0$$

Pozitivno rešenje ove kvadratne jednačine kazuje da prvo odvajanje graničnog sloja nastaje u trenutku:

$$t_{odv} = 4,197 \text{ sec} \quad (2.42)$$

Put odvajanja je:

$$s_{odv} = U_\infty t_{odv} + \frac{1}{2} V_0 t_{odv}^2 = 130,17 \text{ cm} \quad (2.43)$$

85. Jednako-ubrzano kretanje iza kratkotrajnog kretanja stalnim ubrzanjem

Cilindrično telo je pokrenuto stalnim ubrzanjem

$[U_s = tW(x)]$, a ubrzo mu je saopšteno novo konstantno ubrzanje V_0 : $[U_d = tW(x)]$. Ubacujući ove vrednosti, zajedno sa izrazima (2.33) u prvu jednačinu sistema (1.27), dobiće se parcijalna jednačina za prvo približenje brzine dopunskog graničnog sloja:

$$\frac{\partial u_0}{\partial t} - \nu \frac{\partial^2 u_0}{\partial y^2} = W + 2t^2 W W' (1 - f_1') \quad (2.44)$$

Potražimo rešenje ove jednačine u obliku:

$$u_0 = t W J_0'(\eta) + t^3 2 W W' J_1'(\eta) \quad (2.45)$$

Tada će se za nepoznate koeficijente funkcije dobiti diferencijalne jednačine:

$$J_0''' + 2\eta J_0'' - 4J_0' = -4$$

$$J_1''' + 2\eta J_1'' - 12J_1' = 4(f_1' - 1) \quad (2.46)$$

sa graničnim uslovima:

$$\begin{aligned} J_0(0) = J_0'(0) = 0, \quad J_0'(\infty) = 1, \\ J_1(0) = J_1'(0) = 0, \quad J_1'(\infty) = 0. \end{aligned} \quad (2.47)$$

Rešenje prve od jednačina sistema (2.46) koje ispunjava odgovarajući granični uslov jest

$$J_0'(\eta) = (1 + 2\eta^2) \operatorname{Erf} \eta + \frac{2}{\sqrt{\pi}} \eta e^{-\eta^2} - 2\eta^2 \quad (2.48)$$

Ako partikularno rešenje druge jednačine sistema (2.46)

$$J_1''' + 2\eta J_1'' - 12J_1' = (8\eta^2 + 4) \operatorname{Erf} \eta + \frac{8}{\sqrt{\pi}} \eta e^{-\eta^2} - 8\eta^2 - 4$$

potražimo u obliku: $J_{1p}'(\eta) = X \operatorname{Erf} \eta + S$

za koeficijente-funkcije dobije se diferencijalne jednačine:

$$\begin{aligned} X'' + 2\eta X' - 12X &= 8\eta^2 + 4 \\ S'' + 2\eta S' - 12S &= -\frac{4}{\sqrt{\pi}} X' e^{\eta^2} + \frac{8}{\sqrt{\pi}} \eta e^{-\eta^2} - 8\eta^2 - 4 \end{aligned}$$

čije su odgovarajuća rešenja:

$$\begin{aligned} X(\eta) &= -\eta^2 - \frac{1}{2} \\ S(\eta) &= \eta^2 + \frac{1}{2} - \frac{1}{\sqrt{\pi}} \eta e^{-\eta^2} \end{aligned}$$

Prema tome, partikularni integral nehomogene jednačine jest:

$$J_{1p}'(\eta) = (\eta^2 + \frac{1}{2})(1 - \operatorname{Erf} \eta) - \frac{1}{\sqrt{\pi}} \eta e^{-\eta^2}$$

Pošto su partikularna rešenja homogenog dela ove diferencijalne jednačine

$$\begin{aligned} (J_{1h}')_1 &= 1 + 6\eta^2 + 4\eta^4 + \frac{8}{15}\eta^6 \\ (J_{1h}')_2 &= \frac{1}{384} (1 + 6\eta^2 + 4\eta^4 + \frac{8}{15}\eta^6) (1 - \operatorname{Erf} \eta) - \frac{1}{720\sqrt{\pi}} (\eta^5 + 7\eta^3 + \frac{33}{4}\eta) e^{-\eta^2} \end{aligned}$$

njeno opšte rešenje glasi:

$$J_1'(\eta) = C_1 (J_{1h}')_1 + C_2 (J_{1h}')_2 + J_{1p}'(\eta)$$

Uz pomoć graničnih uslova (2.47) mogu se izračunati vrednosti konstanta:

$$C_1 = 0, \quad C_2 = -192$$

Tako se dolazi do konačnog rešenja polazne jednačine:

$$\begin{aligned} J_1'(\eta) &= \frac{1}{2} + \eta^2 - \frac{1}{\sqrt{\pi}} \eta e^{-\eta^2} - (\frac{1}{2} + \eta^2) \operatorname{Erf} \eta - \frac{1}{2} (1 + 6\eta^2 + 4\eta^4 + \\ &+ \frac{8}{15}\eta^6) (1 - \operatorname{Erf} \eta) + \frac{12}{45\sqrt{\pi}} (\eta^5 + 7\eta^3 + \frac{33}{4}\eta) e^{-\eta^2} \end{aligned} \quad (2.49)$$

Rešenjima (2.48) i (2.49) određeno je prvo približenje

brzine dopunskog graničnog sloja (2.45). Pomoću izraza (2.45)

i druge jednačine sistema (1.27) može se izračunati:

$$u_0 = -2\sqrt{\nu t} \left[\pm W' J_0(\eta) + 2t^3 (W'^2 + W W''') J_1(\eta) \right] \quad (2.50)$$

a onda jednačina za drugo približenje brzine u granu sloju

(1.31) postaje

$$\frac{\partial u_1}{\partial t} - \nu \frac{\partial^2 u_1}{\partial y^2} = t^2 W W' \Pi_1(\eta) + t^4 [W W' \Pi_2(\eta) + W' W'' \Pi_3(\eta)] + t^6 W W' (W'^2 + W W'') \Pi_4(\eta) \quad (2.51)$$

gde su poznate funkcije

$$\begin{aligned} \Pi_1(\eta) &= (-4\eta^4 - 3) \operatorname{Erf} \eta + \left[\left(-\frac{8}{\sqrt{\pi}} \eta^3 + \frac{8}{\sqrt{\pi}} \eta \right) e^{-\eta^2} + 8\eta^4 + 4\eta^2 - \frac{8}{\sqrt{\pi}} \eta + 2 \right] \operatorname{Erf} \eta + \\ &+ \left(-\frac{4}{\pi} \eta^2 + \frac{8}{\pi} \right) e^{-2\eta^2} + \left(\frac{8}{\sqrt{\pi}} \eta^3 - \frac{4}{\sqrt{\pi}} \eta - \frac{8}{\pi} \right) e^{-\eta^2} - 4\eta^4 - 4\eta^2 + \frac{8}{\sqrt{\pi}} \eta + 1 \\ \Pi_2(\eta) &= \left(\frac{64}{105} \eta^8 + \frac{16}{3} \eta^4 \right) \operatorname{Erf} \eta + \left[\left(\frac{36608}{19005\sqrt{\pi}} \eta^7 + \frac{3298432}{19005\sqrt{\pi}} \eta^5 + \frac{10992}{35\sqrt{\pi}} \eta^3 + \right. \right. \\ &+ \left. \left. \frac{2456}{105\sqrt{\pi}} \eta \right) e^{-\eta^2} - \frac{128}{105} \eta^8 + \frac{448}{105} \eta^6 - \frac{64}{15\sqrt{\pi}} \eta^5 + \frac{16}{3} \eta^4 - \frac{64}{3\sqrt{\pi}} \eta^3 - \frac{944}{105\sqrt{\pi}} \eta \right] \operatorname{Erf} \eta + \\ &+ \left(\frac{125024}{19005\pi} \eta^6 + \frac{3291712}{19005\pi} \eta^4 + \frac{23344}{105\pi} \eta^2 + \frac{32}{21\pi} \right) e^{-2\eta^2} - \left(\frac{36608}{19005\sqrt{\pi}} \eta^7 + \right. \\ &+ \left. \frac{5888}{35\sqrt{\pi}} \eta^5 + \frac{4304}{105\sqrt{\pi}} \eta^3 + \frac{192}{\pi} \eta^2 + \frac{944}{105\sqrt{\pi}} \eta + \frac{123488}{19005\pi} \right) e^{-\eta^2} + \\ &+ \frac{64}{105} \eta^8 + \frac{64}{15\sqrt{\pi}} \eta^5 - \frac{64}{15} \eta^6 - \frac{32}{3} \eta^4 + \frac{64}{3\sqrt{\pi}} \eta^3 + \frac{944}{105\sqrt{\pi}} \eta \\ \Pi_3(\eta) &= \left(\frac{96}{35} \eta^8 + \frac{2464}{105} \eta^6 + \frac{104}{3} \eta^4 + 8\eta^2 \right) \operatorname{Erf} \eta + \left[\left(\frac{16}{7\sqrt{\pi}} \eta^7 + \right. \right. \\ &+ \left. \left. \frac{2152}{105\sqrt{\pi}} \eta^5 + \frac{772}{35\sqrt{\pi}} \eta^3 - \frac{302}{105\sqrt{\pi}} \eta \right) e^{-\eta^2} + \frac{192}{35} \eta^8 - \frac{4816}{105} \eta^6 + \right. \\ &+ \left. \frac{184}{3} \eta^4 - 8\eta^2 + \frac{176}{105\sqrt{\pi}} \eta \right] \operatorname{Erf} \eta + \left(\frac{8}{7\sqrt{\pi}} \eta^6 + \frac{344}{35\pi} \eta^4 + \frac{115}{21\pi} \eta^2 - \right. \\ &- \left. \frac{176}{105\pi} \right) e^{-2\eta^2} - \left(\frac{16}{7\sqrt{\pi}} \eta^7 + \frac{708}{35\sqrt{\pi}} \eta^5 + \frac{424}{21\sqrt{\pi}} \eta^3 - \frac{176}{105\sqrt{\pi}} \eta - \frac{176}{105\pi} \right) e^{-\eta^2} + \\ &+ \frac{96}{35} \eta^8 + \frac{112}{5} \eta^6 + \frac{80}{3} \eta^4 - \frac{176}{105\sqrt{\pi}} \eta \\ \Pi_4(\eta) &= \left(-\frac{64}{1575} \eta^{12} - \frac{256}{525} \eta^{10} - \frac{272}{105} \eta^8 - \frac{64}{15} \eta^6 - \frac{16}{3} \eta^4 \right) \operatorname{Erf} \eta + \left(\frac{-1664\eta^{11}}{40725} + \right. \\ &+ \left. \frac{533888}{57015} \eta^9 + \frac{9954144}{95025} \eta^7 + \frac{35792}{172} \eta^5 + \frac{944}{35} \eta^3 - \frac{176}{105} \eta \right) \frac{1}{\sqrt{\pi}} e^{-\eta^2} \operatorname{Erf} \eta + \\ &+ \left(\frac{176}{105\sqrt{\pi}} \eta + \frac{352}{105\sqrt{\pi}} \eta^3 + \frac{352}{525\sqrt{\pi}} \eta^5 + \frac{32}{3} \eta^4 + \frac{128}{15} \eta^6 + \frac{544}{105} \eta^8 + \frac{512}{525} \eta^{10} + \right. \\ &+ \left. \frac{128}{1575} \eta^{12} \right) \operatorname{Erf} \eta + \left(-\frac{64}{285075} \eta^{10} + \frac{186848}{19005} \eta^8 + \frac{5827744}{57015} \eta^6 + \right. \\ &+ \left. \frac{15355616}{95025} \eta^4 - \frac{5872}{175} \eta^2 - \frac{66}{525} \right) \frac{1}{\pi} e^{-2\eta^2} + \end{aligned}$$

$$\begin{aligned}
 & + \left(\frac{74272}{95025\pi} \eta^4 + \frac{1056}{35\pi} \eta^2 + \frac{88}{175\pi} + \frac{176}{105\sqrt{\pi}} \eta - \frac{944}{35\sqrt{\pi}} \eta^3 - \frac{35792}{175\sqrt{\pi}} \eta^5 \right. \\
 & - \frac{9954144}{95025\sqrt{\pi}} \eta^7 - \frac{533888}{57015\sqrt{\pi}} \eta^9 + \frac{1664}{40725\sqrt{\pi}} \eta^{11} \Big) e^{-\eta^2} - \frac{64}{1575} \eta^{12} - \\
 & - \frac{256}{525} \eta^{10} - \frac{272}{105} \eta^8 - \frac{64}{15} \eta^6 - \frac{16}{3} \eta^4 - \frac{352}{525\sqrt{\pi}} \eta^5 - \frac{352}{105\sqrt{\pi}} \eta^3 - \frac{176}{105\sqrt{\pi}} \eta
 \end{aligned}$$

Tražimo rešenje jednačine (2.51) u obliku:

$$\begin{aligned}
 u_1 = & t_1^3 W W' F_0'(\eta) + t_1^5 [W W'^2 F_{1a}'(\eta) + W^2 W'' F_{1b}'(\eta)] + \\
 & + t_1^7 W W' (W'^2 + W W'') F_2'(\eta) \quad (2.53)
 \end{aligned}$$

za nepoznate koeficijente funkcije od promenljive " η " dobiće se diferencijalne jednačine:

$$\left. \begin{aligned}
 F_0''' + 2\eta F_0'' - 12F_0' &= -4\pi_1(\eta) \\
 F_{1a}''' + 2\eta F_{1a}'' - 20F_{1a}' &= -4\pi_2(\eta) \\
 F_{1b}''' + 2\eta F_{1b}'' - 20F_{1b}' &= -4\pi_3(\eta) \\
 F_2''' + 2\eta F_2'' - 28F_2' &= -4\pi_4(\eta)
 \end{aligned} \right\} \quad (2.54)$$

Rešimo ove jednačine:

1° Partikularni integrali homogenog dela prve jednačine sistema

(2.54) su:

$$\begin{aligned}
 (F_0')_1 &= 1 + 6\eta^2 + 4\eta^4 + \frac{8}{15}\eta^6 \\
 (F_0')_2 &= \frac{1}{384} (1 + 6\eta^2 + 4\eta^4 + \frac{8}{15}\eta^6) (1 - \text{Erf}\eta) - \frac{1}{720\sqrt{\pi}} (2^5 + 7\eta^3 + \frac{33}{4}\eta) e^{-\eta^2}
 \end{aligned}$$

Ako partikularno rešenje nehomogene jednačine pretpostavimo u vidu:

$$F_0'(\eta) = X \text{Erf}\eta^2 + Y \text{Erf}\eta + S \quad (2.55)$$

za funkcije X, Y, S dobiće se diferencijalne jednačine:

$$\begin{aligned}
 X'' + 2\eta X' - 12X &= 16\eta^4 + 12 \\
 Y'' + 2\eta Y' - 12Y &= -\frac{8}{\sqrt{\pi}} X' e^{-\eta^2} + \left(\frac{32}{\sqrt{\pi}} \eta^3 - \frac{32}{\sqrt{\pi}} \eta \right) e^{-\eta^2} - 32\eta^4 - 16\eta^2 - \frac{32}{\sqrt{\pi}} \eta - 8 \\
 S'' + 2\eta S' - 12S &= -\frac{8}{\pi} X e^{-2\eta^2} - \frac{4}{\sqrt{\pi}} X' e^{-\eta^2} + \left(\frac{16}{\pi} \eta^2 - \right. \\
 & \left. - \frac{32}{\pi} \right) e^{-2\eta^2} + \left(-\frac{32}{\sqrt{\pi}} \eta^3 + \frac{16}{\sqrt{\pi}} \eta + \frac{32}{\pi} \right) e^{-\eta^2} + 16\eta^4 + 16\eta^2 - \frac{32}{\sqrt{\pi}} \eta - 4
 \end{aligned} \quad (2.56)$$

Opšte rešenje diferencijalne jednačine za funkciju X(η) koja odgovara ovom problemu je:

$$X(\eta) = K_1 (1 + 6\eta^2 + 4\eta^4 + \frac{8}{15}\eta^6) - 4\eta^4 - 6\eta^2 - 2$$

Tada diferencijalna jednačina za funkciju Y(η) postaje:

$$y'' + 2\eta y' - 12y = \left[\left(\frac{64}{\sqrt{\pi}} - \frac{96}{\sqrt{\pi}} K_1 \right) \eta + \left(\frac{160}{\sqrt{\pi}} - \frac{128}{\sqrt{\pi}} K_1 \right) \eta^3 - \frac{128}{5\sqrt{\pi}} K_1 \eta^5 \right] e^{-\eta^2} - 32\eta^4 - 16\eta^2 + \frac{32}{\sqrt{\pi}} \eta - 8$$

a njeno rešenje, potrebno ovom prilikom je:

$$y(\eta) = 8\eta^4 + 14\eta^2 - \frac{16}{5\sqrt{\pi}} \eta + 3 + \left[\left(\frac{44}{5\sqrt{\pi}} K_1 - \frac{7}{\sqrt{\pi}} \right) \eta + \left(\frac{112}{15\sqrt{\pi}} K_1 - \frac{8}{\sqrt{\pi}} \right) \eta^3 + \frac{16}{15\sqrt{\pi}} K_1 \eta^5 \right] e^{-\eta^2}$$

I, konačno, tražeći rešenje treće jednačine sistema (2.56)

$$S'' + 2\eta S' - 12S = -\frac{8}{\pi} x e^{-2\eta^2} - \frac{4}{\sqrt{\pi}} x' e^{-\eta^2} + \left(\frac{16}{\pi} \eta^2 - \frac{32}{\pi} \right) e^{-2\eta^2} + \left(-\frac{32}{\sqrt{\pi}} \eta^3 + \frac{16}{\sqrt{\pi}} \eta + \frac{32}{\pi} \right) e^{-\eta^2} + 16\eta^4 + 16\eta^2 - \frac{32}{\sqrt{\pi}} \eta - 4$$

dolazimo do zaključka da je to rešenje moguće naći samo ako je:

$$K_1 = 5/4$$

Ovo rešenje glasi:

$$S(\eta) = \frac{1}{3\pi} (2\eta^4 + \eta^2 + 8) e^{-2\eta^2} + \left(\frac{8}{\sqrt{\pi}} \eta^3 + \frac{9}{\sqrt{\pi}} \eta - \frac{112}{35\pi} \right) e^{-\eta^2} - 4\eta^4 - 8\eta^2 + \frac{16}{15\sqrt{\pi}} \eta - 1$$

te tako, najjed, postaje potpuno određeni partikularni integral (2.55), a sa time i opšte rešenje polarno diferencijalne jednačine:

$$F_0'(\eta) = C_1 (F_0'k)_1 + C_2 (F_0'k)_2 + F_0'p(\eta) \quad (2.57)$$

Zbog graničnih uslova: $F_0'(0) = 0$, $F_0'(\infty) = 0$, konstante moraju imati vrednosti:

$$C_1 = -K_1 = -\frac{5}{4}, \quad C_2 = 864 + \frac{7168}{35\pi}$$

$$2^\circ \quad F_{1a}''' + 2\eta F_{1a}'' - 20F_{1a}' = -4\pi_2(\eta)$$

$$(F_{1a}k)_1 = 1 + 10\eta^2 + \frac{40}{3}\eta^4 + \frac{16}{3}\eta^6 + \frac{16}{21}\eta^8 + \frac{32}{945}\eta^{10}$$

$$(F_{1a}k)_2 = \frac{1}{122880} \left(1 + 10\eta^2 + \frac{40}{3}\eta^4 + \frac{16}{3}\eta^6 + \frac{16}{21}\eta^8 + \frac{32}{945}\eta^{10} \right) (1 - \text{Erf}\eta) - \frac{1}{1814400\sqrt{\pi}} \left(\frac{1}{2}\eta^9 + 11\eta^7 + \frac{147}{2}\eta^5 + 165\eta^3 + \frac{2895}{32}\eta \right) e^{-\eta^2}$$

$$F_{\text{rap}}(\eta) = X(\eta) \text{Erf} \eta^2 + Y(\eta) \text{Erf} \eta + S(\eta)$$

$$X'' + 2\eta X' - 20X = -\frac{256}{105} \eta^8 - \frac{64}{3} \eta^4$$

$$Y''' + 2\eta Y' - 20Y = -\frac{8}{\sqrt{\pi}} X' e^{-\eta^2} + \frac{512}{105} \eta^8 - \frac{1792}{105} \eta^6 +$$

$$+ \frac{256}{15\sqrt{\pi}} \eta^5 - \frac{64}{3} \eta^4 + \frac{256}{3\sqrt{\pi}} \eta^3 + \frac{3776}{105\sqrt{\pi}} \eta^2 - \left(\frac{146432}{19005\sqrt{\pi}} \eta^7 +$$

$$+ \frac{13193728}{19005\sqrt{\pi}} \eta^5 + \frac{43968}{35\sqrt{\pi}} \eta^3 + \frac{9824}{105\sqrt{\pi}} \eta \right) e^{-\eta^2}$$

$$S'' + 2\eta S' - 20S = -\frac{8}{\pi} X e^{-\eta^2} - \frac{4}{\sqrt{\pi}} Y' e^{-\eta^2} - \left(\frac{100096}{19005\pi} \eta^6 +$$

$$+ \frac{13166848}{19005\pi} \eta^4 + \frac{93376}{105\pi} \eta^2 + \frac{128}{21\pi} \right) e^{-2\eta^2} + \left(\frac{493952}{19005\pi} + \frac{3776}{105\sqrt{\pi}} \eta +$$

$$+ \frac{768}{\pi} \eta^2 + \frac{17216}{105\sqrt{\pi}} \eta^3 + \frac{23552}{35\sqrt{\pi}} \eta^5 + \frac{146432}{19005\sqrt{\pi}} \eta^7 \right) e^{-\eta^2} -$$

$$- \frac{256}{105} \eta^8 + \frac{256}{15} \eta^6 - \frac{256}{15\sqrt{\pi}} \eta^5 + \frac{128}{3} \eta^4 - \frac{256}{3\sqrt{\pi}} \eta^3 - \frac{3776}{105\sqrt{\pi}} \eta$$

$$X = K_1 \left(1 + 10\eta^2 + \frac{40}{3}\eta^4 + \frac{16}{3}\eta^6 + \frac{16}{21}\eta^8 + \frac{32}{945}\eta^{10} \right) +$$

$$+ \frac{64}{105} \eta^8 + \frac{448}{105} \eta^6 + \frac{192}{9} \eta^4 + \frac{28}{3} \eta^2 + \frac{14}{15}$$

$$Y = Y(\eta), \quad S = S(\eta).$$

$$K_1 = \frac{262641053}{25340\pi} - \frac{8529747}{905\sqrt{\pi}}$$

Tako je konačno, određen opšti integral drugo diferencijalne integracije sistema (2.54)

$$F_{1a}'(\eta) = C_1 \left(1 + 10\eta^2 + \frac{40}{3}\eta^4 + \frac{16}{3}\eta^6 + \frac{16}{21}\eta^8 + \frac{32}{945}\eta^{10} \right) + C_2 \left[\frac{1}{122880} \left(1 + 10\eta^2 + \frac{40}{3}\eta^4 + \frac{16}{3}\eta^6 + \frac{16}{21}\eta^8 + \frac{32}{945}\eta^{10} \right) (1 - \text{Erf}\eta) - \frac{1}{1814400\sqrt{\pi}} \left(\frac{1}{2}\eta^9 + 11\eta^7 + \frac{147}{2}\eta^5 + 165\eta^3 + \frac{2895}{32}\eta \right) e^{-\eta^2} \right] + X \text{Erf}\eta^2 + Y \text{Erf}\eta + S \quad (2.58)$$

$$F_{1a}'(0) = 0, \quad F_{1a}'(\infty) = 0,$$

$$C_1 = -K_1, \quad C_2 = 122880 [K_1 - S(0)]$$

$$3^\circ \quad F_{1b}'' + 2\eta F_{1b}' - 20F_{1b} = -4T_3(\eta)$$

$$F_{1b}' = X \text{Erf}\eta^2 + Y \text{Erf}\eta + S$$

$$X'' + 2\eta X' - 20X = -\frac{384}{35}\eta^8 - \frac{9856}{105}\eta^6 - \frac{416}{3}\eta^4 - 32\eta^2$$

$$Y'' + 2\eta Y' - 20Y = -\frac{8}{\sqrt{\pi}} X' e^{-\eta^2} - \left(\frac{64}{7\sqrt{\pi}}\eta^7 + \frac{8608}{105\sqrt{\pi}}\eta^5 + \frac{3088}{35\sqrt{\pi}}\eta^3 - \frac{1208}{105\sqrt{\pi}}\eta \right) e^{-\eta^2} + \frac{768}{35}\eta^8 + \frac{19264}{105}\eta^6 - \frac{736}{3}\eta^4 + 32\eta^2 - \frac{704}{105\sqrt{\pi}}\eta$$

$$S'' + 2\eta S' - 20S = -\frac{8}{\pi} X e^{-2\eta^2} - \frac{4}{\sqrt{\pi}} Y' e^{-\eta^2} - \left(\frac{32}{7\pi}\eta^6 + \frac{1376}{35\pi}\eta^4 + \frac{460}{21\pi}\eta^2 - \frac{704}{105\pi} \right) e^{-2\eta^2} + \left(\frac{64}{7\sqrt{\pi}}\eta^7 + \frac{2832}{35\sqrt{\pi}}\eta^5 + \frac{1696}{21\sqrt{\pi}}\eta^3 + \frac{704}{105\sqrt{\pi}}\eta - \frac{704}{105\pi} \right) e^{-\eta^2} - \frac{384}{35}\eta^8 - \frac{448}{5}\eta^6 - \frac{320}{3}\eta^4 + \frac{704}{105\sqrt{\pi}}\eta$$

$$X = K_1 \left(1 + 10\eta^2 + \frac{40}{3}\eta^4 + \frac{16}{3}\eta^6 + \frac{16}{21}\eta^8 + \frac{32}{945}\eta^{10} \right) +$$

$$+ \frac{96}{35}\eta^8 + \frac{464}{15}\eta^6 + \frac{800}{9}\eta^4 + \frac{206}{3}\eta^2 + \frac{103}{15}$$

$$y = -\frac{61}{6} + \frac{352}{945\sqrt{\pi}} \eta - \frac{305}{3} \eta^2 - \frac{1196}{9} \eta^4 - \frac{184}{3} \eta^6 - \frac{192}{35} \eta^8 +$$

$$+ \left[\left(\frac{772}{63\sqrt{\pi}} K_1 + \frac{63079}{1764\sqrt{\pi}} \right) \eta + \left(\frac{1408}{63\sqrt{\pi}} K_1 + \frac{145183}{2205\sqrt{\pi}} \right) \eta^3 + \left(\frac{448}{45\sqrt{\pi}} K_1 + \right. \right.$$

$$\left. \left. + \frac{2684}{105\sqrt{\pi}} \right) \eta^5 + \left(\frac{1408}{945\sqrt{\pi}} K_1 + \frac{16}{7\sqrt{\pi}} \right) \eta^7 + \frac{64}{945\sqrt{\pi}} K_1 \eta^9 \right] e^{-\eta^2}$$

$$S = \left[\left(\frac{2486}{945\pi} K_1 + \frac{194237689}{19792080\pi} \right) + \left(\frac{964}{315\pi} K_1 + \frac{141127}{3740\pi} \right) \eta^2 + \right.$$

$$\left. + \left(\frac{4376}{945\pi} K_1 + \frac{428}{35\pi} \right) \eta^4 + \left(\frac{688}{945\pi} K_1 + \frac{8}{7\pi} \right) \eta^6 + \right.$$

$$\left. + \frac{32}{945\pi} K_1 \eta^8 \right] e^{-2\eta^2} + \left(\frac{224}{945\sqrt{\pi}} + \frac{43541}{630\sqrt{\pi}} \eta + \frac{107}{\sqrt{\pi}} \eta^3 + \right.$$

$$\left. + \frac{2069}{105\sqrt{\pi}} \eta^5 + \frac{112}{63\sqrt{\pi}} \eta^7 \right) e^{-\eta^2} + \frac{96}{35} \eta^8 + \frac{152}{5} \eta^6 +$$

$$+ \frac{764}{9} \eta^4 + \frac{191}{3} \eta^2 - \frac{352}{945\sqrt{\pi}} \eta + \frac{191}{30}$$

$$K_1 = \frac{915162221}{535873184}$$

Opäti integral polazne diferencijalne jednačine je:

$$F_{16}'(\eta) = C_1 \left(1 + 10\eta^2 + \frac{40}{3}\eta^4 + \frac{16}{3}\eta^6 + \frac{16}{21}\eta^8 + \frac{32}{945}\eta^{10} \right) +$$

$$+ C_2 \left[\frac{1}{122880} \left(1 + 10\eta^2 + \frac{40}{3}\eta^4 + \frac{16}{3}\eta^6 + \frac{16}{21}\eta^8 + \frac{32}{945}\eta^{10} \right) (1 - \text{Erf} \eta) - \right.$$

$$\left. - \frac{1}{1814400\sqrt{\pi}} \left(\frac{1}{2}\eta^9 + 11\eta^7 + \frac{147}{2}\eta^5 + 165\eta^3 + \frac{2895}{32}\eta \right) e^{-\eta^2} \right] + F_{16}'(\eta) \quad (2.59)$$

a zbog graničnih uslova $F_{16}'(0) = 0$, $F_{16}'(\infty) = 0$,

konstante postaju vrednosti:

$$C_1 = -K_1, \quad C_2 = 122880 [K_1 - S(0)]$$

$$4^{\circ} F_2''' + 2\eta F_2'' - 28F_2' = \left(\frac{256}{1575}\eta^{12} + \frac{1024}{525}\eta^{10} + \frac{1088}{105}\eta^8 + \frac{256}{15}\eta^6 + \right.$$

$$\left. + \frac{64}{3}\eta^4 \right) \text{Erf}^2 \eta + \left(\frac{6656}{40725}\eta^{11} - \frac{2135552}{57015}\eta^9 - \frac{39816576}{95025}\eta^7 - \right.$$

$$\begin{aligned}
 & - \frac{143168}{175} \eta^5 - \frac{3776}{35} \eta^3 + \frac{704}{105} \eta \Big) \frac{1}{\sqrt{\pi}} e^{-\eta^2} \operatorname{Erf} \eta - \left(\frac{704}{105\sqrt{\pi}} \eta + \frac{1408}{105\sqrt{\pi}} \eta^3 + \right. \\
 & + \frac{1408}{525\sqrt{\pi}} \eta^5 + \frac{128}{3} \eta^4 + \frac{512}{15} \eta^6 + \frac{2176}{105} \eta^8 + \frac{2048}{525} \eta^{10} + \left. \frac{512}{1575} \eta^{12} \right) \operatorname{Erf} \eta + \\
 & + \left(\frac{265}{285075} \eta^{10} - \frac{747392}{19005} \eta^8 - \frac{23310976}{57015} \eta^6 - \frac{61422464}{95025} \eta^4 + \right. \\
 & + \left. \frac{23488}{175} \eta^2 + \frac{1056}{525} \right) \frac{1}{\pi} e^{-2\eta^2} + \left(- \frac{297088}{95025\pi} \eta^4 - \frac{4224}{35\pi} \eta^2 - \right. \\
 & - \frac{352}{175\pi} - \frac{704}{105\sqrt{\pi}} \eta + \frac{3776}{35\sqrt{\pi}} \eta^3 + \frac{143168}{175\sqrt{\pi}} \eta^5 + \frac{39816576}{95025\sqrt{\pi}} \eta^7 + \\
 & + \frac{2135552}{57015\sqrt{\pi}} \eta^9 - \frac{6656}{40725\sqrt{\pi}} \eta^{11} \Big) e^{-\eta^2} + \frac{256}{1575} \eta^{12} + \\
 & + \frac{1024}{525} \eta^{10} + \frac{1088}{105} \eta^8 + \frac{256}{15} \eta^6 + \frac{64}{3} \eta^4 + \\
 & + \frac{1408}{525\sqrt{\pi}} \eta^5 + \frac{1408}{105\sqrt{\pi}} \eta^3 + \frac{704}{105\sqrt{\pi}} \eta
 \end{aligned}$$

Partikularni integrali homogenog dela ove jednačine su:

$$\begin{aligned}
 F_{2h}^I &= 1 + 14\eta^2 + 28\eta^4 + \frac{56}{3}\eta^6 + \frac{16}{3}\eta^8 + \frac{32}{45}\eta^{10} + \frac{64}{1485}\eta^{12} + \frac{128}{135135}\eta^{14} \\
 F_{2h}^I &= \frac{1}{82575360} (1 + 14\eta^2 + 28\eta^4 + \frac{56}{3}\eta^6 + \frac{16}{3}\eta^8 + \frac{32}{45}\eta^{10} + \frac{64}{1485}\eta^{12} + \\
 & + \frac{128}{135135}\eta^{14}) (1 - \operatorname{Erf} \eta) - \frac{1}{43589145600\sqrt{\pi}} \left(\frac{1}{2} \eta^{13} + \frac{45}{2} \eta^{11} + \right. \\
 & + \left. \frac{2915}{8} \eta^9 + \frac{10575}{4} \eta^7 + \frac{278019}{32} \eta^5 + \frac{364665}{32} \eta^3 + \frac{509985}{128} \eta \right) e^{-\eta^2}
 \end{aligned}$$

Ali partikularno rešenje nehomogene jednačine potražimo u obliku:

$$F_{2h}^I(\eta) = X \operatorname{Erf} \eta + Y \operatorname{Erf} \eta + S$$

za funkcije X, Y, S dobiće se diferencijalne jednačine:

$$X'' + 2\eta X' - 28X = \frac{256}{1575} \eta^{12} + \frac{1024}{525} \eta^{10} + \frac{1088}{105} \eta^8 + \frac{256}{15} \eta^6 + \frac{64}{3} \eta^4$$

$$\begin{aligned}
 Y'' + 2\eta Y' - 28Y &= - \frac{8}{\sqrt{\pi}} X' e^{-\eta^2} + \left(\frac{6656}{40725} \eta^{11} - \frac{2135552}{57015} \eta^9 + \right. \\
 & + \frac{39816576}{95025} \eta^7 - \frac{143168}{175} \eta^5 - \frac{3776}{35} \eta^3 + \frac{704}{105} \eta \Big) \frac{1}{\sqrt{\pi}} e^{-\eta^2} - \\
 & - \left(\frac{704}{105\sqrt{\pi}} \eta + \frac{1408}{105\sqrt{\pi}} \eta^3 + \frac{1408}{525\sqrt{\pi}} \eta^5 + \frac{128}{3} \eta^4 + \frac{512}{15} \eta^6 + \frac{2176}{105} \eta^8 + \right. \\
 & \left. + \frac{2048}{525} \eta^{10} + \frac{512}{1575} \eta^{12} \right)
 \end{aligned}$$

$$\begin{aligned}
 S'' + 2\eta S' - 28S &= - \frac{8}{\pi} X e^{-2\eta^2} - \frac{4}{\sqrt{\pi}} Y' e^{-\eta^2} + \left(\frac{256}{285075\pi} \eta^{10} - \right. \\
 & - \frac{747392}{19005\pi} \eta^8 - \frac{23310976}{57015\pi} \eta^6 - \frac{61422464}{95025\pi} \eta^4 + \frac{23488}{175\pi} \eta^2 + \\
 & + \left. \frac{1056}{525\pi} \right) e^{-2\eta^2} + \left(- \frac{297088}{95025\pi} \eta^4 - \frac{4224}{35\pi} \eta^2 - \frac{352}{175\pi} - \frac{704}{105\sqrt{\pi}} \eta + \right. \\
 & + \frac{3776}{35\sqrt{\pi}} \eta^3 + \frac{143168}{175\sqrt{\pi}} \eta^5 + \frac{39816576}{95025\sqrt{\pi}} \eta^7 + \frac{2135552}{57015\sqrt{\pi}} \eta^9 - \\
 & - \frac{6656}{40725\sqrt{\pi}} \eta^{11} \Big) e^{-\eta^2} + \frac{256}{1575} \eta^{12} + \frac{1024}{525} \eta^{10} + \frac{1088}{105} \eta^8 + \\
 & + \frac{256}{15} \eta^6 + \frac{64}{3} \eta^4 + \frac{1408}{525\sqrt{\pi}} \eta^5 + \frac{1408}{105\sqrt{\pi}} \eta^3 + \frac{704}{105\sqrt{\pi}} \eta
 \end{aligned}$$

Očigledno je da se, istim postupkom kao u prethodnim slučajevima, može doći do odgovarajućih rešenja ovog rekursivnog sistema diferencijalnih jednačina, a time i do partikularnog integrala polazne nehomogene jednačine. Pošto su već određeni partikularni integrali homogenog dela ove jednačine, lako je doći i do konačnog rešenja, koristeći granični uslovi:

$$F_2'(0) = 0, \quad F_2'(\infty) = 0.$$

Tine bi kompletno bilo određeno i drugo približenje brzine u graničnom sloju (2.33). Kao što je već naglašeno, ovde će se zadržati samo prva aproksimacija brzine u graničnom sloju, da bi se izbegle ogromne računске teškoće. Rezultati određivanja druge brzinske aproksimacije su navedene da bi se pokazalo da se to u principu može postići, no da je to skopčano sa veoma teškim čisto računskim poslovima.

Sabirajući izraz (2.45) sa prvim izrazom veze (2.33) može se doći do ukupne brzine u graničnom sloju oko cilindričnog tela:

$$u = 2\epsilon W J_0'(\eta) + 2\epsilon^3 W W' J_1'(\eta) \quad (2.50)$$

Iz uslova odvajanja graničnog sloja $\left(\frac{\partial u}{\partial y}\right)_{y=0} = 0$ dolazi se do izraza za vreme odvajanja:

$$t_{odv}^2 = - \frac{J_0''(0)}{W'(x) J_1''(0)} \quad (2.61)$$

gde su poznate vrednosti:

$$J_0''(0) = \frac{4}{\sqrt{\pi}}, \quad J_1''(0) = \frac{6}{5\sqrt{\pi}}.$$

Primer: Kružnom cilindru radijusa $R = 50$ cm pokrenutom stalnim ubrzanjem $V_0 = 10$ cm/s², ubrzo potom saopšteno je dopunsko stalno ubrzanje $V_0 = 10$ cm/s².

Pošto je za kružni cilindar poznata funkcija

$$W(x) = 2V_0 \sin \frac{x}{R}$$

iz relacije (2.61) rezultuje da prvo odvajanje graničnog sloja nastaje u zadnjoj zaustavnoj tački, posle vremena:

$$t_{odv} = \left(\frac{5}{3} \frac{R}{V_0}\right)^{1/2} = 2,886 \text{ sec} \quad (2.62)$$

Cilindar je do tada prešao put:

$$S_{odv} = \frac{1}{2} (2V_0) t_{odv}^2 = 1,666 R \quad (2.63)$$

$$S_{odv} = 83,5 \text{ cm}$$

86. Stepeno-ubrzanoo kretanje izn kratkotrajnog stepeno-ubrzanog kretanja cilindričnog tela

Ograničimo se, zbog matematičkih teškoća pri rešavanju na slučaj istovetnih prethodnih i dopunskih kretanja:

$$U_s = A t^\alpha W(x), \quad U_d = A t^\alpha W(x), \quad \alpha \geq 0.$$

Pošto je granični sloj na talu, zbog prethodnog kretanja stepeno-ubrzanoo, određeni Watsonovim rešenjem [12]:

$$u_0 = A t^\alpha W(x) [1 - f(\eta)]$$

$$f(\eta) = 2^{2\alpha} \Gamma(\alpha + 1) g_\alpha(\eta) \quad (2.64)$$

gde je

$$g_\alpha(\eta) = \frac{2}{\sqrt{\pi} \Gamma(2\alpha + 1)} \int_0^\infty (x - \eta)^{2\alpha} e^{-x^2} dx$$

zmanom svih ovih izraza u prvu jednačinu sistema (1.27) dobiće se za prvo približenje brzine u graničnom sloju jednačina pogodna za rešavanje

$$\frac{\partial u_0}{\partial t} - \nu \frac{\partial^2 u_0}{\partial y^2} = A \alpha t^{\alpha-1} W + 2A^2 t^{2\alpha} W W' f(\eta) \quad (2.65)$$

Ako potražimo rešenje ove jednačine u obliku:

$$u_0 = A t^\alpha W(x) J_0(\eta) + 2A^2 t^{2\alpha+1} W W' J_1(\eta) \quad (2.66)$$

dobićemo za nepoznate funkcije diferencijalne jednačine:

$$J_0''' + 2\eta J_0'' - 4\alpha J_0' = -4\alpha$$

$$J_1''' + 2\eta J_1'' - 4(2\alpha + 1) J_1' = -4 f(\eta) \quad (2.67)$$

sa graničnim uslovima:

$$J_0(0) = J_0'(0) = 0, \quad J_0'(\infty) = 1$$

$$J_1(0) = J_1'(0) = 0, \quad J_1'(\infty) = 0. \quad (2.68)$$

Rešenje prve od jednačina (2.67), koje ispunjava odgovarajući granični uslov (2.68), je

$$J_0'(\eta) = 1 - 2^{2\alpha} \Gamma(\alpha + 1) g_\alpha(\eta) \quad (2.69)$$

Partikularna rešenja homogenog dela druge jednačine sistema

$$(2.67) \text{ su } J_{1h}(\eta) = P(\eta)$$

$$J_{1h}(\eta) = g_{2\alpha+1}(\eta)$$

gde je $P(\eta)$ polinom $\left(\frac{2\alpha+1}{2}\right)$ -og reda, a $g_{2\alpha+1}(\eta)$ integral Gaussove funkcije greške oblika

$$g_{2\alpha+1}(\eta) = \frac{2}{\sqrt{\pi} \Gamma(4\alpha+3)} \int_0^\infty (x - \eta)^{4\alpha+2} e^{-x^2} dx$$

Partikularno rešenje nelinearne jednačine potražimo u vidu:

$$J_{1p}'(\eta) = K - g_{\alpha}(\eta)$$

Pošto se druga jednačina sistema (2.67) može napisati u obliku

$$J_1'' + 2\eta J_1' - 4\alpha J_1' - 4(\alpha+1)J_1 = -2^{2\alpha+2} \Gamma(\alpha+1) - g_{\alpha}(\eta)$$

bidež: $-4(\alpha+1)K - g_{\alpha}(\eta) = -2^{2\alpha+2} \Gamma(\alpha+1) - g_{\alpha}(\eta)$

odakle je:

$$K = 2 \frac{2^{\alpha} \Gamma(\alpha+1)}{\alpha+1}$$

Prema tome, partikularno rešenje nehomogene jednačine glasi:

$$J_{1p}'(\eta) = 2 \frac{2^{\alpha} \Gamma(\alpha+1)}{\alpha+1} - g_{\alpha}(\eta) \quad (2.70)$$

Opšte rešenje polazne diferencijalne jednačine je:

$$J_1'(\eta) = C_1 P(\eta) + C_2 g_{2\alpha+1}(\eta) + 2 \frac{2^{\alpha} \Gamma(\alpha+1)}{\alpha+1} - g_{\alpha}(\eta)$$

Zbog uslova $J_1'(\infty) = 0$ mora biti $C_1 = 0$, a koristeći drugi

granični uslov $J_1'(0) = 0$ dobije se vrednosti:

$$C_2 = -2 \frac{4^{\alpha+2} \Gamma(2\alpha+2)}{\alpha+1}$$

tako da je konačno rešenje:

$$J_1'(\eta) = -2 \frac{4^{\alpha+2} \Gamma(2\alpha+2)}{\alpha+1} g_{2\alpha+1}(\eta) + 2 \frac{2^{\alpha} \Gamma(\alpha+1)}{\alpha+1} - g_{\alpha}(\eta) \quad (2.71)$$

Rešenjima (2.69) i (2.71) prvo približenje brzine dopunskog graničnog sloja (2.66) je potpuno određeno. Podajući joj brzinu prethodnog graničnog sloja (2.64) dobije se ulazna brzina u graničnom sloju oko cilindričnog tela:

$$u = A t^{\alpha} W(\alpha) [1 - f(\eta) + J_0'(\eta)] + 2A t^{2\alpha+1} W W' J_1'(\eta) \quad (2.72)$$

U tački odvajanja graničnog sloja je $\left(\frac{\partial u}{\partial y}\right)_{y=0} = 0$ odakle se dobija jednačina:

$$2A t^{\alpha+1} = \frac{f'(0) - J_0''(0)}{W'(\alpha) J_1''(0)} \quad (2.73)$$

Put odvajanja graničnog sloja iznosi:

$$S_{odv} = \int_0^{t_{odv}} 2A t^{\alpha} dt = \frac{2A}{\alpha+1} t_{odv}^{\alpha+1} = \frac{f'(0) - J_0''(0)}{(\alpha+1) W'(\alpha) J_1''(0)} \quad (2.74)$$

gde su poznate konstante:

$$\begin{aligned} f'(0) &= -2 \frac{2^{\alpha} \Gamma(\alpha+1)}{\Gamma(\alpha+1)} \frac{\Gamma(\alpha)}{\sqrt{\pi} \Gamma(2\alpha)}, & J_0''(0) &= 2 \frac{2^{\alpha} \Gamma(\alpha+1)}{\Gamma(\alpha+1)} \frac{\Gamma(\alpha)}{\sqrt{\pi} \Gamma(2\alpha)}, \\ J_1''(0) &= 2 \frac{4^{\alpha+2} \Gamma(2\alpha+2)}{\alpha+1} \frac{\Gamma(2\alpha+1)}{\sqrt{\pi} \Gamma(4\alpha+2)}, & &= 2 \frac{2^{\alpha} \Gamma(\alpha+1)}{\alpha+1} \frac{\Gamma(\alpha)}{\sqrt{\pi} \Gamma(2\alpha)} \end{aligned} \quad (2.75)$$

Izraz (2.74), zajedno sa vrednostima (2.75), pruža mogućnost da se potraži odgovor na jedno interesantno pitanje. Naime, kod kružnog cilindra, kada je kratkotrajno prethodno jednako-ubrzanje bilo "pojačano" dopunskim jednako-ubrzanim kretanjem

($\alpha = 1$), put odvajanja graničnog sloja je bio veći ($s_{odv} = 1,66 R$), no u slučaju dopunskog trzaja iza kratkotrajnog prethodnog trzaja ($\alpha = 0, s_{odv} = 1,0 R$), s tim u vezi, postavlja se pitanje može li se put odvajanja proizvoljno povećavati, povećanjem izlaska vremena " α ", što bi na praksu vrlo značajno bilo. Zato potražimo graničnu vrednost izraza (2.74), smenjujući u njega vrednosti (2.75), pri $\alpha \rightarrow \infty$.

Ubacujući izraze (2.75) u vezu (2.74) i koristeći pri tom Legendre-ov obrazac za "gama" funkcije

$$\Gamma(2z) = \frac{\Gamma(z) \Gamma(z + 1/2)}{\sqrt{\pi} 2^{1-2z}}$$

dobije se:

$$\frac{1}{s_{odv}} = \left[\frac{1}{2} - \frac{1}{2} \frac{\Gamma(\alpha + 1/2)}{\Gamma(\alpha + 1)} \frac{\Gamma(2\alpha + 2)}{\Gamma(2\alpha + 3/2)} \right] W'(\alpha)$$

U zadnjoj saustavnoj tački kružnog cilindra radijusa R , ovaj izraz prelazi u novi oblik

$$\frac{R}{s_{odv}} = -1 + \frac{\Gamma(\alpha + 1/2)}{\Gamma(\alpha + 1)} \frac{\Gamma(2\alpha + 2)}{\Gamma(2\alpha + 3/2)} \quad (2.76)$$

Iskoristimo sada Binnet-ovu formulu o ponašanju količnika "gama" - funkcija pri velikoj vrednosti promenljive

$$\frac{\Gamma(\alpha + a)}{\Gamma(\alpha + b)} \sim \alpha^{a-b}, \quad \text{za } \alpha \rightarrow \infty.$$

U našem slučaju imaćemo:

$$\frac{\Gamma(\alpha + 1/2)}{\Gamma(\alpha + 1)} \sim \alpha^{-1/2}, \quad \text{za } \alpha \rightarrow \infty; \quad \frac{\Gamma(2\alpha + 2)}{\Gamma(2\alpha + 3/2)} \sim \sqrt{2} \alpha^{1/2}, \quad \text{za } \alpha \rightarrow \infty.$$

Tako, preko Binnet-ove formule o asimptotskom ponašanju, iz obranca (2.76), pri $\alpha \rightarrow \infty$ dobijemo vrednosti

$$s_{odv} = \frac{1}{\sqrt{2} - 1} R = 2,439 R \quad (2.77)$$

Odatle zaključujemo da se ne može put odvajanja proizvoljno povećati, raščćenjem eksponenta " α ", što je i prirodno.

87. Analiza rezultata proračuna graničnog sloja u slučaju kratkotrajnih prethodnih kretanja

U slučaju da se cilindrično telo pokreće iz stanja mirovanja, radovi Blasijusa i Vatsona, pokazuju porast vremena

(i puta) odvajanja graničnog sloja sa povećanjem brzine ismene ubrzanja kretanja tela u toku vremena. Pri smenjivanju predhodnih kretanja dopunskim kretanjima, okolnosti pri kojima se obavljaju dopunska kretanja su bitno izmenjeni, pa ipak ispitivanja osnovnih slučajeva kretanja sa stanovišta nestacionarnog graničnog sloja pokazuju sličnost sa rezultatima Blasijusa.

Ispitivanja graničnog sloja na telu pri kratkotrajnim prethodnim kretanjima, mada baziraju na znatnim pojednostavljenjima, ipak omogućuju izvesne realne zaključke u pogledu vremena odvajanja graničnog sloja.

Osnovni zaključak je da je vreme prvog odvajanja graničnog sloja na cilindričnom telu veće pri jednako-ubrzanim kretanjima, nego pri kretanjima trajem (uzimajući oba kretanja zajedno). Ovo je zaključak "istoga smera" sa zaključcima Blasijusa. Dakle:

- 1° Vreme odvajanja je veće pri $U_s = U, U_d = tW$, no pri $U_s = U = U_d$
- 2° Vreme odvajanja je veće pri $U_s = tW, U_d = U$, no pri $U_s = U = U_d$
- 3° Vreme odvajanja je veće pri $U_s = tW, U_d = tW$, no pri $U_s = U = U_d$

Ali sa razlikom od uslova pod kojima su vršena kretanja ispitivana od strane Blasijusa, ovde su okolnosti takve da postaje aktualno i pitanje klasifikovanja (jednako) ubrzanih kretanja tela. Naime, ova tri slučaja ($U_s = U, U_d = tW; U_s = tW, U_d = U; U_s = tW, U_d = tW$) prikazuju u suštini jednu kategoriju kretanja tela: jednako ubrzano kretanje. Pa ipak, razlike postoje. Ovde ima dva bitna i centralna faktora.

Prvo, i pored toga što se dopunsko kretanje odvija u novim prilikama, ipak se ne sme podceniti ono zatečeno stanje na telu u trenutku radjanja dopunskog kretanja, pa makoliko kratko trajalo ono predhodno kretanje (lako se uveriti da je, za prirodne razmere cilindra, vreme prvog odvajanja graničnog sloja reda veličine jedne sekunde, i manje). Znači, nepovoljnije je ako je zatečeno kretanje bilo trajem, nego kada se obavljalo stalnim ubrzanjem. Dakle, podatak da je vreme odvajanja veće pri $U_s = tW, U_d = U$, nego pri $U_s = U, U_d = tW$ prihvatljiv je i oprav-

dan. Prema tome, samo povoljnosti onog "zatečenog stanja" u samom početnom stadijumu kretanja su prednosti prvog u odnosu na drugo kretanje.

Drugo, kratkotrajnost prethodnih kretanja razlog je tome što je vreme odvajanja graničnog sloja manje pri $U_g = U_d = tW$, nego pri $U_g = tW$, $U_d = U$. Mala, zanemarljiva vremenska defazovanost, čini da telo ne "osuda", takoreći, nikakvu kvalitativnu promenu u načinu svoga kretanja (do tada tW , od tada $2tW$), pa i "zatečeni proces" u graničnom sloju na telu, trpi manja promenu (u pogledu odvajanja) nego u slučaju kada kretanje iz stanja U ili tW , prelazi u stanje $U + tW$. Posle svega što je rečeno sleduje zaključak da su, pri kratkotrajnim prethodnim kretanjima, najpovoljnija kretanja oblika $U + tW$, a najpreciznije posmatrano najkrajnje će se odvojiti granični sloj na cilindru, ako se on pokrene trajem iz stanja prethodnog jednako-ubrzanog kretanja. Paž odvajanja graničnog sloja duži je pri $U_g = U_d = tW$, nego pri $U_g = U_d = U$. Ispitivanja su pokazala da je moguće dati odgovor na pitanje promene puta odvajanja pri povećavanju brzine izmene ubrzanja kretanja tela u toku vremena u slučaju istovrednih prethodnih i dopunskih kretanja. U tom slučaju, put odvajanja pri $U_g = At \sim W(x)$, $U_d = Bt \sim W(x)$, ima konačnu vrednost ($s = 2,439 B$) čak i za beskrajanu vrednost eksponenta " ∞ ". Napominje se da je i ovaj podatak u svojoj suštini naglasen u rezultatima Watsona u slučaju kretanja cilindričnog tela iz stanja mirovanja. Veoma blisko su i proporcije između vrednosti pojedinih puteva odvajanja pri kretanjima: trajem, stalnim ubrzanjem i stepeno-ubrzano, pri $\alpha \rightarrow \infty$, u oba slučaja. U ovim slučajima sve te vrednosti su nešto povoljnije, zato što su veće. Ova pojava je i očekivana s obzirom na okolnost da ovde dopunsko kretanje počinje svoj razvoj u sredini gde su već pokrenute fluidne mase i to isto smerno sa dopunskim kretanjem. Međutim, Watson proučava kretanje iz stanja mirovanja. Razlika je, dakle, u toj inerciji fluidne mase zatečenog stanja koja ide u prilog činjenici da su vrednosti Watsonove za pojedine karakteristike nestacionarnog graničnog sloja manje od ovih.

III. GRANIČNI SLOJ NA CILINDRIČNOM TELU POKRETNOM IZ STANJA LEVESHKIH PREDHOĐNIH NESTACIONARNIH KRETANJA

§1. Uvod

Rešenja nestacionarnog graničnog sloja na telu pokretnom iz stanja mirovanja [12] funkcije su promenljivih $(x, t, \eta = \frac{y}{2\sqrt{\nu t}})$, gde se vreme "t" meri od trenutka kada je kretanje počelo. Ako se u momentu $t = T$ saopšti telu dopunsko kretanje to će se odraziti na granični sloj u vidu pojave dopunskih projekcija brzina u graničnom sloju. Pošto novo kretanje nije automodelno (a to se nije moglo ni očekivati, pošto ni stare - direktno iz mirovanja stvoreno - nije bilo automodelno) traženo rešenje jednačina u obliku reda po jednoj promenljivoj. S obzirom na početni uslov da u trenutku $t = T$ brzine dopunskog graničnog sloja mora da budu jednake nuli, pokušuje se neophodnim traženje rešenja za dopunski nestacionarni granični sloj preko novih promenljivih: $x, t - T, \bar{\eta} = \frac{y}{2\sqrt{\nu(t-T)}}$

Pošto za sve vreme dopunskog kretanja, u ovom radu usvojeni način tretiranja problema, dozvoljava neprekidni razvoj predhodnog nestacionarnog graničnog sloja - vrednosti dopunskih projekcija brzina postaju zavisne od predhodnog kretanja, obeleženog komponentom brzine u graničnom sloju " u_s ", sa starim promenljivim (x, t, η) . Onda je potrebno prilagođavanje ovih funkcija novim promenljivim. Naizmenjivo, pošto funkcija " u_s " odražava prirodu predhodnog kretanja, proces prilagođavanja novim promenljivim, treba obaviti posebno za pojedina predhodna kretanja: brzajem, stalnim ubrzanjem, itd.

§2. Slučaj predhodnog kretanja - brzajem iz stanja mirovanja

U ovom slučaju granični sloj na cilindričnom telu određjen je Blazijucevima rešenjem [12]:

$$u_s = U(x) f_1'(\eta) = U \frac{2}{\sqrt{\pi}} \int_0^{\eta} e^{-\tau^2} d\tau \quad (3.1)$$

Zbog ranije navedene veze (1.40) funkcija koju treba preračunati na odgovarajući oblik savisan od novih promenljivih glasi: $f_1' = \frac{2}{\sqrt{t}} \int_0^{\sqrt{t}} \sqrt{\frac{t}{t_1}} e^{-x^2} dx$ (3.2)

Da bi smo postigli oblik definisan u zaključku četvrtog paragrafa, prve glave, poslužićemo se, najpre, nekim stavovima iz analize redova.

Naime, ako se podintegralna funkcija $f(x)$ može predstaviti, u intervalu integracije $[a, b]$, ravnomerno - konvergentnim redom funkcija:

$$f(x) = Y_1(x) + Y_2(x) + \dots + Y_n(x) + \dots$$

tada ima smisla jednačina:

$$\int f(x) dx = \int Y_1(x) dx + \int Y_2(x) dx + \dots + \int Y_n(x) dx + \dots$$

i, prema tome, određeni integral može biti predstavljen konvergentnim redom:

$$\int_a^b f(x) dx = \int_a^b Y_1(x) dx + \int_a^b Y_2(x) dx + \dots + \int_a^b Y_n(x) dx + \dots$$

U slučaju lako integrabilnih funkcija $Y_i(x)$ (na primer, pri razlaganju $f(x)$ u stepeni uniformno konvergentni red) integral $\int_a^b f(x) dx$ može biti izračunat sa sa kojom stepenom tačnosti.

U našem slučaju (3.2) podintegralna funkcija se, prema teoriji Abela, može predstaviti uniformno - konvergentnim redom: $e^{-x^2} = 1 - \frac{x^2}{1!} + \frac{x^4}{2!} - \frac{x^6}{3!} + \dots$

u sa kojem konačnom intervalu, pa i u našem $0 \div \sqrt{\frac{t}{t_1}}$. Integrišući, dakle, član po član, dobijemo ponovo konvergentni red: $\int e^{-x^2} dx = x - \frac{x^3}{1 \cdot 3} + \frac{x^5}{2 \cdot 5} - \dots$ jer će, u našem slučaju (3.2), biti ispunjeni uslovi za konvergenciju naizmeničnih redova, shodno teoriji Lagrangea. Posebno u našem slučaju, priroda ovih konvergentnih redova je takva, da se i sa samo nekoliko prvih članova može raditi sa izvanrednom tačnošću. Ilustracije radi, navedimo podatak da se $\int_0^{\sqrt{t}} e^{-x^2} dx$, sa tačnošću do 0,0001 može rešiti samo sa prva tri člana reda.

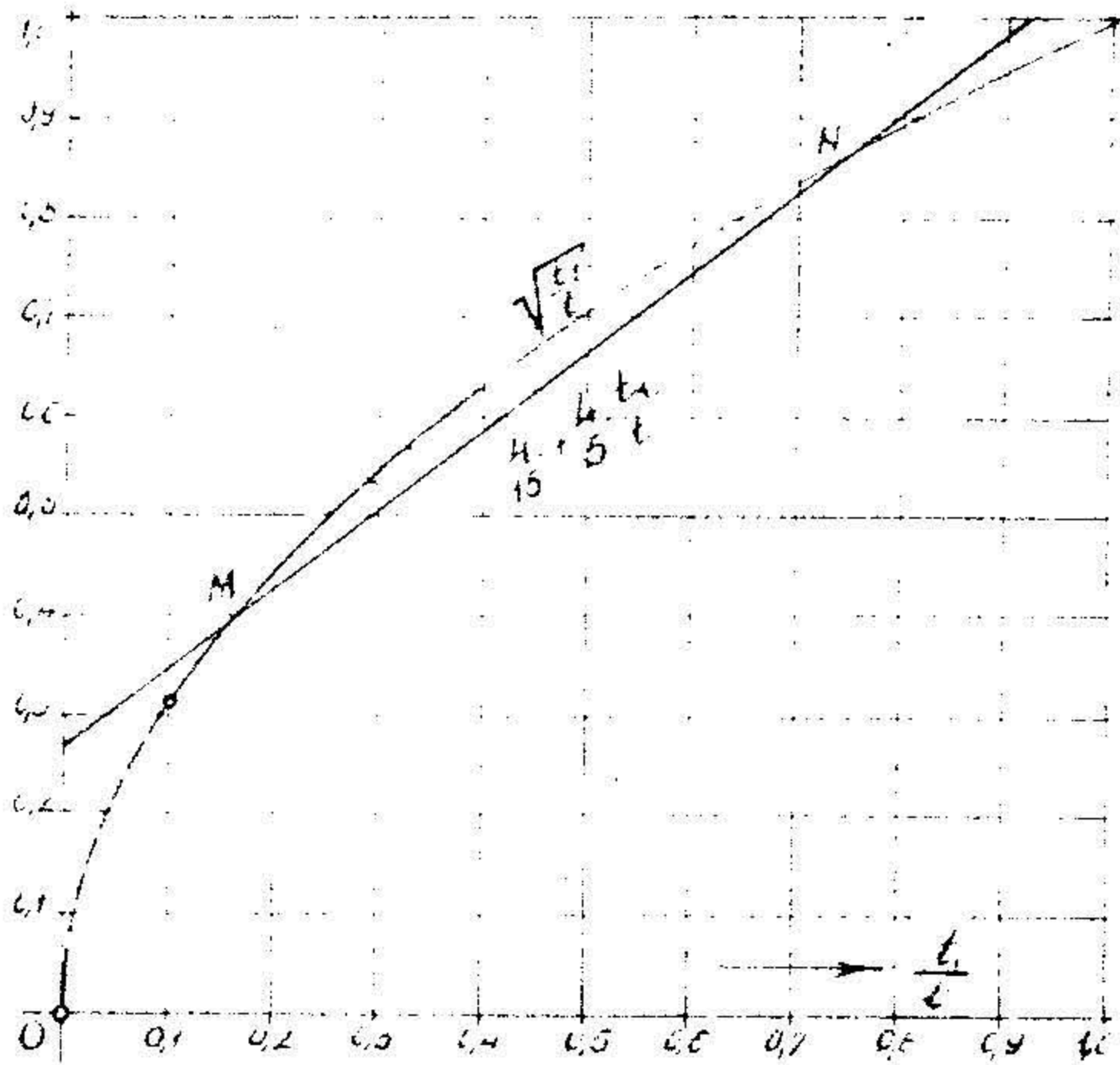
Kako funkcija (3.2) postaje:

$$f_1' \approx \frac{2}{\sqrt{t}} \left[\sqrt{\frac{t}{t_1}} - \frac{1}{1 \cdot 3} \sqrt{\frac{t}{t_1}}^3 + \frac{1}{2 \cdot 5} \sqrt{\frac{t}{t_1}}^5 - \dots \right] \quad (3.3)$$

gde smo se sadržali na prva dva člana reda. Pošto je, prema (1.16) $t_1/t < 1$, može se, pod uslovom da srednji kvadrat greške bude najmanji, uzeti približnost [15]:

$$\sqrt{\frac{t_1}{t}} \approx \frac{4}{15} + \frac{4}{5} \frac{t_1}{t} \quad (3.4)$$

Prisao ove približnosti vidi se sa grafičkog prikaza na sl. 5. Očigledno, u intervalu $0,1 \leq t_1/t \leq 0,9$ ova relacija (3.4) može dobro poslužiti. Najveće odstupanje je pri $t_1/t = 0,4$ i tada relativna greška u odnosu na tačnu vrednost



Sl. 5.

iznosi 5%. Pošto su kratkotrajna prethodna kretanja proučena, koja se mogu obuhvatiti okolinom odnosa $t_1/t \approx 1$, (dakle, sa dovoljno tačnosti bi tu mogao doći interval $0,9 < t_1/t \leq 1,0$), izlazi da će se izrazom (3.4) obuhvatiti, uglavnom, cela važna ob-

last vrednosti količnika t_1/t . Za nulta okolinu odnosa t_1/t ($0 \leq t_1/t \leq 0,1$), zaista minimalna u odnosu na ostali daleko prostorniji interval koji dobro obuhvata relacija (3.4), nema praktičnog interesa, a ukoliko nam treba vrednost "u" pri $t_1 = 0$, to ćemo tražiti direktno iz (3.1) stavljajući da je $t=t$.

Napomenimo još da su relacijom (3.4) naročito dobro obuhvaćene okoline presečnih tačaka M i N:

$$\frac{t_1}{t} = 0,165, \quad \frac{t_1}{t} = 0,750.$$

Ubacivanjem izraza (3.4) u vezu (3.3) dobiće se:

$$f_1' = \frac{8}{15\sqrt{t}} \bar{z} + \left(\frac{8}{5\sqrt{t}} \bar{z} - \frac{8}{45\sqrt{t}} \bar{z}^3 \right) \frac{t_1}{t} - \frac{8}{15\sqrt{t}} \bar{z}^3 \left(\frac{t_1}{t} \right)^2 \quad (3.5)$$

Da bi se dovršilo prilagođavanje, treba iz izraza (3.5) činilice (t_1/t) i $(t_1/t)^2$ izraziti preko " t_1 " u obliku polinoma, što je razjašnjeno u četvrtom paragrafu prve glave.

Tako je:

$$\frac{t_1}{t} = \frac{\bar{z}}{1+\bar{z}} \quad (3.6)$$

gde je iskorišćena veza (1.16) i uvedena oznaka $\bar{z} = \frac{t_1}{t}$

Za $\bar{z} < 1$, što obuhvata onu drugu interesantnu i važnu oblast, nasuprot varijanti kratkograjnih prethodnih kretanja, izraz (3.6) može se transformisati na odgovarajući oblik sa željenim stepenom tačnosti. Analiza je tekla ovako:

$$a) \frac{t_1}{T} = \frac{\bar{z}}{1+\bar{z}} \approx \bar{z}(1-\bar{z}) = P_2(\bar{z}) \quad (3.7)$$

\bar{z}	0,05	0,10	0,20	0,30	0,40
$\frac{\bar{z}}{1+\bar{z}}$	0,047	0,090	0,166	0,230	0,285
$P_2(\bar{z})$	0,047	0,090	0,160	0,210	0,240

Tabela 1.

Iz tabele 1. se vidi da aproksimacija (3.7) daje relativno dobre rezultate u domenu $0,1 < \frac{t_1}{T} < 0,4$, a ovo odgovara intervalu $0,09 < \frac{t_1}{T} < 0,285$, koji je kao uža okolina prosečne tačke M $t_1/T = 0,165$ (v. sl. 5) dobro sasvim obuhvaćen vesom (3.4)

$$b) \frac{t_1}{T} = \frac{\bar{z}}{1+\bar{z}} \approx \bar{z}(1-\bar{z}+\bar{z}^2) = P_3(\bar{z}) \quad (3.8)$$

\bar{z}	0,10	0,20	0,30	0,40	0,50
$\frac{\bar{z}}{1+\bar{z}}$	0,090	0,166	0,230	0,285	0,333
$P_3(\bar{z})$	0,091	0,168	0,237	0,304	0,375

Tabela 2.

$$c) \frac{t_1}{T} = \frac{\bar{z}}{1+\bar{z}} \approx \bar{z}(1-\bar{z}+\bar{z}^2-\bar{z}^3) = P_4(\bar{z}) \quad (3.9)$$

\bar{z}	0,10	0,20	0,30	0,40	0,50
$\frac{\bar{z}}{1+\bar{z}}$	0,090	0,166	0,230	0,285	0,333
$P_4(\bar{z})$	0,0909	0,1664	0,2289	0,2784	0,3125

Tabela 3.

Varijantom uprošćenja pod a) (3.7) dobro je obuhvaćen domen $t_1/T \leq 0,4$, razume se, sa većom tačnošću, ukoliko je ovaj odnos što manji.

Varijantom pod b) tačnost rezultata u domenu $t_1/T \leq 0,4$ je poboljšana, a i sama gornja granica domena se može pomeriti

nešto iznad vrednosti $t_1/2 = 0,4$.

Još dublje proširenje granice domana $t_1/2$ bi se moglo postići varijantom c). Međutim, mora se misliti i na broj univerzalnih funkcija u budućem rešenju dopunskog graničnog sloja koji je baš u vezi sa redom veličine stepena vremena " t_1 " aproksimativnog polinoma. Kako, zaustavimo se, na sada, na ovoj varijanti, koja pokriva i dovoljno prostrano i interesantno polje vrednosti $t_1/2$.

Ostaje još da se reši pitanje kako uzeti faktor $(t_1/t)^2$. Da li, možda, uzeti ceo kvadrat izraza (3.9), ili, pak, samo deo tog kvadrata zaključno sa četvrtim stepenom promenljive? Ispitajmo, prvo, eventualnu primenljivost ove druge mogućnosti:

$$\left(\frac{t_1}{t}\right)^2 = \frac{\bar{t}^2}{1 + 2\bar{t} + \bar{t}^2} \approx \bar{t}^2 - 2\bar{t}^3 + 3\bar{t}^4 = \Pi_4(\bar{t}) \quad (3.10)$$

\bar{t}	0,10	0,20	0,30	0,40	0,50
$\left(\frac{t_1}{t}\right)^2$	0,0081	0,0256	0,0529	0,0812	0,1109
$\Pi_4(\bar{t})$	0,0083	0,0280	0,0600	0,1038	0,1875

Tabela 4.

Analiziranjem tabele 4. konstatujemo da su odstupanja dosta velika i da moramo ići na prvu od citiranih mogućnosti:

$$\left(\frac{t_1}{t}\right)^2 = \frac{\bar{t}^2}{1 + 2\bar{t} + \bar{t}^2} \approx \bar{t}^2 - 2\bar{t}^3 + 3\bar{t}^4 - 4\bar{t}^5 + 3\bar{t}^6 - 2\bar{t}^7 + \bar{t}^8 = \Pi_8(\bar{t}) \quad (3.11)$$

\bar{t}	0,10	0,20	0,30	0,40	0,50	0,60
$\left(\frac{t_1}{t}\right)^2$	0,0081	0,0256	0,0529	0,0812	0,1109	0,1406
$\Pi_8(\bar{t})$	0,0082	0,0276	0,0524	0,0775	0,0976	0,1456
$\Pi_6(\bar{t})$	0,0082	0,0277	0,0528	0,0802	0,1094	0,1450

Tabela 5.

U tabeli 5. se nalaze rezultati ispitivanja relacije (3.11).

U rubrici nasnađenoj sa $\Pi_8(\bar{t})$ su vrednosti promišunete direktno po formuli (3.11) i slaganje sa tačnim vrednostima $(t_1/t)^2$ je dobro. Ali, zaustavljajući se na šestom stepenu polinoma (3.11) slaganje postaje još bolja, što se vidi iz uporedjenja

vrednosti $\Pi_6(\bar{t})$ i $(t_1/t)^2$ u tabeli 5.:

$$\Pi_6(\bar{t}) = \bar{t}^2 - 2\bar{t}^3 + 3\bar{t}^4 - 4\bar{t}^5 + 3\bar{t}^6 \quad (3.12)$$

Dakle, polinom (3.12) zadovoljavajuće aproksimira funkciju $(t_1/t)^2$ pri $t_1/T \leq 0,6$. Ukoliko polinom (3.9) dopunimo sa još dva člana odgovarajućeg geometrijskog reda:

$$\bar{P}_6(\bar{t}) = \bar{t} - \bar{t}^2 + \bar{t}^3 - \bar{t}^4 + \bar{t}^5 - \bar{t}^6 \quad (3.13)$$

postićemo da polinom $\bar{P}_6(\bar{t})$, uspešno zamenjuje funkciju (3.6) u istom domenu $t_1/T \leq 0,6$ što je očigledno iz tabele 5' :

\bar{t}	0,10	0,20	0,30	0,40	0,50	0,60
$\frac{\bar{t}}{1+\bar{t}}$	0,090	0,166	0,230	0,285	0,333	0,370
$\bar{P}_6(\bar{t})$	0,0909	0,1666	0,2306	0,2845	0,3300	0,3600

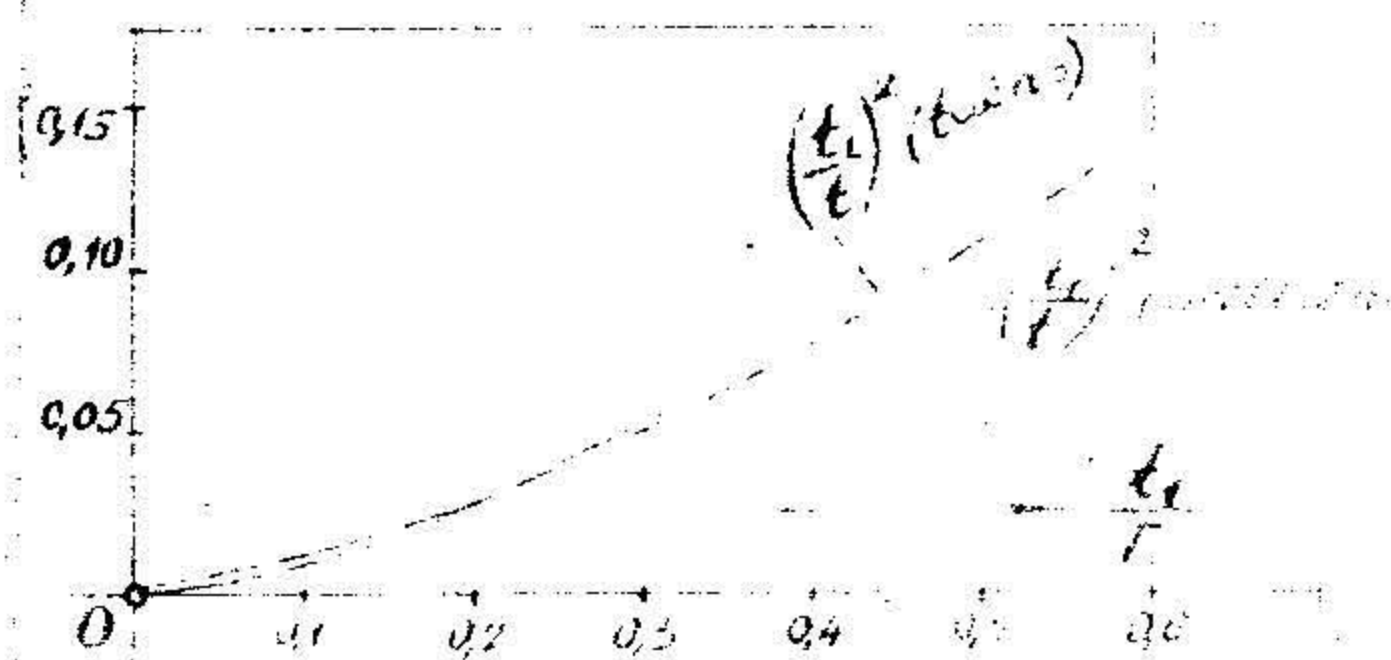
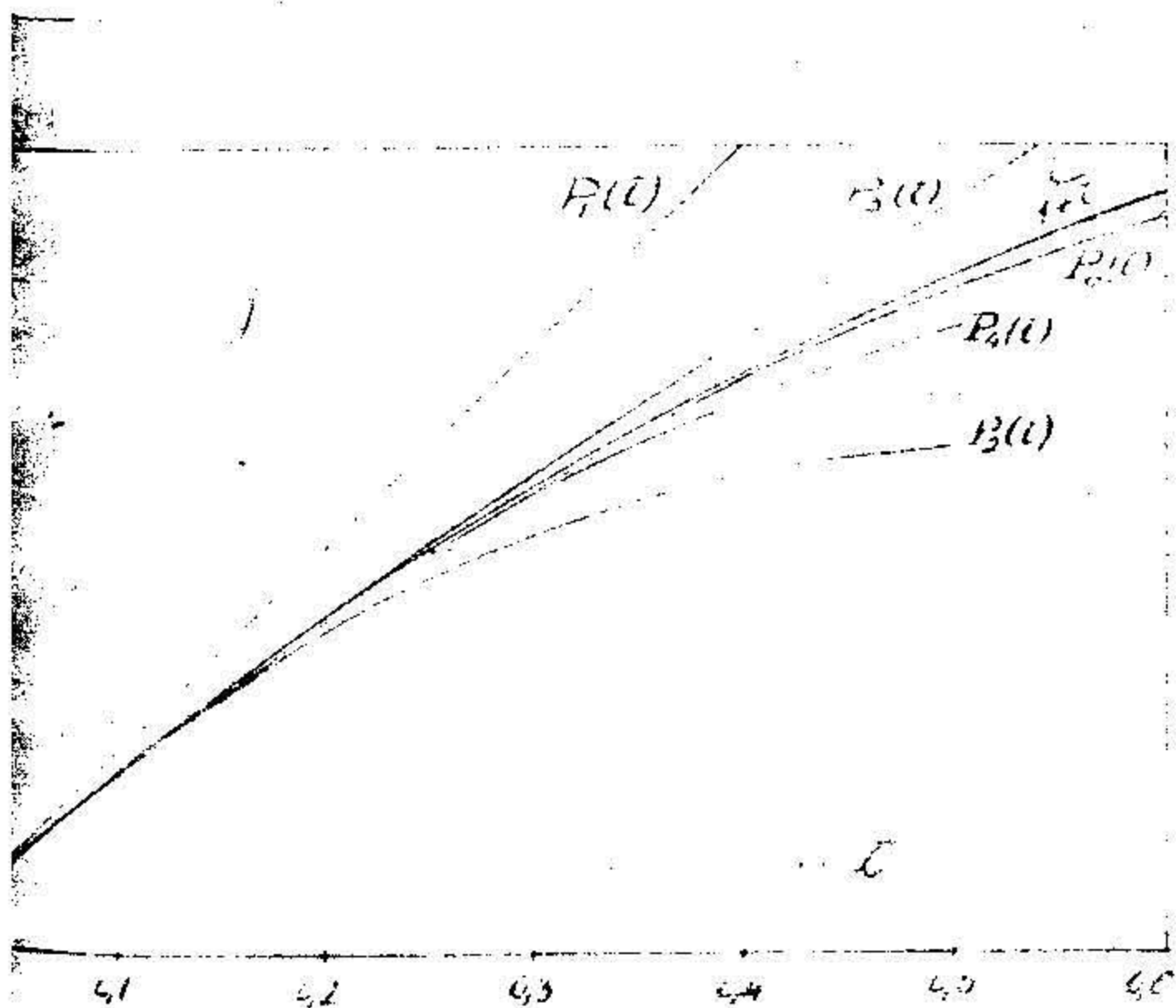
Tabela 5' .

Može se dakle, zaključiti da u intervalu $t_1/T \leq 0,6$ sa dovoljno tačnosti važe uprošćenja:

$$\left. \begin{aligned} \frac{t_1}{t} &\approx \left(\frac{t_1}{T}\right) - \left(\frac{t_1}{T}\right)^2 + \left(\frac{t_1}{T}\right)^3 - \left(\frac{t_1}{T}\right)^4 + \left(\frac{t_1}{T}\right)^5 - \left(\frac{t_1}{T}\right)^6 \\ \left(\frac{t_1}{t}\right)^2 &\approx \left(\frac{t_1}{T}\right)^2 - 2\left(\frac{t_1}{T}\right)^3 + 3\left(\frac{t_1}{T}\right)^4 - 4\left(\frac{t_1}{T}\right)^5 + 3\left(\frac{t_1}{T}\right)^6 \end{aligned} \right\} \quad (3.14)$$

Rezultati ovih analiza mogu se prikazati slikovitim grafcima

alitet aproksimacija lakše proce-



Sl. 7.

Zamenjujući izraz (3.14) u (3.5), a potom u (3.1) dobijemo, konačno, prilagođenu funkciju "u₆" sa rešavanjem

dopunskog graničnog sloja:

$$\frac{u_s}{U_s} = \omega_0 + \omega_1 \left(\frac{z_1}{r}\right) + \omega_2 \left(\frac{z_1}{r}\right)^2 + \omega_3 \left(\frac{z_1}{r}\right)^3 + \omega_4 \left(\frac{z_1}{r}\right)^4 + \omega_5 \left(\frac{z_1}{r}\right)^5 + \omega_6 \left(\frac{z_1}{r}\right)^6 \quad (3.15)$$

gde su koeficijenti $\omega_i(\bar{\eta})$ poznate funkcije:

$$\omega_0 = \frac{8}{15\sqrt{\pi}} \bar{\eta}, \omega_1 = \frac{8}{5\sqrt{\pi}} \left(\bar{\eta} - \frac{1}{9}\bar{\eta}^3\right), \omega_2 = \frac{-8}{5\sqrt{\pi}} \left(\bar{\eta} + \frac{2}{9}\bar{\eta}^3\right), \omega_3 = \frac{8}{\sqrt{\pi}} \left(\frac{1}{5}\bar{\eta} + \frac{1}{9}\bar{\eta}^3\right), \omega_4 = \frac{-8}{5\sqrt{\pi}} \left(\bar{\eta} + \frac{8}{9}\bar{\eta}^3\right), \omega_5 = \frac{8}{5\sqrt{\pi}} \left(\bar{\eta} + \frac{11}{9}\bar{\eta}^3\right), \omega_6 = \frac{-8}{5\sqrt{\pi}} \left(\bar{\eta} + \frac{8}{9}\bar{\eta}^3\right). \quad (3.16)$$

Napominje se da se izraz $\sqrt{\frac{z_1}{r}} = \sqrt{\frac{\bar{z}}{1+\bar{z}}}$ ne može razviti u Maklorenov red po promenljivoj " \bar{z} ", jer članovi reda postaju beskonačni pri $\bar{z} = 0$. Zbog toga se pribeglo izloženom postupku.

Postoji jedna interesantna pojava kod nestacionarnih graničnih slojeva, koja u ovim okolnostima, kada se nemože izbeći razvijanje u red i sadržavanje konačnog broja članova, može imati važnu ulogu. Naime, poznato je da jedan od graničnih uslova označava da se na beskrajnem rastojanju od konture tela izjednačuju brzina u graničnom sloju i spoljašnja potencijalna brzina. Ovo je, i u slučaju kretanja cilindričnog tela iz stanja mirovanja, i u slučaju kretanja ravanske konture iz stanja izvesnog prethodnog nestacionarnog kretanja - uslovalo pojavu beskonačne vrednosti nestacionarne promenljive η , odnosno $\bar{\eta}$, u jednom od graničnih uslova. To je, preko mere, razširilo polje vrednosti nestacionarne promenljive. Ima se da ovakav uslov ima čisto teorijski karakter, a da je praktično debljina graničnog sloja najlaj reda veličine nekoliko milimetara, o čemu je već bilo reči. Kod nestacionarnih graničnih slojeva je debljina graničnog sloja u početku kretanja minimalna, a kasnije sa vremenom raste.

Ispitajući ovu pojavu kod Blazijusovih rešenja nestacionarnog graničnog sloja pri kretanju iz stanja mirovanja [14], došlo se do konkretnih podataka. Pošto se tu za univerzalne funkcije uvek dobiju linearne nehomogene diferencijalne jednačine drugoga reda, opšte rešenje sadrži dve konstante, koje treba odrediti iz graničnih uslova, za dve vrednosti promenljive $\eta = 0$ i $\eta = \infty$, bez obzira da li se radi o prvom, ili o drugom približenju brzine.

U slučaju kretanja brzajem [14, str. 191] za prvo približenje brzine u graničnom sloju, pri određivanju odgovarajuće univernalne funkcije:

$$J_0''' + 2\eta J_0'' = 0$$

$$J_0'(\eta) = C_1 \int_0^\eta e^{-\eta^2} d\eta + C_2$$

$$J_0'(0) = 0, \quad J_0'(\infty) = 1,$$

dobijemo za vrednosti konstanta: $C_1 = 1,128$, $C_2 = 0$,

a za drugo približenje:

$$J_1''' + 2\eta J_1'' - 4J_1' = 4(J_0'^2 - J_0 J_0'' - 1)$$

$$J_1'(\eta) = C_1(1+2\eta^2) + C_2 \left[\frac{\sqrt{\pi}}{2}(1+2\eta^2) \operatorname{Erfi} \eta + \eta e^{-\eta^2} \right] + \\ + \frac{1}{2}(2\eta^2-1) \operatorname{Erfi}^2 \eta + \frac{3}{\sqrt{\pi}} \eta e^{-\eta^2} \operatorname{Erfi} \eta + 1 - \frac{4}{3\pi} e^{-\eta^2} + \frac{2}{\pi} e^{-2\eta^2}$$

$$J_1'(0) = 0, \quad J_1'(\infty) = 0,$$

$$C_1 = -1,212$$

$$C_2 = 0,804$$

Pri kretanju stalnim ubrzanjem [14, str. 198] za prvo približenje brzine:

$$J_1''' + 2\eta J_1'' - 4J_1' = -4$$

$$J_1'(\eta) = C_1(1+2\eta^2) + C_2 \left[\frac{1}{4}(1+2\eta^2)(1 - \operatorname{Erfi} \eta) - \frac{1}{2\sqrt{\pi}} \eta e^{-\eta^2} \right] + 1$$

$$J_1'(0) = 0, \quad J_1'(\infty) = 1,$$

dobiju se, prema navedenim graničnim uslovima, vrednosti konstanta:

$$C_1 = 0$$

$$C_2 = -4,0$$

Međutim, postupimo u duhu ideje o konačnosti graničnog sloja, koja je praktički opravdana. Znači, zadržimo za jedan granični uslov nultu vrednost nestacionarne promenljive $\eta = 0$, ali uzimimo pri drugom graničnom uslovu konačnu vrednost promenljive, tj. neki konstantu. Ovom prilikom proučen je slučaj kada na gornjoj granici graničnog sloja nestacionarna promenljiva ima vrednost $\eta = 2$.

Kada integracione konstante imaju vrednosti:

pri brzaju iz stanja mirovanja, za prvo približenje: $C_1 = 1,133$,

$C_2 = 0$; a za drugo približenje: $C_1 = -1,212$, $C_2 = 0,802$;

pri jednako-ubrzanom kretanju iz mirovanja integracione konstante sada imaju vrednosti: $C_1 = 0,0004$, $C_2 = -4,0016$.

Poredjenjem zaključujemo da su razlike u vrednostima

konstantna pri $\eta = \infty$ i pri $\eta = 2$ minimalne. Kod svih navedenih slučajeva relativno odstupanja vrednosti konstanta ne premašuju 0,44%.

Napominje se da je ista osobina u principu ispitana i dokazana i za rešenja dopunskog graničnog sloja pri svim varijantama kratkotrajnih prethodnih nestacionarnih kretanja.

Na osnovu ove analize mogće je zaključiti da je interval vrednosti promenljive η , za koji se razvija nestacionarni granični sloj upravo na konturu tela u toku vremena ograničen. Slobodnije rečeno, sve što treba da se menja u graničnom sloju, obaviće se u konačnom intervalu promenljive η . Sa dovoljno tačnosti to će biti obuhvaćeno razmakom $0 \leq \eta \leq 2$ (pa čak i intervalom $0 \leq \eta < 1,25$, sa odstupanjem od tačne vrednosti za svega 7%). To je, dakle, polje vrednosti na koje se mora obratiti sva pažnja i pri razlaganju u red funkcije "u_s" pri prilagođavanju okolnostima dopunskog kretanja. Za ovaj interval je i stepen tačnosti zadržavanja na drugom članu naznačenog konvergentnog reda (3.3) dobar.

Principijelno istovetna konfiguracija nestacionarnih promenljivih prethodnog i dopunskog graničnog sloja :

$$\frac{y - \text{koordinata}}{(\text{kinematska viskoznost} \times \text{vreme})^{1/2}}$$

i citirana ograničenost prethodne nestacionarne promenljive, upućuju nam na mogućnost rešavanja i dopunskog graničnog sloja pri sličnoj ograničenosti dopunske nestacionarne promenljive.

Dakle izraz (3.15) predstavlja traženi nepohodni oblik funkcije "u_s" radi rešavanja jednačina dopunskog graničnog sloja

Suština ovog postupka je u sledećem u nekom trenutku pri $t > T$ nama treba brzina prethodnog graničnog sloja "u_s", jer je ona deo ukupne brzine u graničnom sloju. Razume se, tu brzinu možemo direktno i tačno izračunati iz vaze (3.1). Ali da bi smo odredili i onaj dograđjeni deo brzine u graničnom sloju usled izvesnog dopunskog kretanja cilindričnog tela, mi smo morali preneti odgovarajući oblik (3.15), inače poznate funkcije

(31) , koji je približan. Koliko smo uspeli u ovom, zavisi od koji izraz (3.15) da prikazuje isto ono što i izraz (3.1).

Ako se na $(u_s/U_s)_\eta$ obeleže tačne vrednosti nađjene preko formule (31), a na $(u_s/U_s)_{\bar{\eta}}$ vrednosti brzina prema izrazu (3.15) može se obaviti provera odstupanja ovih dvoju vrednosti u pojedinim trenucima iz važećeg razmaka vremena t_1/T . Pri pripremanju podataka za sledeće tabele korišćena je i veza

$$\eta = \bar{\eta} \sqrt{\frac{t_1}{T}}$$

1° $t_1/T = 0,2$

$\bar{\eta} = 2,449 \eta$

η	$\bar{\eta}$	ω_0	ω_1	$-\omega_2$	ω_3	$-\omega_4$	ω_5	$-\omega_6$	$(\frac{u_s}{U_s})_{\bar{\eta}}$	$(\frac{u_s}{U_s})_{\eta}$	$\delta\%$
0,2	0,4898	0,1464	0,4302	0,4056	0,5008	0,5366	0,5720	0,5366	0,2200	0,2227	2,3
0,4	0,9796	0,2939	0,7897	1,0726	1,3556	1,6384	1,9213	1,6384	0,4176	0,4284	2,5
0,6	1,4694	0,4408	1,0074	1,9631	2,9188	3,8744	4,8300	3,8744	0,5822	0,6038	3,5
0,8	1,9592	0,5877	1,0129	3,2781	5,5430	7,8083	10,0734	7,8083	0,7000	0,7421	5,0
1,0	2,4490	0,7347	0,7351	5,1597	9,5844	14,0090	18,4337	14,0090	0,7580	0,8427	10,0
1,2	2,9388	0,8816	0,1045	7,7460	15,3895	22,9705	30,6950	22,9705	0,8600	0,9100	6,0

2° $t_1/T = 0,3$

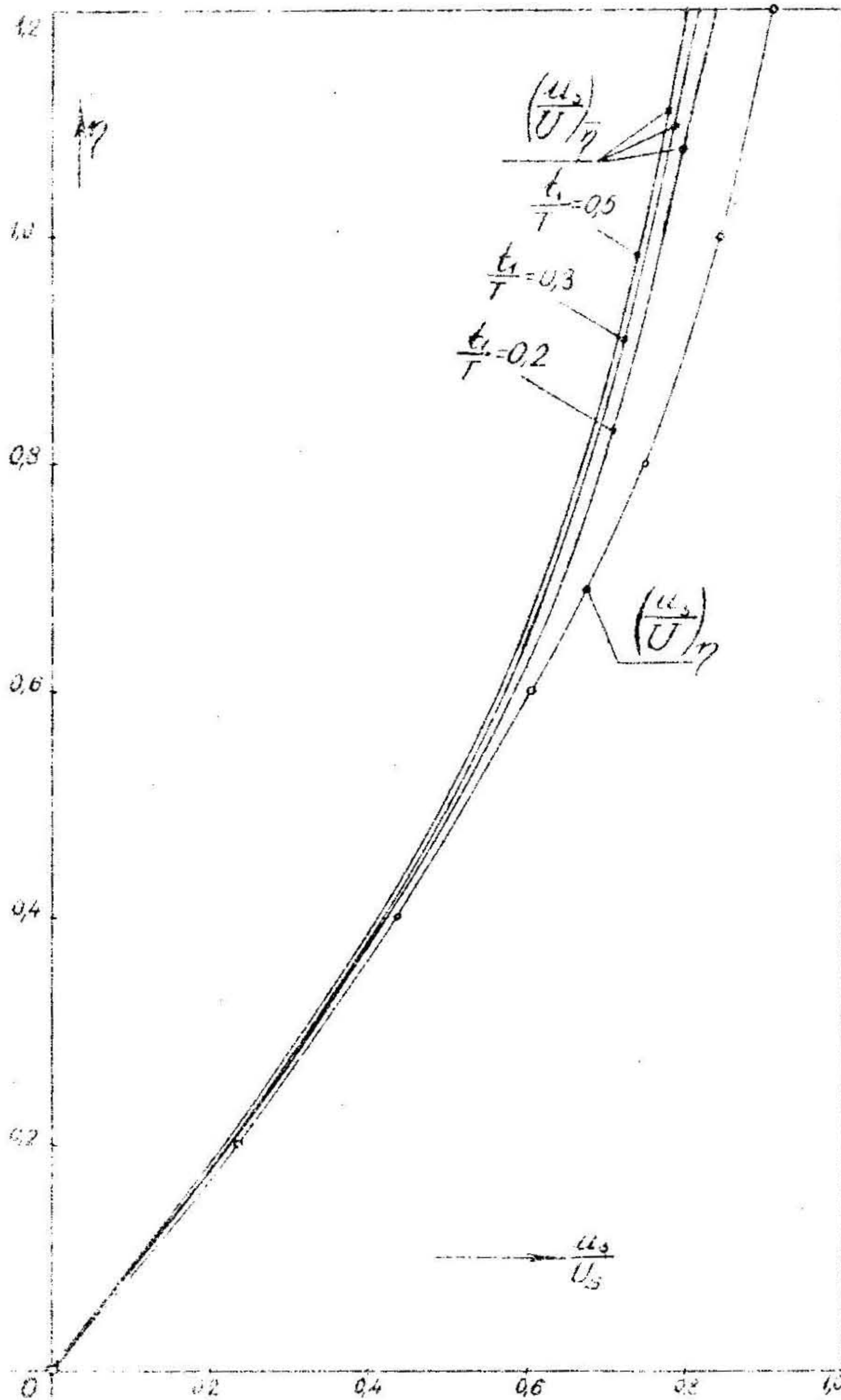
$\bar{\eta} = 2,08 \eta$

η	$\bar{\eta}$	ω_0	ω_1	$-\omega_2$	ω_3	$-\omega_4$	ω_5	$-\omega_6$	$(\frac{u_s}{U_s})_{\bar{\eta}}$	$(\frac{u_s}{U_s})_{\eta}$	$\delta\%$
0,2	0,4160	0,1252	0,3682	0,3898	0,4115	0,4331	0,4548	0,4331	0,2100	0,2227	5,0
0,4	0,8320	0,2504	0,6930	0,8663	1,0396	1,2128	1,3861	1,2128	0,4073	0,4284	6,0
0,6	1,2480	0,3756	0,9304	1,5178	2,1053	2,6927	3,2802	2,6927	0,5801	0,6038	5,0
0,8	1,6640	0,5010	1,0429	2,4191	3,7959	5,1713	6,5475	5,1713	0,7050	0,7421	6,0
1,0	2,0800	0,6261	0,9747	3,6816	6,3885	9,0954	11,8024	9,0954	0,7800	0,8427	8,0
1,2	2,4960	0,7520	0,9025	4,0785	8,8670	16,7210	21,7800	18,2340	0,8160	0,9100	10,0

$3^\circ \quad t_1/T = 0,5$

$\bar{\eta} = 1,732 \eta$

η	$\bar{\eta}$	ω_0	ω_1	$-\omega_2$	ω_3	$-\omega_4$	ω_5	$-\omega_6$	$(\frac{u_s}{U_s})_{\bar{\eta}}$	$(\frac{u_s}{U_s})_{\eta}$	$\delta\%$
0,2	0,3464	0,1043	0,3085	0,3208	0,3335	0,3457	0,3583	0,3457	0,2090	0,2227	5,0
0,4	0,6428	0,2086	0,6204	0,6330	0,6493	0,6616	0,6778	0,6616	0,4116	0,4286	4,0
0,6	1,0392	0,3128	0,8250	1,1602	1,5025	1,8352	2,1786	1,8352	0,5700	0,5988	5,0
0,8	1,3856	0,4171	0,9870	1,7726	2,5678	3,3494	4,1489	3,3494	0,6710	0,7421	9,5
1,0	1,732										9,8
1,2	2,078										10,0



Tabele i dijagrami pokazuju da će u rasponu $0 \leq \eta \leq 1,25$ izraz (3.15) nepoštedno zamenjivati tačnu vrednost (3.1) sa maksimalnim odstupanjem od 10%. Za $\eta > 1,25$ važiće drugo aproksimativno rešenje. Naime, može se dokazati da se za gornju granicu granicu promenljive η može uzeti $\eta = 1,25$, umesto $\eta = 2$ sa dovoljno tačnošću. Tako je sada za domen $0 \leq \eta \leq 1,25$, stepen tačnosti zadužavanja na drugom členu naizmeničnog konvergentnog reda (3.3) još bolji.

Dodatak 1. Ako se uzme i treći član naizmeničnog konvergentnog reda (3.3) tačnost proračuna će se moći poboljšati u odnosu na prethodni slučaj. Pripremimo od ovakvujući novi prilagođeni oblik funkcije $(u_5/u_3)^{\eta}$, analogan ranijem (3.15).

Tada je:

$$E_{\eta}^{\eta} = \frac{2}{\sqrt{\pi}} \left(\eta - \frac{1}{3} \eta^3 + \frac{1}{10} \eta^5 \right) = \frac{2}{\sqrt{\pi}} \left[\eta - \frac{1}{3} \eta^3 \frac{t_1}{t} + \frac{1}{10} \eta^5 \left(\frac{t_1}{t} \right)^2 \right] \sqrt{\frac{t_1}{t}}$$

što posredstvom analiziranog izraza (3.4) postaje:

$$E_{\eta}^{\eta} = \frac{2}{\sqrt{\pi}} \left[\frac{4}{15} \eta + \left(\frac{4}{5} \eta - \frac{4}{45} \eta^3 \right) \frac{t_1}{t} + \left(\frac{2}{75} \eta^5 - \frac{4}{15} \eta^3 \right) \left(\frac{t_1}{t} \right)^2 + \frac{2}{25} \eta^5 \left(\frac{t_1}{t} \right)^3 \right]$$

pošto pri $\tau \leq 0,6$ dobru tačnost daje izraz

$$\left(\frac{t_1}{t} \right)^3 = \tau^3 - 3\tau^4 + 6\tau^5 - 10\tau^6 + 13\tau^7 - 15\tau^8 + 16\tau^9 = P_9^3(\tau)$$

što potvrđuje sledeća tabela:

τ	0,10	0,20	0,30	0,40	0,50
$\left(\frac{t_1}{t} \right)^3$	0,00075	0,00460	0,0123	0,02330	0,0380
$P_9^3(\tau)$	0,00075	0,00463	0,0122	0,02335	0,0388

ovo, uz pomoć ranije dokazanih formula (3.14), daje konačan prilagođeni oblik funkcije u_5/u_3 :

$$\frac{u_5}{u_3} \approx A_0(\eta) + A_1(\eta) \frac{t_1}{t} + A_2(\eta) \left(\frac{t_1}{t} \right)^2 + A_3(\eta) \left(\frac{t_1}{t} \right)^3$$

$$A_0(\eta) = \frac{6}{15\sqrt{\pi}} \eta, \quad A_1(\eta) = \frac{6}{5\sqrt{\pi}} \left(\eta - \frac{1}{9} \eta^3 \right),$$

$$A_2(\eta) = \frac{4}{15\sqrt{\pi}} \left(\frac{1}{5} \eta^5 - 2\eta^3 \right), \quad A_3(\eta) = \frac{4}{25\sqrt{\pi}} \eta^5$$

Proverimo da li ovaj oblik daje bolju tačnost od ranijeg (3.15):

1° $t_2/T = 0,2$

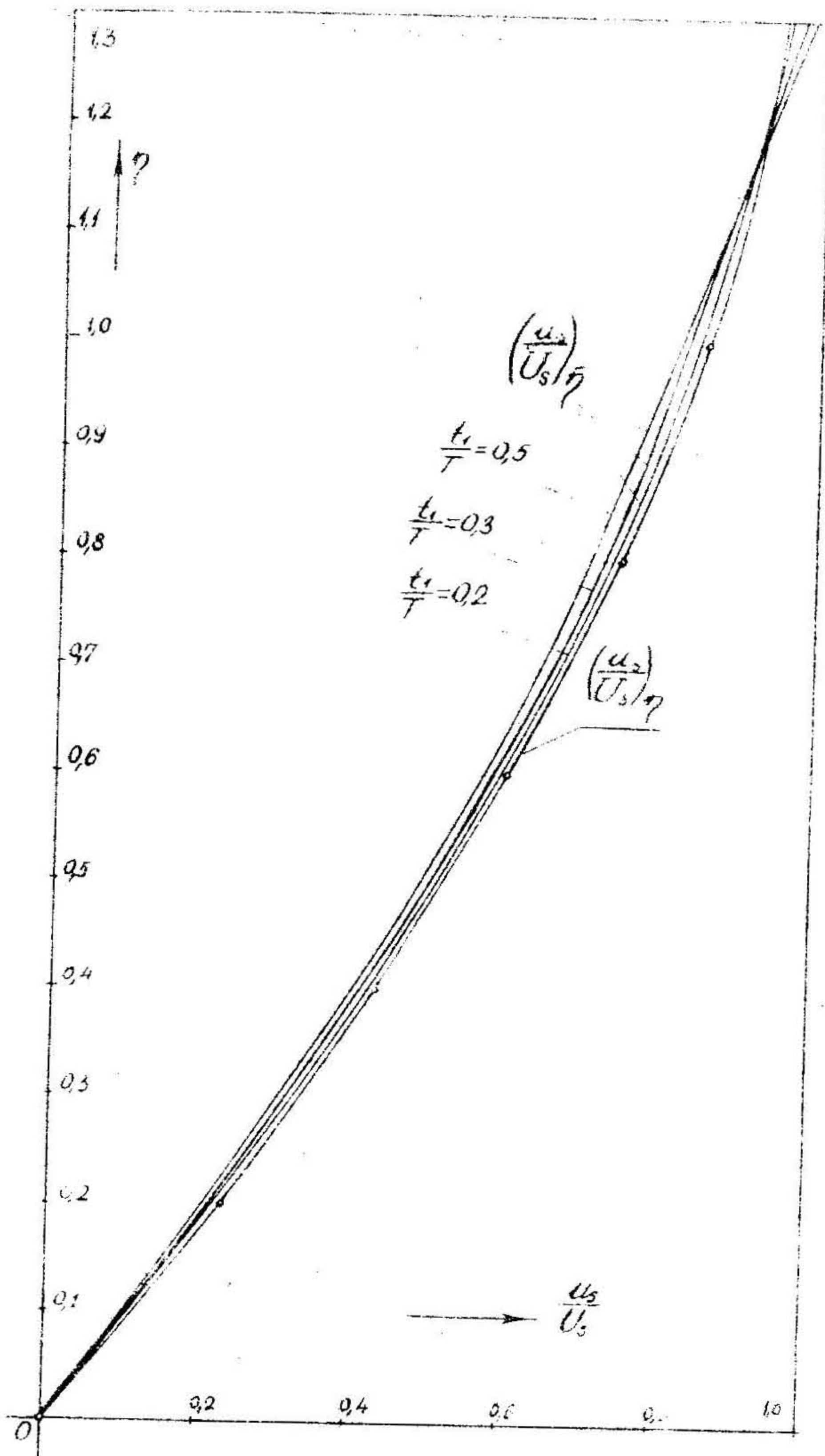
η	$\bar{\eta}$	λ_0	λ_1	$-\lambda_2$	λ_3	$(\frac{u_3}{U_3})_{\bar{\eta}}$	$(\frac{u_3}{U_3})_{\eta}$	$\delta\%$
0,2	0,4898	0,1469	0,43017	0,0344	0,00254	0,2177	0,2227	2,0
0,4	0,9796	0,2939	0,7897	0,2551	0,08135	0,4188	0,4284	2,0
0,6	1,4694	0,4408	1,0074	0,7471	0,61789	0,5908	0,6038	2,0
0,8	1,9592	0,5877	1,0129	1,3911	2,60373	0,7300	0,7421	2,0
1,0	2,4490	0,7347	0,7351	1,7643	7,94605	0,8450	0,8427	0,3
1,2	2,9388	0,8816	0,1045	1,0337	19,76796	0,9600	0,9100	5,0

2° $t_2/T = 0,3$

η	$\bar{\eta}$	λ_0	λ_1	$-\lambda_2$	λ_3	$(\frac{u_3}{U_3})_{\bar{\eta}}$	$(\frac{u_3}{U_3})_{\eta}$	$\delta\%$
0,2	0,4160	0,1252	0,3682	0,02121	0,00117	0,2100	0,2227	5,0
0,4	0,8320	0,2504	0,6930	0,16095	0,03545	0,4020	0,4284	6,0
0,6	1,2480	0,3756	0,9304	0,49438	0,27455	0,5664	0,6038	6,0
0,8	1,6640	0,5010	1,0429	0,99424	1,13478	0,7023	0,7421	5,0
1,0	2,0800	0,6261	0,9747	1,53330	3,49920	0,8121	0,8427	4,0
1,30	2,7040	0,8112	0,4665	1,60020	12,91400	0,9916	0,9480	5,0

3° $t_2/T = 0,5$

η	$\bar{\eta}$	λ_0	λ_1	$-\lambda_2$	λ_3	$(\frac{u_3}{U_3})_{\bar{\eta}}$	$(\frac{u_3}{U_3})_{\eta}$	$\delta\%$
0,2	0,3464	0,1043	0,3085	0,0123	0,00044	0,2100	0,2227	6,0
0,4	0,6928	0,2086	0,6204	0,0137	0,00207	0,4119	0,4284	4,0
0,6	1,0392	0,3128	0,8250	0,3010	0,10251	0,5680	0,6038	6,0
0,8	1,3856	0,4171	0,9870	0,6382	0,45043	0,7008	0,7421	6,0
1,0	1,7320	0,5214	1,0438	1,0885	1,34479	0,8020	0,8427	5,0
1,3	2,2516	0,6755	0,8895	1,6874	5,18931	0,9910	0,9480	5,0



Tačnost je očigledno, nađa, poboljšana, jer maksimalno odstupanje približno u odnosu na tačni iznos iznosi 6%, u razmacima $0 \leq \eta \leq 1.3$, $0 < \frac{t_1}{T} < 0.6$. Izglednije se da vrednost $\eta = 1.3$ u ulazi gornje granice predhodnog graničnog sloja daje odstupanje od tačnog rezultata (pri $\eta = \infty$) takođe od 6%.
 Naime, opšte rešenje odgovarajuće diferencijalne

jednačine prvog približenja predhodnog graničnog sloja glasi:

$$f_1' = C_1 \int_0^{\eta} e^{-\tau^2} d\tau + C_2$$

Za tačne granične uslove $f_1'(0) = 0$, $f_1'(\infty) = 1$ su vrednosti konstanta $C_1 = \frac{2}{\sqrt{\pi}} = 1,128$; $C_2 = 0$, i odavde nastaje poznato rešenje (3.2).

A za približne granične uslove $f_1'(0) = 0$, $f_1'(1,3) = 1$, su $C_1 = 1,189$ i $C_2 = 0$. Dakle, odstupanje iznosi svega:

$$\frac{1,189 - 1,128}{1,128} 100\% < 6\%$$

Znači, za $\eta > 1,3$ važiće pouzdano drugo aproksimativno rešenje.

Prema tome, novi prilagodjeni oblik glasi:

$$u_{10} = U_0 \left[\Omega_0 + \Omega_1 \frac{t_1}{T} + \Omega_2 \left(\frac{t_1}{T} \right)^2 + \Omega_3 \left(\frac{t_1}{T} \right)^3 + \Omega_4 \left(\frac{t_1}{T} \right)^4 + \Omega_5 \left(\frac{t_1}{T} \right)^5 + \Omega_6 \left(\frac{t_1}{T} \right)^6 + \Omega_7 \left(\frac{t_1}{T} \right)^7 + \Omega_8 \left(\frac{t_1}{T} \right)^8 + \Omega_9 \left(\frac{t_1}{T} \right)^9 \right]$$

$$\Omega_0 = \frac{8}{15\sqrt{\pi}} \bar{\eta}, \quad \Omega_1 = \frac{8}{5\sqrt{\pi}} \left(\bar{\eta} - \frac{1}{9} \bar{\eta}^3 \right), \quad \Omega_2 = \frac{4}{5\sqrt{\pi}} \left(-2\bar{\eta} - \frac{4}{9} \bar{\eta}^3 + \frac{1}{15} \bar{\eta}^5 \right),$$

$$\Omega_3 = \frac{4}{\sqrt{\pi}} \left(\frac{2}{5} \bar{\eta} + \frac{2}{9} \bar{\eta}^3 + \frac{1}{75} \bar{\eta}^5 \right), \quad \Omega_4 = \frac{-8}{5\sqrt{\pi}} \left(\bar{\eta} + \frac{8}{9} \bar{\eta}^3 + \frac{1}{5} \bar{\eta}^5 \right),$$

$$\Omega_5 = \frac{8}{5\sqrt{\pi}} \left(\bar{\eta} + \frac{11}{9} \bar{\eta}^3 + \frac{7}{15} \bar{\eta}^5 \right), \quad \Omega_6 = -\frac{4}{5\sqrt{\pi}} \left(2\bar{\eta} + \frac{16}{9} \bar{\eta}^3 + \frac{9}{5} \bar{\eta}^5 \right),$$

$$\Omega_7 = \frac{52}{25\sqrt{\pi}} \bar{\eta}^5, \quad \Omega_8 = -\frac{12}{5\sqrt{\pi}} \bar{\eta}^5, \quad \Omega_9 = \frac{64}{25\sqrt{\pi}} \bar{\eta}^5.$$

3.3. Prethodno kretanje trzajem, dopunsko

kretanje trzajem

Cilindrično telo je pokrenuto trzajem $[U_0 = U(x)]$

normalno na pravac svojih izvodnica, U jednom trenutku $t = T$

istom telu je saopšten dopunski trzaj istoga snaga $[U_0 = U(x)]$.

Ako smonimo ove vrednosti i izraz (3.15) u jednačinu (1.27), dobi-

ćemo za prvo približenje brzine dopunskog graničnog sloja par-

cijalnu jednačinu:

$$\frac{\partial u_{10}}{\partial t_1} - \nu \frac{\partial^2 u_{10}}{\partial y^2} = 2UU'(1 - \omega_0) - t_1 \frac{2UU'}{T} \omega_1 - t_1^2 \frac{2UU'}{T^2} \omega_2 - t_1^3 \frac{2UU'}{T^3} \omega_3 - \\ - t_1^4 \frac{2UU'}{T^4} \omega_4 - t_1^5 \frac{2UU'}{T^5} \omega_5 - t_1^6 \frac{2UU'}{T^6} \omega_6 \quad (3.17)$$

Ukoliko pretpostavimo rešenje ove jednačine u obliku

$$u_{10} = [J_0'(\bar{\eta}) + t_1 \frac{2UU'}{T} J_1'(\bar{\eta}) + t_1^2 \frac{2UU'}{T^2} J_2'(\bar{\eta}) + t_1^3 \frac{2UU'}{T^3} J_3'(\bar{\eta}) + t_1^4 \frac{2UU'}{T^4} J_4'(\bar{\eta}) + \\ + t_1^5 \frac{2UU'}{T^5} J_5'(\bar{\eta}) + t_1^6 \frac{2UU'}{T^6} J_6'(\bar{\eta}) + t_1^7 \frac{2UU'}{T^7} J_7'(\bar{\eta})] \quad (3.18)$$

za nepoznate koeficijente, funkcije od promenljive $\bar{\eta}$, dobićemo

obične diferencijalne jednačine:

$$\left. \begin{aligned}
 J_0''' + 2\eta J_0'' &= 0 \\
 J_1''' + 2\eta J_1'' - 4J_1' &= 4(\omega_0 - 1) \\
 J_2''' + 2\eta J_2'' - 8J_2' &= 4\omega_1 \\
 J_3''' + 2\eta J_3'' - 12J_3' &= 4\omega_2 \\
 J_4''' + 2\eta J_4'' - 16J_4' &= 4\omega_3 \\
 J_5''' + 2\eta J_5'' - 20J_5' &= 4\omega_4 \\
 J_6''' + 2\eta J_6'' - 24J_6' &= 4\omega_5 \\
 J_7''' + 2\eta J_7'' - 28J_7' &= 4\omega_6
 \end{aligned} \right\} (3.19)$$

Na desnim stranama jednačina (3.19) su poznate funkcije (3.16).

Opšta rešenja linearnih diferencijalnih nehomogenih jednačina drugoga reda (3.19) su:

$$\begin{aligned}
 1^\circ J_0' &= C_1 \int_0^{\eta^2} e^{-x^2} dx + C_2 \\
 2^\circ J_1' &= C_1(1 + 2\eta^2) + C_2 \left[\frac{1}{4}(1 + 2\eta^2) \operatorname{Erf} \eta + \frac{1}{2\sqrt{\pi}} \eta e^{-\eta^2} \right] - \frac{16}{15\sqrt{\pi}} \eta + 1 \\
 3^\circ J_2' &= C_1(1 + 4\eta^2 + \frac{4}{3}\eta^4) + C_2 \left[\frac{1}{32}(1 + 4\eta^2 + \frac{4}{3}\eta^4) \operatorname{Erf} \eta + \right. \\
 &\quad \left. + \frac{1}{24\sqrt{\pi}} (\eta^3 + \frac{5}{2}\eta) e^{-\eta^2} \right] + \frac{16}{45\sqrt{\pi}} \eta^3 - \frac{32}{45\sqrt{\pi}} \eta \\
 4^\circ J_3' &= C_1(1 + 6\eta^2 + 4\eta^4 + \frac{8}{15}\eta^6) + C_2 \left[\frac{1}{384}(1 + 6\eta^2 + 4\eta^4 + \right. \\
 &\quad \left. + \frac{8}{15}\eta^6) \operatorname{Erf} \eta + \frac{1}{720\sqrt{\pi}} (\eta^5 + 7\eta^3 + \frac{33}{4}\eta) e^{-\eta^2} \right] + \frac{32}{135\sqrt{\pi}} \eta^3 + \frac{176}{225\sqrt{\pi}} \eta \\
 5^\circ J_4' &= C_1(1 + 8\eta^2 + 8\eta^4 + \frac{32}{15}\eta^6 + \frac{16}{105}\eta^8) + C_2 \left[\frac{1}{6144}(1 + 8\eta^2 + \right. \\
 &\quad \left. + 8\eta^4 + \frac{32}{15}\eta^6 + \frac{16}{105}\eta^8) \operatorname{Erf} \eta + \frac{1}{40320} (\frac{1}{2}\eta^7 + \frac{27}{4}\eta^5 + \right. \\
 &\quad \left. + \frac{185}{8}\eta^3 + \frac{279}{16}\eta) \frac{2}{\sqrt{\pi}} e^{-\eta^2} \right] - \frac{16}{45\sqrt{\pi}} \eta^3 - \frac{64}{105\sqrt{\pi}} \eta \\
 6^\circ J_5' &= C_1(1 + 10\eta^2 + \frac{40}{3}\eta^4 + \frac{16}{3}\eta^6 + \frac{16}{21}\eta^8 + \frac{32}{945}\eta^{10}) + \\
 &\quad + C_2 \left[\frac{1}{122880} (1 + 10\eta^2 + \frac{40}{3}\eta^4 + \frac{16}{3}\eta^6 + \frac{16}{21}\eta^8 + \right. \\
 &\quad \left. + \frac{32}{945}\eta^{10}) \operatorname{Erf} \eta + \frac{1}{3628800} (\frac{1}{2}\eta^9 + 11\eta^7 + \right. \\
 &\quad \left. + \frac{147}{2}\eta^5 + 165\eta^3 + \frac{2895}{32}\eta) \frac{2}{\sqrt{\pi}} e^{-\eta^2} \right] + \\
 &\quad + \frac{128}{315\sqrt{\pi}} \eta^3 + \frac{464}{945\sqrt{\pi}} \eta
 \end{aligned}$$

$$7^{\circ} \mathcal{Y}'_6 = C_1 \left(1 + 12\bar{\eta}^2 + 20\bar{\eta}^4 + \frac{32}{3}\bar{\eta}^6 + \frac{16}{7}\bar{\eta}^8 + \frac{64}{315}\bar{\eta}^{10} + \frac{64}{10395}\bar{\eta}^{12} \right) + C_2 \left[\frac{1}{2949120} \left(1 + 12\bar{\eta}^2 + 20\bar{\eta}^4 + \frac{32}{3}\bar{\eta}^6 + \frac{16}{7}\bar{\eta}^8 + \frac{64}{315}\bar{\eta}^{10} + \frac{64}{10395}\bar{\eta}^{12} \right) \operatorname{Erf} \bar{\eta} + \frac{1}{479001000} \left(\frac{1}{2}\bar{\eta}^{11} + \frac{65}{4}\bar{\eta}^9 + \frac{711}{4}\bar{\eta}^7 + \frac{6279}{8}\bar{\eta}^5 + \frac{41685}{32}\bar{\eta}^3 + \frac{35685}{64}\bar{\eta} \right) \frac{2}{\sqrt{\pi}} e^{-\bar{\eta}^2} \right] - \frac{176}{405\sqrt{\pi}} \bar{\eta}^3 - \frac{608}{1485\sqrt{\pi}} \bar{\eta}$$

$$8^{\circ} \mathcal{Y}'_7 = C_1 \left(1 + 14\bar{\eta}^2 + 28\bar{\eta}^4 + \frac{56}{3}\bar{\eta}^6 + \frac{16}{3}\bar{\eta}^8 + \frac{32}{45}\bar{\eta}^{10} + \frac{64}{1485}\bar{\eta}^{12} + \frac{128}{135135}\bar{\eta}^{14} \right) + C_2 \left[\frac{1}{82575360} \left(1 + 14\bar{\eta}^2 + 28\bar{\eta}^4 + \frac{56}{3}\bar{\eta}^6 + \frac{16}{3}\bar{\eta}^8 + \frac{32}{45}\bar{\eta}^{10} + \frac{64}{1485}\bar{\eta}^{12} + \frac{128}{135135}\bar{\eta}^{14} \right) \operatorname{Erf} \bar{\eta} + \frac{1}{87178291200} \left(\frac{1}{2}\bar{\eta}^{13} + \frac{45}{2}\bar{\eta}^{11} + \frac{2915}{8}\bar{\eta}^9 + \frac{10575}{4}\bar{\eta}^7 + \frac{278019}{32}\bar{\eta}^5 + \frac{364665}{32}\bar{\eta}^3 + \frac{509985}{128}\bar{\eta} \right) \frac{2}{\sqrt{\pi}} e^{-\bar{\eta}^2} \right] + \frac{128}{495\sqrt{\pi}} \bar{\eta}^3 + \frac{656}{2145\sqrt{\pi}} \bar{\eta}$$

Svako od ovih rešenja je tako napisano da su uz konstante partikularni integrali homogenog dela odgovarajuće diferencijalne jednačine (3.19) kao činioci, a da ostatak predstavlja partikularno rešenje dotične nehomogene jednačine.

Neminovnost da se sa tačnog oblika (3.1) predje na približan (3.15), na koliko on dobar bio, ima za posledicu to da se na određivanje dveju integracionih konstanta ne može koristiti uslov $\bar{\eta} = \infty$, kao što se to moglo učiniti pri kratkotrajnim predhodnim kretanjima. Naime, tamo su bili očuvani oblici koji su sadržali kombinacije eksponencijalnih funkcija i funkcije greške, dakle, takvi, koji povoljno "primaju" vrednost $\bar{\eta} = \infty$, pa su se svuda dovijale konačne i realne vrednosti. Međutim, ovde su ti oblici delimično eksplicitno izgubljeni, razbijeni. Uglavnom, vrednosti partikularnih integrala nehomogenih jednačina čine da opšta rešenja nepovoljno "primaju" vrednost $\bar{\eta} = \infty$.

Interesantno je da jedino rešenje prve jednačine sistema (3.19) može biti određeno i sa uobičajenim graničnim uslovom $\bar{\eta} = \infty$. Za sva druga rešenja mora se koristiti granični uslov pri $\bar{\eta} = k$. Račun se može uspešno dovršiti pri nekoj realnoj i konačnoj vrednosti konstante k . Pošto prva

univerzalna funkcija stoji uz $U(x)$ u rešenju (3.15), što je baš sadržano u običajenom graničnom uslovu za $\bar{\eta} = \infty$, pomenuta okolnost daje formalno povoljniji ton čitavoj pojavi. Jer, onda se može smatrati da u najvažnijem intervalu $0 \leq \bar{\eta} \leq k$ (u okolini cilindričnog tela) sve univerzalne funkcije udruženo prikazuju stanje brzina u graničnom sloju, a da, nadalje, pri $k < \bar{\eta} \leq \infty$ ceo "kaset" pada na prvu univerzalnu funkciju, dok se sve druge gaso. Tako bi se, formalno, održao i ovde klasični granični uslovi $u = U(x)$, za $\bar{\eta} = \infty$. Bojazan da će ova dvoznačnost (u smislu dve vrednosti) promenljive $\bar{\eta}$, kao vođačke tvoravine prirodnih veličina: koordinate, viskoznosti i vremena, u istom rešenju - uneti nelogičnosti i nestabilnosti u problem, nije opravdana. Jer, ova dvoznačnost promenljive $\bar{\eta}$ imaće samo formalni karakter. Kao što je dokazano u prethodnom paragrafu, ako se umesto $\bar{\eta} = \infty$ u graničnom uslovu uzme $\bar{\eta} = 2$, učini se minimalna greška u vrednosti integracijskih konstanta, za prvu univerzalnu funkciju, od svega 0,44%. Pošto interval $0 \leq \bar{\eta} \leq 2$ odgovara i najboljoj dobroti izraza (3.15), opredelićemo se za brojnu vrednost $k = 2$. Tada su i granični uslovi za pojedine univerzalne funkcije i vrednosti integracijskih konstanta u općim rešenjima sledeće:

$$\begin{aligned}
 1^\circ & J_0'(0) = 0, \quad J_0'(\infty) = 1, \\
 & C_1 = \frac{2}{\sqrt{\pi}}, \quad C_2 = 0. \\
 2^\circ & J_1'(0) = 0, \quad J_1'(2) = 0, \\
 & C_1 = -1, \quad C_2 = 4,091. \\
 3^\circ & J_2'(0) = 0, \quad J_2'(2) = 0, \\
 & C_1 = 0, \quad C_2 = -0,670 \\
 4^\circ & J_3'(0) = 0, \quad J_3'(2) = 0, \\
 & C_1 = 0, \quad C_2 = -6,090. \\
 5^\circ & J_4'(0) = 0, \quad J_4'(2) = 0, \\
 & C_1 = 0, \quad C_2 = 41,875.
 \end{aligned}$$

$$6^{\circ} J_5'(0) = 0, \quad J_5'(2) = 0,$$

$$C_1 = 0, \quad C_2 = -356,119.$$

$$7^{\circ} J_6'(0) = 0, \quad J_6'(2) = 0,$$

$$C_1 = 0, \quad C_2 = 3845,40$$

$$8^{\circ} J_7'(0) = 0, \quad J_7'(2) = 0,$$

$$C_1 = 0, \quad C_2 = -31363,070.$$

U tabeli 6. su proračunate univerzalne funkcije u najvažnijem području vrednosti promenljive $\bar{\eta}$, što je prikazano grafikom na sl. 9.

$\bar{\eta}$	$J_0'(\bar{\eta})$	$J_1'(\bar{\eta})$	$-J_2'(\bar{\eta})$	$J_3'(\bar{\eta})$	$-J_4'(\bar{\eta})$	$J_5'(\bar{\eta})$	$-J_6'(\bar{\eta})$	$J_7'(\bar{\eta})$
0,25	0,2763	0,3134	0,1136	0,0962	0,0814	0,0692	0,0594	0,0448
0,50	0,5205	0,4470	0,2145	0,2321	0,1843	0,1551	0,1335	0,1019
0,75	0,7111	0,4606	0,2885	0,2910	0,2762	0,2709	0,2526	0,1850
1,0	0,8427	0,4074	0,3300	0,3825	0,3821	0,4181	0,4168	0,2923
1,50	0,9661	0,2166	0,2715	0,4515	0,4370	0,6896	0,7385	0,5350
1,75	0,9867	0,0998	0,1665	0,3330	0,1998	0,6021	0,6583	0,5043
1,95	0,9948	0,0250	0,0400	0,0800	0,0505	0,0140	0,0150	0,0130

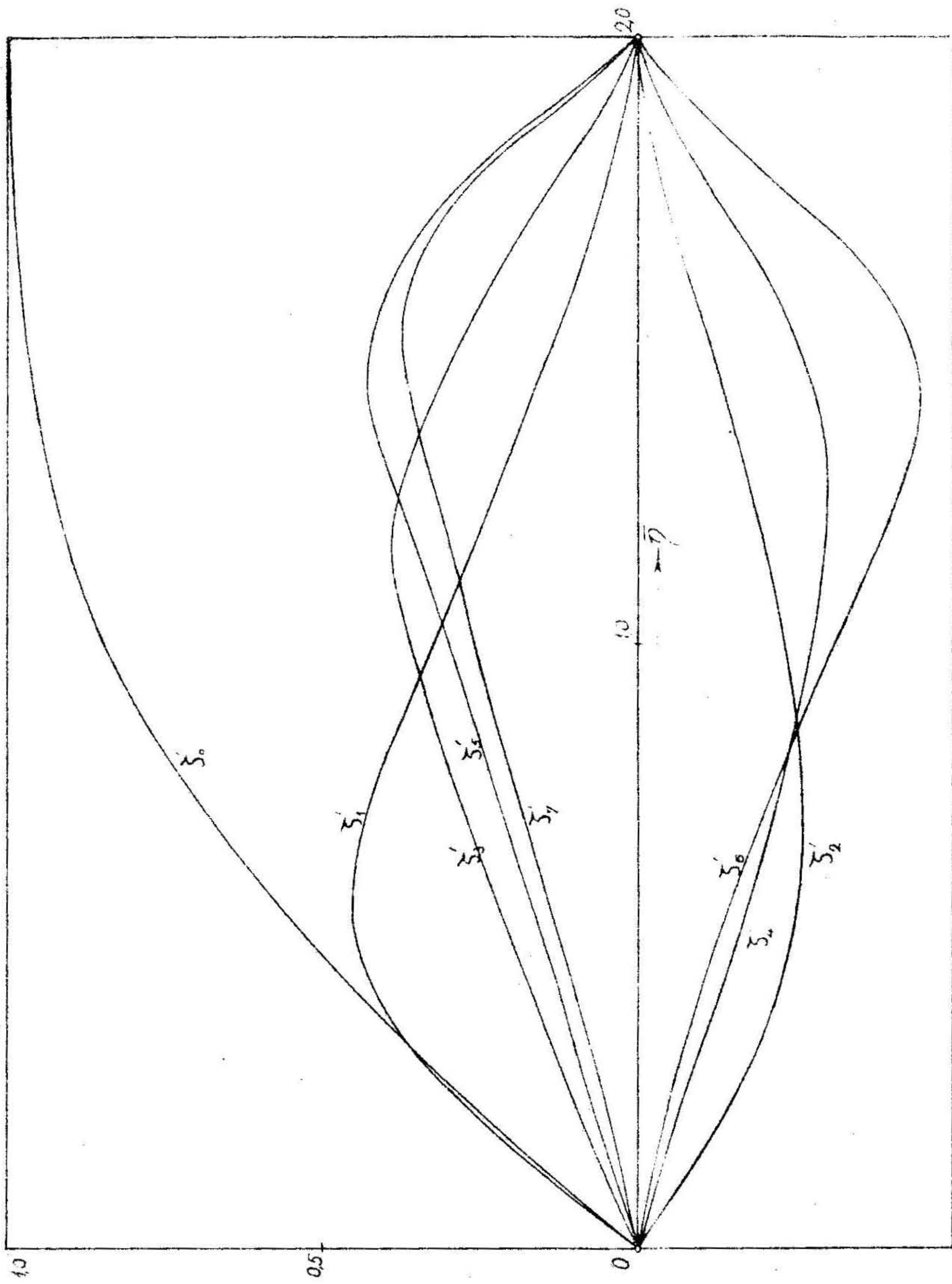
Tabela 6.

Sabirajući izraze (3.1) i (3.18) dobije se ukupna brzina u graničnom sloju:

$$u = U f_1'(\bar{\eta}) + U \left[J_0'(\bar{\eta}) + t_1 2U' J_1'(\bar{\eta}) + t_1 \frac{2U'}{T} J_2'(\bar{\eta}) + t_1 \frac{3 \cdot 2U'}{T^2} J_3'(\bar{\eta}) + t_1 \frac{4 \cdot 2U'}{T^3} J_4'(\bar{\eta}) + t_1 \frac{5 \cdot 2U'}{T^4} J_5'(\bar{\eta}) + t_1 \frac{6 \cdot 2U'}{T^5} J_6'(\bar{\eta}) + t_1 \frac{7 \cdot 2U'}{T^6} J_7'(\bar{\eta}) \right] \quad (3.20)$$

Umetnom ove vrednosti u jednačinu za tačku odvajanja graničnog

sloja $\left(\frac{\partial u}{\partial y}\right)_{y=0} = 0$ dobije se jednačina:



$$\begin{aligned} & \frac{4}{15} f_1''(0) + J_0''(0) + t_1 \left[\frac{4}{5} \frac{f_1''(0)}{T} + 2U' J_1''(0) \right] + t_1^2 \left[2U' \frac{J_2''(0)}{T} - \frac{4}{5} \frac{f_1''(0)}{T^2} \right] + \\ & + t_1^3 \left[2U' \frac{J_3''(0)}{T^2} + \frac{4}{5} \frac{f_1''(0)}{T^3} \right] + t_1^4 \left[2U' \frac{J_4''(0)}{T^3} - \frac{4}{5} \frac{f_1''(0)}{T^4} \right] + t_1^5 \left[2U' \frac{J_5''(0)}{T^4} + \right. \\ & \left. + \frac{4}{5} \frac{f_1''(0)}{T^5} \right] + t_1^6 \left[2U' \frac{J_6''(0)}{T^5} - \frac{4}{5} \frac{f_1''(0)}{T^6} \right] + t_1^7 2U' \frac{J_7''(0)}{T^6} = 0 \end{aligned} \quad (3.21)$$

Iz ove jednačine može se izračunati trenutak odvajanja graničnog sloja u svakoj tački na konturi cilindričnog tela pri određenoj vrednosti konstante T .

Primer: kružni cilindar radijusa $R = 50$ cm, pokrenut je brzajem $U_\infty = 10$ cm/s, a zatim u trenutku $T = 3/2$ sec njemu je snopšten dopunski brzaj $U_\infty = 10$ cm/s. Kada će se odvojiti granični sloj u zadnjoj zaustavnoj tački?

Proverimo, nije li se možda granični sloj u zadnjoj zaustavnoj tački već odvojio zbog prethodnog brzaja. Koristeći Blasijusovo rešenje $t_g = 0,351 R/U_\infty$ domajemo da bi se odvajanje ta desilo u momentu $t_g = 1,755$ sec, a to je veće od uzete vrednosti $T = 3/2$ sec. Kako je za kružni cilindar potencijalna brzina $U = 2U_\infty \sin x/R$, pri $x = \pi/2$ biće $U' = -2/5$.

Multe vrednosti drugih izvoda univerzalnih funkcija mogu se izračunati:

$$\begin{aligned} f_1''(0) = J_0''(0) = 1,128, \quad J_1''(0) = 1,7057, \quad J_2''(0) = -0,4650, \quad J_3''(0) = 0,3839, \\ J_4''(0) = -0,3157, \quad J_5''(0) = 0,2638, \quad J_6''(0) = -0,2245, \quad J_7''(0) = 0,1705. \end{aligned}$$

Umetom u jednačinu (3.21) dobije se:

$$\begin{aligned} 0,045 t_1^7 + 0,208 t_1^6 - 0,290 t_1^5 + 0,388 t_1^4 - 0,490 t_1^3 + \\ + 0,574 t_1^2 + 2,861 t_1 - 5,358 = 0 \end{aligned} \quad (3.22)$$

Pišući jednačinu (3.22) u obliku

$$f_1(t_1) = f_2(t_1)$$

gde je $f_2(t_1) = -0,574 t_1^2 - 2,861 t_1 + 5,360$.

i rešavajući je grafički dobiće se da, od momenta kada se snopšti dopunski brzaj, do trenutka odvajanja graničnog sloja u zadnjoj zaustavnoj tački prodje vreme od

$$t_1 = 1,35 \text{ sec.} \quad (3.23)$$

Dakle, umesto da se granični sloj odvoji posle 0,255 sec. *

pojavom dopunskog trzaja to se desilo kasnije, kroz 1,35 sec.

Izraz (3.20) predstavlja brzinu u gumenom sloju na konturi cilindričnog tela. Pomoću njega može se proračunati brzina gumenog sloja na određenoj mestu konture, a u raznim trenucima; kao i u jednom trenutku, a na različitim mestima na konturi tela. Ispitivanja ova vrste biće navedena nadalje:

1^o Profili brzina u istom trenutku $t_1 = 1$ sec, a na raznim mestima konture kružnog cilindra $R = 50$ cm, ako su $U_\infty = 10$ cm/s i $T = 2$ sec.

a) $x/R = 90^\circ$, $u = 2U_\infty (Erf\eta + Erf\bar{\eta})$

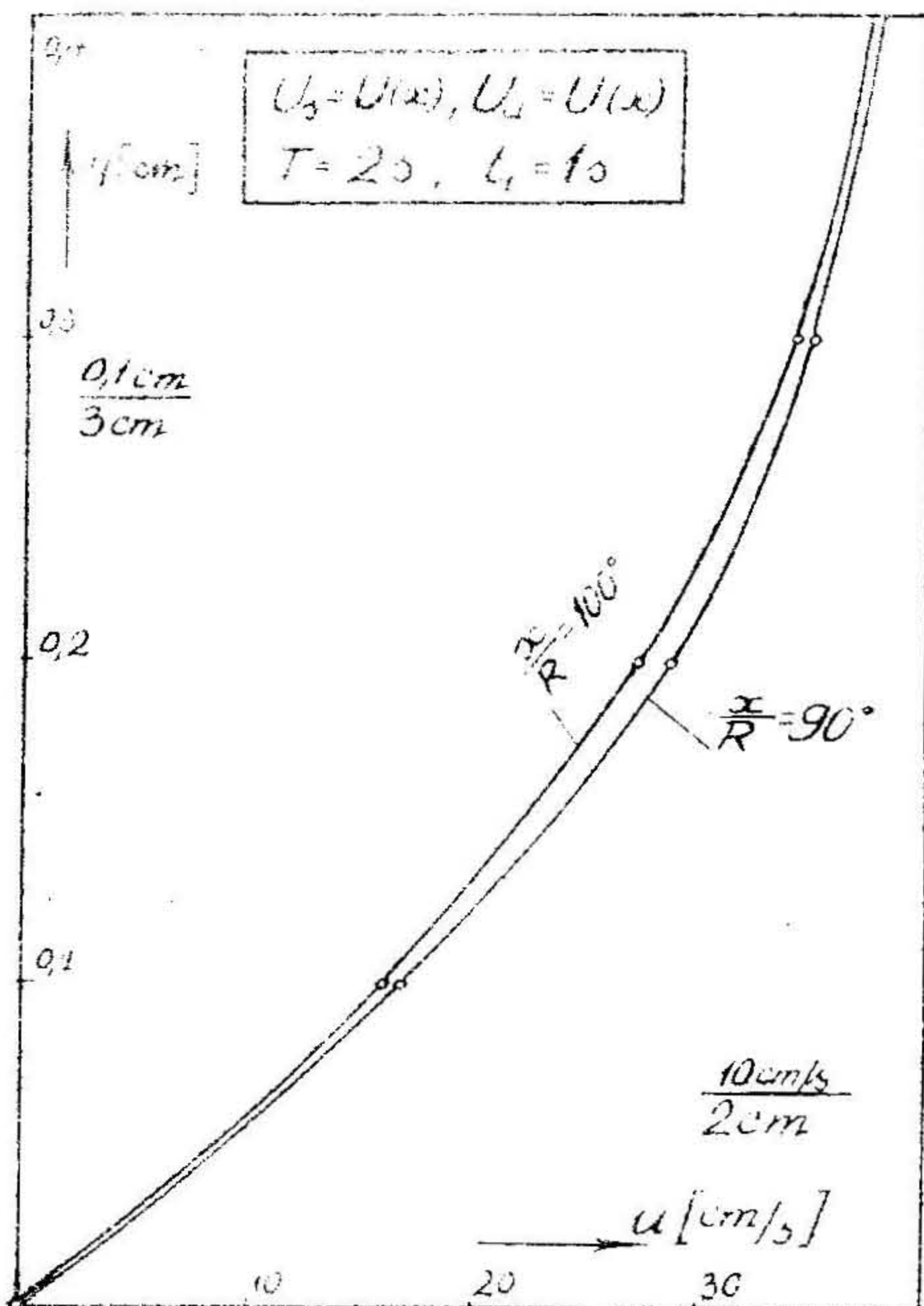
y [cm]	$\bar{\eta}$	η	$Erf\eta$	$Erf\bar{\eta}$	$Erf\eta + Erf\bar{\eta}$	u [$\frac{cm}{s}$]
0,05	0,25	0,1440	0,2763	0,1600	0,4363	8,7260
0,10	0,50	0,2890	0,5205	0,3150	0,8355	16,7100
0,15	0,75	0,4330	0,7111	0,4550	1,1661	23,3220
0,20	1,0	0,5780	0,8427	0,5800	1,4227	28,4540
0,30	1,50	0,8670	0,9661	0,7800	1,7461	34,9220
0,40	2,0	1,1560	0,9953	0,9000	1,8953	37,9060

Tabela 7.

b) $x/R = 100^\circ$, $u = 19,7 (Erf\eta + Erf\bar{\eta}) - 2,73 J_1' - 1,37 J_2' - 0,68 J_3' - 0,34 J_4' - 0,17 J_5' - 0,085 J_6' - 0,043 J_7'$

y [cm]	$\bar{\eta}$	$19,7(Erf\eta + Erf\bar{\eta})$	$2,37 J_1'$	$-1,37 J_2'$	$0,68 J_3'$	$-0,34 J_4'$	$0,17 J_5'$	$-0,085 J_6'$	$0,043 J_7'$	u [$\frac{cm}{s}$]
0,05	0,25	8,6680	0,7347	0,1507	0,0653	0,0275	0,0117	0,0050	0,00019	8,0376
0,10	0,50	16,3370	1,0665	0,2877	0,1564	0,0625	0,0263	0,0117	0,0044	15,4593
0,15	0,75	22,8520	1,0902	0,3973	0,1972	0,0938	0,0461	0,0215	0,0079	22,0232
0,20	1,0	27,9740	0,9717	0,4521	0,2584	0,1322	0,0711	0,0354	0,0115	27,2800
0,30	1,50	34,4750	0,5214	0,3699	0,3060	0,1486	0,1171	0,0627	0,0230	34,0887
0,40	2,0	37,2330	0	0	0	0	0	0	0	37,2330

Tabela 8



sl. 10.

a) $t_1 = 1 \text{ sec}$,

$$u = 19,70(Erf\eta + Erf\bar{\eta}) - 2,73J_1' - 1,09J_2' - 0,44J_3' - 0,17J_4' - 0,07J_5' - 0,028J_6' - 0,011J_7'$$

y [cm]	$\bar{\eta}$	η	$19,7(Erf\eta + Erf\bar{\eta})$	$2,73J_1'$	$-1,09J_2'$	$0,44J_3'$	$-0,17J_4'$	$0,07J_5'$	$-0,028J_6'$	$0,011J_7'$	u [cm/s]
0,05	0,25	0,134	8,3922	0,8545	0,1238	0,0423	0,0138	0,0048	0,0016	0,00049	7,6293
0,10	0,50	0,267	16,0653	1,2203	0,2332	0,1021	0,0313	0,0108	0,0038	0,00112	14,9993
0,15	0,75	0,401	22,2807	1,2558	0,3132	0,1280	0,0469	0,0189	0,0071	0,00203	21,2439
0,20	1,0	0,535	27,3436	1,1111	0,3597	0,1681	0,0661	0,0293	0,0117	0,00321	26,4694
0,30	1,50	0,800	33,7067	0,5897	0,2954	0,1986	0,0743	0,0483	0,0206	0,00588	33,2545
0,40	2,0	1,070	36,7996	0	0	0	0	0	0	0	36,7996

Tabela 9.

Rezultati proračuna navedenih u tabelama 7. i 8., prikazani su i dijagramom na sl. 10. Oblici profila brzina u graničnom sloju sa sl. 10 su prirodni. Postepeno nagrizanje profila brzina ukoliko smo bliži zoni prvog odvajanja graničnog sloja - tu je očigledno.

2° Profili brzina graničnog sloja na istom mestu, a u raznim trenucima vremena. Najpre, neka još:

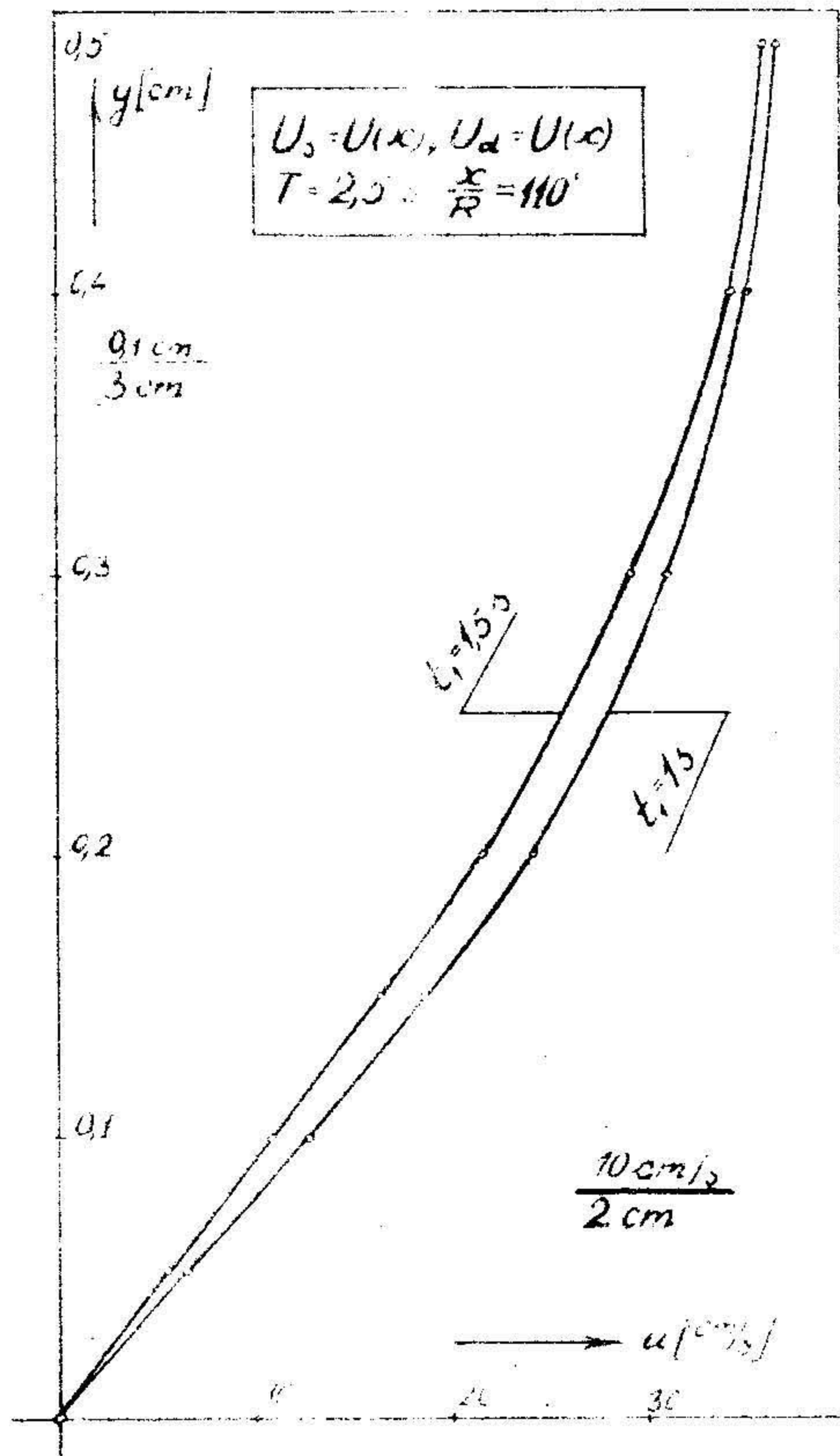
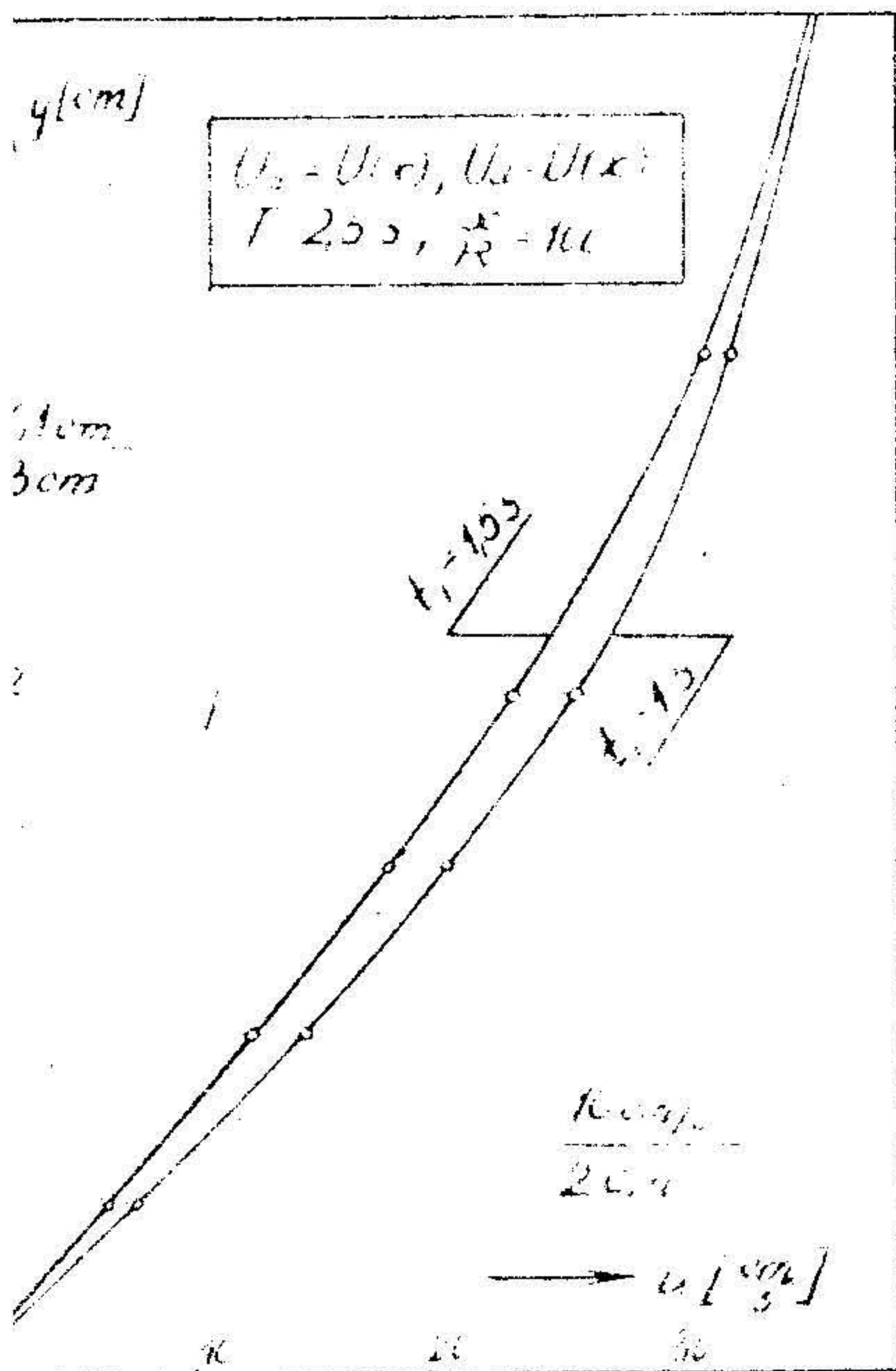
$$\frac{x}{R} = 100^\circ \quad R = 50 \text{ cm},$$

$$T = 2,5 \text{ sec};$$

b) $t_2 = 1,5 \text{ sec}$

$$u = 19,7(\text{Erf}\eta + \text{Erf}\bar{\eta}) - 4,1J_1' - 2,45J_2' - 1,48J_3' - 0,86J_4' - 0,53J_5' - 0,32J_6' - 0,188J_7'$$

y [cm]	$\bar{\eta}$	η	$19,7(\text{Erf}\eta + \text{Erf}\bar{\eta})$	$4,10J_1'$	$-2,45J_2'$	$1,48J_3'$	$-0,86J_4'$	$0,53J_5'$	$-0,32J_6'$	$0,188J_7'$	u [cm/s]
0,05	0,205	0,125	7,0526	1,0660	0,2205	0,1336	0,0602	0,0318	0,0160	0,0056	6,1123
0,10	0,410	0,250	13,8885	1,7220	0,4287	0,2524	0,1247	0,0662	0,0352	0,0141	12,4224
0,15	0,615	0,375	19,7000	1,9270	0,6002	0,3638	0,1935	0,1060	0,0608	0,0254	18,1323
0,20	0,820	0,500	25,2160	1,8655	0,7350	0,4752	0,2752	0,1590	0,0944	0,0395	23,7814
0,30	1,230	0,750	32,1327	1,3325	0,8452	0,6682	0,3741	0,3074	0,1856	0,0780	31,1515
0,40	1,640	1,0	35,9072	0,6150	0,5267	0,5940	0,2795	0,3498	0,2336	0,1025	35,8860



Profili brzina na sl. 11. prema tabelama 9. i 10., opet pokazuju normalan razvoj brzine graničnog sloja u toku vremena.

III, neka je $x/R = 110^\circ$, $R = 50$ cm, $t = 2,5$ sec;

a) $t_1 = 1$ sec

$$u = 18,8 E \eta^2 + 18,8 J_0' - 5,144 J_1' - 2,057 J_2' - 0,823 J_3' - 0,330 J_4' - 0,132 J_5' - 0,053 J_6' - 0,021 J_7'$$

y [cm]	$\bar{\eta}$	η	$18,8 E \eta^2$	$18,8 J_0'$	$5,144 J_1'$	$-2,057 J_2'$	$0,823 J_3'$	$-0,330 J_4'$	$0,132 J_5'$	$-0,053 J_6'$	$0,021 J_7'$	u [cm/s]
0,05	0,25	0,134	2,820	5,1888	1,5946	0,2263	0,0790	0,0264	0,0092	0,0032	0,0009	6,5810
0,10	0,50	0,268	5,5460	9,7760	2,3148	0,4319	0,2093	0,0607	0,0205	0,0074	0,0021	13,2753
0,15	0,75	0,401	7,8960	13,3668	2,3662	0,5924	0,2387	0,0910	0,0356	0,0132	0,0039	19,3150
0,20	1,0	0,535	10,2460	15,7920	2,0576	0,6788	0,3127	0,1283	0,0554	0,0212	0,0061	24,4345
0,30	1,5	0,802	14,0060	18,1608	1,1316	0,5554	0,3703	0,1442	0,0911	0,0392	0,0112	31,3016
0,40	2,0	1,070	16,4164	18,7060	0	0	0	0	0	0	0	35,1224

Tabela 11.

b) $t_1 = 1,5$ sec

$$u = 18,8 E \eta^2 + 18,8 J_0' - 7,716 J_1' - 4,630 J_2' - 2,777 J_3' - 1,670 J_4' - 0,987 J_5' - 0,60 J_6' - 0,360 J_7'$$

y [cm]	$\bar{\eta}$	η	$18,8 E \eta^2$	$18,8 J_0'$	$7,716 J_1'$	$-4,63 J_2'$	$2,777 J_3'$	$-1,67 J_4'$	$0,987 J_5'$	$-0,60 J_6'$	$0,36 J_7'$	u [cm/s]
0,05	0,205	0,125	2,5380	4,1924	2,0061	0,4167	0,2499	0,1169	0,0592	0,0300	0,0108	4,9680
0,10	0,410	0,250	5,1888	8,0840	3,2407	0,8334	0,4721	0,2338	0,1184	0,0660	0,0252	10,5496
0,15	0,615	0,375	7,4260	11,2800	3,6265	1,1112	0,6665	0,3674	0,1974	0,1140	0,0504	15,7618
0,20	0,820	0,500	9,7760	14,2880	3,4722	1,3890	0,8886	0,5010	0,2961	0,1740	0,0756	21,3955
0,30	1,230	0,750	13,3668	17,2960	2,4691	1,5742	1,2496	0,7348	0,5724	0,3480	0,1476	28,8811
0,40	1,640	1,000	17,2960	18,7060	0	0	0	0	0	0	0	36,0020

Tabela 12.

Grafik na sl. 12., isto tako, odražava prirodan razvi-
tak brzine graničnog sloja u toku vremena nagoveštavajući moguć-

nost trenutka odvajanja graničnog sloja na tom mestu konture cilindra.

Napomena: Ako se sastavi parcijalna jednačina prvoga približenja brzine dopunakog graničnog sloja (1.27) sa izrazom (1.15') navedenim u podatku 1., umesto sa ranijim izrazom (1.15), - za slučaj dopunakog kretanja $[U_0 = U(x)]$, isa prethodnog kretanja tr-
sajom $[U_0 = U(x)]$, dobiće se:

$$\frac{\partial u_0}{\partial t_1} - \nu \frac{\partial^2 u_0}{\partial y^2} = 2UU'(1-\Omega_0) - t_1 \frac{2UU'}{T} \Omega_1 - t_1^2 \frac{2UU'}{T^2} \Omega_2 - t_1^3 \frac{2UU'}{T^3} \Omega_3 - t_1^4 \frac{2UU'}{T^4} \Omega_4 - \\ - t_1^5 \frac{2UU'}{T^5} \Omega_5 - t_1^6 \frac{2UU'}{T^6} \Omega_6 - t_1^7 \frac{2UU'}{T^7} \Omega_7 - t_1^8 \frac{2UU'}{T^8} \Omega_8 - t_1^9 \frac{2UU'}{T^9} \Omega_9$$

i njeno rešenje potražimo u obliku:

$$u_0 = U J_0'(\eta) + t_1 \frac{2UU'}{T} J_1'(\eta) + t_1^2 \frac{2UU'}{T^2} J_2'(\eta) + t_1^3 \frac{2UU'}{T^3} J_3'(\eta) + t_1^4 \frac{2UU'}{T^4} J_4'(\eta) + t_1^5 \frac{2UU'}{T^5} J_5'(\eta) + \\ + t_1^6 \frac{2UU'}{T^6} J_6'(\eta) + t_1^7 \frac{2UU'}{T^7} J_7'(\eta) + t_1^8 \frac{2UU'}{T^8} J_8'(\eta) + t_1^9 \frac{2UU'}{T^9} J_9'(\eta) + t_1^{10} \frac{2UU'}{T^{10}} J_{10}'(\eta)$$

dobiće se, umesto sistema (3.19), sledeće diferencijalne jednačine:

$$J_0''' + 2\eta J_0'' = 0 \\ J_1''' + 2\eta J_1'' - 4J_1' = 4(\Omega_0 - 1) \\ J_2''' + 2\eta J_2'' - 8J_2' = 4\Omega_1 \\ J_3''' + 2\eta J_3'' - 12J_3' = 4\Omega_2 \\ J_4''' + 2\eta J_4'' - 16J_4' = 4\Omega_3 \\ J_5''' + 2\eta J_5'' - 20J_5' = 4\Omega_4 \\ J_6''' + 2\eta J_6'' - 24J_6' = 4\Omega_5 \\ J_7''' + 2\eta J_7'' - 28J_7' = 4\Omega_6 \\ J_8''' + 2\eta J_8'' - 32J_8' = 4\Omega_7 \\ J_9''' + 2\eta J_9'' - 36J_9' = 4\Omega_8 \\ J_{10}''' + 2\eta J_{10}'' - 40J_{10}' = 4\Omega_9$$

Ove jednačine su istoga tipa kao i već rešene jednačine (3.19). Računski posao oko njihovog rešavanja je ogroman, a tačnost rešenja, u odnosu na rešeni slučaj, nebi se znatnije popravila. Zato se i ne navode rešenja ovih jednačina.

34. Zatečeno kretanje - trzajem, dopunsko -
- stalnim ubrzanjem

Prva ranije uvedenim oznakama, priroda kretanja obaležena je ovom prilikom izrazima: $U_g = U(x)$, $U_d = \psi_1 W(x)$.
Jednačina za prvo približenje brzine graničnog sloja (1.27),
posle smenjivanja ovih izraza i veze (3.15) postaje:

$$\frac{\partial u_0}{\partial t_1} - \nu \frac{\partial^2 u_0}{\partial y^2} = W + t_1 F (1 - \omega_0) - t_1^2 \frac{F}{T} \omega_1 - t_1^3 \frac{F}{T^2} \omega_2 -$$

$$- t_1^4 \frac{F}{T^3} \omega_3 - t_1^5 \frac{F}{T^4} \omega_4 - t_1^6 \frac{F}{T^5} \omega_5 - t_1^7 \frac{F}{T^6} \omega_6 \quad (3.24)$$

gde je $F = UW' + U'W$

Ako potražimo rešenje ove jednačine u obliku

$$u_0 = t_1 W J_0'(\bar{\eta}) + t_1^2 F J_1'(\bar{\eta}) + t_1^3 \frac{F}{T} J_2'(\bar{\eta}) + t_1^4 \frac{F}{T^2} J_3'(\bar{\eta}) +$$

$$+ t_1^5 \frac{F}{T^3} J_4'(\bar{\eta}) + t_1^6 \frac{F}{T^4} J_5'(\bar{\eta}) + t_1^7 \frac{F}{T^5} J_6'(\bar{\eta}) + t_1^8 \frac{F}{T^6} J_7'(\bar{\eta}) \quad (3.25)$$

za nepoznate funkcije od promenljive $\bar{\eta}$, dobijemo:

$$\left. \begin{aligned} J_0'' + 2\bar{\eta} J_0'' - 4 J_0' &= -4 \\ J_1''' + 2\bar{\eta} J_1'' - 8 J_1' &= 4(\omega_0 - 1) \\ J_2''' + 2\bar{\eta} J_2'' - 12 J_2' &= 4\omega_1 \\ J_3''' + 2\bar{\eta} J_3'' - 16 J_3' &= 4\omega_2 \\ J_4''' + 2\bar{\eta} J_4'' - 20 J_4' &= 4\omega_3 \\ J_5''' + 2\bar{\eta} J_5'' - 24 J_5' &= 4\omega_4 \\ J_6''' + 2\bar{\eta} J_6'' - 28 J_6' &= 4\omega_5 \\ J_7''' + 2\bar{\eta} J_7'' - 32 J_7' &= 4\omega_6 \end{aligned} \right\} \quad (3.26)$$

gde su na desnim stranama poznate funkcije (3.16).

Opšta rešenja linearnih nehomogenih diferencijalnih jednačina drugoga reda (3.26) su:

$$1^o J_0' = C_1(1 + 2\bar{\eta}^2) + C_2 \left[\frac{1}{4}(1 + 2\bar{\eta}^2)(1 - \text{Erf} \bar{\eta}) - \frac{1}{2\sqrt{\pi}} \bar{\eta} e^{-\bar{\eta}^2} \right] + 1$$

$$2^o J_1' = C_1(1 + 4\bar{\eta}^2 + \frac{4}{3}\bar{\eta}^4) + C_2 \left[\frac{1}{32}(1 + 4\bar{\eta}^2 + \frac{4}{3}\bar{\eta}^4) \text{Erf} \bar{\eta} + \right.$$

$$\left. + \frac{1}{24\sqrt{\pi}} (\bar{\eta}^3 + \frac{5}{2}\bar{\eta}) e^{-\bar{\eta}^2} \right] - \frac{16}{45\sqrt{\pi}} \bar{\eta} + \frac{1}{2}$$

$$3^{\circ} J_2' = C_1(1 + 6\bar{\eta}^2 + 4\bar{\eta}^4 + \frac{8}{15}\bar{\eta}^6) + C_2 \left[\frac{1}{384}(1 + 6\bar{\eta}^2 + 4\bar{\eta}^4 + \frac{8}{15}\bar{\eta}^6) \text{Erf}\bar{\eta} + \frac{1}{720\sqrt{\pi}}(\bar{\eta}^5 + 7\bar{\eta}^3 + \frac{33}{4}\bar{\eta}) e^{-\bar{\eta}^2} \right] + \frac{16}{135\sqrt{\pi}}\bar{\eta}^3 - \frac{128}{225\sqrt{\pi}}\bar{\eta}$$

$$4^{\circ} J_3' = C_1(1 + 8\bar{\eta}^2 + 8\bar{\eta}^4 + \frac{32}{15}\bar{\eta}^6 + \frac{16}{105}\bar{\eta}^8) + C_2 \left[\frac{1}{6144}(1 + 8\bar{\eta}^2 + 8\bar{\eta}^4 + \frac{32}{15}\bar{\eta}^6 + \frac{16}{105}\bar{\eta}^8) \text{Erf}\bar{\eta} + \frac{1}{40320}(\frac{1}{2}\bar{\eta}^7 + \frac{27}{4}\bar{\eta}^5 + \frac{185}{8}\bar{\eta}^3 + \frac{279}{16}\bar{\eta}) \frac{2}{\sqrt{\pi}} e^{-\bar{\eta}^2} \right] + \frac{32}{225\sqrt{\pi}}\bar{\eta}^3 + \frac{272}{525\sqrt{\pi}}\bar{\eta}$$

$$5^{\circ} J_4' = C_1(1 + 10\bar{\eta}^2 + \frac{40}{3}\bar{\eta}^4 + \frac{16}{3}\bar{\eta}^6 + \frac{16}{21}\bar{\eta}^8 + \frac{32}{945}\bar{\eta}^{10}) + C_2 \left[\frac{1}{122880}(1 + 10\bar{\eta}^2 + \frac{40}{3}\bar{\eta}^4 + \frac{16}{3}\bar{\eta}^6 + \frac{16}{21}\bar{\eta}^8 + \frac{32}{945}\bar{\eta}^{10}) \text{Erf}\bar{\eta} + \frac{1}{3628800}(\frac{1}{2}\bar{\eta}^9 + 11\bar{\eta}^7 + \frac{147}{2}\bar{\eta}^5 + 165\bar{\eta}^3 + \frac{2895}{32}\bar{\eta}) \frac{2}{\sqrt{\pi}} e^{-\bar{\eta}^2} \right] - \frac{16}{63\sqrt{\pi}}\bar{\eta}^3 - \frac{416}{945\sqrt{\pi}}\bar{\eta}$$

$$6^{\circ} J_5'(\bar{\eta}) = C_1(1 + 12\bar{\eta}^2 + 20\bar{\eta}^4 + \frac{32}{3}\bar{\eta}^6 + \frac{16}{7}\bar{\eta}^8 + \frac{64}{315}\bar{\eta}^{10} + \frac{64}{10395}\bar{\eta}^{12}) + C_2 \left[\frac{1}{2949120}(1 + 12\bar{\eta}^2 + 20\bar{\eta}^4 + \frac{32}{3}\bar{\eta}^6 + \frac{16}{7}\bar{\eta}^8 + \frac{64}{315}\bar{\eta}^{10} + \frac{64}{10395}\bar{\eta}^{12}) \text{Erf}\bar{\eta} + \frac{1}{479001600}(\frac{1}{2}\bar{\eta}^{11} + \frac{65}{4}\bar{\eta}^9 + \frac{711}{4}\bar{\eta}^7 + \frac{6279}{8}\bar{\eta}^5 + \frac{41685}{32}\bar{\eta}^3 + \frac{35685}{64}\bar{\eta}) \frac{2}{\sqrt{\pi}} e^{-\bar{\eta}^2} \right] + \frac{128}{405\sqrt{\pi}}\bar{\eta}^3 + \frac{112}{297\sqrt{\pi}}\bar{\eta}$$

$$7^{\circ} J_6'(\bar{\eta}) = C_1(1 + 14\bar{\eta}^2 + 28\bar{\eta}^4 + \frac{56}{3}\bar{\eta}^6 + \frac{16}{3}\bar{\eta}^8 + \frac{32}{45}\bar{\eta}^{10} + \frac{64}{1485}\bar{\eta}^{12} + \frac{128}{135135}\bar{\eta}^{14}) + C_2 \left[\frac{1}{82575360}(1 + 14\bar{\eta}^2 + 28\bar{\eta}^4 + \frac{56}{3}\bar{\eta}^6 + \frac{16}{3}\bar{\eta}^8 + \frac{32}{45}\bar{\eta}^{10} + \frac{64}{1485}\bar{\eta}^{12} + \frac{128}{135135}\bar{\eta}^{14}) \text{Erf}\bar{\eta} + \frac{1}{87178291200}(\frac{1}{2}\bar{\eta}^{13} + \frac{45}{2}\bar{\eta}^{11} + \frac{2915}{8}\bar{\eta}^9 + \frac{10575}{4}\bar{\eta}^7 + \frac{278019}{32}\bar{\eta}^5 + \frac{364665}{32}\bar{\eta}^3 + \frac{509985}{128}\bar{\eta}) \frac{2}{\sqrt{\pi}} e^{-\bar{\eta}^2} \right] - \frac{16}{45\sqrt{\pi}}\bar{\eta}^3 - \frac{64}{195\sqrt{\pi}}\bar{\eta}$$

$$8^{\circ} J_7' = C_1(1 + 16\bar{\eta}^2 + \frac{112}{3}\bar{\eta}^4 + \frac{448}{15}\bar{\eta}^6 + \frac{32}{3}\bar{\eta}^8 + \frac{256}{135}\bar{\eta}^{10} + \frac{256}{1485}\bar{\eta}^{12} + \frac{1024}{135135}\bar{\eta}^{14} + \frac{256}{2027025}\bar{\eta}^{16}) + C_2 \left[\frac{1}{2642411520}(1 + 16\bar{\eta}^2 + \frac{112}{3}\bar{\eta}^4 + \frac{448}{15}\bar{\eta}^6 + \frac{32}{3}\bar{\eta}^8 + \frac{256}{135}\bar{\eta}^{10} + \frac{256}{1485}\bar{\eta}^{12} + \frac{1024}{135135}\bar{\eta}^{14} + \frac{256}{2027025}\bar{\eta}^{16}) \text{Erf}\bar{\eta} + \frac{1}{20922789888000}(\frac{1}{2}\bar{\eta}^{15} + \frac{119}{3}\bar{\eta}^{13} + \frac{5343}{8}\bar{\eta}^{11} + \frac{115005}{16}\bar{\eta}^9 + \frac{1245915}{32}\bar{\eta}^7 + \frac{6506325}{64}\bar{\eta}^5 + \frac{14073885}{128}\bar{\eta}^3 + \frac{8294895}{256}\bar{\eta}) \frac{2}{\sqrt{\pi}} e^{-\bar{\eta}^2} \right] + \frac{128}{585\sqrt{\pi}}\bar{\eta}^3 + \frac{752}{2925\sqrt{\pi}}\bar{\eta}$$

Kompletna analiza sa istim objašnjenjima bi se mogla ponoviti i ovde, kao i u slučaju pttihodnog i dopunskog trzaja. O toga, primenjujući rezultate onih ispitivanja možemo doći do vrednosti integracionih konstanta u opštim rešenjima:

$$1^{\circ} J_0'(0) = 0, \quad J_0'(\infty) = 1,$$

$$C_1 = 0, \quad C_2 = -4$$

$$2^{\circ} J_1'(0) = 0, \quad J_1'(2) = 0,$$

$$C_1 = 0,00007, \quad C_2 = -16,028.$$

$$3^{\circ} J_2'(0) = 0, \quad J_2'(2) = 0,$$

$$C_1 = 0,00087, \quad C_2 = -0,336$$

$$4^{\circ} J_3'(0) = 0, \quad J_3'(2) = 0,$$

$$C_1 = -0,00364, \quad C_2 = 22,777$$

$$5^{\circ} J_4'(0) = 0, \quad J_4'(2) = 0.$$

$$C_1 = 0, \quad C_2 = 244,776$$

$$6^{\circ} J_5'(0) = 0, \quad J_5'(2) = 0,$$

$$C_1 = 0, \quad C_2 = -2935,550.$$

$$7^{\circ} J_6'(0) = 0, \quad J_6'(2) = 0,$$

$$C_1 = 0, \quad C_2 = 41125,0$$

$$8^{\circ} J_7'(0) = 0, \quad J_7'(2) = 0,$$

$$C_1 = 0, \quad C_2 = -416297,26.$$

Sabiranjem izraza (3.1) i (3.25) dobije se rezultujuća brzina u graničnom sloju:

$$u = U f_1'(\eta) + t_1 W J_0'(\bar{\eta}) + t_1^2 F J_1' + t_1^3 \frac{F}{T} J_2' + t_1^4 \frac{F}{T^2} J_3' + t_1^5 \frac{F}{T^3} J_4' + t_1^6 \frac{F}{T^4} J_5' + t_1^7 \frac{F}{T^5} J_6' + t_1^8 \frac{F}{T^6} J_7' \quad (3.27)$$

Smenjajući vrednost (3.27) u uslov odvajanje graničnog sloja

$$\left(\frac{\partial u}{\partial y} \right)_{y=0} = 0, \quad \text{dobije se jednačina:}$$

$$t_1^8 \frac{J_7''(0)}{T^6} + t_1^7 \frac{J_6''(0)}{T^5} + t_1^6 \left[\frac{J_5''(0)}{T^4} + \frac{f_1''(0)}{T^6} \right] + t_1^5 \left[\frac{J_4''(0)}{T^3} - \frac{f_1''(0)}{T^5} \right] +$$

$$+ t_1^4 \left[\frac{J_3''(0)}{T^2} + \frac{f_1''(0)}{T^4} \right] + t_1^3 \left[\frac{J_2''(0)}{T} - \frac{f_1''(0)}{T^3} \right] + t_1^2 \left[J_1''(0) + \frac{f_1''(0)}{T^2} \right] +$$

$$+ t_1 \left[-\frac{5}{4} J_0''(0) - \frac{f_1''(0)}{T} \right] - \frac{1}{3} f_1''(0) = 0 \quad (3.28)$$

Iz relacije (3.28) može se izračunati trenutak odvajanja graničnog sloja u svakoj tački na konturi cilindričnog tela.

Primer: Kružni cilindar, radijusa $R = 50$ cm, pokrenut je trzajem $U_\infty = 10$ cm/s, a zatim u trenutku $T = 3/2$ sec njemu je saopšteno dopunsko konstantno ubrzanje $V_0 = 10$ cm/s².

Pošto se još uvek granični sloj nije odvojio u zadnjoj zaustavnoj tački zbog prethodnog kretanja trzajem, interesantno je ispitati kada će se posle pojave dopunskog kretanja stalnim ubrzanjem odvojiti granični sloj u zadnjoj zaustavnoj tački.

Kako je za kružni cilindar potencijalna brzina $U = 2U_\infty \sin x/R$ i $W = 2V_0 \sin x/R$, pri $x = R\pi$ biće: $U/P = -5/4$, $W/P = -5/4$, pa jednačina (3.28) postaje:

$$0,0126 t_1^8 - 0,024 t_1^7 + 0,140 t_1^6 - 0,820 t_1^5 + 0,344 t_1^4 -$$

$$- 0,546 t_1^3 = - 1,807 t_1^2 + 3,570 t_1 + 0,376 \quad (3.29)$$

Rešavajući jednačinu (3.29) grafički:

$$f_1(t_1) = f_2(t_1)$$

gde je: $f_2(t_1) = - 1,807 t_1^2 + 3,570 t_1 + 0,376$

dobiće se t_1 , od momenta kada se saopšti dopunsko jednako-ubrzanje, do pojave tačke odvajanja u zadnjoj zaustavnoj tački pređe vreme od :

$$t_1 = 1,80 \text{ sec} \quad (3.30)$$

Koristeći izraz (3.27) može se i ovde obaviti proračun brzine u graničnom sloju. Izgled profila brzine može poslužiti kao pokazatelj kvaliteta postupka koji je primenjen.

Proračunajmo brzine na nekoliko mesta na konturi kružnog cilindra u trenutku $t_1 = 1$ sec, ako su:

$$T = 2 \text{ sec}, \quad R = 50 \text{ cm}, \quad U_\infty = 10 \text{ cm/s}, \quad V_0 = 10 \text{ cm/s}^2$$

a) $x/R = 90^\circ$

$$u = 20 [f_1'(\eta) + J_0'(\eta)]$$

y [cm]	$\bar{\eta}$	η	$f_i(\eta)$	$J'_0(\bar{\eta})$	$f'_i(\eta) + J'_0(\bar{\eta})$	u [$\frac{cm}{s}$]
0,05	0,25	0,144	0,160	0,450	0,610	12,200
0,10	0,50	0,288	0,315	0,719	1,034	20,680
0,15	0,75	0,433	0,455	0,868	1,323	26,460
0,20	1,0	0,578	0,580	0,944	1,524	30,480
0,30	1,50	0,867	0,780	0,991	1,771	35,420
0,40	2,0	1,156	0,900	0,998	1,899	37,998

Tabela 13.

b) $\alpha/R = 100^\circ$

$$u = 19,7 E \eta + 19,7 J'_0 - 2,734 J'_1 - 1,367 J'_2 - 0,683 J'_3 - 0,342 J'_4 - 0,171 J'_5 - 0,085 J'_6 - 0,043 J'_7$$

y [cm]	$\bar{\eta}$	$19,7 E \eta$	$19,7 J'_0$	$-2,734 J'_1$	$-1,367 J'_2$	$0,68 J'_3$	$-0,34 J'_4$	$0,17 J'_5$	$-0,085 J'_6$	$0,043 J'_7$	u [$\frac{cm}{s}$]
0,05	0,25	3,1520	3,8650	0,6178	0,1066	0,0476	0,0209	0,0092	0,0041	0,0016	11,4724
0,10	0,50	6,2055	14,1643	0,8311	0,2050	0,0972	0,0454	0,0209	0,0057	0,0037	19,6770
0,15	0,75	8,9635	17,0496	0,8393	0,2802	0,1557	0,0757	0,0372	0,0181	0,0068	25,3981
0,20	1,0	11,4260	18,5968	0,7846	0,3322	0,2067	0,1122	0,0404	0,0298	0,0110	29,4543
0,30	1,50	15,3660	19,5227	0,5440	0,3007	0,0825	0,1732	0,1021	0,0568	0,0210	34,6698
0,40	2,0	17,7300	19,6803	0	0	0	0	0	0	0	37,4103

Tabela 14.

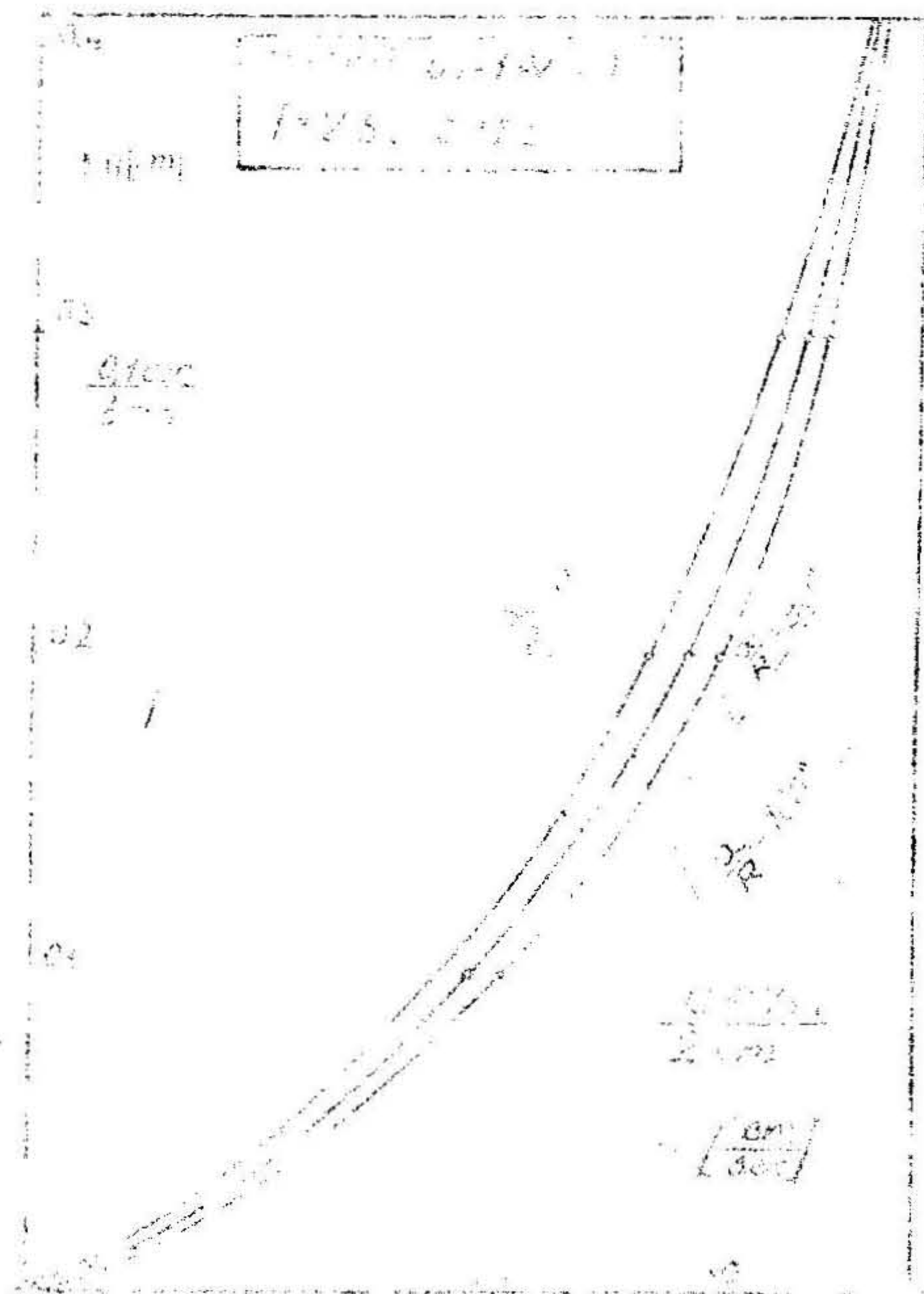
c) $\alpha/R = 110^\circ$

$$u = 18,8 E \eta + 18,8 J'_0 - 5,144 J'_1 - 2,572 J'_2 - 1,286 J'_3 - 0,643 J'_4 - 0,320 J'_5 - 0,160 J'_6 - 0,080 J'_7$$

y [cm]	\bar{y}	$18,8E_1 y_2$	$18,8J_2'$	$5,144J_3'$	$-2,57J_2'$	$1,28J_3'$	$-0,64J_4'$	$0,32J_5'$	$-0,16J_6'$	$0,08J_7'$	u [cm/s]
0,05	0,25	3,0080	8,4600	1,1625	0,2005	0,0896	0,0394	0,0174	0,0078	0,0030	10,4432
0,10	0,50	5,9220	13,5360	1,5638	0,3815	0,1792	0,0854	0,0394	0,0182	0,0070	18,1537
0,15	0,75	8,5540	16,3560	1,5792	0,5268	0,2944	0,1426	0,0700	0,0340	0,0126	23,6572
0,20	1,0	10,9040	17,7472	1,4763	0,6245	0,3891	0,2112	0,0761	0,0560	0,0204	27,5810
0,30	1,50	14,0640	18,6120	1,0236	0,5654	0,1536	0,3264	0,1922	0,1070	0,0390	32,8664
0,40	2,0	16,9200	19,7812	0	0	0	0	0	0	0	36,7012

Tabela 15

Rezultati proračuna navedeni u tabelama 13., 14. i 15. prikazani su i dijagramom na sl. 13. Oblici krivih za brzine u graničnom sloju na ova tri mesta, pokazuju očekivani tok razvoja graničnog sloja na konturi cilindra. Očigledno je da postoji nagrižanje profila brzine pri približavanju zoni prvog odvajanja graničnog sloja, što je prirodno.



Sl. 13.

85. Slučaj prethodnog kretanja - stalnim ubrzanjem iz stanja mirovanja

U slučaju prethodnog kretanja stalnim ubrzanjem granični sloj na cilindričnom telu određen je Blasijusovim rešenjem

$$u_{cs} = U(x) f_1(\eta) \quad (3.31)$$

gde je

$$f_1'(\eta) = (1+2\eta^2) \operatorname{Erf} \eta + \frac{2}{\sqrt{\pi}} \eta e^{-\eta^2} - 2\eta^2 \quad (3.32)$$

Zbog runije uvedene veze (1.40), funkcija (3.32), koju treba pre-računati na odgovarajući oblik zavistan od novih promenljivih, glasi:

$$f_1' = \operatorname{Erf} \bar{\eta} \sqrt{\frac{t_1}{t}} + 2\bar{\eta}^2 \frac{t_1}{t} \operatorname{Erf} \bar{\eta} \sqrt{\frac{t_1}{t}} + 2 \frac{1}{\sqrt{\pi}} \bar{\eta} \sqrt{\frac{t_1}{t}} e^{-\bar{\eta}^2 \frac{t_1}{t}} - 2\bar{\eta}^2 \frac{t_1}{t} \quad (3.33)$$

Ako uvedemo oznaku $\tau = \frac{t_1}{t}$, tada faktor t_1/t , koji se u svim četiri sabirke veze (3.33) pojavljuje, postaje

$$\frac{t_1}{t} = \frac{\tau}{1+\tau}$$

Ispitivanja u cilju prilagođavanja funkcije (3.33) novim okolnostima, obavljena su tako što je svaki od četiri sabirke izraza (3.33) posebno izračavan u vidu polinoma po " τ ", a sa koeficijentima zavisnim od " $\bar{\eta}$ ", baš kao što je činjeno i u drugom paragrafu treće glave, i potom za svaki sabirak posebno, proveravano područje promenljive " τ " u kome prilagođeni, približni oblik daje isto, što i tačni oblici pojedinih sabiraka, prema izrazu (3.33). Rezultat analize je takav, da u glavnom polju vrednosti nestacionarne promenljive $0 \leq \bar{\eta} \leq 2$, a za $\tau \leq 0,4$, zadovoljavajuće slaganje sa tačnim izrazom (3.33), daje izraz:

$$f_1' \approx A_0(\bar{\eta}) + A_1(\bar{\eta}) \frac{t_1}{t} + A_2(\bar{\eta}) \left(\frac{t_1}{t}\right)^2 + A_3(\bar{\eta}) \left(\frac{t_1}{t}\right)^3 + A_4(\bar{\eta}) \left(\frac{t_1}{t}\right)^4 \quad (3.34)$$

gde su poznati koeficijenti - funkcije:

$$\left. \begin{aligned} A_0(\bar{\eta}) &= \frac{16}{15\sqrt{\pi}} \bar{\eta}; & A_1(\bar{\eta}) &= \frac{16}{45\sqrt{\pi}} \bar{\eta}^3 + \frac{16}{5\sqrt{\pi}} \bar{\eta} - 2\bar{\eta}^2; \\ A_2(\bar{\eta}) &= -\frac{4}{45\sqrt{\pi}} \bar{\eta}^5 + \frac{32}{45\sqrt{\pi}} \bar{\eta}^3 - \frac{16}{5\sqrt{\pi}} \bar{\eta} + 2\bar{\eta}^2; \\ A_3(\bar{\eta}) &= -\frac{4}{45\sqrt{\pi}} \bar{\eta}^5 - \frac{16}{9\sqrt{\pi}} \bar{\eta}^3 + \frac{16}{5\sqrt{\pi}} \bar{\eta} - 2\bar{\eta}^2; \\ A_4(\bar{\eta}) &= \frac{8}{15\sqrt{\pi}} \bar{\eta}^5 + \frac{128}{45\sqrt{\pi}} \bar{\eta}^3 - \frac{16}{5\sqrt{\pi}} \bar{\eta} + 2\bar{\eta}^2. \end{aligned} \right\} \quad (3.35)$$

Prema tome, izraz (3.34) određuje traženi neophodan oblik funkcije (3.31), da bi se mogle rešavati jednačine dimenzioniranih granik-

nog sloja (1.27) i (1.31).

33. Prethodno kretanje - stalno ubrzanje,
dopunski - trajan

Cilindrično telo je pokrenuto stalnim ubrzanjem $[U_0 = u_0(x)]$ normalno na pravcu svojih izvornih. U trenutku $t = T$, izmen talu je snopštem dopunski trajaj istoga usora $[U_d = U(x)]$ ako smonimo ove vrednosti i izrase (3.31), odnosno (3.34) u jednačinu (1.27), dobičeno za prvo približenje brzine dopunskog graničnog sloja jednačinu:

$$\frac{\partial u_0}{\partial t} - \nu \frac{\partial^2 u_0}{\partial y^2} = TF(1 - A_0) + t_1 F(1 - A_0 - A_1) - t_1^2 \frac{F}{T} (A_1 + A_2) - t_1^3 \frac{F}{T^2} (A_2 + A_3) - t_1^4 \frac{F}{T^3} (A_3 + A_4) - t_1^5 \frac{F}{T^4} A_4 \quad (3.36)$$

Kotralino njeno rešenje u vidu:

$$u_0 = U J_0'(\bar{\eta}) + t_1 T F J_1'(\bar{\eta}) + t_1^2 F J_2'(\bar{\eta}) + t_1^3 \frac{F}{T} J_3'(\bar{\eta}) + t_1^4 \frac{F}{T^2} J_4'(\bar{\eta}) + t_1^5 \frac{F}{T^3} J_5'(\bar{\eta}) + t_1^6 \frac{F}{T^4} J_6'(\bar{\eta}) \quad (3.37)$$

Na koeficijente, funkcije od promenljive " $\bar{\eta}$ " dobičeno obično diferencijalno jednačine:

$$\left. \begin{aligned} J_0'' + 2\bar{\eta} J_0' &= 0 \\ J_1'' + 2\bar{\eta} J_1'' - 4 J_1' &= 4(A_0 - 1) \\ J_2'' + 2\bar{\eta} J_2'' - 8 J_2' &= 4(A_0 + A_1 - 1) \\ J_3'' + 2\bar{\eta} J_3'' - 12 J_3' &= 4(A_1 + A_2) \\ J_4'' + 2\bar{\eta} J_4'' - 16 J_4' &= 4(A_2 + A_3) \\ J_5'' + 2\bar{\eta} J_5'' - 20 J_5' &= 4(A_3 + A_4) \\ J_6'' + 2\bar{\eta} J_6'' - 24 J_6' &= 4 A_4 \end{aligned} \right\} \quad (3.38)$$

Opšta rešenja ovih linearnih nehomogenih diferencijalnih jednačina drugoga reda su:

$$\begin{aligned} 1^\circ J_0' &= C_1 \int \bar{\eta} e^{-\bar{\eta}^2} d\bar{\eta} + C_2 \\ 2^\circ J_1' &= C_1 (1 + 2\bar{\eta}^2) + C_2 \left[\frac{1}{4} (1 + 2\bar{\eta}^2) E_1 \sqrt{\bar{\eta}} + \frac{1}{2\sqrt{\pi}} \bar{\eta} e^{-\bar{\eta}^2} \right] - \frac{32}{15\sqrt{\pi}} \bar{\eta} + 1 \end{aligned}$$

$$3^{\circ} J_2' = C_1(1 + 4\eta^2 + \frac{4}{3}\eta^4) + C_2 \left[\frac{1}{32}(1 + 4\eta^2 + \frac{4}{3}\eta^4) \operatorname{Erf} \eta + \frac{1}{24\sqrt{\pi}} (\eta^3 + \frac{5}{2}\eta) e^{-\eta^2} \right] - \frac{32}{45\sqrt{\pi}} \eta^3 + 2\eta^2 - \frac{160}{45\sqrt{\pi}} \eta + 1$$

$$4^{\circ} J_3' = C_1(1 + 6\eta^2 + 4\eta^4 + \frac{8}{15}\eta^6) + C_2 \left[\frac{1}{384}(1 + 6\eta^2 + 4\eta^4 + \frac{8}{15}\eta^6) \operatorname{Erf} \eta + \frac{1}{720\sqrt{\pi}} (\eta^5 + 7\eta^3 + \frac{33}{4}\eta) e^{-\eta^2} \right] + \frac{8}{45\sqrt{\pi}} \eta^5 - \frac{16}{135\sqrt{\pi}} \eta^3 - \frac{16}{225\sqrt{\pi}} \eta$$

$$5^{\circ} J_4' = C_1(1 + 8\eta^2 + 8\eta^4 + \frac{32}{15}\eta^6 + \frac{16}{105}\eta^8) + C_2 \left[\frac{1}{6144}(1 + 8\eta^2 + 8\eta^4 + \frac{32}{15}\eta^6 + \frac{16}{105}\eta^8) \operatorname{Erf} \eta + \frac{1}{40320} (\frac{1}{2}\eta^7 + \frac{27}{4}\eta^5 + \frac{185}{8}\eta^3 + \frac{279}{16}\eta) \frac{2}{\sqrt{\pi}} e^{-\eta^2} \right] + \frac{64}{225\sqrt{\pi}} \eta - \frac{448}{675\sqrt{\pi}} \eta^3 + \frac{16}{135\sqrt{\pi}} \eta^5$$

$$6^{\circ} J_5' = C_1(1 + 10\eta^2 + \frac{40}{3}\eta^4 + \frac{16}{3}\eta^6 + \frac{16}{21}\eta^8 + \frac{32}{945}\eta^{10}) + C_2 \left[\frac{1}{122880}(1 + 10\eta^2 + \frac{40}{3}\eta^4 + \frac{16}{3}\eta^6 + \frac{16}{21}\eta^8 + \frac{32}{945}\eta^{10}) \operatorname{Erf} \eta + \frac{1}{3628800} (\frac{1}{2}\eta^9 + 11\eta^7 + \frac{147}{2}\eta^5 + 165\eta^3 + \frac{2895}{32}\eta) \frac{2}{\sqrt{\pi}} e^{-\eta^2} \right] - \frac{8}{45\sqrt{\pi}} \eta^5 - \frac{176}{315\sqrt{\pi}} \eta^3 - \frac{176}{945\sqrt{\pi}} \eta$$

$$7^{\circ} J_6' = C_1(1 + 12\eta^2 + 20\eta^4 + \frac{32}{3}\eta^6 + \frac{16}{7}\eta^8 + \frac{64}{315}\eta^{10} + \frac{64}{10395}\eta^{12}) + C_2 \left[\frac{1}{2949120}(1 + 12\eta^2 + 20\eta^4 + \frac{32}{3}\eta^6 + \frac{16}{7}\eta^8 + \frac{64}{315}\eta^{10} + \frac{64}{10395}\eta^{12}) \operatorname{Erf} \eta + \frac{1}{479001600} (\frac{1}{2}\eta^{11} + \frac{65}{4}\eta^9 + \frac{711}{4}\eta^7 + \frac{6279}{8}\eta^5 + \frac{41685}{32}\eta^3 + \frac{35685}{64}\eta) \frac{2}{\sqrt{\pi}} e^{-\eta^2} \right] - \frac{16}{105\sqrt{\pi}} \eta^5 - \frac{2272}{2835\sqrt{\pi}} \eta^3 - \frac{2}{5}\eta^2 + \frac{3776}{10395\sqrt{\pi}} \eta - \frac{1}{30}$$

U svim ovim izrazima, činioci uz konstante su partikularni integrali homogenih jednačina, a ostaci su partikularna rešenja odgovarajućih nehomogenih jednačina. (3.4)

Bazirajući se na istoj pojavi u vezi sa grančnim uslovima, objašnjenoj ranije, možemo doći do brojnih vrednosti integracionih konstanta:

$$1^{\circ} J_0'(0) = 0, \quad J_0'(\infty) = 1,$$

$$C_1 = \frac{2}{\sqrt{\pi}}, \quad C_2 = 0.$$

$$2^{\circ} J_1'(0) = 0, \quad J_1'(2) = 0,$$

$$C_1 = 0,1625, \quad C_2 = -4,650.$$

$$3^{\circ} J_2'(0) = 0, J_2'(2) = 0,$$

$$C_1 = -0,0413, C_2 = -30,726.$$

$$4^{\circ} J_3'(0) = 0, J_3'(2) = 0,$$

$$C_1 = -0,0212, C_2 = 8,1457.$$

$$5^{\circ} J_4'(0) = 0, J_4'(2) = 0,$$

$$C_1 = 0, C_2 = -99,80.$$

$$6^{\circ} J_5'(0) = 0, J_5'(2) = 0,$$

$$C_1 = 0, C_2 = 885,074.$$

$$7^{\circ} J_6'(0) = 0, J_6'(2) = 0,$$

$$C_1 = 0,0333, C_2 = -86896,825.$$

Tako je dopunska brzina graničnog sloja sa tačnošću do prve aproksimacije (3.37), potpuno određena. Sabirajući izraze (3.31) i (3.37), dobije se ukupna brzina u graničnom sloju:

$$u = (T + \epsilon_1) W f_1'(z) + U J_0' + \epsilon_1 T F J_1' + \epsilon_1^2 F J_2' + \epsilon_1^3 \frac{F}{T} J_3' + \epsilon_1^4 \frac{F}{T^2} J_4' + \epsilon_1^5 \frac{F}{T^3} J_5' + \epsilon_1^6 \frac{F}{T^4} J_6'. \quad (3.39)$$

Is uslova odvajanja graničnog sloja dolazi se do veze:

$$\epsilon_1^6 \frac{J_6''(0)}{T^4} + \epsilon_1^5 \left[\frac{J_5''(0)}{T^3} + \frac{f_1''(0)}{T^4} \right] + \epsilon_1^4 \frac{J_4''(0)}{T^2} + \epsilon_1^3 \frac{J_3''(0)}{T} + \epsilon_1^2 J_2''(0) + \epsilon_1 \left[T J_1''(0) - \frac{4}{3} f_1''(0) \right] - \frac{5}{4} J_0''(0) - \frac{1}{3} T f_1''(0) = 0 \quad (3.40)$$

odakle se može izračunati trenutak odvajanja graničnog sloja u svakoj tački na konturi cilindričnog tela, pri određenoj vrednosti konstante T , budući da su nulte vrednosti drugih izvoda univerzalnih funkcija poznate:

$$f_1''(0) = 2,256, J_0''(0) = 1,128, J_1''(0) = 1,419, J_2''(0) = 0,883, J_3''(0) = -0,1167, J_4''(0) = 0,0935, J_5''(0) = -0,072, J_6''(0) = 0,0573.$$

Primer: kružni cilindar radijusa $R = 50$ cm pokretn je stalnim ubrzanjem $V_0 = 10$ cm/s², a voda u trenutku $T = 2$ sec njemu je

saopštiti dopunski brzaj $U_{\infty} = 10 \text{ cm/s}$. Proverimo da li se granični sloj već odvojio već u zadnjoj zaustavnoj tački zbog prethodnog kretanja stalnim ubrzanjem. Koristimo Milnjusovo rešenje

$$t_s = \sqrt{1,1 \frac{R}{V_0}} = 2,345 \text{ sec}$$

domnajući da se, u momentu pojave dopunskog brzaja ($T = 2 \text{ sec}$) granični sloj još nije odvojio u zadnjoj zaustavnoj tački. Interesantno je, a toga, pitanje pojave tačke odvajanja tu, ina nastanka dopunskog kretanja.

Kako su za kružni cilindar poznate funkcije:

$$U(x) = 2U_{\infty} \sin \frac{x}{R}, \quad W(x) = 2V_0 \sin \frac{x}{R},$$

iz jednačine (3.40), za $\pi = 2\pi$ dobiće se:

$$0,036 t_1^6 + 1,32 t_1^5 + 0,234 t_1^4 - 0,58 t_1^3 = -8,83 t_1^2 + 1,70 t_1 + 29,14 \quad (3.41)$$

Rešavajući jednačinu (3.41) grafički:

$$f_1(t_1) = f_2(t_1)$$

gde je: $f_2(t_1) = -8,83 t_1^2 + 1,70 t_1 + 29,14$, dobiće se da, od momenta kada se saopšti dopunski brzaj, do pojave tačke odvajanja u zadnjoj zaustavnoj tački, protekne vreme:

$$t_1 = 1,533 \text{ sec} \quad (3.42)$$

Kraći, uverilo se da se granični sloj odvoji posle 0,345 s. u ohradi na $T = 2 \text{ sec}$, od prethodnog jednako ubrzanog kretanja - pojavom dopunskog brzaja ovaj trenutak nastane je kasnije (posle 1,533 sec). Stapa kretanja bez odvajanja graničnog sloja produžena je, što je na praksi značajno.

27. Prethodno kretanje stalnim ubrzanjem, dopunsko - stalnim ubrzanjem

Izraze $U_g = (K + t_1)W(x)$ i $U_d = t_1 W(x)$, koji odražavaju prirodu ovih kretanja, kao i vrednosti (3.31), odnosno

$$(3.34), \text{ ubacimo u jednačinu (1.27) i dobićemo}$$

$$\frac{\partial u_0}{\partial t_1} \rightarrow \frac{\partial^2 u_0}{\partial y^2} = W + t_1 \cdot 2TWW'(1-\lambda_0) + t_1^2 \cdot 2WW'(1-\lambda_0-\lambda_1) - t_1 \frac{32WW'}{T} (\lambda_1 + \lambda_2) - t_1^4 \frac{2WW'}{T^2} (\lambda_2 + \lambda_3) - t_1^5 \frac{2WW'}{T^3} (\lambda_3 + \lambda_4) - t_1^6 \frac{2WW'}{T^4} \lambda_4. \quad (3.43)$$

Potrudimo rešenje ove jednačine u vidu

$$u_0 = t_1 W J_0'(\bar{\eta}) + t_1^2 2TW W' J_1'(\bar{\eta}) + t_1^3 2WW' J_2'(\bar{\eta}) + t_1^4 \frac{2WW'}{T} J_3'(\bar{\eta}) + \\ + t_1^5 \frac{2WW'}{T^2} J_4'(\bar{\eta}) + t_1^6 \frac{2WW'}{T^3} J_5'(\bar{\eta}) + t_1^7 \frac{2WW'}{T^4} J_6'(\bar{\eta}) \quad (3.44)$$

Da nepoznate funkcije od promenljive " $\bar{\eta}$ " dobije se obične diferencijalne jednačine:

$$\left. \begin{aligned} J_0''' + 2\bar{\eta} J_0'' - 4J_0' &= -4 \\ J_1''' + 2\bar{\eta} J_1'' - 8J_1' &= 4(\lambda_0 - 1) \\ J_2''' + 2\bar{\eta} J_2'' - 12J_2' &= 4(\lambda_0 + \lambda_1 - 1) \\ J_3''' + 2\bar{\eta} J_3'' - 16J_3' &= 4(\lambda_1 + \lambda_2) \\ J_4''' + 2\bar{\eta} J_4'' - 20J_4' &= 4(\lambda_2 + \lambda_3) \\ J_5''' + 2\bar{\eta} J_5'' - 24J_5' &= 4(\lambda_3 + \lambda_4) \\ J_6''' + 2\bar{\eta} J_6'' - 28J_6' &= 4\lambda_4 \end{aligned} \right\} \quad (3.45)$$

Opšta rešenja jednačina (3.45) su:

$$\begin{aligned} 0^\circ J_0' &= C_1(1 + 2\bar{\eta}^2) + C_2 \left[\frac{1}{4}(1 + 2\bar{\eta}^2)(1 - \text{Erf} \bar{\eta}) - \frac{1}{2\sqrt{\pi}} \bar{\eta} e^{-\bar{\eta}^2} \right] + 1 \\ 1^\circ J_1' &= C_1(1 + 4\bar{\eta}^2 + \frac{4}{3}\bar{\eta}^4) + C_2 \left[\frac{1}{32}(1 + 4\bar{\eta}^2 + \frac{4}{3}\bar{\eta}^4) \text{Erf} \bar{\eta} + \right. \\ &\quad \left. + \frac{1}{24\sqrt{\pi}} (\bar{\eta}^3 + \frac{5}{2}\bar{\eta}) e^{-\bar{\eta}^2} \right] - \frac{32}{45\sqrt{\pi}} \bar{\eta} + \frac{1}{2} \\ 2^\circ J_2' &= C_1(1 + 6\bar{\eta}^2 + 4\bar{\eta}^4 + \frac{8}{15}\bar{\eta}^6) + C_2 \left[\frac{1}{384}(1 + 6\bar{\eta}^2 + 4\bar{\eta}^4 + \right. \\ &\quad \left. + \frac{8}{15}\bar{\eta}^6) \text{Erf} \bar{\eta} + \frac{1}{720\sqrt{\pi}} (\bar{\eta}^5 + 7\bar{\eta}^3 + \frac{33}{4}\bar{\eta}) e^{-\bar{\eta}^2} \right] - \\ &\quad - \frac{32}{135\sqrt{\pi}} \bar{\eta}^3 + \bar{\eta}^2 - \frac{416}{225\sqrt{\pi}} \bar{\eta} + \frac{1}{2} \\ 3^\circ J_3' &= C_1(1 + 8\bar{\eta}^2 + 8\bar{\eta}^4 + \frac{32}{15}\bar{\eta}^6 + \frac{16}{105}\bar{\eta}^8) + C_2 \left[\frac{1}{6144}(1 + 8\bar{\eta}^2 + \right. \\ &\quad \left. + 8\bar{\eta}^4 + \frac{32}{15}\bar{\eta}^6 + \frac{16}{105}\bar{\eta}^8) \text{Erf} \bar{\eta} + \frac{1}{40320} (\frac{1}{2}\bar{\eta}^7 + \frac{27}{4}\bar{\eta}^5 + \frac{185}{8}\bar{\eta}^3 + \right. \\ &\quad \left. + \frac{279}{16}\bar{\eta}) \frac{2}{\sqrt{\pi}} e^{-\bar{\eta}^2} \right] + \frac{8}{135\sqrt{\pi}} \bar{\eta}^5 - \frac{208}{675\sqrt{\pi}} \bar{\eta}^3 - \frac{208}{1575\sqrt{\pi}} \bar{\eta} \\ 4^\circ J_4' &= C_1(1 + 10\bar{\eta}^2 + \frac{40}{3}\bar{\eta}^4 + \frac{16}{3}\bar{\eta}^6 + \frac{16}{21}\bar{\eta}^8 + \frac{32}{945}\bar{\eta}^{10}) + \\ &\quad + C_2 \left[\frac{1}{122880} (1 + 10\bar{\eta}^2 + \frac{40}{3}\bar{\eta}^4 + \frac{16}{3}\bar{\eta}^6 + \frac{16}{21}\bar{\eta}^8 + \frac{32}{945}\bar{\eta}^{10}) \text{Erf} \bar{\eta} + \right. \\ &\quad \left. + \frac{1}{3628800} (\frac{1}{2}\bar{\eta}^9 + 11\bar{\eta}^7 + \frac{147}{2}\bar{\eta}^5 + 165\bar{\eta}^3 + \right. \end{aligned}$$

$$\begin{aligned}
 & + \frac{2895}{32} \eta \left) \frac{2}{\sqrt{\pi}} e^{-\eta^2} \right] + \frac{16}{225\sqrt{\pi}} \eta^5 + \frac{128}{315\sqrt{\pi}} \eta^3 + \frac{128}{945\sqrt{\pi}} \eta \\
 6^\circ \quad & \mathcal{J}_5' = C_1 \left(1 + 12\eta^2 + 20\eta^4 + \frac{32}{3}\eta^6 + \frac{16}{7}\eta^8 + \frac{64}{315}\eta^{10} + \right. \\
 & \left. + \frac{64}{10395}\eta^{12} \right) + C_2 \left[\frac{1}{2949120} \left(1 + 12\eta^2 + 20\eta^4 + \frac{32}{3}\eta^6 + \right. \right. \\
 & \left. \left. + \frac{16}{7}\eta^8 + \frac{64}{315}\eta^{10} + \frac{64}{10395}\eta^{12} \right) \text{Erf} \eta + \frac{1}{479001600} \left(\frac{1}{2}\eta^{11} + \right. \right. \\
 & \left. \left. + \frac{65}{4}\eta^9 + \frac{711}{4}\eta^7 + \frac{6279}{8}\eta^5 + \frac{41685}{32}\eta^3 + \frac{35685}{64}\eta \right) \frac{2}{\sqrt{\pi}} e^{-\eta^2} \right] - \\
 & \quad - \frac{8}{63\sqrt{\pi}} \eta^5 - \frac{1072}{2835\sqrt{\pi}} \eta^3 - \frac{1072}{10395\sqrt{\pi}} \eta \\
 7^\circ \quad & \mathcal{J}_6' = C_1 \left(1 + 14\eta^2 + 28\eta^4 + \frac{56}{3}\eta^6 + \frac{16}{3}\eta^8 + \frac{32}{45}\eta^{10} + \frac{64}{1485}\eta^{12} + \right. \\
 & \left. + \frac{128}{135135}\eta^{14} \right) + C_2 \left[\frac{1}{82575360} \left(1 + 14\eta^2 + 28\eta^4 + \frac{56}{3}\eta^6 + \frac{16}{3}\eta^8 + \frac{32}{45}\eta^{10} + \right. \right. \\
 & \left. \left. + \frac{64}{1485}\eta^{12} + \frac{128}{135135}\eta^{14} \right) \text{Erf} \eta + \frac{1}{87178291200} \left(\frac{1}{2}\eta^{13} + \frac{45}{2}\eta^{11} + \right. \right. \\
 & \left. \left. + \frac{2915}{8}\eta^9 + \frac{10575}{4}\eta^7 + \frac{278019}{32}\eta^5 + \frac{364665}{32}\eta^3 + \frac{509985}{128}\eta \right) \frac{2}{\sqrt{\pi}} e^{-\eta^2} \right] - \\
 & \quad - \frac{16}{135\sqrt{\pi}} \eta^5 - \frac{928}{1485\sqrt{\pi}} \eta^3 - \frac{1}{2}\eta^2 + \frac{448}{1287\sqrt{\pi}} \eta - \frac{1}{42}.
 \end{aligned}$$

Granični uslovi i vrednosti integracionih konstanta su:

$$1^\circ \quad \mathcal{J}_0'(0) = 0, \quad \mathcal{J}_0'(\infty) = 1,$$

$$C_1 = 0, \quad C_2 = -4,0.$$

$$2^\circ \quad \mathcal{J}_1'(0) = 0, \quad \mathcal{J}_1'(2) = 0,$$

$$C_1 = 0,0106, \quad C_2 = -16,3652.$$

$$3^\circ \quad \mathcal{J}_2'(0) = 0, \quad \mathcal{J}_2'(2) = 0,$$

$$C_1 = -0,0082, \quad C_2 = -189,1360.$$

$$4^\circ \quad \mathcal{J}_3'(0) = 0, \quad \mathcal{J}_3'(2) = 0,$$

$$C_1 = 0,0014, \quad C_2 = -4,3733.$$

$$5^\circ \quad \mathcal{J}_4'(0) = 0, \quad \mathcal{J}_4'(2) = 0,$$

$$C_1 = 0, \quad C_2 = -487,7313.$$

$$6^\circ \quad \mathcal{J}_5'(0) = 0, \quad \mathcal{J}_5'(2) = 0,$$

$$C_1 = 0, \quad C_2 = 6523,50.$$

$$7^\circ \quad \mathcal{J}_6'(0) = 0, \quad \mathcal{J}_6'(2) = 0,$$

$$C_1 = 0,0238, \quad C_2 = -1853436,2080.$$

Ako sabereimo iznose (3.31) i (3.44) imamo rezultujuću potpunu projekciju brzine u graničnom sloju:

$$u = (T+t_1)W f_1'(\bar{r}) + t_1 W J_0'(\bar{r}) + t_1^2 2TW W' J_1'(\bar{r}) + t_1^3 2WW' J_2'(\bar{r}) + t_1^4 \frac{2WW'}{T} J_3'(\bar{r}) + t_1^5 \frac{2WW'}{T^2} J_4'(\bar{r}) + t_1^6 \frac{2WW'}{T^3} J_5'(\bar{r}) + t_1^7 \frac{2WW'}{T^4} J_6'(\bar{r}) \quad (3.46)$$

Koristeći uslov odvajanja graničnog sloja $\left(\frac{\partial u}{\partial y}\right)_{y=0} = 0$ dođiće se do jednačine:

$$\frac{1}{3} T f_1''(0) + t_1 \left[\frac{5}{4} J_0''(0) + \frac{4}{3} f_1''(0) \right] - t_1^2 T J_1''(0) - t_1^2 J_2''(0) - t_1^4 \frac{J_3''(0)}{T} - t_1^5 \left[\frac{J_4''(0)}{T^2} + \frac{f_1''(0)}{T} \right] - t_1^6 \frac{J_5''(0)}{T^3} - t_1^7 \frac{J_6''(0)}{T^4} = 0 \quad (3.47)$$

Primeri kružni cilindar radijusa $R = 50$ cm, pokretnost je stalnim ubrzanjem $V_0 = 10$ cm/s², a zatim u momentu $T = 2$ sec, njemu je naopštano dopunsko ubrzanje $V_0 = 10$ cm/s².

Pošto se u nekoj zavisnoj tački granični sloj još nije odvojio zbog prethodnog kretanja stalnim ubrzanjem, pogledajmo imda će se to odigrati, ako se doda i dopunsko kretanje konstantnim ubrzanjem. Ako se pronađu neke vrednosti drugih izvođa univerzalnih funkcija:

$$f_1''(0) = 2,256, J_0''(0) = 2,256, J_1''(0) = 1,1373, J_2''(0) = 0,7352, J_3''(0) = -0,0709, J_4''(0) = 0,0584, J_5''(0) = -0,0471, J_6''(0) = 0,0753$$

i iskoristi poznata funkcija $\bar{v} = 2V_0$ sin x/R , jednačina (3.47) primenjena na zadnju zavisnu tačku $x = \pi R$, postaje:

$$0,0047 t_1^7 - 0,0059 t_1^6 + 0,1555 t_1^5 - 0,0354 t_1^4 + 0,7352 t_1^3 = -2,2746 t_1^2 + 5,8280 t_1 + 1,5040 \quad (3.48)$$

Ako rešimo jednačinu (3.48) grafički, crtajući rafike obeju strana jednačine:

$$f_1(t_1) = f_2(t_1)$$

$$\text{gde su: } f_1(t_1) = 0,0047 t_1^7 - 0,0059 t_1^6 + 0,1555 t_1^5 - 0,0354 t_1^4 + 0,7352 t_1^3, \\ f_2(t_1) = -2,2746 t_1^2 + 5,8280 t_1 + 1,5040.$$

dođićemo da realno i pozitivno rešenje jednačine (3.48), koje odgovara našem problemu, ima vrednost:

$$t_1 = 1,645 \text{ sec} \quad (3.49)$$

Period kretanja cilindra u komo nema odvajanja graničnog sloja, ovom prilikom još duže traje, nego u prethodnom slučaju.

Dodatak 2. Izraz (3.34) je aproksimirao funkciju (3.32) sa jednom tačnošću. Razume se, ova tačnost može se popraviti uzimanjem novih članova odgovarajućih redova, čime se proračun gran-
nog sloja računski komplikuje.

Pripremimo, ipak, još jedan tačniji aproksimativni oblik funkcije (3.32).

Funkcija (3.32) u obliku opšteg rešenja odgovarajuće diferencijalne jednačine Blasijusovih rešenja, glasi:

$$f_1'(\eta) = C_1(1+2\eta^2) + C_2 \left[\frac{1}{4}(1+2\eta^2)(1 - \text{Erf} \eta) - \frac{1}{2\sqrt{\pi}} \eta e^{-\eta^2} \right] + 1$$

Ako se iskoriste tačni granični uslovi:

$$f_1'(0) = 0, \quad f_1'(\infty) = 1,$$

dobiće se vrednosti konstantata:

$$C_1 = 0, \quad C_2 = -4,0$$

odnosno, upravo, vrednost (3.32).

Ako se postupa u duhu ideje o konačnosti graničnog sloja i iskoriste uslovi

$$f_1'(0) = 0, \quad f_1'(1,25) = 1,$$

dobiće se: $C_1 = 0,005$, $C_2 = -4,02$, čime se odstupilo od tačnih vrednosti konstantata samo za 0,5%. Dak i ako se uzmu

uslovi: $f_1'(0) = 0$, $f_1'(1,0) = 1$, dobiće se: $C_1 = 0,019$,

$C_2 = -4,077$, prema tome, učiniti odstupanje od tačnih vrednosti za svega 1,93%. Znači, razmak $0 \leq \eta \leq 1,0$ može se uzeti kao

merodavni razmak promene univerzalne funkcije (3.32) sa dovoljno tačnošću. Pri $\eta > 1$, vrednost univerzalne funkcije (3.32) se više ne menja i tu postaje primenljivo drugo aproksimativno rešenje.

Razvijajući funkciju greške " $\text{Erf} \eta$ " i eksponencijalnu funkciju " $e^{-\eta^2}$ " u redove i zadržavajući se na petom stepenu promenljivih dobiće se umesto (3.32) približan izraz:

$$f_1'(\eta) = \frac{2}{\sqrt{\pi}} \left(2\eta + \frac{2}{3}\eta^3 - \frac{1}{15}\eta^5 \right) - 2\eta^2$$

koji, u aktuelnom domenu $0 \leq \eta \leq 1,0$, zamenjuje tačnu funkciju

(3.32) sa dobrom tačnošću za $\eta = 0,5$ sa: $f_1'(0,5) = 0,719$, a

$f_1'(0,5) \approx 0,71965$, greška svoga 0,09%, pa čak i za $\eta = 1$:

$f_1'(1) = 0,9432$, a $f_1'(1) \approx 0,933$, odstupanje je minimalno: 1,08%

Menjujući u zadnji izraz $\eta = \bar{z} \sqrt{\frac{t_1}{t}}$ i koristeći već ispitani veza (3.4) dobije se:

$$f_1' \approx p_0(\bar{\eta}) + p_1(\bar{\eta}) \frac{t_1}{t} + p_2(\bar{\eta}) \left(\frac{t_1}{t}\right)^2 + p_3(\bar{\eta}) \left(\frac{t_1}{t}\right)^3$$

gde su:

$$p_0(\bar{\eta}) = \frac{16}{15\sqrt{\pi}} \bar{\eta}, \quad p_1(\bar{\eta}) = \frac{16}{5\sqrt{\pi}} \bar{\eta} - 2\bar{\eta}^2 + \frac{16}{45\sqrt{\pi}} \bar{\eta}^3,$$

$$p_2(\bar{\eta}) = \frac{16}{15\sqrt{\pi}} \bar{\eta}^3 - \frac{8}{225\sqrt{\pi}} \bar{\eta}^5, \quad p_3(\bar{\eta}) = \frac{8}{75\sqrt{\pi}} \bar{\eta}^5.$$

A ako se umesto t_1/t , $(t_1/t)^2$ i $(t_1/t)^3$ uzmu ispitani oblici (u Dodatku 1 i formule 3.14), koji važi za

$$\frac{t_1}{t} = z - z^2 + z^3 - z^4 + z^5 - z^6$$

$$\left(\frac{t_1}{t}\right)^2 = z^2 - 2z^3 + 3z^4 - 4z^5 + 3z^6$$

$$\left(\frac{t_1}{t}\right)^3 = z^3 - 3z^4 + 6z^5 - 10z^6 + 13z^7 - 15z^8 + 16z^9$$

dobije se, dakle, konačan i odgovarajući uprošćeni oblik funkcije (3.32), kojim će se moći rešiti jednačine (1.27) i (1.31).

Proverimo tačnost ovog novog oblika u nekoliko konkretnih slučajeva:

1° $t_1/t = 0,2$

$$\bar{\eta} = 2,449 \eta$$

η	$\bar{\eta}$	$p_0(\bar{\eta})$	$p_1(\bar{\eta})$	$p_2(\bar{\eta})$	$p_3(\bar{\eta})$	$\left(\frac{u_s}{U_s}\right)_{\bar{\eta}}$	$\left(\frac{u_s}{U_s}\right)_{\eta}$
0,2	0,4898	0,2946	0,4274	0,07018	0,00169	0,36776	0,37734
0,4	0,9796	0,5893	0,0355	0,64803	0,05438	0,61341	0,63009
0,6	1,4694	0,8840	-1,0343	1,77397	0,41303	0,76274	0,79088
0,8	1,9592	1,1786	-2,6417	3,95140	1,74045	0,85600	0,89198
1,0	2,4490	1,4733	-4,6416	7,08375	5,31149	0,92100	0,94400

2° $t_1/t = 0,3$

$$\bar{\eta} = 2,08 \eta$$

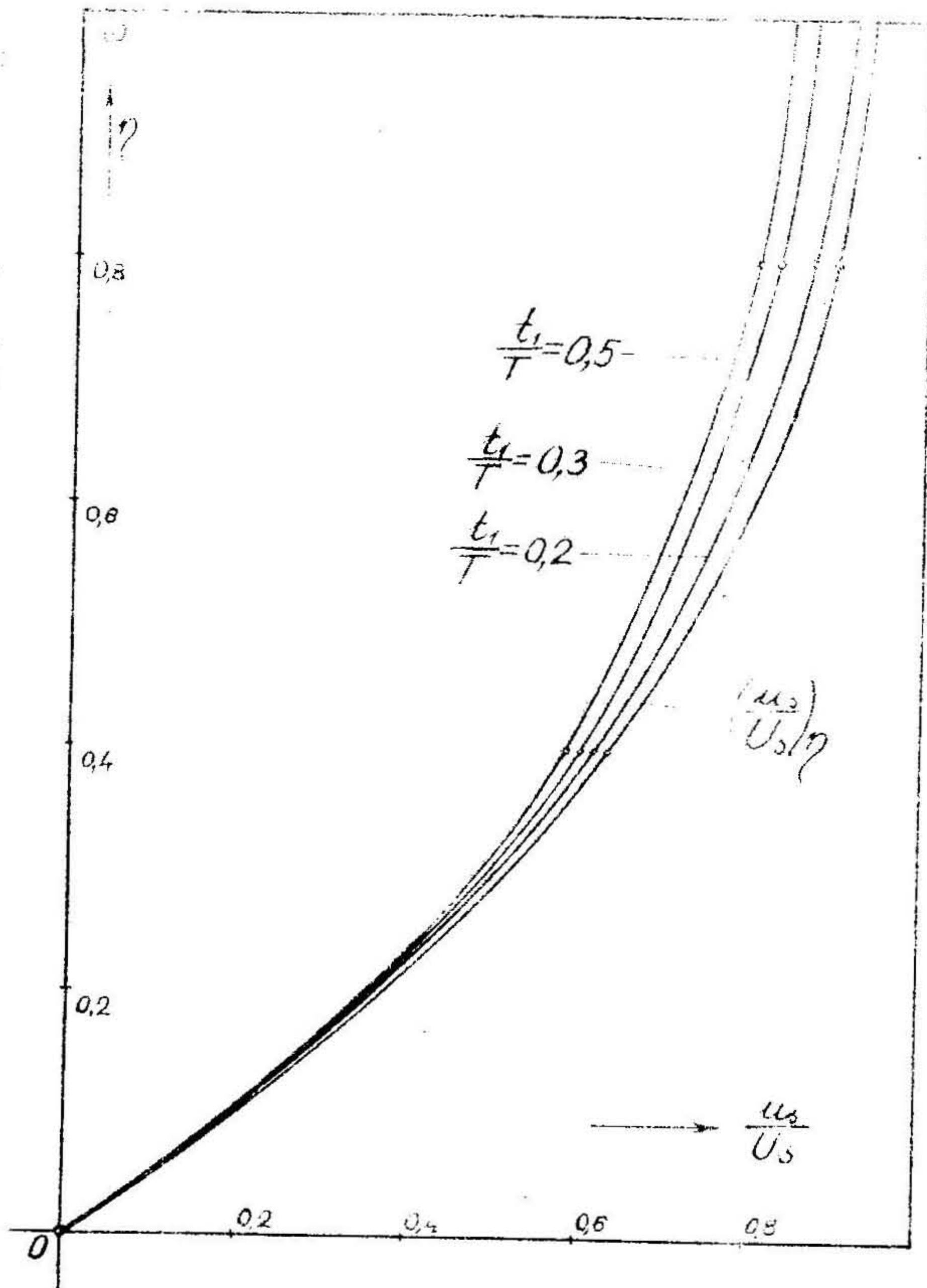
η	$\bar{\eta}$	$f_0(\bar{\eta})$	$f_1(\bar{\eta})$	$f_2(\bar{\eta})$	$f_3(\bar{\eta})$	$\left(\frac{u_s}{U_s}\right)_{\bar{\eta}}$	$\left(\frac{u_s}{U_s}\right)_{\eta}$
0,2	0,4160	0,25026	0,41928	0,04305	0,00078	0,3600	0,37734
0,4	0,8320	0,50053	0,23914	0,33858	0,02370	0,6000	0,63009
0,6	1,2480	0,75080	-0,48076	1,11391	0,18352	0,7125	0,79088
0,8	1,6640	1,00106	-1,59748	2,50015	0,75854	0,8221	0,89198
1,0	2,0800	1,25133	-3,09780	4,63620	2,33902	0,8515	0,94400

$3^\circ t_2/2 = 0,5$, $\bar{\eta} = 1,732 \eta$:

$\bar{\eta}$	η	$f_0(\bar{\eta})$	$f_1(\bar{\eta})$	$f_2(\bar{\eta})$	$f_3(\bar{\eta})$	$\left(\frac{u_s}{U_s}\right)_{\bar{\eta}}$	$\left(\frac{u_s}{U_s}\right)_{\eta}$
0,2	0,3464	0,2100	0,4100	0,0248	0,00030	0,3550	0,37734
0,4	0,6928	0,4200	0,3155	0,0296	0,00140	0,5700	0,63009
0,6	1,0392	0,6240	-0,0178	0,6525	0,07340	0,7080	0,79088
0,8	1,3856	0,8314	-0,7474	1,4821	0,30110	0,8050	0,89198
1,0	1,732	1,0420	-1,8204	2,8184	0,93250	0,8250	0,94400

U ovim tabelama $\left(\frac{u_s}{U_s}\right)_{\bar{\eta}}$ označava vrednost aradunatu preko novog približnog izraza, a $\left(\frac{u_s}{U_s}\right)_{\eta}$ tačnu vrednost prema (3.31). Medjusobna odstupanja nisu velika, što pokazuje i dijagram na sledećoj slici, nacrtan prema ovim tabelama.

Ako bi se umesto na ranijim (3.34), sa ovim izrazom potražilo rešenje jednačina (1.27), dobila bi se nešto bolja tačnost, ali bi se račun preko mere iako komplikovao.



89. Uporedjivanja i zaključci

U ovom prilikom razmatrane su dve vrste prethodnog kretanja formiranog iz stanja mirovanja: trajan i stalni ubrzanjen, i dve vrste dopunskog kretanja, koja su se u jednom trenutku vremena sup rponizala na postojeća prethodna kretanja. Dopunska kretanja su, takođe, vršena trajan i stalni ubrzanjen.

Analiza na primeru kružnog cilindra, a kroz rezultate (3.23), (3.30), (3.42) i (3.49), pokazuje da je vreme odvajanja

graničnog sloja:

- veće pri $U_s = U$, $U_d = tW$, no pri $U_s = U_d = U$

- veće pri $U_s = tW$, $U_d = tW$, no pri $U_s = tW$, $U_d = U$.

Kod ovakvih kretanja sa konačnom vremenskom defazovanošću T , do punog izražaja dolazi značaj prirode prethodnog kretanja i stanja u graničnom sloju koje vlada u momentu stvaranja dopunskog kretanja. Tako su, u načelu, vremena odvajanja graničnog sloja, veća kada je prethodno kretanje stalnim ubrzanjem, nego kada je ono trajan, bez obzira na to da li se dopunsko kretanje izvodi trajan, ili stalnim ubrzanjem.

Iz svega ovoga rezultuje činjenica, da će se trajanje kretanja cilindra bez pojave odvajanja graničnog sloja najviše produžiti kada se, uoči trenutka kada bi se na konturi cilindra granični sloj prvi put odvojio zbog prethodnog kretanja stalnim ubrzanjem, cilindru sacpiti dopunsko kretanje stalnim ubrzanjem.

Primećuje se da je sajednička pojava kod svih varijanti prethodnog i dopunskog kretanja - zadržavanje na prvoj aproksimaciji brzine dopunskog graničnog sloja (1.27). Pošto su se naša ispitivanja, uglavnom, odnosila na relativno kratak vremenski period do trenutka početka odvajanja graničnog sloja, i prva aproksimacija je dala dovoljno pouzdane rezultate. Inače, u principu, mogao je rešiti i jednačinu drugog približenja (1.11). Međutim, računski posao oko toga je izvanredno veliki. Tako, recimo, u slučaju dopunskog trzaja ina prethodnog kretanja trajan, valja rešiti preko pedeset diferencijalnih jednačina da bi se odredilo drugo približenje brzine graničnog sloja. Otuda, u ovom radu, nije bilo reči o drugim aproksimacijama brzine.

Što se tiče konvergencije rešenja sa brzine u graničnom sloju, moguće je jedino, na osnovu prirodnosti proračunatih vrednosti vremena i puta odvajanja, kao i profila brzina u pojedinim slučajevima, utvrditi postojanje "fizičke konvergencije".

Opadanje vrednosti zapisanih po pojedinim kolonama tabela 8, 9, 10, 11, 12, 13, 14 i 15, u smeru: s leva na desno, odnosno, minimalne vrednosti u predhodnim kolonama ovih tabela, koje predstavljaju poslednje članove izlaza za brzine u graničnom sloju - znak su da je "fizička konvergencija", pri navedenim ograničenjima promenljivih, obezbeđena.

IV. ANALIZA DOSADAŠNJIH REZULTATA

Sumirajući dosadašnje rezultate proučavanja nestacionarnog graničnog sloja na telima pokrenutim iz stanja izvjesnog prethodnog nestacionarnog kretanja, može se izvesti jedinstveni zaključak o tome, da se ovakvim kombinovanjem prethodnih i dopunskih kretanja, postiže duži vek trajanja jednog povoljnijeg stanja u graničnom sloju na telu, stanja u kome još nije došlo do odvajanja graničnog sloja. Razume se ovo tvrdjenje ima smisla za slučajeve kada se dopunsko kretanje otvori pre pojave prvog odvajanja graničnog sloja usled prethodnog nestacionarnog kretanja.

Ako bi se dopunsko kretanje formiralo u periodu posle prvog odvajanja graničnog sloja na cilindričnom telu, izvedene jednačine za dopunsko kretanje graničnog sloja, davale bi poznate rezultate samo do položaja tačke odvajanja u tom trenutku. Ovaj zaključak je u duhu poznate činjenice da jednačine graničnog sloja daju najbolje rezultate u prostoru do tačke odvajanja graničnog sloja.

Položaj tačke odvajanja na cilindru uoči pojave dopunskog kretanja, može se lako odrediti preko poznate teorije Hagenovog i Watsona za proračun nestacionarnog graničnog sloja, na telu pokrenutom iz stanja mirovanja. Kao što je poznato, ona se iz zadnje zaustavne tačke gde se rađa, u toku vremena pomiče po konturi unvodno, težeći onoj fiksnoj poziciji pri stacionarnom graničnom sloju.

Razmotrimo detaljnije efekat maksimalnog produženja perioda kretanja cilindra bez pojave odvajanja graničnog sloja. Ispitivanjem osnovnog podatka nestacionarnog graničnog sloja - vremena prvog odvajanja na konturi cilindra, pri kratkotrajnim prethodnim kretanjima i pri prethodnim i dopunskim kretanjima konačne vremenske defasovanosti T - omogućuju izvesti, zaključke, i to:

- pri istovodnim prethodnim i dopunskim kretanjima ($U_s = U_d = U$, $U_s = U_d = t\bar{w}$) vreme odvajanja je duže kada se dopunsko kretanje izvrši u poznoj etapi prethodnog kretanja, noći prvog odvajanja graničnog sloja zbog prethodnog kretanja.
- pri rasnorodnim prethodnim i dopunskim kretanjima ($U_s = U$, $U_d = t\bar{w}$; $U_s = t\bar{w}$, $U_d = U$), međjutim, vreme odvajanja je duže, ako se dopunsko kretanje isprovodi u ranoj etapi prethodnog kretanja (sa kratkotrajnim prethodnim kretanjima).

Pri konačnim defazovanostima vremenskih prethodnih i dopunskih kretanja - prethodnom graničnom sloju se ostavlja dovoljno vremena da se obrazuje, da bi u momentu stvaranja dopunskog kretanja delovalo kao jedno oformljeno stanje, utičući na dopunsko kretanje ravnoopravno i ostavljajući dopunskim kretanjima da ona ličnim prednostima, jednih u odnosu na druga, formiraju i rezultujuća prednostva, stvarajući tako optimalnu kombinaciju prethodnog i dopunskog kretanja.

Tako, recimo, ako prethodnom kretanju trzajem, na izmaku vremena prethodnog odvajanja ($t_s = 1,775$), tj. u trenutku $T = 1,5$ sec, superponiramo dopunsko kretanje trzajem, u prvom slučaju, ili stalnim ubrzanjem, u drugom, dobićemo - prema očekivanju - duže ukupno vreme odvajanja graničnog sloja u drugom ($t_r = 3,30$ sec), nego u prvom slučaju ($t_r = 2,85$ sec). Ali, trenutak prvog odvajanja prethodnog graničnog sloja je i suviše blizu ($t_s = 1,775$ sec), da bi se, makar i pogodnijim jednako-ubrzanim dopunskim kretanjem snatnije produžila etapa kretanja cilindra bez pojave odvajanja graničnog sloja. Tako, jednako-ubrzanom kretanje je i pod ovako "teškim" okolnostima pokazalo svoju prednost nad trzajem. Ako bi na se pripremio bolji teren ako bi ono "kateko" bolju situaciju u graničnom sloju u trenutku kada nailazi, ono bi i iz sebe ostavilo bolje rezultate. Upravo, podatak da je $t_s = 3,4$ s pri kratkotrajnom prethodnom trzaju, a da je $t_r = T + t_1 = 3,30$ sec, pri $T = 1,5$ sec, to i potvrđuje.

Bolje je ako se, noći momenta odvajanja graničnog sloja ($t_g = 2,345$ sec) zbog prethodnog kretanja stalnim ubrzanjem, tj. u trenutku $T = 2$ sec - cilindru saopšti dopunsko jednako-ubrzano kretanje ($t_r = 3,645$ sec), umesto trzaja ($t_r = 3,533$ sec). jer kako rekosmo, sada prethodno kretanje stalnim ubrzanjem deluje kao jedno oforajeno stanje (analogno onom stanju mirovanja koč Blazijusa), sa razlikom od slučaja kratkotrajnog prethodnog stalnog ubrzanja, o čemu je ranije bilo reči.

Ako se naknadni trzaj saopšti telu u ranijoj fazi prethodnog kretanja stalnim ubrzanjem, rezultat će biti bolji, nego ako neposredno noći odvajanja graničnog sloja zbog prethodnog kretanja stalnim ubrzanjem dođe do dopunskog trzaja, tim pre što trzaj uvek zaostaje sa stalnim ubrzanjem u pogledu pozitivnih efekata nestacionarnog graničnog sloja (misliti se na veličine puta i vremena odvajanja). Poredjenje vrednosti $t_r = 3,533$ s. i $t_g = 4,197$ sec, iz ove tabele, govori pozitivno o gornjim predviđanjima.

Način kretanja cilindr. tela	Vreme prvog odv. gran. sloja pri kratkotrajnim preth. kretanjima	T [sec]	$(t_1)_{odv}$	$t_r = T + (t_1)_{odv}$ [sec]
$U_s = U, U_d = U.$	2,50 sec	1,5	1,35	2,850
$U_s = U, U_d = tW.$	3,40 "	1,5	1,80	3,300
$U_s = tW, U_d = U.$	4,197 "	2,0	1,533	3,533
$U_s = tW, U_d = tW.$	2,886 "	2,0	1,645	3,645

Poredjenjem ovih rezultata po "horizontali", može se reći da se, za vremenske defazovanosti T , manje od vremena prethodnog odvajanja graničnog sloja, sa izvornom tačnošću može koristiti i teorija kratkotrajnih prethodnih kretanja (misliti se na proračun graničnog sloja pri ovim kretanjima). U prilog ovome ide činjenica da je razlika između vremena odvajanja, za pojedine kombinacije kretanja, po horizontali, u najgorem slučaju,

ovega $3,645 - 2,886 = 0,759$ sec (pri $U_g = U$, $U_g = tW$, čak i $0,1$ sec), a i proračuni brzina u graničnom sloju na istim mestima i u istim trenucima, na oba načina, potvrdili su minimalna odstupanja.

Posebno se može istaći jedna sličnost koja postoji između dva postupka primenjena u ovom radu i u Blasiusovom redu, a koji su, i tu i tamo, od centralnog značaja.

Kao što je poznato, G. Blasius [12] razlaže brzinu potencijalnog strujanja u stepeni red po koordinati "x", koja se duž konture cilindričnog tela meri od prednje zaustavne tačke. Raspored brzina u graničnom sloju, on isto tako traži u vidu stepenog reda po koordinati "x", a sa koeficijentima koji su funkcije od koordinate "y", koje je L. Houart uspeo učiniti univerzalnim. Izvestan broj ovih univerzalnih funkcija tabulisali su K. Himeno, L. Houart, H. Keating i A. Urih.

Slično se moralo postupiti i u ovom radu. Umesto potencijalne brzine, ovde je razlagana brzina prethodnog graničnog sloja " u_g " u red po promenljivoj "z", a sa koeficijentima zavisnim od promenljivih " η " i "x". Kasnije je rešenje parcijalnih jednačina ^{traženo} u vidu reda po promenljivoj "z", dok su koeficijenti sadržali i univerzalne funkcije zavisne od promenljive " η ".

Pri primeni Blasiusovog reda, potencijalna brzina se razlaže u stepeni red, pa se postepenim uzimanjem članova reda, ispituju i crtaju grafici odgovarajućih polinoma dok se ne nađe najbolja "zamena" za tačan izraz potencijalne brzine. Slično se postupalo i u ovom radu u odnosu na brzinu prethodnog graničnog sloja " u_g ".

Ova sličnost sa priznatim Blasiusovim redom, doprinosi pozitivnom utisku o postupku koji je primenjen ovde.

V. DRUGO APROKSIMATIVNO REŠENJE DOPUNSKOG
GRANIČNOG SLOJA

Najpre je nadjeno prvo aproksimativno rešenje dopunskog graničnog sloja, koje odgovara slučaju "kratkotrajnih" prethodnih nestacionarnih kretanja.

Potom se prešlo na analizu dopunskih graničnih slojeva nastalih iz prethodnih nestacionarnih kretanja konačnog trajanja. Uda je glavnu ulogu u čitavoj analizi imala brzina predhodnog graničnog sloja " u_g ". Analiza je pokazala da je neophodno izvršiti prilagodjavanje funkcije " u_g " novim promenljivim dopunskog graničnog sloja ($x, \bar{\eta}, t_1$). Pri pomenutom prilagodjavanju značajna je činjenica da preračunavanja na ko-ve promenljive mora da se obave samo u jednom činiocu iz sastava funkcije " u_g ". Taj činioc je univerzalna funkcija predhodnog nestacionarnog graničnog sloja, zavisna jedino od promenljive " η ".

Ispitivanja univerzalnih funkcija predhodnog graničnog sloja otkrila su da se sve univerzalne funkcije menjaju samo u kratkom rasnaku promenljive " η ", dok su u ostalom ogromnom prostoru definisanosti, te promene zaista minimalne, te se sa dovoljno tačnošću, može uzeti da su te univerzalne funkcije predhodnog graničnog sloja, konstantne.

U radu je uzeto da taj rasnak iznosi: $0 \leq \eta \leq 2,0$, kada se dokazuje da dovoljnu tačnost za praktičnu upotrebu, obezbeđuje i interval $0 \leq \eta \leq 1,25$.

Ova činjenica je doprinela da se i sa samo dva člana uniformno - konvergentnog reda, kojim se mogla izraziti univerzalna funkcija - dobije zadovoljavajuća tačnost transformisanog, "prilagodjenog" oblika funkcije " u_g ".

Tako je rešen i ovaj slučaj. Dobijeni su, sada računski komplikovani, suštinski prirodni rezultati. Profili brzina u graničnom sloju, proračunati na ovaj način, imaju, kako pokazuju dijagrami navedeni u radu, očekivani oblik.

Jedino je gornje delove, u odnosu na konturu tela, ovih profila brzina, bilo teško potpuno dovršiti da asimptotski teže brzini spoljašnjeg strujanja u posmatranoj tački konture cilindra. Pošto poprečna promenljiva "y" deluje na rešenje nestacionarnog graničnog sloja jedino implicitno kroz promenljive "η" i "η̄", njihovo ograničavanje neminovno je moralo dovesti do ovog utiska o nedovršenosti dopunskog graničnog sloja u gornjoj zoni poprečnog pravca.

Dovršavanje rešenja nestacionarnog dopunskog graničnog sloja u "y" - pravcu treba obaviti sledećim potezom, zastupajući ono "u_g", koje je van razmaka $0 \leq \eta < 1,25$. Ispitajući Blaziusova rešenja za "u_g" [12] u intervalu $1,25 \leq \eta < \infty$, dokazuje se da se drugo aproksimativno rešenje dopunskog graničnog sloja može tražiti uzimajući približnost $u_g \approx U_g$. Tada se iz jednačina prvoga i drugoga približenja dopunskog graničnog sloja (1.27) i (1.31), dobijaju sledeće jednačine sa odgovarajućim graničnim uslovima:

$$\left. \begin{aligned} \frac{\partial u_0}{\partial t_1} - \nu \frac{\partial^2 u_0}{\partial y^2} &= \frac{\partial U_d}{\partial t_1} \\ \frac{\partial u_0}{\partial x} + \frac{\partial v_0}{\partial y} &= 0 \end{aligned} \right\} \quad (5.1)$$

$$\left. \begin{aligned} u_0 = 0, \quad y = 0; \quad u_0 = U_d(x, t_1), \quad y = \infty. \\ \frac{\partial u_1}{\partial t_1} - \nu \frac{\partial^2 u_1}{\partial y^2} &= U_d \frac{\partial U_d}{\partial x} + \frac{\partial}{\partial x} (U_s U_d) - (U_s + u_0) \frac{\partial u_0}{\partial x} \\ &\quad - \nu \frac{\partial^2 u_0}{\partial y^2} - u_0 \frac{\partial U_s}{\partial x} \\ \frac{\partial u_1}{\partial x} + \frac{\partial v_1}{\partial y} &= 0 \\ u_1 = 0, \quad y = 0; \quad u_1 = 0, \quad y = \infty. \end{aligned} \right\} \quad (5.2)$$

Ove jednačine će nam poslužiti za određivanje prvog i drugog približenja brzine dopunskog graničnog sloja kod "drugog aproksimativnog rešenja".

Može se napomenuti da ovaj postupak i nema, u punom smislu reči, aproksimativan karakter. Naime, računskim putem je utvrđeno, da "u_g" posle kratkog područja promenljive "η" ($0 \leq \eta \leq 1,25$) postaje, zaista, veoma malo različite od "U_g".

zbog navedene osobine univerzalnih funkcija. A pošto " u_0 " može postati jednako sa " U_0 " jedino na odgovarajućoj udaljenosti od tela - ceo postupak dobija smisao dovršavanja rešenja u " y " - pravou, čime i dopunski nestacionarni granični sloj stiče osobinu asimptotskog nestacionarnog graničnog sloja.

Promatavanjem profila brzina u graničnom sloju će se kasnije sve to i konkretno potvrditi.

2.1. Dopunski trzaj iz prethodnog kretanja trzajem

Cilindrično telo se kretalo trzajem iz stanja mirovanja [$U_0 = U(x)$]. U jednom trenutku njemu je snopšten dopunski trzaj [$U_0 = U(x)$]. Jednačina (5.1) na prvo približenje sada postaje:

$$\frac{\partial u_0}{\partial t} - \nu \frac{\partial^2 u_0}{\partial y^2} = 0$$

sa sledećim graničnim uslovima:

$$u_0 = 0, \quad y = 0; \quad u_0 = U(x), \quad y = \infty.$$

Traženi rešenje ove jednačine u obliku:

$$u_0 = U(x) f_0'(\bar{\eta}) \tag{5.3}$$

za nepoznatu funkciju $f_0'(\bar{\eta})$ dobijamo jednačinu:

$$f_0''' + 2\bar{\eta} f_0'' = 0$$

sa graničnim uslovima:

$$f_0(0) = f_0'(0) = 0, \quad f_0'(\infty) = 1.$$

Njeno rešenje, koje zadovoljava navedene granične uslove je:

$$f_0'(\bar{\eta}) = \frac{2}{\sqrt{\pi}} \int_0^{\bar{\eta}} e^{-\eta^2} d\eta = \text{Erf} \bar{\eta} \tag{5.4}$$

Iz jednačine kontinuiteta sa prvo približenje brzine:

$$\frac{\partial u_0}{\partial x} + \frac{\partial v_0}{\partial y} = 0$$

može se izračunati i druga komponenta " v_0 ":

$$v_0 = -2\sqrt{\nu t} U' f_0(\bar{\eta}) \tag{5.5}$$

gde je poznata funkcija:

$$f_0(\bar{\eta}) = \bar{\eta} \text{Erf} \bar{\eta} - \frac{1}{\sqrt{\pi}} (1 - e^{-\bar{\eta}^2}) \tag{5.6}$$

Umenjujući vrednosti (5.3) i (5.5) u jednačinu (5.2) dobiće se parcijalna jednačina koja određuje drugo približenje brzine:

$$\frac{\partial u_1}{\partial t_1} - \nu \frac{\partial^2 u_1}{\partial y^2} = UU'(3 - 2J_0' - J_0'^2 + J_0 J_0'') \quad (5.7)$$

Ako potražimo rešenje jednačine (5.7) u vidu

$$u_1 = t_1 UU' J_1'(\bar{y}) \quad (5.8)$$

za nepoznatu funkciju $J_1'(\bar{y})$ nastaje jednačina

$$J_1''' + 2\bar{y} J_1'' - 4J_1' = -4(3 - 2J_0' - J_0'^2 + J_0 J_0'') \quad (5.9)$$

sa graničnim uslovima:

$$J_1(0) = J_1'(0) = 0, \quad J_1'(\infty) = 0 \quad (5.10)$$

Ubacujući izraze (5.4) i (5.6) u jednačinu (5.9) dobiće se:

$$J_1''' + 2\bar{y} J_1'' - 4J_1' = -4(\pi_1 \operatorname{Erf} \frac{\bar{y}}{\sqrt{\pi}} + \pi_2 \operatorname{Erf} \bar{y} + \pi_3) \quad (5.11)$$

gde su

$$\pi_1 = -1, \quad \pi_2 = \frac{2}{\sqrt{\pi}} \bar{y} e^{-\bar{y}^2} - 2,$$

$$\pi_3 = \frac{2}{\pi} e^{-2\bar{y}^2} - \frac{2}{\pi} e^{-\bar{y}^2} + 3.$$

Potražimo partikularni integral ove nehomogene diferencijalne jednačine u obliku:

$$J_1'(\bar{y}) = X(\bar{y}) \operatorname{Erf} \frac{\bar{y}}{\sqrt{\pi}} + Y(\bar{y}) \operatorname{Erf} \bar{y} + S(\bar{y}) \quad (5.12)$$

Ovde su X , Y , S nepoznate funkcije koje će se odrediti rešavanjem sledećih jednačina:

$$\left. \begin{aligned} X'' + 2\bar{y} X' - 4X &= 4 \\ Y'' + 2\bar{y} Y' - 4Y &= -\frac{8}{\sqrt{\pi}} X' e^{-\bar{y}^2} - 4\pi_2 \\ S'' + 2\bar{y} S' - 4S &= -\frac{8}{\pi} X e^{-2\bar{y}^2} - \frac{4}{\sqrt{\pi}} Y' e^{-\bar{y}^2} - 4\pi_3 \end{aligned} \right\} \quad (5.13)$$

Rešenje prve jednačine rekursivnog sistema (5.13) je

$$X(\bar{y}) = K_1(1 + 2\bar{y}^2) - 1$$

gde je K_1 proizvoljna konstanta

Zamenjujući ovu vrednost u desnu stranu druge jednačine sistema (5.13) dobićemo:

$$Y'' + 2\bar{y} Y' - 4Y = \left(-\frac{32}{\sqrt{\pi}} K_1 - \frac{8}{\sqrt{\pi}}\right) \bar{y} e^{-\bar{y}^2} + 8$$

Njeno jedno rešenje koje odgovara ovom problemu, glasi:

$$Y(\bar{y}) = \left(\frac{4}{\sqrt{\pi}} K_1 + \frac{1}{\sqrt{\pi}}\right) \bar{y} e^{-\bar{y}^2} - 2$$

Na kraju, rešavajući treću jednačinu sistema (5.13):

$$S'' + 2\bar{y} S' - 4S = \left[\left(\frac{16}{\pi} K_1 + \frac{8}{\pi}\right) \bar{y}^2 - \left(\frac{24}{\pi} K_1 + \frac{4}{\pi}\right)\right] e^{-2\bar{y}^2} + \frac{8}{\pi} e^{-\bar{y}^2} - 12.$$

dokazuje se, da se rešenje ove jednačine, u zatvorenom obliku, može naći samo ako konstanta K_1 ima vrednosti:

$$K_1 = 1/2$$

Tako se, konačno, došlo do odgovarajućih rešenja jednačina (5.13):

$$\left. \begin{aligned} x(\bar{\eta}) &= \bar{\eta}^2 - \frac{1}{2} \\ y(\bar{\eta}) &= \frac{3}{\sqrt{\pi}} \bar{\eta} e^{-\bar{\eta}^2} - 2 \\ S(\bar{\eta}) &= \frac{2}{\sqrt{\pi}} e^{-2\bar{\eta}^2} - \frac{4}{3\pi} e^{-\bar{\eta}^2} + 3 \end{aligned} \right\} \quad (5.14)$$

Bine partikularni integral (5.12) postaje potpuno određen. Pošto su partikularna rešenja homogenog dela diferencijalne jednačine (5.11):

$$(J_{ik})_1 = 1 + 2\bar{\eta}^2$$

$$(J_{ik})_2 = \frac{1}{4}(1 + 2\bar{\eta}^2) \operatorname{Erf} \bar{\eta} + \frac{1}{2\sqrt{\pi}} \bar{\eta} e^{-\bar{\eta}^2}$$

može se formirati opšte rešenje polazne jednačine:

$$J_1(\bar{\eta}) = C_1 (J_{ik})_1 + C_2 (J_{ik})_2 + J_{ip}(\bar{\eta}) \quad (5.15)$$

Koristeći granične uslove (5.10) dolazi se do vrednosti konstanta:

$$C_1 = -\frac{2}{3\pi} - 3, \quad C_2 = \frac{8}{3\pi} + 10$$

Sabirajući izraze (5.3) i (5.8) dolazi se do brzine dopunskog graničnog sloja:

$$u_d = U J_0'(\bar{\eta}) + t_1 U U' J_1'(\bar{\eta}) \quad (5.16)$$

Pošto je brzina prethodnog graničnog sloja poznata [12]

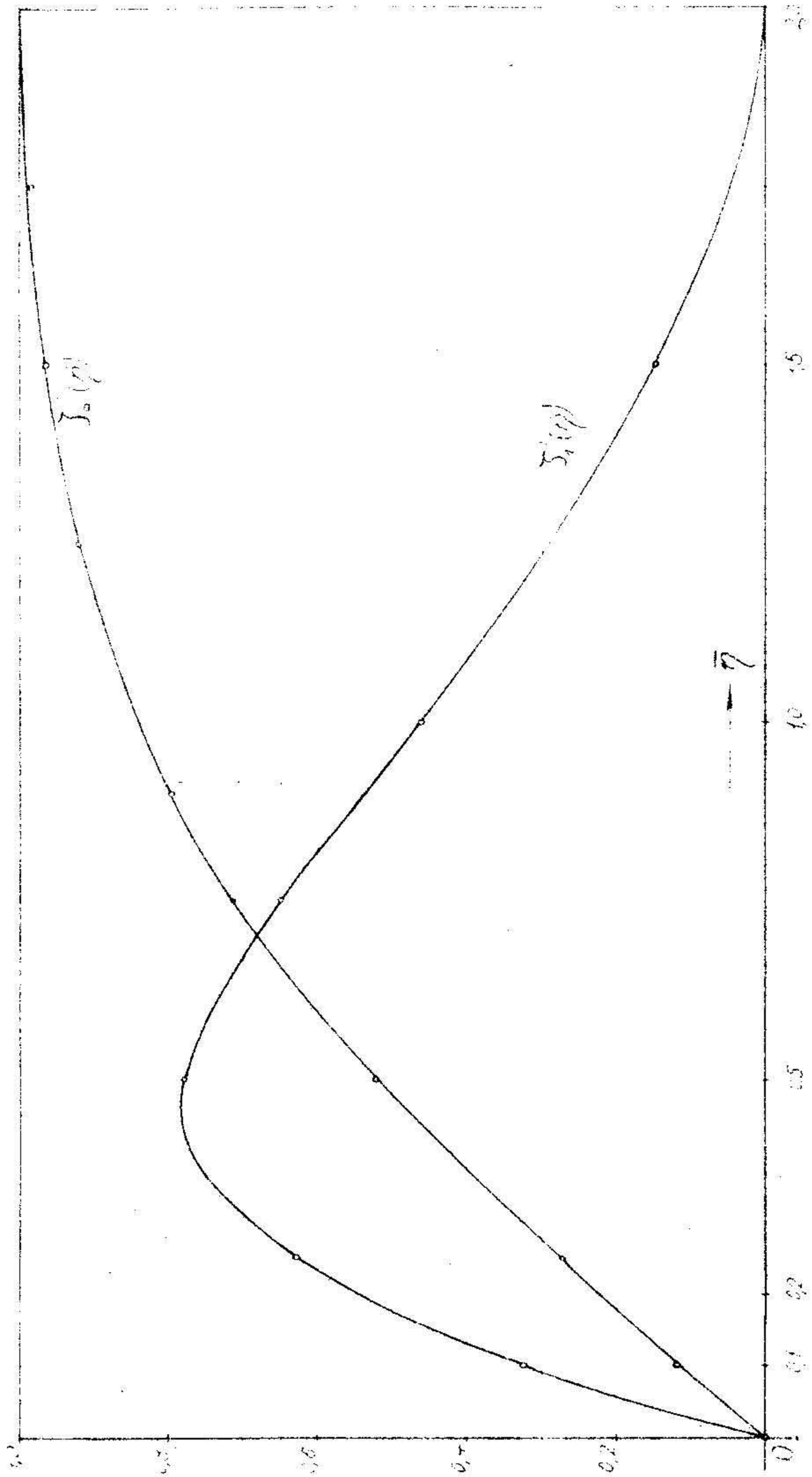
$$u_s = U \frac{2}{\sqrt{\pi}} \int_0^{\bar{\eta}} e^{-x^2} dx = U f_1'(\bar{\eta})$$

ukupna brzina u graničnom sloju iznosi:

$$u = U f_1'(\bar{\eta}) + U J_0'(\bar{\eta}) + t_1 U U' J_1'(\bar{\eta}) \quad (5.17)$$

Univerzalne funkcije (5.4) i (5.15) su i premeđunate i nekoliko njihovih vrednosti su date u tabeli 16. Iste funkcije su prikazane i grafički na sl. 14.

$$U_3 = U(x) ; U_4 = U(x)$$



SI. 14

\bar{z}	$J_0'(\bar{z})$	$J_1'(\bar{z})$
0,10	0,1124	0,3279
0,25	0,2763	0,6346
0,50	0,5205	0,7774
1,0	0,8427	0,4648
1,50	0,9661	0,1449
2,0	0,9953	0,0031

Tabela 16

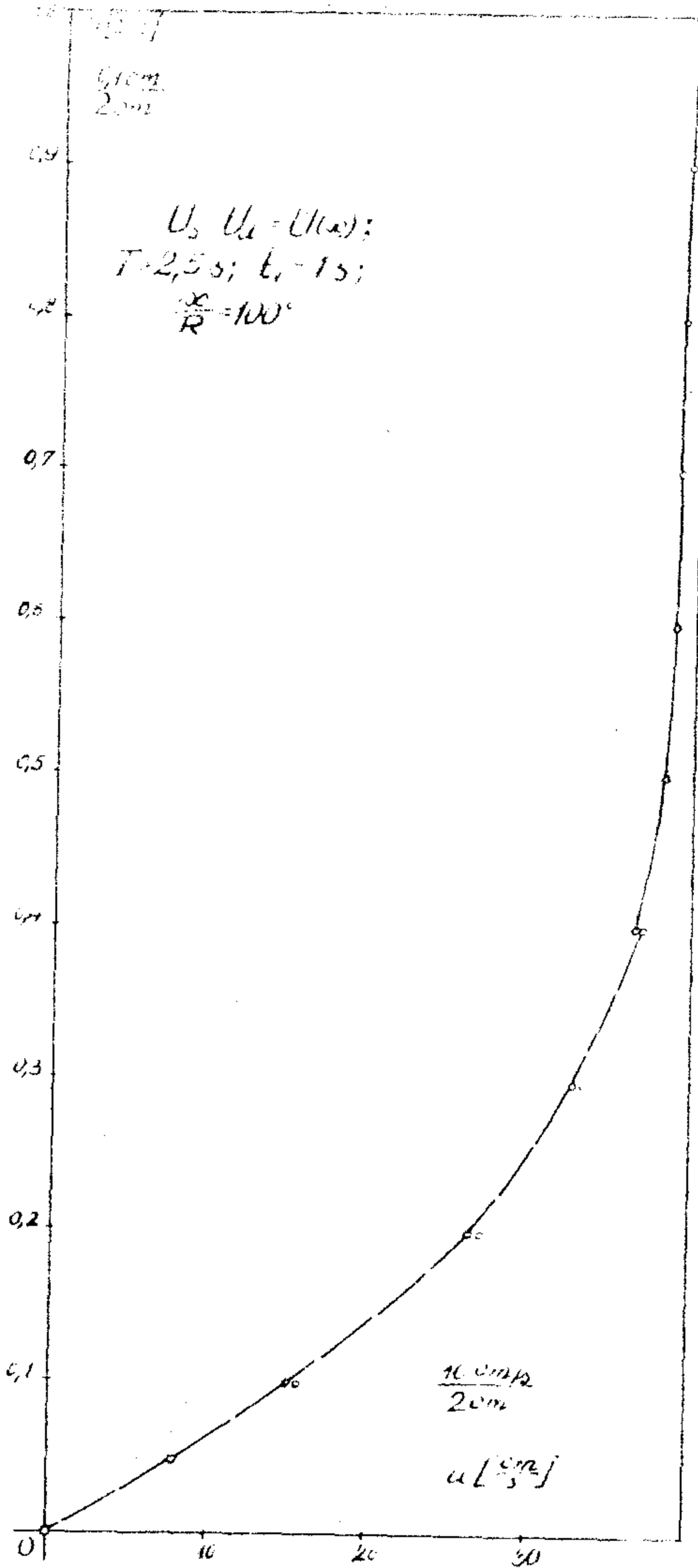
Interesantno je primeniti jednačinu (5.17) u istim trenucima vremena i na istim mestima na konturi kružnog cilindra, kao i u paragrafu prethodnom, treće glave, ovog rada. Tako bi se moglo proveriti slaganje, odnosno odstupanje vrednosti dobivenih ovim načinom i ranijim načinom, i pratiti asimptotički tok profila brzine sa udaljavanjem od konture tela. Uzeće se kružni cilindar radijusa $R = 50$ cm., trzajem ($U_\infty = 10$ cm/s) pokrenut iza predhodnog trzaja ($U_\infty = 10$ cm/s) i izvršće se proračuni brzina u graničnom sloju obrascem (5.17) u nekoliko tačaka na kružnom cilindru i u raznim trenucima:

1° $x/R = 100^\circ$, $T = 2,5$ sec, $t_1 = 1$ sec;

$$u = 19,696 [f_1'(\bar{z}) + J_0'(\bar{z})] - 0,683 J_1'(\bar{z})$$

y [cm]	\bar{z}	\bar{z}	$19,7(f_1'+J_0')$	$0,683 J_1'$	u [cm/s]
0,4	2,0	1,0696	36,7464	0,00210	36,7443
0,5	2,5	1,3370	38,2872	0,00123	38,2660
0,6	3,0	1,6044	38,9863	0,00041	38,9858
0,7	3,5	1,8718	38,9985	0,00034	38,9981
0,8	4,0	2,1392	38,9998	0,000303	38,9995
0,9	4,5	2,4066	39,1554	0,000130	39,1554
1,0	5,0	2,6740	39,3606	0,000070	39,3605

Tabela 17

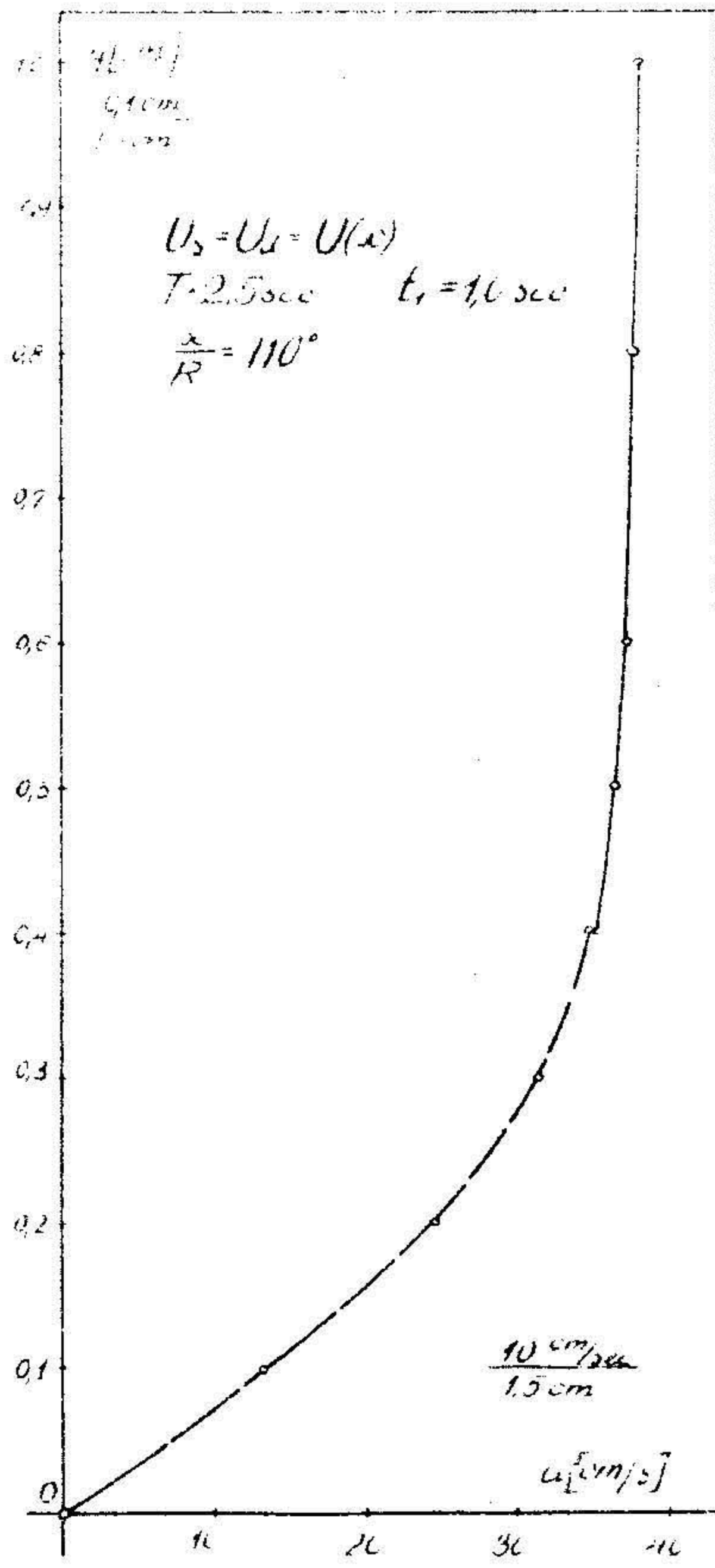


1 gra
is ta
rani
2° x

prilozeni su
i ranijeg raduna
između (5.17) i

0,6	3,0	1,6040	37,2052	0,0015	37,2037
0,8	4,0	2,1390	37,5173	0,0010	37,5163
1,0	5,0	2,6740	37,5624	0,0003	37,5621

Tabela 18



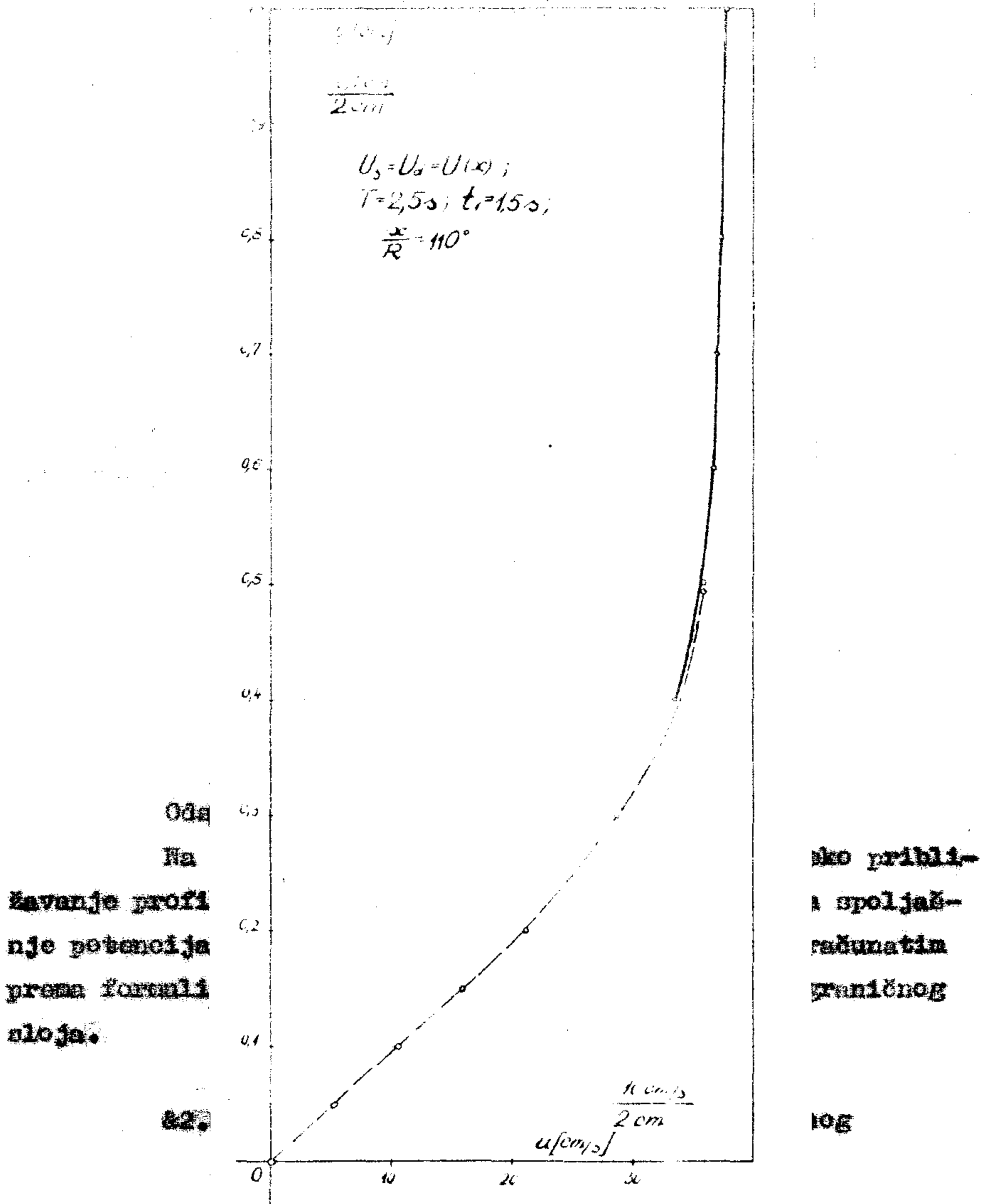
I ovih
nosti iz tabele
prema tabeli 18
jim načinom na
 $\alpha/R = 110^\circ$,

ranijih vred-
nosti) i ovih
ovim i rani-
je.

$$u = 18.8 [f_1'(\eta) + 5.0'(\eta)] - 3.858 5_1'(\eta)$$

y [cm]	η	η	$18.8(f_1' + 5.0')$	$3.858 5_1'$	$u [\frac{cm}{s}]$
0,40	1,64	1,0	34,2668	0,3472	33,9196
0,50	2,05	1,25	36,0640	0,0116	36,0524
0,60	2,46	1,50	36,9157	0,0096	36,9061
0,70	2,87	1,75	37,3218	0,0069	37,3149
0,80	3,28	2,0	37,4910	0,0038	37,4872
1,0	4,10	2,50	37,5568	0,0019	37,5549

Tabela 19



Cilindričnom tekućinom pokretnom kretanjem u jednom mo-
mentu $t_1 = 0$, nepošteno je dopunsko kretanje stalnim ubrzanjem.

Jednačina za prvo približenje, nađu, glasi:

$$\frac{\partial u_0}{\partial t_1} - \nu \frac{\partial^2 u_0}{\partial y^2} = W$$

$$u_0 = 0, y = 0; u_0 = t_1 W, y = \infty.$$

Potražimo njeno rešenje u obliku

$$u_0 = t_1 W J_0'(\bar{\eta}) \quad (5.18)$$

Umetnom izrazu (5.18) u samu jednačinu, dobiće se za određivanje funkcije $J_0'(\bar{\eta})$ obična diferencijalna jednačina:

$$J_0''' + 2\bar{\eta} J_0'' - 4J_0' = -4$$

sa graničnim uslovima:

$$J_0(0) = J_0'(0) = 0, \quad J_0'(\infty) = 1.$$

Njeno rešenje koje ispunjava navedene uslove glasi:

$$J_0'(\bar{\eta}) = (1 + 2\bar{\eta}^2) \operatorname{Erf} \bar{\eta} + \frac{2}{\sqrt{\pi}} \bar{\eta} e^{-\bar{\eta}^2} - 2\bar{\eta}^2 \quad (5.19)$$

Preko jednačine kontinuiteta za prvo približenje, određuje se komponenta "y₀":

$$v_0 = -2t_1 \sqrt{\nu t_1} W' J_0(\bar{\eta}) \quad (5.20)$$

gde je

$$J_0(\bar{\eta}) = \left(\frac{2}{3}\bar{\eta}^3 + \bar{\eta}\right) \operatorname{Erf} \bar{\eta} + \frac{2}{3\sqrt{\pi}} (\bar{\eta}^2 + 1) e^{-\bar{\eta}^2} - \frac{2}{3}\bar{\eta}^3 - \frac{2}{3\sqrt{\pi}} \quad (5.21)$$

Pošto jednačina za drugo približenje krivine ima oblik:

$$\frac{\partial u_1}{\partial t_1} - \nu \frac{\partial^2 u_1}{\partial y^2} = t_1^2 W W' (1 + J_0 J_0'' - J_0'^2) + t_1 (U W' + U' W) (1 - J_0') \quad (5.22)$$

potražimo njeno rešenje u obliku:

$$u_1 = t_1^3 W W' J_1'(\bar{\eta}) + t_1^2 (U W' + U' W) J_2'(\bar{\eta}) \quad (5.23)$$

Zamenom izrazu (5.23) u jednačinu (5.22), pa upoređivanjem oboju strana jednačine, dobićemo:

$$\left. \begin{aligned} J_1''' + 2\bar{\eta} J_1'' - 12J_1' &= -4(1 + J_0 J_0'' - J_0'^2) \\ J_1(0) = J_1'(0) &= 0, \quad J_1'(\infty) = 0. \end{aligned} \right\} \quad (5.24)$$

$$\left. \begin{aligned} J_2''' + 2\bar{\eta} J_2'' - 8J_2' &= -4(1 - J_0') \\ J_2(0) = J_2'(0) &= 0, \quad J_2'(\infty) = 0. \end{aligned} \right\} \quad (5.25)$$

Rešimo ove jednačine:

1° Pošto je:

$$J_0'' = 4\bar{\eta} \operatorname{Erf} \bar{\eta} + \frac{4}{\sqrt{\pi}} e^{-\bar{\eta}^2} - 4\bar{\eta}$$

zamenjujući ovu i vrednosti (5.19) i (5.21) u desnu stranu jednačine (5.24) dobiće se:

$$J_1''' + 2\bar{\eta} J_1'' - 12J_1' = \pi_1 \operatorname{Erf} \bar{\eta} + \pi_2 \operatorname{Erf} \bar{\eta} + \pi_3 \quad (5.26)$$

gde su:

$$\begin{aligned} \mathcal{T}_1 &= \frac{16}{3} \bar{\eta}^4 + 4, \quad \mathcal{T}_2 = \left(\frac{32}{3\sqrt{\pi}} \bar{\eta}^3 - \frac{32}{3\sqrt{\pi}} \bar{\eta} \right) e^{-\bar{\eta}^2} - \frac{32}{3} \bar{\eta}^4 + \frac{32}{3\sqrt{\pi}} \bar{\eta} \\ \mathcal{T}_3 &= \left(\frac{16}{3\sqrt{\pi}} \bar{\eta}^2 - \frac{32}{3\pi} \right) e^{-2\bar{\eta}^2} + \left(\frac{32}{3\pi} + \frac{32}{3\sqrt{\pi}} \bar{\eta} - \frac{32}{3\sqrt{\pi}} \bar{\eta}^3 \right) e^{-\bar{\eta}^2} + \frac{16}{3} \bar{\eta}^4 - \frac{32}{3\sqrt{\pi}} \bar{\eta} - 4 \end{aligned}$$

S obzirom na oblik desno strane jednačine (5.26), potražimo partikularni integral te jednačine u vidu:

$$J_{sp}'(\bar{\eta}) = X \operatorname{Erf} \frac{\bar{\eta}}{2} + Y \operatorname{Erf} \bar{\eta} + S \quad (5.27)$$

radi potpunog određivanja funkcije (5.27) treba rešiti diferencijalno jednačine:

$$\begin{aligned} X'' + 2\bar{\eta}X' - 12X &= \mathcal{T}_1 \\ Y'' + 2\bar{\eta}Y' - 12Y &= -\frac{8}{\sqrt{\pi}} X' e^{-\bar{\eta}^2} + \mathcal{T}_2 \\ S'' + 2\bar{\eta}S' - 12S &= -\frac{8}{\pi} X e^{-2\bar{\eta}^2} - \frac{4}{\sqrt{\pi}} Y' e^{-\bar{\eta}^2} + \mathcal{T}_3 \end{aligned} \quad (5.28)$$

Zamenjujući rešenje prve jednačine sistema (5.28):

$$X = K_1 \left(1 + 6\bar{\eta}^2 + 4\bar{\eta}^4 + \frac{8}{15}\bar{\eta}^6 \right) - \frac{4}{3}\bar{\eta}^4 - 2\bar{\eta}^2 - \frac{2}{3}$$

u drugu jednačinu ovoga sistema, dobije se:

$$\begin{aligned} Y'' + 2\bar{\eta}Y' - 12Y &= \left[-\frac{128}{5\sqrt{\pi}} K_1 \bar{\eta}^5 + \left(\frac{160}{3\sqrt{\pi}} - \frac{128}{\sqrt{\pi}} K_1 \right) \bar{\eta}^3 + \right. \\ &\quad \left. + \left(\frac{64}{3\sqrt{\pi}} - \frac{96}{\sqrt{\pi}} K_1 \right) \bar{\eta} \right] e^{-\bar{\eta}^2} - \frac{32}{3} \bar{\eta}^4 + \frac{32}{3\sqrt{\pi}} \bar{\eta} \end{aligned}$$

Rešenje ove jednačine je:

$$\begin{aligned} Y &= \left[\left(\frac{44}{5\sqrt{\pi}} K_1 - \frac{7}{3\sqrt{\pi}} \right) \bar{\eta} + \left(\frac{112}{15\sqrt{\pi}} K_1 - \frac{8}{3\sqrt{\pi}} \right) \bar{\eta}^3 + \frac{16}{15\sqrt{\pi}} K_1 \bar{\eta}^5 \right] e^{-\bar{\eta}^2} + \\ &\quad + \frac{8}{3} \bar{\eta}^4 + 4\bar{\eta}^2 - \frac{16}{15\sqrt{\pi}} \bar{\eta} + \frac{2}{3} \end{aligned}$$

Smenom vrednosti za X i Y u treću jednačinu sistema (5.28) dobije se jednačina:

$$\begin{aligned} S'' + 2\bar{\eta}S' - 12S &= \left[\frac{64}{15\sqrt{\pi}} K_1 \bar{\eta}^6 + \left(\frac{32}{5\pi} K_1 - \frac{32}{3\pi} \right) \bar{\eta}^4 + \right. \\ &\quad \left. + \left(-\frac{336}{5\pi} K_1 + \frac{104}{3\pi} \right) \bar{\eta}^2 + \left(-\frac{216}{5\pi} K_1 + \frac{4}{\pi} \right) \right] e^{-2\bar{\eta}^2} + \left(-\frac{160}{3\sqrt{\pi}} \bar{\eta}^3 - \right. \\ &\quad \left. - \frac{64}{3\sqrt{\pi}} \bar{\eta} + \frac{224}{15\pi} \right) e^{-\bar{\eta}^2} + \frac{16}{3} \bar{\eta}^4 - \frac{32}{3\sqrt{\pi}} \bar{\eta} - 4 \end{aligned}$$

Predstavljajući partikularno rešenje ove jednačine u vidu zbira:

$$S_p(\bar{\eta}) = S_{p1}(\bar{\eta}) + S_{p2}(\bar{\eta}) + S_{p3}(\bar{\eta})$$

pri traženju prvog sabirka

$$S_{p1}(\bar{\eta}) = (a_0 + a_1 \bar{\eta} + a_2 \bar{\eta}^2 + a_3 \bar{\eta}^3 + a_4 \bar{\eta}^4) e^{-2\bar{\eta}^2}$$

dolazi se do uslova da konstanta K_1 mora imati vrednosti:

$$K_1 = 5/12$$

da bi se ovaj deo partikularnog rešenja mogao naći u ovakvom obliku: Tako se dobijot

$$S_{p1}(\bar{\eta}) = \frac{1}{9\pi} (2\bar{\eta}^4 + \bar{\eta}^2 + 8) e^{-2\bar{\eta}^2}$$

Do druga dva dela partikularnog integrala jednačine za S, lakše se dolazi:

$$S_{p2}(\bar{\eta}) = \left(\frac{8}{3\sqrt{\pi}} \bar{\eta}^3 + \frac{7}{3\sqrt{\pi}} \bar{\eta} - \frac{16}{15\pi} \right) e^{-\bar{\eta}^2}$$

$$S_{p3}(\bar{\eta}) = -\frac{4}{3} \bar{\eta}^4 - 2\bar{\eta}^2 + \frac{16}{15\sqrt{\pi}} \bar{\eta}$$

Ovim je, konačno, partikularno rešenje (5.27) jednačine (5.26) odredjeno.

Kako su dva partikularna integrala homogenog dela jednačine (5.26):

$$(\mathcal{J}'_k)_1 = 1 + 6\bar{\eta}^2 + 4\bar{\eta}^4 + \frac{8}{15} \bar{\eta}^6$$

$$(\mathcal{J}'_k)_2 = \frac{1}{384} (1 + 6\bar{\eta}^2 + 4\bar{\eta}^4 + \frac{8}{15} \bar{\eta}^6) (1 - \text{Erf} \bar{\eta}) - \frac{1}{720\sqrt{\pi}} (\bar{\eta}^5 + 7\bar{\eta}^3 + \frac{33}{4} \bar{\eta}) e^{-\bar{\eta}^2}$$

opšte rešenje polazne diferencijalne jednačine glasi:

$$\mathcal{J}'_1(\bar{\eta}) = C_1 (\mathcal{J}'_k)_1 + C_2 (\mathcal{J}'_k)_2 + \mathcal{J}'_{p1}(\bar{\eta}) \quad (5.29)$$

Zbog graničnog uslova (5.24), konstante moraju imati vrednosti:

$$C_1 = -5/12, \quad C_2 = 1024/15\pi + 288$$

2° Jednačina (5.25) uz pomoć izraza (5.19) postaje:

$$\mathcal{J}_2''' + 2\bar{\eta} \mathcal{J}_2'' - 8\mathcal{J}_2' = 4(1 + 2\bar{\eta}^2) \text{Erf} \bar{\eta} + \frac{8}{\sqrt{\pi}} \bar{\eta} e^{-\bar{\eta}^2} - 4(1 + 2\bar{\eta}^2) \quad (5.30)$$

Ako se pretpostavi partikularno rešenje jednačine (5.30) u ob-

$$\text{liku: } \mathcal{J}_{2p}(\bar{\eta}) = X \text{Erf} \bar{\eta} + S \quad (5.31)$$

i reše diferencijalne jednačine za nepoznate funkcije X i S:

$$X'' + 2\bar{\eta} X' - 8X = 4(1 + 2\bar{\eta}^2)$$

$$S'' + 2\bar{\eta} S' - 8S = -\frac{4}{\sqrt{\pi}} X' e^{-\bar{\eta}^2} + \frac{8}{\sqrt{\pi}} \bar{\eta} e^{-\bar{\eta}^2} - 4(1 + 2\bar{\eta}^2) \quad (5.32)$$

dobiće se vrednosti:

$$X = -(1 + 2\bar{\eta}^2)$$

$$S = (1 + 2\bar{\eta}^2) - \frac{2}{\sqrt{\pi}} \bar{\eta} e^{-\bar{\eta}^2}$$

na kojima je partikularno rešenje (5.31) određeno.

Opšte rešenje jednačina (5.30) je:

$$J_2'(\eta) = C_1(1 + 4\eta^2 + \frac{4}{3}\eta^4) + C_2 \left[\frac{1}{32}(1 + 4\eta^2 + \frac{4}{3}\eta^4)(1 - \text{Erf}(\eta)) - \frac{1}{24\sqrt{\pi}} \left[\frac{5}{2}\eta + \eta^3 \right] e^{-\eta^2} \right] - (1 + 2\eta^2) \text{Erf}(\eta) - \frac{2}{\sqrt{\pi}} \eta e^{-\eta^2} + (1 + 2\eta^2) \quad (5.33)$$

Činioci uz konstante C_1 i C_2 su partikularna rešenja homogenog dela jednačine (5.30). Iz graničnih uslova, prema vezi (5.25), dobiće se:

$$C_1 = 0, \quad C_2 = -32.$$

Zbir izraza (5.18) i (5.23) predstavlja brzinu dopunskog graničnog sloja:

$$u_2 = t_1 W J_0'(\eta) + t_1^3 W W' J_1'(\eta) + t_1^2 (U W' + U' W) J_2'(\eta) \quad (5.34)$$

a dodajući joj brzinu prethodnog graničnog sloja:

$$u_0 = U \frac{2}{\sqrt{\pi}} \int_0^{\eta} e^{-x^2} dx = U f_1'(\eta)$$

imaćemo ukupnu brzinu u graničnom sloju:

$$u = U f_1'(\eta) + t_1 W J_0'(\eta) + t_1^2 (U W' + U' W) J_2'(\eta) + t_1^3 W W' J_1'(\eta) \quad (5.35)$$

Univerzalne funkcije (5.19), (5.29) i (5.33) konstruisane su i date grafički, a nekoliko njihovih vrednosti navedene su i u sledećoj tabeli.

Primeru radi pročešunat je granični sloj na kružnom cilindru radijusa R , pokrenutom trzajem ($U = 2U_{\infty} \sin x/R$) a potom i dopunskim stalnim ubrzanjem ($W = 2V_0 \sin x/R$) - u tački $x/R = 100^\circ$, i u trenutku: $t = 2$ sec, $t_1 = 1$ sec. Ostali brojni podaci su: $U_{\infty} = 10$ cm/s, $V_0 = 10$ cm/s², $R = 50$ cm. Za ove podatke, iz izraza (5.35) dobije se, konačno:

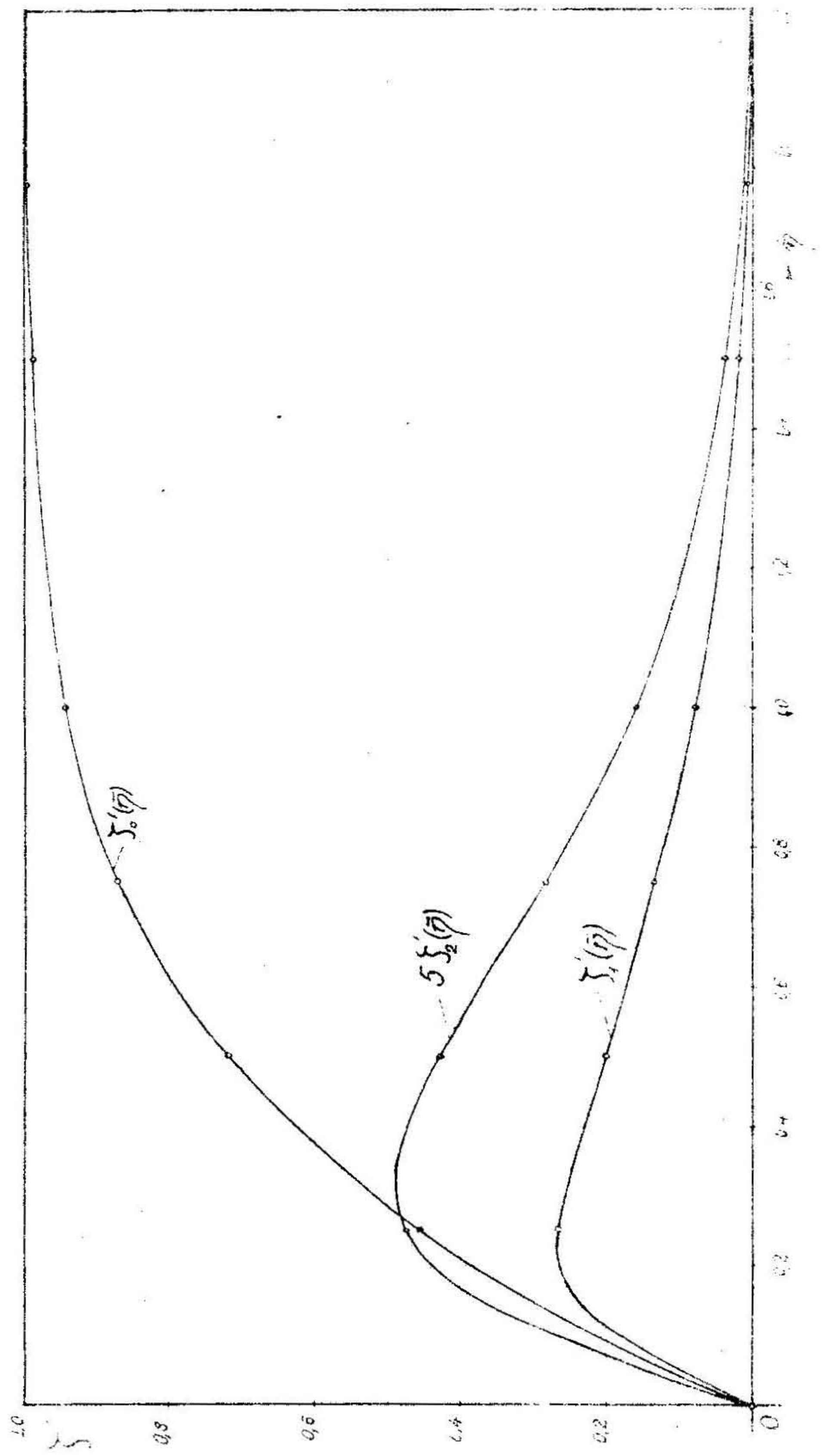
$$u = 19,7 [f_1'(\eta) + J_0'(\eta)] - 2,734 J_2'(\eta) - 1,367 J_1'(\eta)$$

Dalji proračun prikazan je tabelom 21, a potom je na sl. 19 nacrtan profil brzina gde su korišćeni i rezultati ranijeg računa, prema tabeli 14. Odstupanja vrednosti brzina prema izrazu (5.35) i ranijem načinu, prema kome je sračunata tabela 8., pri $y = 0,4$ cm, iznosi oko 0,17%. Zadovoljavajuće spajanje ovih rešenja u okolini mesta $y = 0,4$ cm, i sa sl. 19 je očigledno.

\bar{x}	$S_0'(\bar{x})$	$S_1'(\bar{x})$	$S_2'(\bar{x})$
0,25	0,45050	0,26261	0,09282
0,50	0,71940	0,19558	0,08563
0,75	0,86810	0,12923	0,05584
1,0	0,94400	0,07073	0,03120
1,50	0,99150	0,02180	0,00454
1,75	0,99300	0,01130	0,00410
2,0	0,99600	0,00128	0,00006

Tabela 20

$U_2, U(x), U_0, t, W(x)$

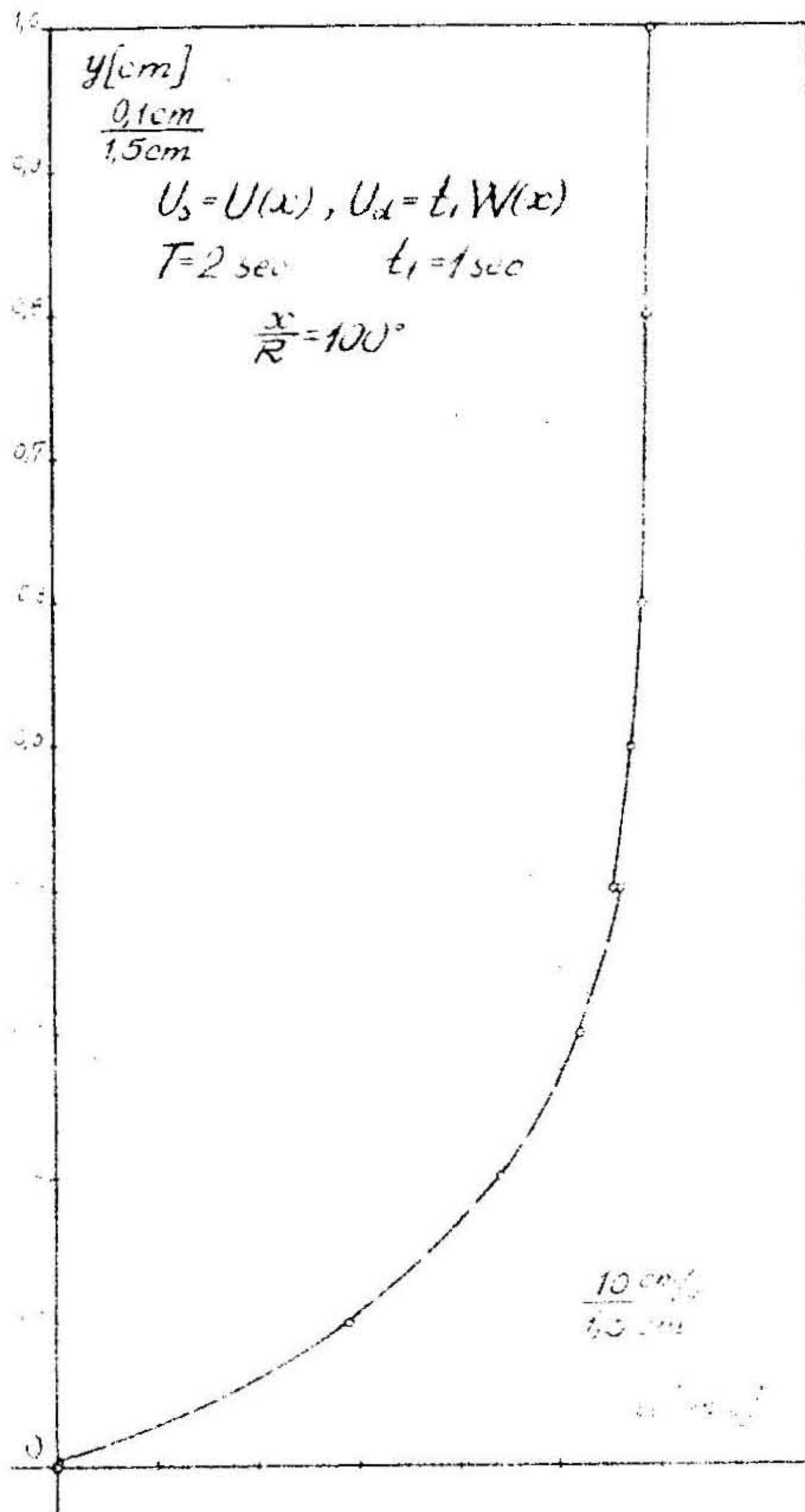


SL. 18

$\frac{x}{R} = 100^\circ, T = 2 \text{ s}, t_1 = 1 \text{ s}:$

y [cm]	η	$\bar{\eta}$	$f_1'(\eta)$	$S_0'(\eta)$	$S_1'(\eta)$	$S_2'(\eta)$	$19,7(f_1' + S_0')$	$1,367 S_1'$	$2,734 S_2'$	u [cm/s]
0,3	0,867	1,50	0,780	0,9915	0,0218	0,00454	34,8985	0,0298	0,01241	34,8563
0,4	1,156	2,0	0,900	0,9960	0,00128	0,00060	37,3512	0,00175	0,00164	37,3478
0,5	1,445	2,50	0,957	0,9980	0,00115	0,00005	38,5135	0,00157	0,00014	38,5118
0,6	1,734	3,0	0,988	0,9988	0,00110	0,00003	39,1349	0,00150	0,00008	39,1384
0,8	2,312	4,0	0,997	0,9990	0,00100	0,00002	39,3212	0,00137	0,00005	39,3198
1,0	2,890	5,0	0,998	0,9995	0,00050	0,00001	39,3507	0,00068	0,00003	39,3500

Tabela 21



5.3. Brzaj ina jednako-ubranog kretanja

Cilindrično telo se kretalo stalnim ubrzanjem iz stanja mirovanja $[U_0 = tW(x)]$. U jednom trenutku njemu je saopšten dopunski brzaj $[U_0 = U(x)]$. Jednačina (5.1) za prvo približenje eada, glasi:

$$\frac{\partial u_0}{\partial t_1} - \nu \frac{\partial^2 u_0}{\partial y^2} = 0$$

a granični uslovi su:

$$u = 0, y = 0; u = U(x), y = \infty.$$

Ako potražimo rešenje ove jednačine u obliku:

$$u = U(x) J_0'(\bar{\eta}) \tag{5.36}$$

funkcija $J_0'(\bar{\eta})$ imaće vrednost (5.4). Druga komponenta brzine prvoga približenja ima vrednost (5.5), pa jednačina za drugo približenje (5.2) postaje:

$$\frac{\partial u_1}{\partial t_1} - \nu \frac{\partial^2 u_1}{\partial y^2} = UU' \Pi_1(\bar{\eta}) + T(U'W + UW') \Pi_2(\bar{\eta}) + t_1(U'W + UW') \Pi_3(\bar{\eta}) \tag{5.37}$$

gde su poznate funkcije:

$$\Pi_1 = 1 - J_0'^2 + J_0 J_0'', \quad \Pi_2 = \Pi_3 = 1 - J_0'$$

tražeći rešenje jednačine (5.37) u obliku:

$$u_1 = t_1 [UU' J_1'(\bar{\eta}) + T(UW' + U'W) J_2'(\bar{\eta})] + t_1^2 (U'W + UW') J_3'(\bar{\eta}) \tag{5.38}$$

iz jednačine (5.37) dobiće se:

$$\left. \begin{aligned} J_1''' + 2\bar{\eta} J_1'' - 4J_1' &= -4\Pi_1(\bar{\eta}) \\ J_2''' + 2\bar{\eta} J_2'' - 4J_2' &= -4\Pi_2(\bar{\eta}) \\ J_3''' + 2\bar{\eta} J_3'' - 8J_3' &= -4\Pi_3(\bar{\eta}) \end{aligned} \right\} \tag{5.39}$$

sa graničnim uslovima:

$$\left. \begin{aligned} J_1(0) = J_1'(0) = J_1'(\infty) &= 0 \\ J_2(0) = J_2'(0) = J_2'(\infty) &= 0 \\ J_3(0) = J_3'(0) = J_3'(\infty) &= 0 \end{aligned} \right\} \tag{5.40}$$

Rešenje prve jednačine sistema (5.39):

$$J_1''' + 2\bar{\eta} J_1'' - 4J_1' = 4 \operatorname{Erf} \bar{\eta} + \frac{8}{\pi} e^{-\bar{\eta}^2} - \frac{8}{\sqrt{\pi}} \bar{\eta} e^{-\bar{\eta}^2} \operatorname{Erf} \bar{\eta} - \frac{8}{\pi} e^{-2\bar{\eta}^2} - 4$$

koje ispunjava odgovarajući granični uslov (5.40) je:

$$J_1''' + 2\bar{\eta} J_1'' - 4J_1' = -4\Gamma_1(\bar{\eta})$$

$$J_1' = C_1(1 + 2\bar{\eta}^2) + C_2 \left[\frac{1}{4}(1 + 2\bar{\eta}^2) \operatorname{Erf} \bar{\eta} + \frac{1}{2\sqrt{\pi}} \bar{\eta} e^{-\bar{\eta}^2} \right] +$$

$$+ (\bar{\eta}^2 - \frac{1}{2}) \operatorname{Erf} \bar{\eta} + \frac{3}{\sqrt{\pi}} \bar{\eta} e^{-\bar{\eta}^2} \operatorname{Erf} \bar{\eta} + \frac{2}{\pi} e^{-2\bar{\eta}^2} - \frac{4}{3\pi} e^{-\bar{\eta}^2} + 1$$

$$C_1 = -\frac{2}{3\pi} - 1, \quad C_2 = \frac{6}{3\pi} + 2.$$

Rešenje druge jednačine sistema (5.39):

$$J_2''' + 2\bar{\eta} J_2'' - 4J_2' = -4\Gamma_2(\bar{\eta})$$

$$J_2' = C_1(1 + 2\bar{\eta}^2) + C_2 \left[\frac{1}{4}(1 + 2\bar{\eta}^2) \operatorname{Erf} \bar{\eta} + \frac{1}{2\sqrt{\pi}} \bar{\eta} e^{-\bar{\eta}^2} \right] - \operatorname{Erf} \bar{\eta} + 1$$

$$C_1 = -1, \quad C_2 = 4,$$

a treće:

$$J_3''' + 2\bar{\eta} J_3'' - 8J_3' = -4\Gamma_3(\bar{\eta})$$

$$J_3' = C_1(1 + 4\bar{\eta}^2 + \frac{4}{3}\bar{\eta}^4) + C_2 \left[\frac{1}{32}(1 + 4\bar{\eta}^2 + \frac{4}{3}\bar{\eta}^4)(1 - \right.$$

$$\left. - \operatorname{Erf} \bar{\eta}) - \frac{1}{24\sqrt{\pi}} (\frac{5}{2}\bar{\eta} + \bar{\eta}^3) e^{-\bar{\eta}^2} \right] - \frac{1}{2} \operatorname{Erf} \bar{\eta} + \frac{1}{2}$$

$$C_1 = 0, \quad C_2 = -16.$$

Ubir funkcija (5.36) i (5.38) određuje brzinu dopunskog graničnog sloja. Kako je, prema Klazijumu [12] brzina prethodnog graničnog sloja definisana izrazom

$$u_s = (T + t_1) W(x) f_1'(\eta)$$

rezultujuća brzina u graničnom sloju, u ovom slučaju, imaće vrednosti:

$$u = (T + t_1) W f_1'(\eta) + U J_0'(\bar{\eta}) + t_1 [U U' J_1'(\bar{\eta}) +$$

$$+ T(U W' + U' W) J_2'(\bar{\eta})] + t_1^2 (U W' + U' W) J_3'(\bar{\eta}) \quad (5.41)$$

4.4. Jednako-ubrzano kretanje, iza prethodnog kretanja konstantnim ubrzanjem

U ovakvom slučaju funkcije U_s i U_d imaju vrednosti:

$$U_s = t W(x), \quad U_d = t_1 W(x)$$

pa jednačina (5.1) za prvo približenje postaje:

$$\frac{\partial u_0}{\partial t_1} - \nu \frac{\partial^2 u_0}{\partial y^2} = W$$

Njeno rešenje možemo naći u vidu:

$$u_0 = t_1 W(x) J_0'(\bar{\eta}) \quad (5.42)$$

gde $J_0'(\bar{\eta})$ ima vrednost (5.19), a druga komponenta V_0 vrednost

Stoga jednačina za drugo približenje brzine u graničnom sloju ima oblik:

$$\frac{\partial u_1}{\partial t_1} - \nu \frac{\partial^2 u_1}{\partial y^2} = t_1 2TW W' \Pi_1(\bar{\eta}) + t_1^2 WW' \Pi_2(\bar{\eta})$$

gde su: $\Pi_1(\bar{\eta}) = 1 - J_0'$, $\Pi_2(\bar{\eta}) = 3 - 2J_0' - J_0'^2 + J_0 J_0''$

Ako potražimo rešenja ove jednačine u obliku:

$$u_1 = t_1^2 2TW W' J_1'(\bar{\eta}) + t_1^3 WW' J_2'(\bar{\eta}) \quad (5.43)$$

nepoznate funkcije $J_1'(\bar{\eta})$ i $J_2'(\bar{\eta})$ zadovoljavaju jednačine:

$$\begin{aligned} J_1''' + 2\bar{\eta} J_1'' - 8J_1' &= -4\Pi_1(\bar{\eta}) \\ J_2''' + 2\bar{\eta} J_2'' - 12J_2' &= -4\Pi_2(\bar{\eta}) \end{aligned} \quad (5.44)$$

i graničnih uslova:

$$\begin{aligned} J_1(0) = J_1'(0) = J_1'(\infty) &= 0 \\ J_2(0) = J_2'(0) = J_2'(\infty) &= 0 \end{aligned} \quad (5.45)$$

Rešenje prve jednačine sistema (5.44):

$$J_1''' + 2\bar{\eta} J_1'' - 8J_1' = (4 + 8\bar{\eta}^2) \text{Erf} \bar{\eta} + \frac{8}{\sqrt{\pi}} \bar{\eta} e^{-\bar{\eta}^2} - 8\bar{\eta}^2 - 4$$

koje ispunjava odgovarajući uslov prema (5.45) je:

$$\begin{aligned} J_1' &= C_1 \left(1 + 4\bar{\eta}^2 + \frac{4}{3}\bar{\eta}^4\right) + C_2 \left[\frac{1}{32} \left(1 + 4\bar{\eta}^2 + \frac{4}{3}\bar{\eta}^4\right) (1 - \text{Erf} \bar{\eta}) - \right. \\ &\quad \left. - \frac{1}{24\sqrt{\pi}} \left(\frac{5}{2}\bar{\eta} + \bar{\eta}^3\right) e^{-\bar{\eta}^2} \right] - (1 + 2\bar{\eta}^2) \text{Erf} \bar{\eta} - \frac{2}{\sqrt{\pi}} \bar{\eta} e^{-\bar{\eta}^2} + 2\bar{\eta}^2 + 1 \\ C_1 &= 0, \quad C_2 = -32 \end{aligned}$$

Rešenje druge jednačine sistema (5.44) je:

$$\begin{aligned} J_2'(\bar{\eta}) &= C_1 \left(1 + 6\bar{\eta}^2 + 4\bar{\eta}^4 + \frac{8}{15}\bar{\eta}^6\right) + C_2 \left[\frac{1}{384} \left(1 + 6\bar{\eta}^2 + 4\bar{\eta}^4 + \right. \right. \\ &\quad \left. \left. + \frac{8}{15}\bar{\eta}^6\right) (1 - \text{Erf} \bar{\eta}) - \frac{1}{720\sqrt{\pi}} \left(\bar{\eta}^5 + 7\bar{\eta}^3 + \frac{33}{4}\bar{\eta}\right) e^{-\bar{\eta}^2} \right] + \\ &\quad + \left[K_1 \left(1 + 6\bar{\eta}^2 + 4\bar{\eta}^4 + \frac{8}{15}\bar{\eta}^6\right) - \frac{4}{3}\bar{\eta}^4 - 2\bar{\eta}^2 - \frac{2}{3} \right] \text{Erf} \bar{\eta} + \\ &\quad + \left[\left[\left(\frac{44}{5\sqrt{\pi}} K_1 - \frac{7}{3\sqrt{\pi}} \right) \bar{\eta} + \left(\frac{112}{15\sqrt{\pi}} K_1 - \frac{8}{3\sqrt{\pi}} \right) \bar{\eta}^3 + \frac{16}{15\sqrt{\pi}} K_1 \bar{\eta}^5 \right] e^{-\bar{\eta}^2} + \right. \\ &\quad \left. + \frac{8}{3}\bar{\eta}^4 + 2\bar{\eta}^2 - \frac{16}{15\sqrt{\pi}} \bar{\eta} - \frac{1}{3} \right] \text{Erf} \bar{\eta} + \frac{1}{9\pi} \left(2\bar{\eta}^4 + \bar{\eta}^2 + 8\right) e^{-2\bar{\eta}^2} + \\ &\quad + \left(\frac{8}{3\sqrt{\pi}} \bar{\eta}^3 + \frac{1}{3\sqrt{\pi}} \bar{\eta} - \frac{16}{15\pi} \right) e^{-\bar{\eta}^2} - \frac{4}{3}\bar{\eta}^4 + \frac{16}{15\sqrt{\pi}} \bar{\eta} + 1 \\ C_1 &= -K_1 = -\frac{5}{12}, \quad C_2 = \frac{1024}{15\pi} - 224 \end{aligned}$$

Prema tome, ovako određena univerzalnim funkcijama,

brzina u graničnom sloju postaje potpuno definisana:

$$u = (\tau + t_1) W f_1'(\bar{\eta}) + t_1 W J_0'(\bar{\eta}) + t_1^2 2TW W' J_1'(\bar{\eta}) + t_1^3 WW' J_2'(\bar{\eta}) \quad (5.46)$$

25. Stepeno-ubrzanano kretanje, iza trzaja

U slučaju da se cilindrično telo prvobitno kretalo trzajem $[U_0 = U(x)]$, a zatim mu saopšteno dopunsko kretanje po zakonu $U_0 = At_1^\alpha W(x)$, iz jednačine (5.1) za prvo približenje brzine dopunskog graničnog sloja, dobija se:

$$\frac{\partial u_0}{\partial t_1} - \nu \frac{\partial^2 u_0}{\partial y^2} = A\alpha t_1^{\alpha-1} W \quad (5.47)$$

sa graničnim uslovima:

$$u_0 = 0, \quad y=0; \quad u_0 = U_0, \quad y=\infty.$$

Ako potražimo rešenje ove jednačine u obliku:

$$u_0 = At_1^\alpha W(x) \Phi_0'(\bar{\eta}) \quad (5.48)$$

za određivanje funkcije $\Phi_0'(\bar{\eta})$, zamenjujući izraza (5.48) u (5.47), dobiće se diferencijalna jednačina:

$$\Phi_0''' + 2\bar{\eta} \Phi_0'' - 4\alpha \Phi_0' = -4\alpha \quad (5.49)$$

sa uslovima:

$$\Phi_0(0) = \Phi_0'(0) = 0, \quad \Phi_0'(\infty) = 1. \quad (5.50)$$

Rešenje jednačina (5.49) koje ispunjava uslove (5.50) je:

$$\Phi_0'(\bar{\eta}) = 1 - 2^{2\alpha} \Gamma(\alpha+1) g_\alpha(\bar{\eta}) \quad (5.51)$$

gde je

$$g_\alpha(\bar{\eta}) = \frac{2}{\sqrt{\pi} \Gamma(2\alpha+1)} \int_0^{\bar{\eta}} (x-\eta)^{2\alpha} e^{-x^2} dx \quad (5.52)$$

Kada se iz jednačine kontinuiteta $\frac{\partial u_0}{\partial x} + \frac{\partial v_0}{\partial y} = 0$ odredi druga projekcija brzine:

$$v_0 = -At_1^\alpha W' 2\sqrt{\nu t_1} \Phi_0(\bar{\eta})$$

može se obrazovati jednačina za drugo približenje brzine u graničnom sloju:

$$\frac{\partial u_1}{\partial t_1} - \nu \frac{\partial^2 u_1}{\partial y^2} = At_1^\alpha (UW' + U'W)/(1-\Phi_0') + A^2 t_1^{2\alpha} WW'(1-\Phi_0'^2 + \Phi_0 \Phi_0'') \quad (5.53)$$

koju treba rešiti pri graničnim uslovima:

$$u_1 = 0, \quad y=0; \quad u_1 = 0, \quad y=\infty.$$

Početni uslov će biti ispunjen ako rešenje jednačine (5.53) potražimo u vidu:

$$u_1 = At_1^{\alpha+1} (UW' + U'W) \Phi_1'(\bar{\eta}) + A^2 t_1^{2\alpha+1} WW' \Phi_2'(\bar{\eta}) \quad (5.54)$$

Tada iz jednačine (5.53) nastaju obične diferencijalne jednačine

$$\begin{aligned} \Phi_1''' + 2\bar{\eta} \Phi_1'' - 4(\alpha+1)\Phi_1' &= 4(\Phi_0' - 1) \\ \Phi_2''' + 2\bar{\eta} \Phi_2'' - 4(2\alpha+1)\Phi_2' &= 4(\Phi_0'^2 - \Phi_0 \Phi_0'' - 1) \end{aligned} \quad (5.55)$$

koje treba rešiti pri uslovima

$$\begin{aligned} \Phi_1(0) = \Phi_1'(0) = \Phi_1'(\infty) &= 0 \\ \Phi_2(0) = \Phi_2'(0) = \Phi_2'(\infty) &= 0 \end{aligned} \quad (5.56)$$

Rešenja jednačina (5.55), koja zadovoljavaju uslove (5.56), glase

$$\begin{aligned} \Phi_1'(\bar{\eta}) &= -2^{2\alpha+2} \Gamma(\alpha+2) g_{\alpha+1}(\bar{\eta}) + 2^{2\alpha} \Gamma(\alpha+1) g_{\alpha}(\bar{\eta}) \\ \Phi_2'(\bar{\eta}) &= 2^{2\alpha+1} \Gamma(\alpha+1) \frac{1-\alpha}{1+\alpha} g_{\alpha}(\bar{\eta}) - 2^{2\alpha-1} \frac{\Gamma^2(\alpha+1)}{\Gamma(\alpha+\frac{5}{2})} g_{\alpha-\frac{1}{2}}(\bar{\eta}) + \\ &+ 2^{2\alpha-1} \frac{\Gamma(\alpha+1)}{\alpha+2} g_{\alpha-1}(\bar{\eta}) + 2^{4\alpha+1} \Gamma^2(\alpha+1) \left[-g_{\alpha+\frac{1}{2}}^2(\bar{\eta}) - g_{\alpha}(\bar{\eta}) g_{\alpha+1}(\bar{\eta}) \right] - \\ &- 2^{4\alpha+2} \Gamma(2\alpha+2) \left[\frac{3-4\alpha}{2+2\alpha} + \frac{2\alpha}{\alpha+2} - \frac{\Gamma^2(\alpha+1)}{\Gamma(\alpha+\frac{1}{2})\Gamma(\alpha+\frac{5}{2})} + \frac{1}{2} \frac{\Gamma^2(\alpha+1)}{\Gamma^2(\alpha+\frac{3}{2})} \right] g_{2\alpha+1}(\bar{\eta}) \end{aligned}$$

Tako je brzina u graničnom sloju za vreme trajanja dopunskog stepeno - ubrzanog kretanja, određena:

$$u = U f_1'(\bar{\eta}) + A t_1^{\alpha} W \Phi_0'(\bar{\eta}) + A t_1^{\alpha+1} (UW' + U'W) \Phi_1'(\bar{\eta}) + A t_1^{2\alpha+1} W W' \Phi_2'(\bar{\eta}) \quad (5.57)$$

5.6. Stepeno-ubrzanog kretanje, iza prethodnog kretanja stalnim ubrzanjem

Ako se cilindrično telo kretalo stalnim ubrzanjem

$[U_s = t^{\alpha}]$, a potom mu spropiteno dopunsko kretanje po zakonu $U_d = A t_1^{\alpha} V(x)$, iz jednačine (5.1) za prvo približenje brzine dopunskog graničnog sloja, dobiće se

$$\frac{\partial u_0}{\partial t_1} - \nu \frac{\partial^2 u_0}{\partial y^2} = A \alpha t_1^{\alpha-1} V(x) \quad (5.58)$$

sa graničnim uslovima: $u_0 = 0, y = 0; u_0 = U_d, y = \infty$.

Ako potražimo rešenje ove jednačine u formi

$$u_0 = A t_1^{\alpha} V(x) \Phi_0'(\bar{\eta}) \quad (5.59)$$

za određivanje funkcije $\Phi_0'(\bar{\eta})$, očigledno, dobiće se jednačina istovetna sa jednačinom (5.49), pa njeno rešenje ima vrednost (5.51,

Jednačina na drugo približenje brzine deponirakog graničnog sloja, tada postaje:

$$\frac{\partial u_1}{\partial t_1} - \nu \frac{\partial^2 u_1}{\partial y^2} = A T \epsilon_1^\alpha (W'V + WV')(1 - \Phi_0') + A \epsilon_1^{\alpha+1} (W'V + WV')(1 - \Phi_0') + A^2 \epsilon_1^{2\alpha} VV'(1 - \Phi_0'^2 + \Phi_0 \Phi_0'') \quad (5.60)$$

Granični uslovi su: $u_1 = 0, y = 0; u_1 = 0, y = \infty$.

Zbog početnog uslova njeno rešenje treba tražiti u obliku:

$$u_1 = A T \epsilon_1^{\alpha+1} (W'V + WV') \Phi_1'(\bar{\eta}) + A \epsilon_1^{\alpha+2} (W'V + WV') \Phi_2'(\bar{\eta}) + A^2 \epsilon_1^{2\alpha+1} VV' \Phi_3'(\bar{\eta}) \quad (5.61)$$

Zamenom izraza (5.61) u jednačinu (5.60) dobije se obične diferencijalne jednačine:

$$\left. \begin{aligned} \Phi_1''' + 2\bar{\eta} \Phi_1'' - 4(\alpha+1)\Phi_1' &= -4(1-\Phi_0') \\ \Phi_2''' + 2\bar{\eta} \Phi_2'' - 4(\alpha+2)\Phi_2' &= -4(1-\Phi_0') \\ \Phi_3''' + 2\bar{\eta} \Phi_3'' - 4(2\alpha+1)\Phi_3' &= -4(1-\Phi_0'^2 + \Phi_0 \Phi_0'') \end{aligned} \right\} \quad (5.62)$$

koje treba rešiti pri uslovima:

$$\left. \begin{aligned} \Phi_1(0) = \Phi_1'(0) = \Phi_1'(\infty) &= 0 \\ \Phi_2(0) = \Phi_2'(0) = \Phi_2'(\infty) &= 0 \\ \Phi_3(0) = \Phi_3'(0) = \Phi_3'(\infty) &= 0 \end{aligned} \right\} \quad (5.63)$$

Rešenja jednačina (5.62) koja zadovoljavaju uslove (5.63) su:

$$\begin{aligned} \Phi_1'(\bar{\eta}) &= 2^{2\alpha} \Gamma(\alpha+1) G_\alpha(\bar{\eta}) - 2^{2\alpha+2} \Gamma(\alpha+2) G_{\alpha+1}(\bar{\eta}) \\ \Phi_2'(\bar{\eta}) &= 2^{2\alpha-1} \Gamma(\alpha+1) G_\alpha(\bar{\eta}) - 2^{2\alpha-1} \Gamma(\alpha+1) \frac{G_\alpha(0)}{G_{\alpha+2}(0)} G_{\alpha+2}(\bar{\eta}) \\ \Phi_3'(\bar{\eta}) &= 2^{2\alpha+1} \Gamma(\alpha+1) \frac{1-\alpha}{1+\alpha} G_\alpha(\bar{\eta}) - 2^{2\alpha-1} \frac{\Gamma^2(\alpha+1)}{\Gamma(\alpha+5/2)} G_{\alpha-\frac{1}{2}}(\bar{\eta}) + \\ &+ 2 \frac{2\alpha-1}{\alpha+2} \Gamma(\alpha+1) G_{\alpha-1}(\bar{\eta}) + 2 \Gamma^2(\alpha+1) \left[G_{\alpha+\frac{1}{2}}^2(\bar{\eta}) - G_\alpha(\bar{\eta}) G_{\alpha+1}(\bar{\eta}) \right] - \\ &- 2 \Gamma(2\alpha+2) \left[\frac{3-4\alpha}{2+2\alpha} + \frac{2\alpha}{\alpha+2} - \frac{\Gamma^2(\alpha+1)}{\Gamma(\alpha+\frac{1}{2})\Gamma(\alpha+\frac{5}{2})} + \frac{1}{2} \frac{\Gamma^2(\alpha+1)}{\Gamma^2(\alpha+\frac{3}{2})} \right] G_{2\alpha+1}(\bar{\eta}) \end{aligned}$$

Sabirajući brzinu prethodnog graničnog sloja sa izrazima (5.59)

i (5.61), dobije se ukupna brzina u graničnom sloju:

$$u = (T + \epsilon_1) W f_1'(\bar{\eta}) + A \epsilon_1^\alpha V(\alpha) \Phi_0'(\bar{\eta}) + A T \epsilon_1^{\alpha+1} (W'V + WV') \Phi_1'(\bar{\eta}) + A \epsilon_1^{\alpha+2} (W'V + WV') \Phi_2'(\bar{\eta}) + A^2 \epsilon_1^{2\alpha+1} VV' \Phi_3'(\bar{\eta}) \quad (5.64)$$

ZAKLJUČAK. Granični sloj na telu se teorijski prestire do beskonačne udaljenosti od tela. Praktično, međjutim, zna se da je debljina graničnog sloja ograničena i da iznosi svega nekoliko milimetara, o čemu je u radu bilo reči i konkretnih podataka. Pa ipak, rešenje asimptotskog graničnog sloja (koji se prestire do beskonačnosti) ima značaja, jer obuhvata ceo strujni prostor. Drugo aproksimativno rešenje učinilo je da se i dopunski granični sloj, poprečno na konturu cilindričnog tela, ne ograničava. Slaganje vrednosti brzina u graničnom sloju proračunatih ovim i ranijim putem u svim ispitivanim primerima u tački $y = 0,4$ cm, sa odstupanjem koje za sve primere ne premašuje 0,25%, govori da je spajanje i međusobno nastavljanje ovih rešenja zadovoljavajuće.

Ovo opravdava formiranje drugog aproksimativnog rešenja, koje "pokriva" široki prostor oko tela, praktično od $y = 0,4$ cm. do $y = \infty$, sa dovoljnom tačnošću, kako su to pomenuti proračuni pokazali.

A nije nerealan smatrati da drugo aproksimativno rešenje predstavlja, u prvom približenju stvarnosti, rešenje nestacionarnog dopunskog graničnog sloja iza predhodnog stacionarnog kretanja.

L I T E R A T U R A

- [1] Blasius H., Zeitschr. F. Math. u. Phys. 56 (1905), 1-37.
- [2] Goldstein S., Rosenhead L., Proc. of. the Camb. Phil. Soc. 32 (1936), 392 - 401.
- [3] Görtler H., Ing.-Archiv 14 (1944), 286 - 305.
- [4] Watson L., Proceed. Roy. Soc., ser. A, 231 (1955), 1184.
- [5] Goldstein S., Sovremenoje sostojanije gidroaerodinamiki vjaskoj zidkosti, t.1, prev. sa engl.; I.I., 1948, foto 7-8.
- [6] Struminskij V.V., Sbornik tjeoretičeskih rabot po aerodinamiki GACI, Obrangiz, 1957, str. 247 - 250.
- [7] Rozin L.A., P.M.M., t. XIII, v.3, 1958.
- [8] Farg S.M., Osnovne zadači teoriji laminarnih tječenij, Gostehizdat, 1951, str. 210 - 224.
- [9] Dobrišan E.M., P.M.M., t. XI v. 3, 1956.
- [10] Struminskij V.V., Cit. sbornik, str. 232 - 247
- [11] Rozin L.A., P.M.M., t. XXI, v.5, 1957.
- [12] Lojčianski L.G., Laminarnoj pograničnij sloj, Moskva 1962.
- [13] Košin H.E., Kibelj M.A., Rose N.V., Tjeoritičeskaja gidromehanika, Moskva 1963.
- [14] Šlihting G., Teorija pograničnogo sloja, prevod sa nemaškog, Moskva 1956.
- [15] Hittte I, 1 deo, str. 3, Beograd 1954.

